



การประยุกต์ใช้สารดูดความชื้นเพื่อลดความชื้นของอากาศก่อนเข้าสู่ระบบปรับอากาศ
ของอาคารที่อยู่อาศัย

**Applications of Solid Desiccant Dehumidification for Air-conditioning System
in Residential Buildings**

วิสิตชัย เอกวนิช

Visit Akvanich

วิทยานิพนธ์นี้เป็นส่วนหนึ่งของการศึกษาตามหลักสูตรปริญญาวิศวกรรมศาสตร
มหาบัณฑิตสาขาวิชาจักรกลเครื่องกล
มหาวิทยาลัยสงขลานครินทร์

**A Thesis Submitted in Partial Fulfillment of the Requirements for the Degree of
Master of Engineering in Mechanical Engineering
Prince of Songkla University**

2552

ลิขสิทธิ์ของมหาวิทยาลัยสงขลานครินทร์



การประยุกต์ใช้สารดูดความชื้นเพื่อลดความชื้นของอากาศก่อนเข้าสู่ระบบปรับอากาศ
ของอาคารที่อยู่อาศัย

**Applications of Solid Desiccant Dehumidification for Air-conditioning System
in Residential Buildings**

วิสิตชัย เอกวนิช

Visit Akvanich

วิทยานิพนธ์นี้เป็นส่วนหนึ่งของการศึกษาตามหลักสูตรปริญญาวิศวกรรมศาสตร
มหาบัณฑิตสาขาวิชาจักรกลเครื่องกล
มหาวิทยาลัยสงขลานครินทร์

**A Thesis Submitted in Partial Fulfillment of the Requirements for the Degree of
Master of Engineering in Mechanical Engineering
Prince of Songkla University**

2552

ลิขสิทธิ์ของมหาวิทยาลัยสงขลานครินทร์

ชื่อวิทยานิพนธ์ การประยุกต์ใช้สารคูณความชื้นเพื่อลดความชื้นของอากาศก่อนเข้าสู่ระบบ
ปรับอากาศของอาคารที่อยู่อาศัย

ผู้เขียน นายวิสิทธิ์ เอกวนิช

สาขาวิชา วิศวกรรมเครื่องกล

คณะกรรมการที่ปรึกษา

.....ประธานกรรมการ
(ผู้ช่วยศาสตราจารย์ ดร.จันทกานต์ ทวีกุล)

อาจารย์ที่ปรึกษาวิทยานิพนธ์ร่วม

.....กรรมการ
(รองศาสตราจารย์ ดร.ชูเกียรติ คุปตานนท์)

คณะกรรมการสอบ

.....ประธานกรรมการ
(ดร.ฐานันดร์ศักดิ์ เพพญา)

.....กรรมการ
(ผู้ช่วยศาสตราจารย์ ดร.จันทกานต์ ทวีกุล)

.....กรรมการ
(รองศาสตราจารย์ ดร.ชูเกียรติ คุปตานนท์)

.....กรรมการ
(ศาสตราจารย์ ดร.สุรพงษ์ จิระรัตนานนท์)

บัณฑิตวิทยาลัย มหาวิทยาลัยสงขลานครินทร์ อนุมัติให้นับวิทยานิพนธ์ฉบับนี้เป็นส่วนหนึ่งของการศึกษา ตามหลักสูตรปริญญาวิศวกรรมศาสตรบัณฑิตสาขาวิชาวิศวกรรมเครื่องกล

.....
(รองศาสตราจารย์ ดร.เกริกชัย ทองหนู)
คณบดีบัณฑิตวิทยาลัย

ชื่อวิทยานิพนธ์	การประยุกต์ใช้สารดูดความชื้นเพื่อลดความชื้นของอากาศก่อนเข้าสู่ระบบปรับอากาศของอาคารที่อยู่อาศัย
ผู้เขียน	นายวิสิทธิ์ เอกวนิช
สาขาวิชา	วิศวกรรมเครื่องกล
ปีการศึกษา	2552

บทคัดย่อ

งานวิจัยนี้เป็นการศึกษาและออกแบบระบบดูดความชื้น และระบบถ่ายความชื้นของสารดูดความชื้น เพื่อลดภาระความร้อนแผงของระบบทำความเย็น โดยใช้กล้องดูดความชื้น ระบบมีการจำลองด้วยโปรแกรม EnergyPlus version 1.4 ซึ่งประกอบด้วยโครงสร้างบ้านประหยัดพลังงานซึ่งตั้งอยู่ในมหาวิทยาลัยสงขลานครินทร์ และระบบทำความเย็น โดยศึกษาเปรียบเทียบความสามารถในการปรับอากาศ และค่าการใช้พลังงาน ระหว่างระบบทำความเย็นทั่วไป และระบบทำความเย็นที่ติดตั้งระบบลดความชื้น ที่อัตราลมจ่ายและอัตราการระบายอากาศต่างๆ ผลการจำลองพบว่า ระบบลดความชื้นด้วยสารดูดความชื้น มีความสามารถในการนำไฟร่วมกับระบบทำความเย็นที่มีขนาดมากกว่า 24,000 Btu/hr โดยสามารถประหยัดพลังงานได้ 22.31% ที่ระบบทำความเย็นขนาด 36,000 Btu/hr อัตราการไหลลมจ่าย 0.64 kg/sec และอัตราการระบายอากาศ 0.09 kg/sec กงล้อดูดความชื้นที่ใช้ในการทดลองมีขนาดเส้นผ่านศูนย์กลาง 0.5 m ความหนา 0.2 m ปริมาณสารดูดความชื้น (ซิลิกาเจล) ที่ใช้ 15 kg โดยแบ่งพื้นที่การทำงานระหว่างกระบวนการลดความชื้น และกระบวนการถ่ายความชื้นเท่าๆกัน ตัวแปรที่ทำการศึกษาได้แก่ อัตราการไหลของอากาศ ความเร็วของกงล้อดูดความชื้น อุณหภูมิ และอัตราส่วนความชื้นของอากาศที่ทางเข้าชุดอุปกรณ์กงล้อดูดความชื้น ทั้งกระบวนการลดความชื้นในอากาศ และกระบวนการถ่ายความชื้นออกจากสารดูดความชื้น

ผลการทดลองพบว่า กงล้อดูดความชื้นมีสัมประสิทธิ์สมรรถนะ 0.25 ที่อัตราการไหลของอากาศ 0.1 kg/min อุณหภูมิที่ใช้ในการถ่ายความชื้น 55°C และความเร็วของกงล้อดูดความชื้น 2.5 rpm ซึ่งระบบดูดความชื้นสามารถลดความชื้นได้ $1.7 \text{ g}_w/\text{kg}_{da}$ (14%) และภาระการทำความเย็นของระบบปรับอากาศแบบแยกส่วนลดลง 0.71 kW_{th} (19.26%)

Thesis Title	Applications of Solid Desiccant Dehumidification for Air-conditioning System in Residential Buildings
Author	Mr. Visit Akvanich
Major Program	Mechanical Engineering
Academic Year	2009

ABSTRACT

The purposes of this research are to study and design the dehumidification and regeneration of desiccant for the latent load reduction of air-conditioning system by using rotary desiccant wheel. This system was investigated by using simulation using EnergyPlus version 1.4, the energy simulation software. The details of the experiment room in the low energy house locating at Prince of Songkla University were used to construct the model for simulation. Two system configurations were used for simulation. The first system couples the air-conditioning installation to the building. The second system couples the desiccant dehumidification to the previous one. The considered parameters are process air flow rate and ventilation during inoccupation period to obtain performance of the system the uses of energy consumption. Simulation results revealed that the desiccant dehumidification is suitable for air-conditioning system which air conditioner cooling capacity requirement more than 24,000 Btu/hr. Energy saving is 22.31% at 36,000 Btu/hr air conditioner cooling capacity which 0.64 kg/sec air flow rate and at 0.09 kg/sec air ventilation flow rate. The experimental system consisted of a rotary desiccant wheel of 0.5 m diameter with the length of 0.2 m using 15 kg of silica gel. It is divided into two equal parts for dehumidification and regeneration process. The effect of the operating parameters such as air flow rate, wheel speed, inlet temperature and inlet humidity ratio of dehumidification and regeneration process were considered in this study.

The experimental results show that the coefficient of performance for desiccant wheel is 0.25 at air flow rate 1.0 kg/min, regeneration air temperature 55°C and at 2.5 rpm wheel speed. The humidity ratio of conditioning space and cooling load of split type air conditioner was decreased $1.7 \text{ g}_w/\text{kg}_{da}$ (14%) and 0.71 kW_{th} (19.26%), respectively.

กิตติกรรมประกาศ

การทำวิจัยนี้สำเร็จได้ด้วยดี ผู้วิจัยขอขอบพระคุณ ผศ.ดร.จันทกานต์ ทวีกุล ประธานกรรมการที่ปรึกษาวิทยานิพนธ์ รศ.ดร.ชูเกียรติ คุปตานนท์ กรรมการที่ปรึกษาวิทยานิพนธ์ ร่วม และ รศ.ปัญญารัตน์ งามศรีตระกูล ที่กรุณาให้แนวคิด และคำแนะนำในการดำเนินงานวิจัย ตลอดจนการแก้ปัญหาต่างๆ อันเป็นประโยชน์ต่องานวิจัยนี้ ซึ่งผู้วิจัยรู้สึกซาบซึ้งใจเป็นอย่างยิ่ง นอกจากนี้ผู้วิจัยขอขอบพระคุณ ดร.ฐานันดรศักดิ์ เทพญา ประธานกรรมการสอบวิทยานิพนธ์ และ ศาสตราจารย์ ดร.สุรพงษ์ จิรารัตนานนท์ กรรมการสอบวิทยานิพนธ์จากสาขาวิชาพลังงานประจำบ้านพิเศษวิทยาลัยร่วมด้านพลังงานและสิ่งแวดล้อม (JGSEE) มหาวิทยาลัยเทคโนโลยีพระจอมเกล้าธนบุรี กรรมการสอบวิทยานิพนธ์ ที่กรุณาให้คำแนะนำในการทำงานวิจัย และประเมินผลงานวิจัย เพื่อให้วิทยานิพนธ์มีความสมบูรณ์ยิ่งขึ้น

ขอขอบคุณภาควิชาวิศวกรรมเครื่องกล คณะวิศวกรรมศาสตร์ มหาวิทยาลัยสงขลานครินทร์ และสำนักงานนโยบายและแผนพัฒนา (สนพ.) รวมทั้งทุนเพื่อวิทยานิพนธ์จากบัณฑิตวิทยาลัย ที่ให้โอกาสและสนับสนุนเงินทุนการวิจัยในโครงการนี้ ท้ายสุดนี้ ผู้วิจัยขอขอบพระคุณอย่างสูงต่อ บิดา มารดา และบุคคลในครอบครัว ที่ให้การสนับสนุนในทุกด้าน รวมไปถึงเพื่อนๆ ที่มีส่วนร่วมในการทำวิจัยนี้ให้สำเร็จลุล่วงได้ด้วยดี

วิสิทธิ์ เอกวนิช

สารบัญ

	หน้า
สารบัญ	(6)
รายการตาราง	(8)
รายการภาพประกอบ	(12)
สัญลักษณ์คำย่อและตัวย่อ	(17)
บทที่	
1 บทนำ	1
1.1 บทนำต้นเรื่อง	1
1.2 การตรวจสอบสาร	2
1.3 วัดถุประสงค์ของการศึกษา	23
1.4 ประโยชน์ที่คาดว่าจะได้รับ	23
1.5 ขอบเขตของการศึกษา	23
2 ทฤษฎี	24
2.1 สมบัติทางอุณหพลศาสตร์ของอากาศชื้น (Thermodynamics Properties of Moist Air)	24
2.2 แผนภูมิอากาศชื้น (Psychrometric chart)	28
2.3 วัสดุจัดทำความเย็น (Refrigeration cycles)	30
2.4 กระบวนการลดความชื้น (Dehumidification)	32
2.5 สารดูดความชื้น (Desiccant)	33
2.6 กระบวนการลดความชื้นโดยสารดูดความชื้น (Desiccant dehumidification)	35
2.7 ระบบทำความเย็นโดยสารดูดความชื้น (Desiccant cooling system)	37
2.8 การวิเคราะห์ทางด้านเศรษฐศาสตร์	40
2.9 สรุป	41
3 การออกแบบระบบและอุปกรณ์ทดลอง	42
3.1 การออกแบบถังดูดลดความชื้น	42
3.2 การจำลองระบบทำความเย็นโดยสารดูดความชื้นด้วยโปรแกรม EnergyPlus version 1.4	45
3.3 สรุป	55

สารบัญ (ต่อ)

	หน้า
4 วิธีการวิจัย	56
4.1 วัสดุและอุปกรณ์ที่ใช้ทดลอง	56
4.2 การศึกษาการลดความชื้นในอาคารของสารดูดความชื้น	59
4.3 การศึกษาการถ่ายความชื้นออกจากสารดูดความชื้น	62
4.4 การทดสอบชุดคงล้อดูดความชื้น	65
4.5 การทดสอบระบบปรับอากาศร่วมกับระบบดูดความชื้น	69
4.6 สรุป	72
5 ผลการทดลองและบทวิจารณ์	73
5.1 ผลการศึกษาการลดความชื้นในอาคารของสารดูดความชื้น	73
5.2 ผลการศึกษาการถ่ายความชื้นออกจากสารดูดความชื้น	78
5.3 ผลการทดสอบชุดคงล้อดูดความชื้น	83
5.4 ผลการทดสอบระบบปรับอากาศร่วมกับระบบดูดความชื้น	93
5.5 สรุป	98
6 บทสรุปและข้อเสนอแนะ	99
6.1 บทสรุป	99
6.2 ข้อเสนอแนะ	99
บรรณานุกรม	101
ภาคผนวก	105
ประวัติผู้เขียน	154

รายการตาราง

ตาราง	หน้า
3.1 ข้อมูลคุณสมบัติเชิงความร้อนของวัสดุที่บำหรับผนังอาคาร	47
3.2 ข้อมูลคุณสมบัติของกระจง	47
3.3 ข้อมูลภาระการทำการเย็บภายในอาคาร	47
3.4 ข้อมูลค่าที่ใช้ในระบบปรับอากาศ	48
4.1 การศึกษาผลของอุณหภูมิอากาศก่อนเข้าชุดคงล้อดูดความชื้น	60
4.2 การศึกษาผลของอัตราส่วนความชื้นอากาศก่อนเข้าชุดคงล้อดูดความชื้น	61
4.3 การศึกษาผลของอัตราการไหหลาอากาศก่อนเข้าชุดคงล้อดูดความชื้น	61
4.4 การศึกษาผลของความเร็วรอบวงล้อดูดความชื้น	61
4.5 การศึกษาผลของอุณหภูมิอากาศก่อนเข้าชุดคงล้อดูดความชื้น	63
4.6 การศึกษาผลของอัตราส่วนความชื้นอากาศก่อนเข้าชุดคงล้อดูดความชื้น	64
4.7 การศึกษาผลของอัตราการไหหลาอากาศก่อนเข้าชุดคงล้อดูดความชื้น	64
4.8 การศึกษาผลของความเร็วรอบวงล้อดูดความชื้น	64
4.9 การศึกษาผลของอุณหภูมิอากาศก่อนเข้าชุดคงล้อดูดความชื้น	67
4.10 การศึกษาผลของอัตราส่วนความชื้นอากาศก่อนเข้าชุดคงล้อดูดความชื้น	67
4.11 การศึกษาผลของอุณหภูมิอากาศในการคำนวณความชื้น	67
4.12 การศึกษาผลของอัตราการไหหลาอากาศก่อนเข้าชุดคงล้อดูดความชื้น	68
4.13 การศึกษาผลของอัตราการไหหลาอากาศในการคำนวณความชื้น	68
4.14 การศึกษาผลของความเร็วรอบวงล้อดูดความชื้น	68
ข 1 ข้อมูลสภาพอากาศภายในและภายนอกห้องปรับอากาศในช่วงเวลา 09.00 น. ถึง 21.00 น. กรณีระบบทำความเย็นทั่วไป	120
ข 2 ข้อมูลสภาพอากาศภายในและภายนอกห้องปรับอากาศในช่วงเวลา 09.00 น. ถึง 21.00 น. กรณีระบบทำความเย็นร่วมกับระบบดูดความชื้น	120
ข 3 ข้อมูลสภาพอากาศที่อุปกรณ์คงล้อดูดความชื้นในช่วงเวลา 09.00 น. ถึง 21.00 น. กรณีระบบทำความเย็นร่วมกับระบบดูดความชื้น	121
ข 4 ข้อมูลสภาพอากาศที่อุปกรณ์แยกเปลี่ยนความร้อนในช่วงเวลา 09.00 น. ถึง 21.00 น. กรณีระบบทำความเย็นร่วมกับระบบดูดความชื้น	121

รายการตาราง (ต่อ)

ตาราง	หน้า
ข 5 ข้อมูลการประทัดพลังงานที่อัตราการระบายอากาศต่างๆ	122
ข 6 ข้อมูลการประทัดพลังงานที่อัตราลมจ่ายต่างๆ	122
ค 1 ข้อมูลสภาวะอากาศที่อุปกรณ์กงล้อดูดความชื้น ที่เงื่อนไข $T_{ip}=24.5^{\circ}\text{C}$, $w_{ip}=19$ g_w/kg_{da} , $\dot{m}_{ip}=1.0 \text{ kg/min}$, Rev=2.5 rpm	124
ค 2 ข้อมูลสภาวะอากาศที่อุปกรณ์กงล้อดูดความชื้น ที่เงื่อนไข $T_{ip}=27.5^{\circ}\text{C}$, $w_{ip}=19$ g_w/kg_{da} , $\dot{m}_{ip}=1.0 \text{ kg/min}$, Rev=2.5 rpm	124
ค 3 ข้อมูลสภาวะอากาศที่อุปกรณ์กงล้อดูดความชื้น ที่เงื่อนไข $T_{ip}=32.5^{\circ}\text{C}$, $w_{ip}=19$ g_w/kg_{da} , $\dot{m}_{ip}=1.0 \text{ kg/min}$, Rev=2.5 rpm	125
ค 4 ข้อมูลสภาวะอากาศที่อุปกรณ์กงล้อดูดความชื้น ที่เงื่อนไข $T_{ip}=27.5^{\circ}\text{C}$, $w_{ip}=10$ g_w/kg_{da} , $\dot{m}_{ip}=1.0 \text{ kg/min}$, Rev=2.5 rpm	125
ค 5 ข้อมูลสภาวะอากาศที่อุปกรณ์กงล้อดูดความชื้น ที่เงื่อนไข $T_{ip}=27.5^{\circ}\text{C}$, $w_{ip}=15$ g_w/kg_{da} , $\dot{m}_{ip}=1.0 \text{ kg/min}$, Rev=2.5 rpm	126
ค 6 ข้อมูลสภาวะอากาศที่อุปกรณ์กงล้อดูดความชื้น ที่เงื่อนไข $T_{ip}=27.5^{\circ}\text{C}$, $w_{ip}=19$ g_w/kg_{da} , $\dot{m}_{ip}=0.3 \text{ kg/min}$, Rev=2.5 rpm	126
ค 7 ข้อมูลสภาวะอากาศที่อุปกรณ์กงล้อดูดความชื้น ที่เงื่อนไข $T_{ip}=27.5^{\circ}\text{C}$, $w_{ip}=19$ g_w/kg_{da} , $\dot{m}_{ip}=1.7 \text{ kg/min}$, Rev=2.5 rpm	127
ค 8 ข้อมูลสภาวะอากาศที่อุปกรณ์กงล้อดูดความชื้น ที่เงื่อนไข $T_{ip}=27.5^{\circ}\text{C}$, $w_{ip}=19$ g_w/kg_{da} , $\dot{m}_{ip}=1.0 \text{ kg/min}$, Rev=1.0 rpm	127
ค 9 ข้อมูลสภาวะอากาศที่อุปกรณ์กงล้อดูดความชื้น ที่เงื่อนไข $T_{ip}=27.5^{\circ}\text{C}$, $w_{ip}=19$ g_w/kg_{da} , $\dot{m}_{ip}=1.0 \text{ kg/min}$, Rev=4.0 rpm	128
ค 10 ข้อมูลสภาวะอากาศที่อุปกรณ์กงล้อดูดความชื้น ที่เงื่อนไข $T_{ir}=45^{\circ}\text{C}$, $w_{ir}=19$ g_w/kg_{da} , $\dot{m}_{ir}=1.8 \text{ kg/min}$, Rev=2.5 rpm	128
ค 11 ข้อมูลสภาวะอากาศที่อุปกรณ์กงล้อดูดความชื้น ที่เงื่อนไข $T_{ir}=55^{\circ}\text{C}$, $w_{ir}=19$ g_w/kg_{da} , $\dot{m}_{ir}=1.8 \text{ kg/min}$, Rev=2.5 rpm	129
ค 12 ข้อมูลสภาวะอากาศที่อุปกรณ์กงล้อดูดความชื้น ที่เงื่อนไข $T_{ir}=65^{\circ}\text{C}$, $w_{ir}=19$ g_w/kg_{da} , $\dot{m}_{ir}=1.8 \text{ kg/min}$, Rev=2.5 rpm	129

รายการตาราง (ต่อ)

รายการตาราง (ต่อ)

ตาราง	หน้า
ค 26 ข้อมูลสภาพอากาศที่อุปกรณ์กังล้อดูดความชื้น ที่เงื่อนไข $T_{ip}=27.5^{\circ}\text{C}$, $w_{ip}=w_{ir}=19 \text{ g}_w/\text{kg}_{da}$, $T_{ir}=55^{\circ}\text{C}$, $\dot{m}_{ip}=0.3 \text{ kg/min}$, $\dot{m}_{ir}=1.8 \text{ kg/min}$, Rev=2.5 rpm	140
ค 27 ข้อมูลสภาพอากาศที่อุปกรณ์กังล้อดูดความชื้น ที่เงื่อนไข $T_{ip}=27.5^{\circ}\text{C}$, $w_{ip}=w_{ir}=19 \text{ g}_w/\text{kg}_{da}$, $T_{ir}=55^{\circ}\text{C}$, $\dot{m}_{ip}=1.7 \text{ kg/min}$, $\dot{m}_{ir}=1.8 \text{ kg/min}$, Rev=2.5 rpm	141
ค 28 ข้อมูลสภาพอากาศที่อุปกรณ์กังล้อดูดความชื้น ที่เงื่อนไข $T_{ip}=27.5^{\circ}\text{C}$, $w_{ip}=w_{ir}=19 \text{ g}_w/\text{kg}_{da}$, $T_{ir}=55^{\circ}\text{C}$, $\dot{m}_{ip}=1.0 \text{ kg/min}$, $\dot{m}_{ir}=1.0 \text{ kg/min}$, Rev=2.5 rpm	142
ค 29 ข้อมูลสภาพอากาศที่อุปกรณ์กังล้อดูดความชื้น ที่เงื่อนไข $T_{ip}=27.5^{\circ}\text{C}$, $w_{ip}=w_{ir}=19 \text{ g}_w/\text{kg}_{da}$, $T_{ir}=55^{\circ}\text{C}$, $\dot{m}_{ip}=1.0 \text{ kg/min}$, $\dot{m}_{ir}=2.5 \text{ kg/min}$, Rev=2.5 rpm	143
ค 30 ข้อมูลสภาพอากาศที่อุปกรณ์กังล้อดูดความชื้น ที่เงื่อนไข $T_{ip}=27.5^{\circ}\text{C}$, $w_{ip}=w_{ir}=19 \text{ g}_w/\text{kg}_{da}$, $T_{ir}=55^{\circ}\text{C}$, $\dot{m}_{ip}=1.0 \text{ kg/min}$, $\dot{m}_{ir}=1.8 \text{ kg/min}$, Rev=1.0 rpm	144
ค 31 ข้อมูลสภาพอากาศที่อุปกรณ์กังล้อดูดความชื้น ที่เงื่อนไข $T_{ip}=27.5^{\circ}\text{C}$, $w_{ip}=w_{ir}=19 \text{ g}_w/\text{kg}_{da}$, $T_{ir}=55^{\circ}\text{C}$, $\dot{m}_{ip}=1.0 \text{ kg/min}$, $\dot{m}_{ir}=1.8 \text{ kg/min}$, Rev=4.0 rpm	145
ค 32 ข้อมูลสภาพอากาศภายในและภายนอกห้องทดลองในช่วงเวลา 09.00 น. ถึง 21.00 น.	146
ค 33 ข้อมูลสภาพอากาศภายในและภายนอกห้องทดลองร่วมกับระบบลดความชื้นในช่วงเวลา 09.00 น. ถึง 21.00 น.	146
ค 34 ข้อมูลสภาพอากาศภายในและภายนอกห้องทดลองร่วมกับระบบปรับอากาศในช่วงเวลา 09.00 น. ถึง 21.00 น.	147
ค 35 ข้อมูลสภาพอากาศภายในและภายนอกห้องทดลองร่วมกับระบบปรับอากาศและระบบลดความชื้นในช่วงเวลา 09.00 น. ถึง 21.00 น.	148

รายการภาพประกอบ

ภาพประกอบ	หน้า
1.1 แผนภูมิความสบายน้ำ	3
1.2 แผนภูมิความสบายน้ำของภาระน้ำยาอากาศ	4
1.3 ชุดการทดลองและเบ็ดดูดความชื้น	5
1.4 ชุดการทดลองและผลการทำนายคงล้อดูดความชื้น	6
1.5 ความเร็วของที่เหมาะสมที่ความเร็วอากาศ 1 m/s (ความหนาแนงล้อ 0.2 m)	6
1.6 ชุดการทดลองศึกษาตัวแปรต่างๆ ที่มีผลต่อสมรรถนะของคงล้อดูดความชื้น	8
1.7 ระบบ ventilation-condenser	9
1.8 ระบบปรับอากาศโดยสารดูดความชื้น	10
1.9 ห้องที่มีการระบายน้ำอากาศด้วยปล่องระบบอากาศ โดยใช้สารดูดความชื้น	11
1.10 ชุดการทดลองและเบ็ดดูดความชื้น	13
1.11 ชุดการทดลองระบบทำความเย็นโดยการเพิ่มกระบวนการลดความชื้น	14
1.12 ระบบปรับอากาศโดยสารดูดความชื้นร่วมกับเครื่องทำความเย็นแบบระเหย	15
1.13 ระบบทำความเย็นโดยสารดูดความชื้น	16
1.14 ระบบทำความเย็นโดยสารดูดความชื้นและการติดตั้ง	17
1.15 ความสามารถของคงล้อดูดความชื้นและอุณหภูมิที่ทางออกที่ปัจจัยต่างๆ	18
1.16 ชุดการทดลองและคงล้อดูดความชื้น	19
1.17 การใช้พลังงานแสงอาทิตย์ร่วมกับระบบทำความเย็นโดยสารดูดความชื้น	20
1.18 ชุดการทดลองระบบสารดูดความชื้น	22
2.1 แผนภูมิอากาศชี้นำ	28
2.2 ความหมายของเส้นบนแผนภูมิอากาศชี้นำ	29
2.3 กระบวนการปรับสภาพอากาศพื้นฐาน	30
2.4 การทำงานของเครื่องทำความเย็น	30
2.5 ภาพและแผนภาพ T-s ของวัฏจักรทำความเย็นแบบอัดไอ	31
2.6 กราฟความชื้นสมดุลของอากาศกับสารดูดความชื้น	34
2.7 กระบวนการลดความชื้นของสารดูดความชื้นบนแผนภูมิอากาศชี้นำ	36
2.8 ลักษณะของระบบทำความเย็นโดยสารดูดความชื้นสำหรับห้องสรรพสินค้า	38

รายการภาพประกอบ (ต่อ)

ภาพประกอบ	หน้า
2.9 ลักษณะของระบบทำความเย็น โดยสารคุณภาพชั้นสำหรับภัตตาคาร	39
3.1 การออกแบบกล้องดูดความชื้น	44
3.2 ตำแหน่งการติดตั้งระบบลดความชื้น	45
3.3 แผนผังการจำลองด้วยโปรแกรม EnergyPlus version 1.4	46
3.4 การจำลองส่วนของกรอบอาคาร	48
3.5 แสดงส่วนประกอบต่างๆของระบบหลัก	49
3.6 แสดงส่วนประกอบต่างๆของสารคุณภาพชื้น	49
3.7 แสดงผลการจำลองสภาพอากาศภายในและภายนอกห้องปรับอากาศกรณีระบบทำความเย็นทั่วไปในช่วงเวลา 00.00 น. ถึง 24.00 น. ของวันที่ 4 เมษายน 2552	51
3.8 แสดงผลการจำลองสภาพอากาศภายในและภายนอกห้องปรับอากาศกรณีระบบทำความเย็นร่วมกับระบบดูดความชื้นในช่วงเวลา 00.00 น. ถึง 24.00 น. ของวันที่ 4 เมษายน 2552	52
3.9 แสดงผลการจำลองสภาพอากาศที่อุปกรณ์กล้องดูดความชื้นกรณีระบบทำความเย็นร่วมกับระบบดูดความชื้นในช่วงเวลา 00.00 น. ถึง 24.00 น. ของวันที่ 4 เมษายน 2552	53
3.10 แสดงผลการจำลองสภาพอากาศที่อุปกรณ์แลกเปลี่ยนความร้อนกรณีระบบทำความเย็นร่วมกับระบบดูดความชื้นในช่วงเวลา 00.00 น. ถึง 24.00 น. ของวันที่ 4 เมษายน 2552	54
3.11 แสดงผลการจำลองค่าประหยัดพลังงานและอัตราส่วนการระบายอากาศที่อัตราการไหลลมจ่ายต่างๆ ในช่วงเวลา 09.00 น. ถึง 21.00 น. ของวันที่ 4 เมษายน 2552	55
4.1 เครื่องปรับอากาศแบบแยกส่วน	56
4.2 เครื่องควบคุมความชื้น	57
4.3 พัดลมเป่าอากาศ	57
4.4 ฮีทเตอร์ไฟฟ้า	58
4.5 ชุดกล้องดูดความชื้น	58
4.6 เครื่องมือวัดอุณหภูมิและความชื้นของอากาศ	59

รายการภาพประกอบ (ต่อ)

ภาพประกอบ	หน้า
4.7 การติดตั้งอุปกรณ์และเครื่องมือวัดการศึกษาการลดความชื้น	60
4.8 ขั้นตอนการทดลองการศึกษาการลดความชื้นในอากาศของสารดูดความชื้น	62
4.9 การติดตั้งอุปกรณ์และเครื่องมือวัดการศึกษาการถ่ายความชื้น	63
4.10 ขั้นตอนการทดลองการศึกษาการถ่ายความชื้นออกจากสารดูดความชื้น	65
4.11 การติดตั้งอุปกรณ์และเครื่องมือวัดการทดสอบชุดคงล้อดูดความชื้น	66
4.12 ขั้นตอนการทดลองการทดสอบชุดคงล้อดูดความชื้น	69
4.13 การติดตั้งอุปกรณ์และเครื่องมือวัดการทดสอบระบบปรับอากาศร่วมกับระบบดูดความชื้น	70
4.14 ขั้นตอนการทดสอบระบบปรับอากาศร่วมกับระบบดูดความชื้น	71
5.1 อัตราการดูดความชื้นของสารดูดความชื้นที่เงื่อนไข $T_{ip}=24.5, 27.5, 32.5^{\circ}\text{C}$, $w_{ip}=19 \text{ g}_w/\text{kg}_{da}$, $\dot{m}_{ip}=1.0 \text{ kg}/\text{min}$, Rev=2.5 rpm	74
5.2 อัตราการดูดความชื้นของสารดูดความชื้นที่เงื่อนไข $w_{ip}=10, 15, 19 \text{ g}_w/\text{kg}_{da}$, $T_{ip}=27.5^{\circ}\text{C}$, $\dot{m}_{ip}=1.0 \text{ kg}/\text{min}$, Rev=2.5 rpm	75
5.3 อัตราการดูดความชื้นของสารดูดความชื้นที่เงื่อนไข $\dot{m}_{ip}=0.3, 1.0, 1.7 \text{ kg}/\text{min}$, $T_{ip}=27.5^{\circ}\text{C}$, $w_{ip}=19 \text{ g}_w/\text{kg}_{da}$, Rev=2.5 rpm	76
5.4 อัตราการดูดความชื้นของสารดูดความชื้นที่เงื่อนไข Rev=1.0, 2.5, 4.0 rpm $T_{ip}=27.5^{\circ}\text{C}$, $w_{ip}=19 \text{ g}_w/\text{kg}_{da}$, $\dot{m}_{ip}=1.0 \text{ kg}/\text{min}$	77
5.5 แสดงผลของตัวแปรต่างๆ ต่ออัตราการลดความชื้นในอากาศของสารดูดความชื้น	78
5.6 อัตราการถ่ายความชื้นของสารดูดความชื้นที่เงื่อนไข $T_{ir}=45, 55, 65^{\circ}\text{C}$, $w_{ir}=19 \text{ g}_w/\text{kg}_{da}$, $T_{ir}=55^{\circ}\text{C}$, $\dot{m}_{ir}=1.8 \text{ kg}/\text{min}$, Rev=2.5 rpm	79
5.7 อัตราการถ่ายความชื้นของสารดูดความชื้นที่เงื่อนไข $w_{ir}=10, 15, 19 \text{ g}_w/\text{kg}_{da}$, $T_{ir}=55^{\circ}\text{C}$, $\dot{m}_{ir}=1.8 \text{ kg}/\text{min}$, Rev=2.5 rpm	80
5.8 อัตราการถ่ายความชื้นของสารดูดความชื้นที่เงื่อนไข $\dot{m}_{ir}=1.0, 1.8, 2.5 \text{ kg}/\text{min}$, $T_{ir}=55^{\circ}\text{C}$, $w_{ir}=19 \text{ g}_w/\text{kg}_{da}$, Rev=2.5 rpm	81
5.9 อัตราการถ่ายความชื้นของสารดูดความชื้นที่เงื่อนไข Rev=1.0, 2.5, 4.0 rpm, $T_{ir}=55^{\circ}\text{C}$, $w_{ir}=19 \text{ g}_w/\text{kg}_{da}$, $\dot{m}_{ir}=1.8 \text{ kg}/\text{min}$	82

รายการภาพประกอบ (ต่อ)

ภาพประกอบ	หน้า
5.10 แสดงผลของตัวแปรต่างๆต่ออัตราการคายความชื้นออกจากสารดูดความชื้น	83
5.11 อัตราการดูดและอัตราการคายความชื้นของกงล้อดูดความชื้นที่เงื่อนไข $T_{ip}=24.5, 27.5, 32.5^{\circ}\text{C}$, $w_{ip}=w_{ir}=19 \text{ g}_w/\text{kg}_{da}$, $T_{ir}=55^{\circ}\text{C}$, $\dot{m}_{ip}=1.0 \text{ kg/min}$, $\dot{m}_{ir}=1.8 \text{ kg/min}$, Rev=2.5 rpm	85
5.12 อัตราการดูดและอัตราการคายความชื้นของกงล้อดูดความชื้นที่เงื่อนไข $w_{ip}=w_{ir}=10, 15, 19 \text{ g}_w/\text{kg}_{da}$, $T_{ip}=27.5^{\circ}\text{C}$, $T_{ir}=55^{\circ}\text{C}$, $\dot{m}_{ip}=1.0 \text{ kg/min}$, $\dot{m}_{ir}=1.8 \text{ kg/min}$, Rev=2.5 rpm	86
5.13 อัตราการดูดและอัตราการคายความชื้นของกงล้อดูดความชื้นที่เงื่อนไข $T_{ir}=45, 55, 65^{\circ}\text{C}$, $T_{ip}=27.5^{\circ}\text{C}$, $w_{ip}=w_{ir}=19 \text{ g}_w/\text{kg}_{da}$, $\dot{m}_{ip}=1.0 \text{ kg/min}$, $\dot{m}_{ir}=1.8 \text{ kg/min}$, Rev=2.5 rpm	88
5.14 อัตราการดูดและอัตราการคายความชื้นของกงล้อดูดความชื้นที่เงื่อนไข $\dot{m}_{ip}=0.3, 1.0, 1.7 \text{ kg/min}$, $T_{ip}=27.5^{\circ}\text{C}$, $w_{ip}=w_{ir}=19 \text{ g}_w/\text{kg}_{da}$, $T_{ir}=55^{\circ}\text{C}$, $\dot{m}_{ir}=1.8 \text{ kg/min}$, Rev=2.5 rpm	89
5.15 อัตราการดูดและอัตราการคายความชื้นของกงล้อดูดความชื้นที่เงื่อนไข $\dot{m}_{ir}=1.0, 1.8, 2.5 \text{ kg/min}$, $T_{ip}=27.5^{\circ}\text{C}$, $w_{ip}=w_{ir}=19 \text{ g}_w/\text{kg}_{da}$, $T_{ir}=55^{\circ}\text{C}$, $\dot{m}_{ip}=1.0 \text{ kg/min}$, Rev=2.5 rpm	90
5.16 อัตราการดูดและอัตราการคายความชื้นของกงล้อดูดความชื้นที่เงื่อนไข Rev=1.0, 2.5, 4.0 rpm, $T_{ip}=27.5^{\circ}\text{C}$, $w_{ip}=w_{ir}=19 \text{ g}_w/\text{kg}_{da}$, $T_{ir}=55^{\circ}\text{C}$, $\dot{m}_{ip}=1.0 \text{ kg/min}$, $\dot{m}_{ir}=1.8 \text{ kg/min}$	92
5.17 ผลของตัวแปรต่างๆต่อสัมประสิทธิ์สมรรถนะของกงล้อดูดความชื้น	93
5.18 แสดงผลการศึกษาสภาวะอากาศภายในและภายนอกห้องทดลองในช่วงเวลา 9.00 น. ถึง 21.00 นาฬิกาของวันที่ 18 พฤษภาคม 2552	94
5.19 แสดงผลการศึกษาสภาวะอากาศภายในห้องทดลองร่วมกับระบบดูดความชื้นในช่วงเวลา 9.00 น. ถึง 21.00 นาฬิกาของวันที่ 15 พฤษภาคม 2552	95
5.20 แสดงผลการศึกษาสภาวะอากาศภายในห้องทดลองร่วมกับระบบปรับอากาศในช่วงเวลา 9.00 น. ถึง 21.00 นาฬิกาของวันที่ 6 เมษายน 2552	96

รายการภาพประกอบ (ต่อ)

ภาพประกอบ	หน้า
5.21 แสดงผลการศึกษาสภาพอากาศภายในห้องทดลองร่วมกับระบบปรับอากาศ และระบบดูดความชื้นในช่วงเวลา 9.00 น. ถึง 21.00 นาฬิกาของวันที่ 4 เมษายน 2552	97
ก 1 ตำแหน่งติดตั้งระบบลดความชื้นโดยสารดูดความชื้น	107
ก 2 ชุดอุปกรณ์กันล้อดูดความชื้น	108
ก 3 กงล้อดูดความชื้น	109
ก 4 รายละเอียดของกงล้อดูดความชื้น	110
ก 5 รายละเอียดของ โครงรากงล้อดูดความชื้น	111
ก 6 รายละเอียดของซอปเปลอร์	112
ก 7 รายละเอียดของแผ่นปิดโครงรากงล้อดูดความชื้น	113
ก 8 ชุดระบบมอเตอร์และชุดเกียร์ทด	114
ก 9 รายละเอียดของมอเตอร์และเกียร์ทด	115
ก 10 รายละเอียดของล้อสายพานและหน้าแปลน	116
ก 11 รายละเอียดของชีตเตอร์ไฟฟ้า	117
ก 12 รายละเอียดของพัดลมเป่าอากาศ	118

สัญลักษณ์คำย่อและตัวย่อ

Δ_w	ค่าความแตกต่างอัตราส่วนความชื้น (g_w/kg_{da})
%RH	ความชื้นสัมพันธ์ (%)
%RH _{ia}	ความชื้นสัมพัทธ์อากาศในห้องปรับอากาศ (%)
%RH _{id}	ความชื้นสัมพัทธ์อากาศที่ทางเข้าอุปกรณ์กงล้อดูดความชื้น (%)
%RH _{ih}	ความชื้นสัมพัทธ์อากาศที่ทางเข้าอุปกรณ์แลกเปลี่ยนความร้อน (%)
%RH _{oa}	ความชื้นสัมพัทธ์อากาศภายนอกห้องปรับอากาศ (%)
%RH _{od}	ความชื้นสัมพัทธ์อากาศที่ทางออกอุปกรณ์กงล้อดูดความชื้น (%)
%RH _{oh}	ความชื้นสัมพัทธ์อากาศที่ทางออกอุปกรณ์แลกเปลี่ยนความร้อน (%)
A	รายได้หรือรายจ่ายต่อวัสดุ (บาทต่อปี)
COP _D	สัมประสิทธิ์สมรรถนะของระบบทำความเย็น โดยสารดูดความชื้น
COP _R	สัมประสิทธิ์สมรรถนะของเครื่องทำความเย็น
C_p	ค่าความจุความร้อนของอากาศ ($1.0 \text{ kJ/kg}^{\circ}\text{C}$)
DCOP	สัมประสิทธิ์สมรรถนะของกงล้อดูดความชื้น
F	รายได้หรือรายจ่ายที่ระยะเวลาที่กำหนด (บาท)
H	เอนทัลปีรวมของอากาศ (kJ)
H_a	เอนทัลปีของอากาศอากาศแห้ง (kJ)
H_v	เอนทัลปีของไอน้ำหรือความชื้นที่อยู่ในอากาศ (kJ)
h	เอนทัลปีต่อมวลของอากาศ (kJ/kg)
h_a	เอนทัลปีต่อมวลของอากาศแห้ง (kJ/kg)
$h_{fg@0^{\circ}\text{C}}$	เอนทัลปีของน้ำที่ 0°C (มีค่าเท่ากับ $2,500.4 \text{ kJ/kg}$)
h_g	เอนทัลปีต่อมวลของไอน้ำอิ่มตัว (kJ/kg)
$h_{g@0^{\circ}\text{C}}$	เอนทัลปีของไอน้ำที่ 0°C (มีค่าเท่ากับ $2,501.3 \text{ kJ/kg}$)
h_{lg}	เอนทัลปีของอากาศที่ทางเข้าโดยล็อร์อน (kJ/kg)
h_{ir}	เอนทัลปีของอากาศร้อนที่ทางเข้ากงล้อดูดความชื้น (kJ/kg)
h_{ra}	เอนทัลปีของลมกลับ (kJ/kg)
h_{sa}	ค่าเอนทัลปีของลมจ่าย (kJ/kg)
h_v	เอนทัลปีต่อมวลของไอน้ำ (kJ/kg)
i	อัตราดอกเบี้ยต่อระยะเวลา (%)

ສัญลักษณ์ຄໍາຢ່ອແລະຕ້ວຍ່ອ (ຕ່ອ)

$M_{\text{silicagel}}$	ปริมาณซิลิกาเจล (kg)
m_a	มวลของอากาศแห้ง (kg)
m_v	มวลของไอน้ำหรือความชื้นที่อยู่ในอากาศ (kg)
\dot{m}	อัตราไหลของอากาศ (kg/sec)
\dot{m}_a	อัตราการระบายอากาศ ($\text{kg}_{\text{da}}/\text{hr}$)
\dot{m}_{ip}	อัตราไหลอากาศในกระบวนการลดความชื้น (kg/sec)
\dot{m}_{ir}	อัตราไหลอากาศในกระบวนการภาคความชื้น (kg/sec)
n	จำนวนวงศหรือช่วงเวลา (ปี)
P	รายได้หรือรายจ่ายปัจจุบัน (บาท)
P	ความดันรวม (ความดันบารอยาก $\approx 101.325 \text{ kPa}$)
PW	มูลค่าเทียบเท่าปัจจุบัน (บาท)
P_a	ความดันย่อยของอากาศแห้ง (kPa)
P_g	ความดันอิมตัวของน้ำ (kPa)
P_{sat}	ความดันไอกลมตัว (kPa)
P_v	ความดันไօหรือความดันย่อยของไอน้ำ (kPa)
\dot{Q}_H	ความร้อนที่ถ่ายโอนระหว่างอุปกรณ์กับแหล่งสะสมพลังงานที่อุณหภูมิสูง (kW)
\dot{Q}_L	ผลของการทำความเย็น (kW)
\dot{Q}_l	ความร้อนแฟงที่ลดลง (kW)
\dot{Q}_{regen}	พลังงานความร้อนที่ต้องการในการภาคความชื้น (kW)
\dot{Q}_s	ความร้อนสัมพัสจาก การเพิ่มชื้นของอุณหภูมิ (kW)
Rev	ความเร็วรอบของกล้องดูดความชื้น (rpm)
R_a	ค่าคงที่ของอากาศแห้ง (มีค่าเท่ากับ 0.2870 kJ/kg-K)
R_{adsorp}	อัตราการลดความชื้นในอากาศของสารดูดความชื้น (g_w/min)
R_{desorp}	อัตราการภาคความชื้นออกจากสารดูดความชื้น (g_w/min)
R_v	ค่าคงที่ของไอน้ำ (มีค่าเท่ากับ 0.4615 kJ/kg-K)
Time_{sat}	ระยะเวลาอิมตัวของซิลิกาเจล (hr)
T_{abs}	อุณหภูมิสมมูลน์ (K)
T_{db}	อุณหภูมิกระเพาะแห้ง ($^{\circ}\text{C}$)

ສัญลักษณ์ຄໍາຢ່ອແລະຕ້ວຍ່ອ (ຕ່ອ)

T_{dw}	ອຸນຫກມີຈຸດນໍາຄ້າງ ($^{\circ}\text{C}$)
T_{ia}	ອຸນຫກມີອາກະສາຍໃນໜ້ອງປ່ຽນອາກາສ ($^{\circ}\text{C}$)
T_{id}	ອຸນຫກມີອາກາສທີ່ທາງເຂົ້າອຸປະນົມກັບລ້ອດູດຄວາມໜື້ນ ($^{\circ}\text{C}$)
T_{ih}	ອຸນຫກມີອາກາສທີ່ທາງເຂົ້າອຸປະນົມແລກປ່ອຍິນຄວາມຮ້ອນ ($^{\circ}\text{C}$)
T_{ip}	ອຸນຫກມີອາກາສທີ່ທາງເຂົ້າຫຼຸດກັບລ້ອດູດຄວາມໜື້ນ ($^{\circ}\text{C}$)
T_{ip}	ອຸນຫກມີຂອງອາກາສທີ່ທາງເຂົ້າສາຮາຄຸດຄວາມໜື້ນ ($^{\circ}\text{C}$)
T_{ir}	ອຸນຫກມີອາກາສໃນກາຍຄວາມໜື້ນ ($^{\circ}\text{C}$)
T_{oa}	ອຸນຫກມີອາກະສາຍນອກທີ່ໜ້ອງປ່ຽນອາກາສ ($^{\circ}\text{C}$)
T_{od}	ອຸນຫກມີອາກາສທີ່ທາງອອກອຸປະນົມກັບລ້ອດູດຄວາມໜື້ນ ($^{\circ}\text{C}$)
T_{oh}	ອຸນຫກມີອາກາສທີ່ທາງອອກອຸປະນົມແລກປ່ອຍິນຄວາມຮ້ອນ ($^{\circ}\text{C}$)
T_{op}	ອຸນຫກມີອາກາສທີ່ທາງອອກຫຼຸດກັບລ້ອດູດຄວາມໜື້ນ ($^{\circ}\text{C}$)
T_{op}	ອຸນຫກມີອາກາສທີ່ທາງອອກສາຮາຄຸດຄວາມໜື້ນ ($^{\circ}\text{C}$)
T_{or}	ອຸນຫກມີອາກາສທີ່ທາງອອກຫຼຸດກັບລ້ອດູດຄວາມໜື້ນ ($^{\circ}\text{C}$)
T_{ra}	ອຸນຫກມີຄົມກັບຈາກໜ້ອງ ($^{\circ}\text{C}$)
T_{sa}	ອຸນຫກມີຂອງຄົມຈ່າຍ ($^{\circ}\text{C}$)
T_{wb}	ອຸນຫກມີກະເປາະເປີຍ ($^{\circ}\text{C}$)
V	ປັບປຸງອາກາສ (m^3)
V_{wheel}	ຂະດຂອງກັບລ້ອດູດຄວາມໜື້ນ (m^3)
v	ປັບປຸງຈຳພາະ (m^3/kg)
W_R	ອັດຕາການນໍາຄວາມໜື້ນອອກຈາກອາກາສ (kg_w/hr)
$\dot{W}_{net,in}$	ຈານທີ່ຕ້ອງປຶ້ນໄໝແກ່ອຸປະນົມ (kW)
w	ອັດຕາສ່ວນຄວາມໜື້ນ ($\text{kg}_w/\text{kg}_{da}$)
w_{ip}	ອັດຕາສ່ວນຄວາມໜື້ນທີ່ທາງເຂົ້າສາຮາຄຸດຄວາມໜື້ນ ($\text{kg}_w/\text{kg}_{da}$)
w_{ip}	ອັດຕາສ່ວນຄວາມໜື້ນອາກາສທີ່ທາງເຂົ້າຫຼຸດກັບລ້ອດູດຄວາມໜື້ນ ($\text{kg}_w/\text{kg}_{da}$)
w_{ir}	ອັດຕາສ່ວນຄວາມໜື້ນອາກາສທີ່ທາງເຂົ້າຫຼຸດກັບລ້ອດູດຄວາມໜື້ນ ($\text{kg}_w/\text{kg}_{da}$)
w_o	ອັດຕາສ່ວນຄວາມໜື້ນອາກາສທີ່ທາງອອກຫຼຸດກັບລ້ອດູດຄວາມໜື້ນ ($\text{kg}_w/\text{kg}_{da}$)
w_{op}	ອັດຕາສ່ວນຄວາມໜື້ນທີ່ທາງອອກສາຮາຄຸດຄວາມໜື້ນ ($\text{kg}_w/\text{kg}_{da}$)
w_{op}	ອັດຕາສ່ວນຄວາມໜື້ນອາກາສທີ່ທາງອອກຫຼຸດກັບລ້ອດູດຄວາມໜື້ນ ($\text{kg}_w/\text{kg}_{da}$)

บทที่ 1

บทนำ

1.1 บทนำต้นเรื่อง

ปัจจุบันพลังงานเป็นปัจจัยที่มีความสำคัญในการดำรงชีวิตของมนุษย์ทั้งด้านการผลิต การอยู่อาศัย และทุกกิจกรรมความเป็นอยู่ของมนุษย์ โดยมีแนวโน้มความต้องการทางด้านพลังงานมีปริมาณสูงขึ้นเรื่อยๆ แม้บางส่วนของทรัพยากรธรรมชาติและพลังงานบางอย่างสามารถหมุนเวียนขึ้นมาใหม่ได้เอง แต่ต้องอาศัยกระบวนการตามธรรมชาติ อาจจะใช้เวลานานหรือไม่เพียงพอต่อความต้องการ จึงก่อให้เกิดการณรงค์ที่ทำให้รู้ถึงคุณค่าของทรัพยากรธรรมชาติและการใช้พลังงานให้เกิดประโยชน์เต็มที่ ค่าพลังงานเป็นส่วนหนึ่งของด้านทุนการผลิต นับวันจะมีค่าสูงขึ้นตามไปด้วย ดังนั้นการใช้พลังงานอย่างมีประสิทธิภาพทำให้ผลิตภัณฑ์ที่สร้างขึ้นมีราคาดันทุนต่ำสามารถแผ่งขันในตลาดได้

การขยายตัวทางเศรษฐกิจของประเทศไทยเป็นไปอย่างต่อเนื่อง ทำให้ความต้องการพลังงานในแต่ละปีเพิ่มขึ้น โดยเฉพาะพลังงานไฟฟ้าที่ใช้งานในชีวิตประจำวัน จากข้อมูลของกรมพลังงานทดแทนและอนุรักษ์พลังงาน กระทรวงพลังงาน แสดงสัดส่วนการใช้พลังงานในอาคารปี 2550 พบว่า อัตราการใช้พลังงานไฟฟ้าในส่วนของระบบปรับอากาศภายในอาคารและบ้านอยู่อาศัย มีปริมาณสูงถึงร้อยละ 55 ของการใช้พลังงานไฟฟ้าทั้งหมด โดยมีการใช้พลังงานในระบบแสงสว่างคิดเป็นร้อยละ 27 และการใช้พลังงานไฟฟ้าในส่วนอื่นๆคิดเป็นร้อยละ 18 โดยเฉพาะอาคารประเภทศูนย์การค้าและโรงแรม มีการใช้พลังงานไฟฟ้าในส่วนของระบบปรับอากาศคิดเป็นร้อยละ 62 และ 65 ตามลำดับ จะเห็นได้ว่าการนำไฟฟ้าไปใช้ในส่วนของระบบปรับอากาศมีสัดส่วนการใช้พลังงานสูงมากเมื่อเทียบกับส่วนอื่นๆ ซึ่งยังมีแนวโน้มที่จะเพิ่มสูงขึ้นเรื่อยๆ ซึ่งภาระการทำความเย็นของระบบปรับอากาศหรือระบบทำความเย็นนั้นเกิดจากภาระความร้อนภายในและการความร้อนภายนอก โดยภาระความร้อนภายในเกิดจาก อุปกรณ์สำนักงาน คนหลอดไฟฟ้า ส่วนภาระความร้อนภายนอกได้แก่ รังสีอาทิตย์ อุณหภูมิ และความชื้นของอากาศภายนอกพื้นที่ทำความเย็น ซึ่งพบว่าความชื้นของอากาศที่สูงขึ้นจะส่งผลให้ภาระการทำความเย็นของระบบทำความเย็นสูงขึ้น นั่นคือระบบทำความเย็นต้องใช้พลังงานไฟฟ้ามากขึ้นเพื่อกำจัดภาระที่เกิดจากความชื้นดังกล่าว ทำให้ต้องเสียค่าใช้จ่ายด้านพลังงานมากขึ้นด้วย ดังนั้นการลดความชื้นของอากาศก่อนเข้าอยู่ทำความเย็น จะทำให้ภาระการทำความเย็นในรูปความร้อนแฝงลดลง โดยสภาวะในห้องปรับอากาศที่เหมาะสมจะอยู่ในช่วงอุณหภูมิระหว่าง 20–26 °C ค่าความชื้นสัมพัทธ์

30-60% ที่ความเร็วลมไม่เกิน 0.15 m/s (ANSI/ASHRAE Standard 55-1992) ระบบปรับอากาศต้องรับภาระการทำความเย็นมากในสภาพอากาศแบบร้อนชื้นของประเทศไทย ซึ่งมีอุณหภูมิและความชื้นสัมพัทธ์สูงตลอดทั้งปี โดยเฉลี่ยอยู่ที่ 30-35 °C และค่าความชื้นสัมพัทธ์อยู่ที่ 70-80% (Khedari et al., 2001) ซึ่งแสดงให้เห็นอย่างชัดเจน ถึงความจำเป็นในการพัฒนา และใช้เทคโนโลยีที่ใช้พลังงานน้อย ในการปรับสภาพแวดล้อมเพื่อให้เกิดความสบาย

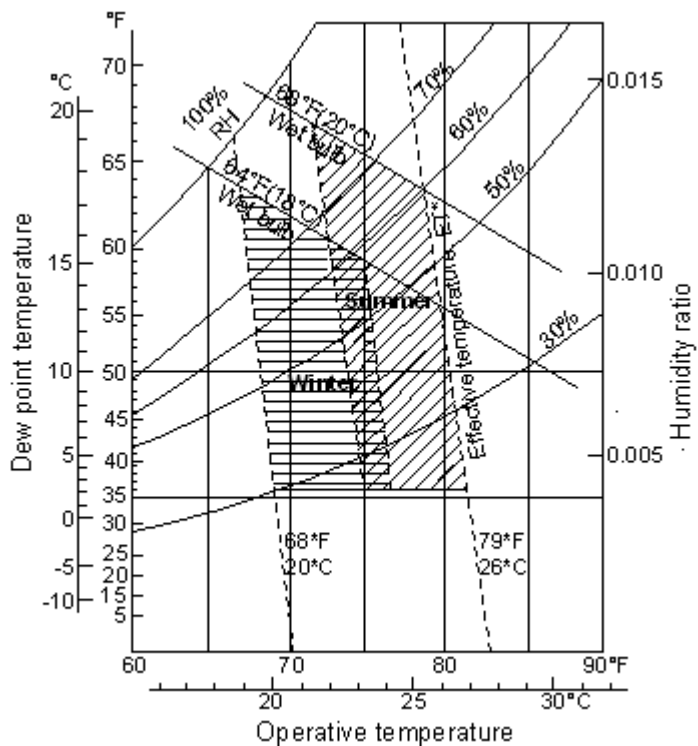
งานวิจัยนี้เป็นการศึกษาสารคูณความชื้น ในการลดความชื้นของอากาศที่ผ่านเข้ามาภายในอาคาร โดยทำการออกแบบและทดสอบระบบทำความเย็นด้วยสารคูณความชื้น ซึ่งมีการจำลองระบบดังกล่าวโดยใช้โปรแกรม EnergyPlus version 1.4 เพื่อพิจารณาด้านการประหยัดพลังงานและความเป็นไปได้ในทางปฏิบัติ และหลังการติดตั้งสารคูณความชื้น ทำการวิเคราะห์ระดับพลังงานที่ใช้ในระบบทำความเย็นโดยสารคูณความชื้นเปรียบเทียบกับระบบทำความเย็นแบบอัตโนมัติสภาพอากาศจริง การศึกษาด้วยวิธีการทดลอง โดยใช้สารคูณความชื้นในการลดความชื้นของอากาศภายในออกก่อนเข้าห้องปรับอากาศ ซึ่งเป็นห้องทดลองที่ศึกษาตั้งอยู่ชั้นสองของบ้านประหยัดพลังงานของโครงการบ้านประหยัดพลังงานประเภทบ้านเดี่ยว กรณีศึกษาจังหวัดสงขลาหรือจังหวัดใกล้เคียง ซึ่งตั้งอยู่ในมหาวิทยาลัยสงขลานครินทร์ วิทยาเขตหาดใหญ่ โดยระบบคูณความชื้นที่ใช้ในงานวิจัยเป็นกล้องดูดความชื้นที่มีขนาดเส้นผ่าศูนย์กลาง 0.5 m และมีความหนา 0.2 m และใช้สารคูณความชื้นชนิดของแข็งคือ ซิลิกาเจลในการทดลอง

1.2 การตรวจเอกสาร

1.2.1 สภาวะอากาศในภูมิภาคของประเทศไทย และมาตรฐานความสบาย

จากการศึกษาการเกี่ยวกับสภาพอากาศในภูมิภาคของประเทศไทยของ Khedari et al. (2001) โดยใช้ข้อมูลทางสถิติจากการอุตุนิยมวิทยาในช่วงเวลา 18 ปี จาก 73 จังหวัดทั่วประเทศไทย ที่ด้วยโปรแกรม Surfer computer program version 7.0 ที่ระดับความเชื่อมั่นมากกว่าหรือเท่ากับ 97.5% (2.5% significant level) พบว่าประเทศไทยมีอุณหภูมิโดยเฉลี่ยอยู่ที่ 30-35 °C และความชื้นสัมพัทธ์อยู่ที่ 70-80% โดยภาคใต้ของประเทศไทยมีอุณหภูมิอยู่ระหว่าง 20-38 °C และความชื้นสัมพัทธ์อยู่ระหว่าง 50-100%

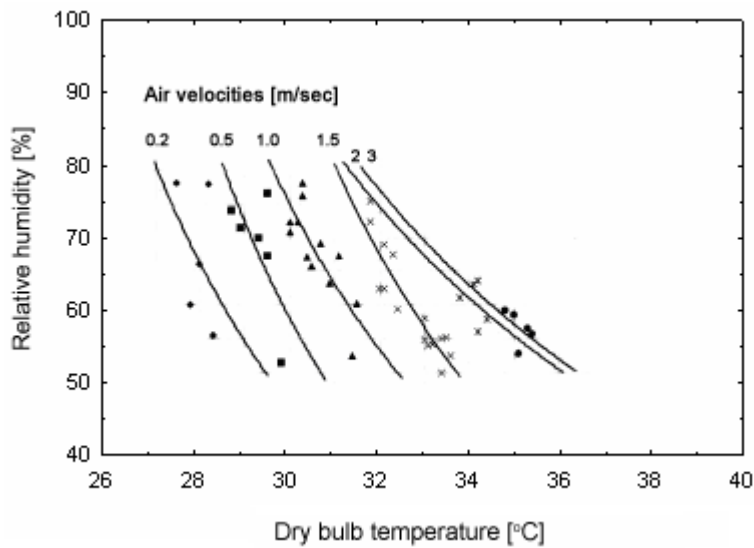
สำหรับข้อมูลสภาพอากาศ และมาตรฐานความสบายจากเอกสารของ ASHRAE (American Society of Heating Refrigerating and Air Conditioning) พบว่ามาตรฐานโซนที่มีความสบายของร่างกายอยู่ในช่วงอุณหภูมิระหว่าง 20-26 °C ความชื้นสัมพัทธ์ในช่วง 30-60% ที่ความเร็วลมไม่เกิน 0.15 m/s แผนภูมิความสบายแสดงดังรูปที่ 1.1



รูปที่ 1.1 แผนภูมิความสบายน

(Source: ANSI/ASHRAE Standard 55-1992)

สำหรับประเทศไทย Khedari et al. (2000) ได้ทำการศึกษาและกำหนดมาตรฐาน โฉนดที่มีความสบายนจากอัตราการระบายอากาศ โดยการใช้แบบสอบถามค่าความสบายน (Predicted Mean Vote) จากตัวอย่างจำนวน 288 คน เป็นเพศชาย 183 คน และเพศหญิง 105 คน อายุ 19-22 ปี ที่ระดับการใส่เสื้อผ้า 0.54-0.55 clo ($3.483-3.5475 \text{ W/m}^2\text{-K}$) ระดับการทำงาน 1 met (58.2 W/m^2) ห้องทดลองเป็นห้องที่ไม่มีการปรับอากาศ ควบคุมสภาวะอากาศภายในห้องที่อุณหภูมิ $26-36^\circ\text{C}$ ความชื้นสัมพัทธ์ 50-80% ความเร็วลม 0.2-3 m/s พบร่วมค่าความสบายนเท่ากับ 78.4% แผนภูมิความสบายนของการระบายอากาศแสดงดังรูปที่ 1.2



รูปที่ 1.2 แผนภูมิความสบายนของการระบายอากาศ

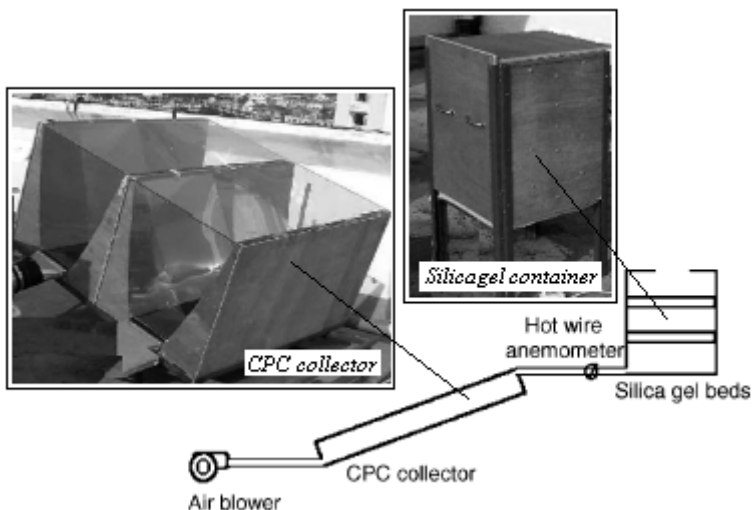
(Source: Khedari et al., 2000)

1.2.2 การศึกษาเบดดูดความชื้น

Techajuntha et al. (1999) ศึกษาการใช้สารดูดความชื้นชนิดของแข็งในการลดความชื้นของอากาศ และใช้พลังงานความร้อนในการคายความชื้นออกจากสารดูดความชื้น โดยการศึกษามีการใช้พลังงานความร้อนจากหลอดไฟฟ้าแทนการใช้พลังงานแสงอาทิตย์ สารดูดความชื้นที่ใช้คือ ซิลิกาเจล จำนวน 1 kg พบร่วมกับน้ำในช่วง 10 นาทีแรกของการทดลองลดความชื้นในอากาศ อัตราการลดความชื้นจะเพิ่มขึ้นอย่างรวดเร็ว เนื่องจากความดันไอที่ผิวของสารดูดความชื้นในตอนเริ่มต้นมีค่าน้อยมากเมื่อเทียบกับความดันไอของอากาศ และหลังจากนั้นอัตราการลดความชื้นจะเริ่มมีค่าลดลง ซึ่งพบว่าที่อัตราการไหหลอดอากาศเพิ่มขึ้นค่าอัตราการลดความชื้นจะมีค่าสูงขึ้น ส่วนการทดลองคายความชื้นของสารดูดความชื้น พบร่วมกับน้ำในช่วง 40 นาทีแรกของการทดลอง อัตราการคายความชื้นของสารดูดความชื้นจะเพิ่มขึ้นอย่างรวดเร็ว เนื่องจากความดันไอของความชื้นที่อยู่ในสารดูดความชื้นมีค่าเพิ่มขึ้นอย่างรวดเร็ว ซึ่งพบว่าที่อัตราการไหหลอดอากาศต่ำ ค่าอัตราการคายความชื้นจะมีค่าสูง และจากการทดลองคายความชื้นที่ 300 และ 700 W/m² อัตราการคายความชื้นมีค่าประมาณ 0.03 และ 0.1 kg/hr ตามลำดับ

Pramuang and Exell (2006) ศึกษาการใช้พลังงานความร้อนจากแสงอาทิตย์ในการคายความชื้นออกจากสารดูดความชื้นชนิดซิลิกาเจล โดยใช้อุปกรณ์รับรังสีคงอาทิตย์แบบแผ่นโลจิ่งพาราโบล่าและแพ่นราน (Compound Parabolic Concentrator, CPC) ซึ่งมีพื้นที่รับแสง 0.48 m² ชั้นของสารดูดความชื้นมีขนาด 0.5×0.5 m² ความหนา 2.5 cm ส่วนกล้องบรรจุชั้นของสารดูดความชื้น

มีขนาด $0.5 \times 0.5 \text{ m}^2$ ความสูง 0.6 m และดังรูปที่ 1.3 โดยอุปกรณ์รับแสงมีประสิทธิภาพประมาณ 0.68 ความร้อนสูญเสียประมาณ $8.51 \text{ W/m}^2\text{-K}$ จากการทดลองพบว่า ที่อุณหภูมิทางเข้าอุปกรณ์รับแสง 30°C อุณหภูมิที่ทางออกจะสูงขึ้นประมาณ $20-50^\circ\text{C}$ ยกเว้นกรณีอากาศที่มีเมฆมาก อุณหภูมิจะสูงขึ้นประมาณ 10°C โดยที่อัตราการไหหลังของอากาศ 0.03 kg/s ความร้อนจากแสงอาทิตย์ 700 W/m^2 อัตราการคายความชื้นของซิลิกาเจลจำนวน 8.5 kg มีค่า 0.6 kg/h และพบว่าที่อัตราการไหหลังอากาศสูงๆ (0.03 kg/h) สามารถคายความชื้นออกจากสารดูดความชื้นได้ที่อุณหภูมิ 40°C ดังนั้นกรณีที่ค่าความร้อนจากแสงอาทิตย์น้อยกว่า 300 W/m^2 ต้องใช้อัตราการไหหลังอากาศสูงขึ้นในการคายความชื้น



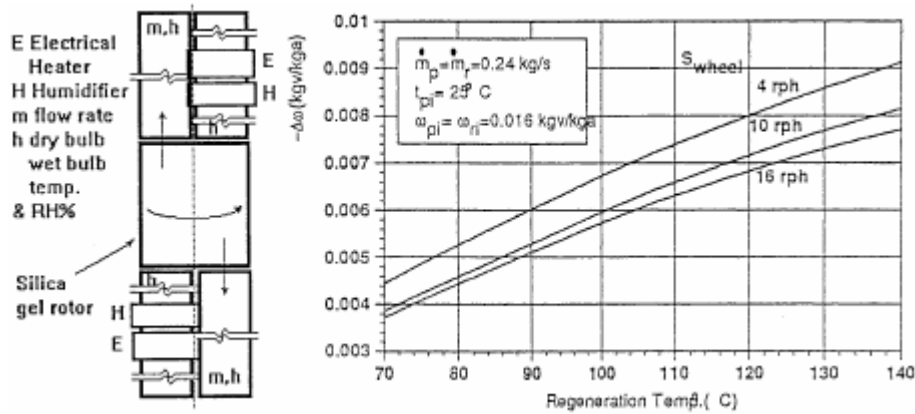
รูปที่ 1.3 ชุดการทดลองและเบดดูดความชื้น

(Source: Pramuang and Exell, 2006)

1.2.3 การศึกษาถังล้อดูดความชื้น

Neti and Wolfe (2000) ศึกษาเกี่ยวกับถังล้อดูดความชื้น โดยระบบที่ทำการศึกษาประกอบด้วย ถังล้อดูดความชื้นขั้นเบสเคลื่อนด้วยมอเตอร์ปรับความเร็วรอบและส่งกำลังด้วยสายพาน ถังล้อดูดความชื้นมีขนาดเส้นผ่านศูนย์กลาง 0.32 m ความหนา 0.4 m สารดูดความชื้นที่ใช้ในการทดลอง คือ ซิลิกาเจล จำนวน 9 kg ศึกษาที่สภาพอากาศ $20-30^\circ\text{C}$ ความชื้นสัมพัทธ์ $30-100\%$ อากาศที่ใช้ในการคายความชื้น $70-160^\circ\text{C}$ ความชื้นสัมพัทธ์ $30-90\%$ ความเร็วรอบถังล้อ $4-16 \text{ rph}$ ผลการศึกษาพบว่า ที่อุณหภูมิอากาศในการคายความชื้นสูงขึ้นหรือความเร็วรอบของถังล้อดูดความชื้นลดลง อัตราการคายความชื้นออกจากสารดูดความชื้นจะมีค่าสูงขึ้น โดยอุณหภูมิอากาศที่ใช้ในการคายความชื้นมีผลต่ออัตราการคายความชื้นของสารดูดความชื้นมากกว่าความเร็วรอบของถัง

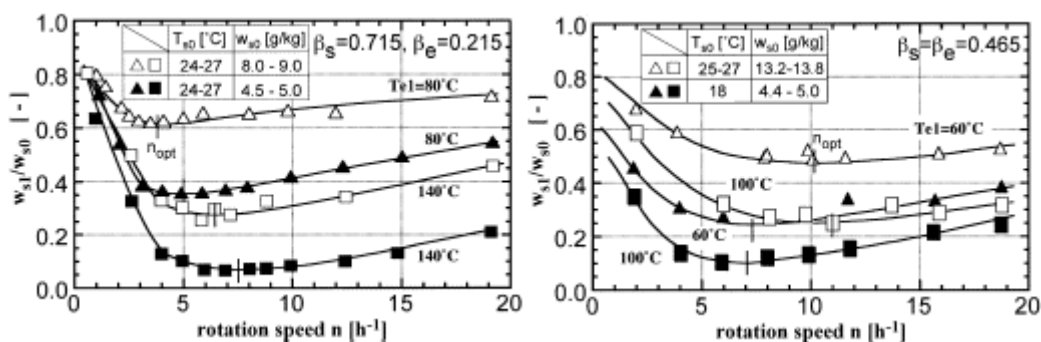
ล้อดูดความชื้น และที่ความเร็วรอบของกงล้อดูดความชื้นสูงขึ้น อัตราการรายความชื้นของสารดูดความชื้นมีค่าใกล้เคียงกัน ชุดการทดลองและผลการทำนายกงล้อดูดความชื้นแสดงดังรูปที่ 1.4



รูปที่ 1.4 ชุดการทดลองและผลการทำนายกงล้อดูดความชื้น

(Source: Neti and Wolfe, 2000)

Kodama et al. (2001) ศึกษาเกี่ยวกับความเร็วของกงล้อดูดความชื้นที่เหมาะสม โดยกงล้อดูดความชื้นที่ศึกษามีขนาดผ่านศูนย์กลาง 0.32 m ความหนา 0.05, 0.1 และ 0.2 m ภายใน กงล้อบรรจุสารดูดความชื้น คือ ซิลิกาเจลประมาณ 70-80% โดยมีสัดส่วนพื้นที่การทำงานระหว่าง กระบวนการลดความชื้นกับกระบวนการรายความชื้นเป็น 3:1 (unbalanced flow) และ 1:1 (balanced flow) ผลการศึกษาพบว่า ที่สภาวะอากาศ 24-27 °C อัตราส่วนความชื้น 0.008-0.014 kg_w/kg_{da} และอุณหภูมิของการรายความชื้น 60-80°C ความเร็วรอบของกงล้อดูดความชื้นที่เหมาะสม คือ 2-4 rph สำหรับ unbalanced flow และ 8-10 rph สำหรับ balanced flow และแสดงดังรูปที่ 1.5



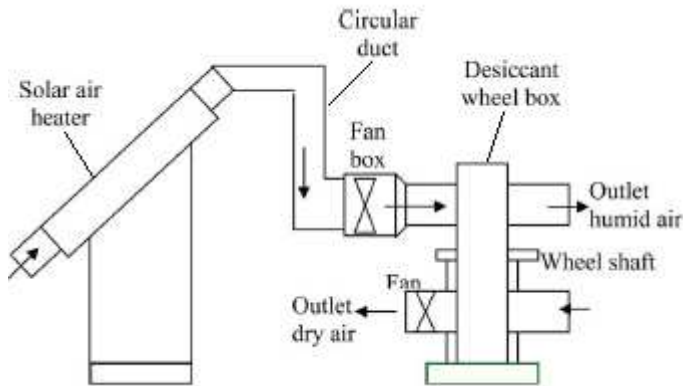
รูปที่ 1.5 ความเร็วรอบที่เหมาะสมที่ความเร็วอากาศ 1 m/s (ความหนาของกง 0.2 m)

(Source: Kodama et al., 2001)

Zhang and Niu (2002) ศึกษาสมรรถนะของกงล้อคุณภาพชี้นในกระบวนการผลิต ความชื้น โดยใช้สมการทางคณิตศาสตร์ทำนายพฤติกรรมของกงล้อคุณภาพชี้น ตัวแปรที่ศึกษาได้แก่ ความเร็วอบ ขนาดของผนังสัมผัส อัตราส่วนระหว่างพื้นที่ผิวสัมผัสกับปริมาตรของกงล้อ ค่าสมรรถนะ ค่า sensible effectiveness ค่า latent effectiveness และค่าความสามารถในการลดความชื้นต่อมวลสารคุณภาพชี้น โดยสภาวะอากาศที่ทางเข้ามีอุณหภูมิ 30°C อัตราส่วนความชื้น $0.021 \text{ kg}_w/\text{kg}_{da}$ และอุณหภูมิของการขายความชื้น 90°C พบร่วมกันความเร็วอบของกงล้อคุณภาพชี้นที่เหมาะสมประมาณ 30 rph ซึ่งการเพิ่มพื้นที่สัมผัสจะทำให้กงล้อมีความสามารถลดความชื้นมากขึ้น ซึ่งสอดคล้องกับค่าอัตราส่วนระหว่างพื้นที่ผิวสัมผัสกับปริมาตรของกงล้อที่สูงขึ้นส่งผลให้ความสามารถในการลดความชื้นของกงล้อคุณภาพชี้นเพิ่มขึ้น

Ahmed et al. (2005) ศึกษาตัวแปรต่างๆที่มีผลต่อสมรรถนะของกงล้อคุณภาพชี้น โดยใช้พัฒนาและอาทิตย์ในการพยายามชี้น และใช้สมการทางคณิตศาสตร์มาคำนวณพุทธิกรรมของกงล้อคุณภาพชี้นรวมกับการทดลอง ตัวแปรที่ศึกษาได้แก่ ความหนาของกงล้อคุณภาพชี้น ความเร็วรอบ สัดส่วนพื้นที่การทำงานระหว่างกระบวนการลดความชี้นกับกระบวนการลดความชี้น อัตราส่วนความชี้น อัตราส่วนระหว่างปริมาตรของอากาศกับปริมาตรของกงล้อคุณภาพชี้น อัตราส่วนความชี้น และอุณหภูมิที่ใช้ในการพยายามชี้น พบว่าค่าจากการทำงานและการทดลองใกล้เคียงกัน โดยเฉพาะที่อัตราการไหลของอากาศอยกว่า 3 kg/min ซึ่งมีความความคลาดเคลื่อนไม่เกิน 7% โดยการทดลองใช้แผงรับรังสีคงอุตติทัยขนาด 2 m^2 กงล้อคุณภาพชี้นขนาดเส้นผ่านศูนย์กลาง 0.7 m ความหนา 0.2 m บรรจุสารคุดความชี้นชนิดซิลิกาเจล 30 kg โดยแบ่งสัดส่วนพื้นที่การทำงานระหว่างกระบวนการลดความชี้นกับกระบวนการพยายามชี้นเท่าๆกัน ชุดการทดลองแสดงดังรูปที่ 1.6 ผลจากการศึกษาพบว่า ความหนาของกงล้อคุณภาพชี้นเพิ่มขึ้นส่งผลอัตราการลดความชี้นสูงขึ้น และจะเริ่มคงที่เมื่อมีค่า $0.18-0.26 \text{ m}$ สำหรับอุณหภูมิที่ใช้ในการพยายามชี้น $60-90^\circ\text{C}$ ความเร็วของกงล้อเพิ่มขึ้นส่งผลอัตราการลดความชี้นลดลง อัตราส่วนระหว่างพื้นที่การพยายามชี้นกับการลดความชี้นเพิ่มขึ้นจะทำให้การพยายามร้อนแฟ่เป็นการร้อนสัมผัสเพิ่มขึ้น ซึ่งพบว่าค่าอัตราส่วนที่เหมาะสมจะอยู่ในช่วง $0.7-0.9$ สำหรับอุณหภูมิพยายามชี้น 60°C และ $0.25-0.4$ สำหรับอุณหภูมิพยายามชี้น 90°C ดังนั้นสามารถลดพื้นที่ในการพยายามชี้นได้มีอัตราเพิ่มอุณหภูมิพยายามชี้นให้สูงขึ้น และอัตราส่วนระหว่างปริมาตรของอากาศกับปริมาตรของกงล้อลดลง (ใช้ปริมาณของสารคุดความชี้นเพิ่มขึ้น) ส่งผลอัตราการลดความชี้นสูงขึ้น โดยพบว่าในกรณีที่ค่าน้อยกว่า 0.3 จะทำให้เกิดความดันตกสูง ทำให้จำเป็นต้องใช้ขนาดของพัดลมในระบบมีขนาดใหญ่ขึ้น โดยค่าอัตราส่วนที่เหมาะสมจะอยู่ในช่วง $0.4-0.7$ จากการศึกษาพัฒนาความร้อนที่ได้จาก

แผงรับรังสีดิจางอาทิตย์คิดเป็นร้อยละ 72.8 ของพลังงานทั้งหมดที่ใช้ในการรายความชื้นที่ 1.9 kg/min อุณหภูมิความชื้น 60°C และคิดเป็น 59.1% ที่ 9.4 kg/min อุณหภูมิความชื้น 90°C

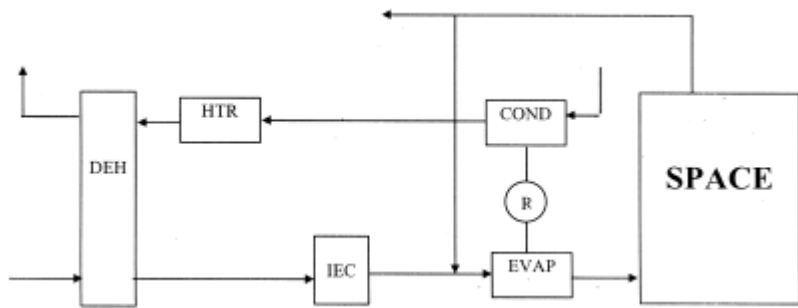


รูปที่ 1.6 ชุดการทดลองศึกษาตัวแปรต่างๆ ที่มีผลต่อสมรรถนะของกล้องดูดความชื้น

(Source: Ahmed et al., 2005)

1.2.4 การศึกษาระบบท่าความเย็นโดยสารดูดความชื้น

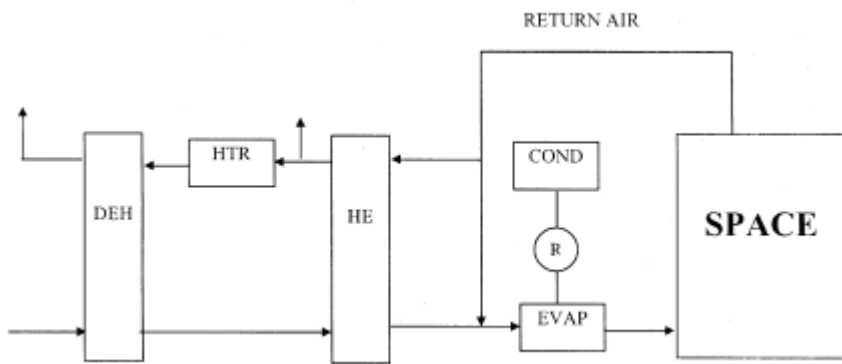
Burns et al. (1985) ศึกษาการใช้สารดูดความชื้นร่วมกับระบบทำความเย็นในห้องสรรพสินค้า ระบบที่ศึกษาได้แก่ ระบบ ventilation-condenser ระบบ recirculation-condenser และ ระบบ ventilation-heat exchanger โดยระบบ ventilation-condenser มีการนำอากาศไหหลบจากพื้นที่ที่ทำความเย็นซึ่งอุณหภูมิต่ำกว่าอากาศภายในออกผสมกับอากาศแห้งที่ผ่านกล้องดูดความชื้น ก่อนเข้าระบบทำความเย็น สำหรับระบบ recirculation-condenser มีการนำอากาศไหหลบจากพื้นที่ที่ทำความเย็นผสมกับอากาศจากภายในออกก่อนผ่านกล้องดูดความชื้น และเข้าระบบทำความเย็น ส่วนระบบ ventilation-heat exchanger มีการนำอากาศไหหลบจากพื้นที่ที่ทำความเย็นผสมกับอากาศแห้งที่ผ่านกล้องดูดความชื้นและเครื่องแยกเปลี่ยนความร้อนก่อนเข้าระบบทำความเย็น ผลจากการศึกษาพบว่า ระบบทำความเย็นโดยสารดูดความชื้นสามารถประยุกต์พลังงานได้ประมาณร้อยละ 56.5-66 ที่สภาวะอากาศภายนอก 30°C อัตราส่วนความชื้น 0.016 kg_w/kg_{da} สภาวะห้องปรับอากาศ 24 °C อัตราส่วนความชื้น 0.0104 kg_w/kg_{da} และอัตราส่วนการระบายความร้อนสัมพัสด์ต่อการระบายความร้อนทั้งหมด 0.35 โดยระบบ ventilation-condenser ประยุกต์พลังงานมากที่สุด ระบบ ventilation-condenser แสดงดังรูปที่ 1.7



รูปที่ 1.7 ระบบ ventilation-condenser

(Source: Burns et al., 1985)

Dhar and Singh (2001) ศึกษาการใช้สารดูดความชื้นชนิดของแข็งร่วมกับระบบทำความเย็นแบบอัดไอ โดยทำการศึกษาผลของปัจจัยต่างๆที่ส่งผลกระทบต่อระบบทำความเย็นโดยสารดูดความชื้น ได้แก่ อัตราส่วนการความร้อนสัมผัสต่อการความร้อนทึ้งหมวด อัตราการระบายอากาศ ต่ออัตราลมจ่าย และอุณหภูมิในการคายความชื้น ระบบที่ทำการศึกษาแสดงดังรูปที่ 1.8 พบร่วมกับสภาวะปรับอากาศ 25°C อัตราส่วนความชื้น $0.01 \text{ kg}_w/\text{kg}_{da}$ สภาวะอากาศภายนอก 43.2°C อัตราส่วนความชื้น $0.00726 \text{ kg}_w/\text{kg}_{da}$ และสภาวะอากาศภายนอกแบบร้อนชื้น 38.6°C อัตราส่วนความชื้น $0.01614 \text{ kg}_w/\text{kg}_{da}$ ที่อัตราส่วนการความร้อนสัมผัส 0.35 และ 0.75 อัตราการระบายอากาศต่ออัตราลมจ่าย 10% และ 20% พบร่วมกับสภาวะอากาศภายนอกแบบอากาศร้อนแห้ง ที่อัตราส่วนความร้อนสัมผัส 0.35 ค่าอัตราส่วนของอากาศ 10% สามารถประยุกต์พลังงานได้ประมาณร้อยละ 63.15 เทียบกับระบบทำความเย็นแบบอัดไอทั่วไป สำหรับอัตราส่วนของอากาศ 20% สามารถประยุกต์พลังงานประมาณได้ร้อยละ 58.9 และที่อัตราส่วนความร้อนสัมผัส 0.75 ค่าอัตราส่วนของอากาศ 10% สามารถประยุกต์พลังงานได้ประมาณร้อยละ 11.4 สำหรับอัตราส่วนของอากาศ 20% สามารถประยุกต์พลังงานได้ประมาณร้อยละ 10.63 และกรณีสภาวะอากาศภายนอกแบบร้อนชื้น ที่อัตราส่วนความร้อนสัมผัส 0.35 ค่าอัตราส่วนของอากาศ 20% สามารถประยุกต์พลังงานได้ประมาณร้อยละ 46.6 โดยอุณหภูมิที่ใช้ในการคายความชื้นประมาณ 135°C แต่ที่อัตราส่วนความร้อนสัมผัสสูง (0.75) สามารถประยุกต์พลังงานได้น้อย ดังนั้นระบบทำความเย็นแบบอัดไอ โดยสารดูดความชื้นเหมาะสมสมกับสภาวะที่มีการความร้อนแห้งสูงสำหรับสภาวะอากาศแบบร้อนชื้น และจากการศึกษาอุณหภูมิที่ใช้ในการคายความชื้นที่เหมาะสมคือ $60\text{--}80^{\circ}\text{C}$



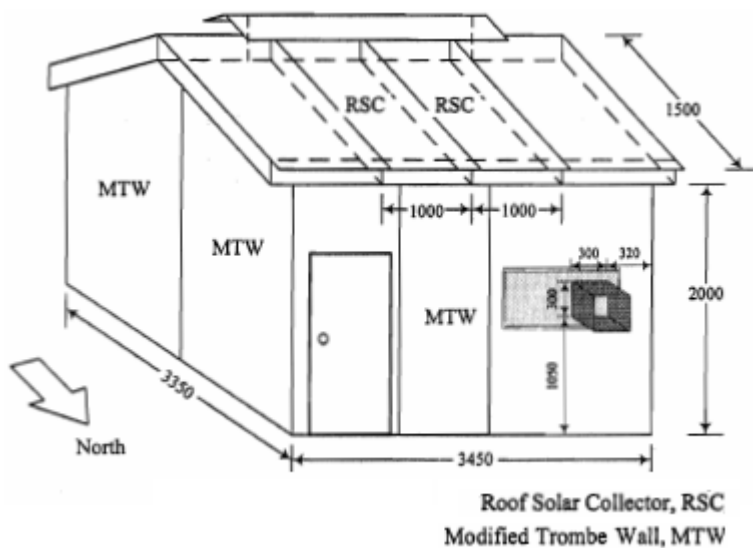
รูปที่ 1.8 ระบบปรับอากาศโดยสารดูดความชื้น

(Source: Dhar and Singh, 2001)

สถาพร ทองวิค (2543) ศึกษาการลดการใช้พลังงานในระบบปรับอากาศด้วยสารดูดความชื้นชนิดแข็ง คือโมเลกุลาร์ซีฟ จัดเรียงตัวเป็นลักษณะกลุ่มห่อ โดยศึกษาตัวแปรอิสระที่มีผลต่อการประหยัดพลังงานไฟฟ้าได้แก่ จำนวนแท่งของสารดูดความชื้น ความเร็วลม อุณหภูมิ และปริมาณความชื้น ที่สภาวะปรับอากาศ 25°C ความชื้นสัมพัทธ์ 60% สภาวะอากาศภายนอก $20\text{-}40^{\circ}\text{C}$ ความชื้นสัมพัทธ์ 60-80% ความเร็วลม 1-3 m/s ผลจากการการศึกษาพบว่า ความเร็วลมมีค่าเพิ่มมากขึ้น อากาศสามารถระบายน้ำร้อนได้ดี ทำให้สารดูดความชื้นสามารถดูดซับความชื้นได้ดีขึ้น ผลจากความชื้นสัมพัทธ์เพิ่มขึ้นอัตราการลดความชื้นในอากาศเพิ่มขึ้นตามความชื้นสัมพัทธ์ของอากาศที่ทางเข้าแต่ไม่แตกต่างกันมากนัก ซึ่งผลมาจากการคุณสมบัติของสารโมเลกุลาร์ซีฟที่มีอัตราดูดความชื้นค่อนข้างคงที่ภายใต้สภาวะความชื้นสัมพัทธ์ต่างๆ กัน ผลจากอุณหภูมิของอากาศสูงขึ้น ความแตกต่างของความดันไอเพิ่มมากขึ้นทำให้ความดูดซับความชื้นในอากาศดีขึ้น ส่วนผลจากจำนวนแท่งของสารดูดความชื้นพบว่า กรณีที่จำนวนแท่งลดลงตามไปด้วย ระบบปรับอากาศโดยสารดูดความชื้นลดลงทำให้อัตราการลดความชื้นลดลงตามไปด้วย ระบบปรับอากาศโดยสารดูดความชื้นเหมาะสมกับสภาวะอากาศภายนอก $22\text{-}36^{\circ}\text{C}$ และความเร็วลม 1 m/s ระยะเวลาสำหรับเปลี่ยนสารดูดความชื้น 30 นาที โดยมีระยะเวลาคืนทุน 5.45 ปี และค่าอัตราตอบแทนผลการลงทุน 12.89%

เสนีย์ ใจอ่อน (2543) ศึกษาการปรับปรุงสภาวะภายในห้องที่มีการระบายน้ำอากาศด้วยปล่องระบายน้ำอากาศ โดยใช้สารดูดความชื้นเชิงอุตสาหกรรม โดยทำการศึกษามรรคณของสารดูดความชื้นชนิดของแข็งเพื่อปรับอากาศภายในบ้านที่มีระบบปล่อยรังสีอาทิตย์เพื่อการระบายน้ำร้อนภายในบ้าน และดังรูปที่ 1.9 โดยสารดูดความชื้นที่ใช้ในการศึกษามีสถานะเป็นของแข็ง สีขาวบรรจุในกล่อง มีความสามารถในการดูดความชื้นได้ 350 ml น้ำหนักสุทธิ 200 g ต่อกล่อง โดยจะเปลี่ยนเป็นสถานะของเหลวเมื่อสารดูดความชื้นเกิดการอิ่มตัวและจะไหลลงไปอยู่ที่ชั้นเก็บ

ของเหลวซึ่งอยู่ด้านล่างภายในกล่องเก็บสารดูดความชื้น สถานที่ใช้ในการศึกษาเป็นลักษณะบ้านรังสีอาทิตย์แบบห้องเดียวที่มีปริมาตร 25 m^3 ที่มีปล่องรังสีอาทิตย์ที่ผนังและหลังคา โดยอาศัยอิทธิพลแรงดึงดูดตัวของอากาศที่สัมผัสกับผิวผนังหรือหลังคาที่มีอุณหภูมิสูงภายในช่องว่าง ทำให้อากาศร้อนขึ้นมีผลให้ความหนาแน่นของอากาศลดลงเกิดการเหนี่ยวน้ำอากาศที่มีอุณหภูมิต่ำเข้ามาแทนที่ จากการศึกษาพบว่าตำแหน่งที่เหมาะสมที่สุดคือ ตำแหน่งภายในบ้านหรือบริเวณที่ต้องการลดความชื้น โดยสามารถลดความชื้นของอากาศได้ร้อยละ 4.67 ที่สภาวะอากาศภายนอก 31.61°C อัตราส่วนความชื้น $0.0214 \text{ kg}_{\text{w}}/\text{kg}_{\text{da}}$ และอัตราการระบายอากาศเท่ากับ 8 เท่าของปริมาตรห้อง ($\text{ACH} = 8$) จำนวนสารดูดความชื้น 1.2 kg โดยอายุใช้งานของสารดูดความชื้นประมาณ 51 วัน ที่อัตราการลดความชื้นในอากาศ 0.22 g/h จากการวิเคราะห์ทางเศรษฐศาสตร์เปรียบเทียบระหว่างการใช้พัดลมร่วมกับสารดูดความชื้น (เวลาทำงาน 24 ชั่วโมง) ต่อการใช้เครื่องปรับอากาศที่มีขนาด $12,000 \text{ Btu/hr}$ (เวลาทำงาน 8 ชั่วโมง) สภาวะปรับอากาศ 25°C ความชื้นสัมพัทธ์ 50% สภาวะอากาศภายนอก 31.6°C ความชื้นสัมพัทธ์ 87% พนว่าสามารถประหยัดเงินได้ $9,073$ บาทต่อปี

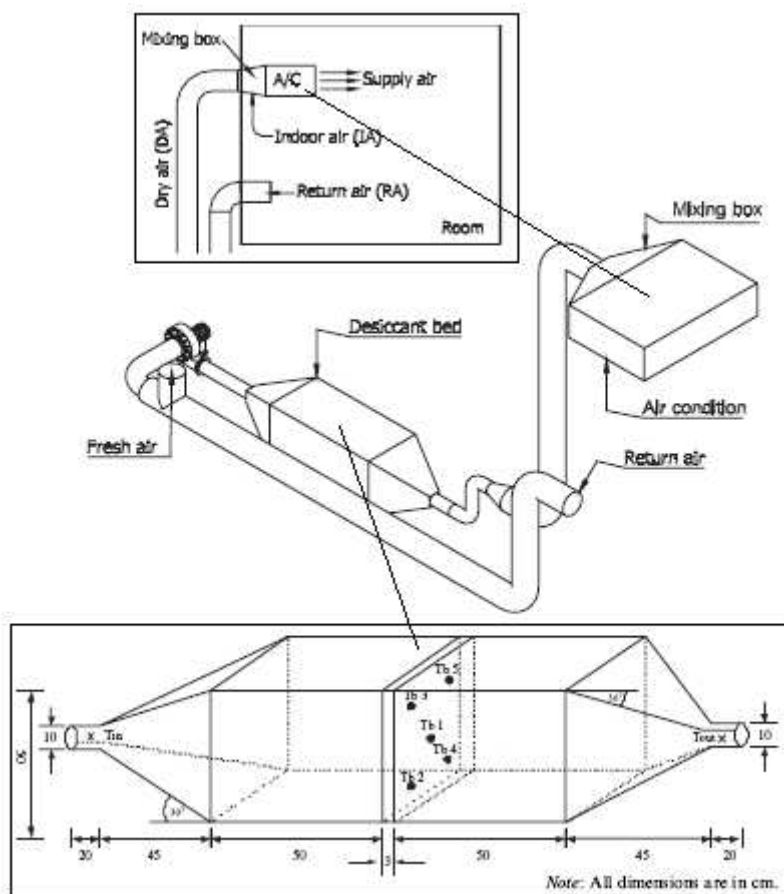


รูปที่ 1.9 ห้องที่มีการระบายอากาศด้วยปล่องระบายอากาศ โดยใช้สารดูดความชื้น
(ที่มา: เสนีย์ ใจอ่อน 2543)

วันพุธ ๒๗ น้ํา (2544) ศึกษาความเป็นไปได้ของระบบปรับอากาศในประเทศไทย โดยใช้สารดูดความชื้น โดยนำอากาศผ่านสารดูดความชื้น คือ ซิลิกาเจล เพื่อลดความชื้นของอากาศ ก่อนนำไปปรับสภาวะอากาศด้วยพัดลมปรับความเร็วตามสภาวะแวดล้อมแบบอัตโนมัติ ซึ่งสามารถควบคุมความเร็วตามให้อยู่ในสภาวะความสบายน้ำตามแผนภูมิความสบายน้ำที่ระบุประเทศไทย

ห้องที่ใช้ในการศึกษามีขนาด 76.8 m^3 ในการทดลองทำการเปลี่ยนแปลงสัดส่วนอากาศ อัตราการไหลดของอากาศและจำนวนคนในห้องที่สภาวะอากาศแวดล้อมใกล้เคียงกัน พบร่วมกับสัดส่วนอากาศ บริสุทธิ์หรืออากาศจากภายนอก 30% อากาศไหลดลับหรืออากาศจากห้องปรับอากาศ 70% และอัตราการไหลด $550 \text{ m}^3/\text{hr}$ มีสภาวะความสมบายนอกที่สุด และพบว่าความชื้นที่เพิ่มขึ้นมีอิทธิพลต่อสภาวะความสมบายของคนไทยมากกว่าอุณหภูมิที่เพิ่มขึ้น โดยการลดความชื้นของอากาศยังสามารถช่วยลดการใช้พลังงานไฟฟ้าของพัดลมปรับความเร็วตามสภาวะแวดล้อมแบบอัตโนมัติได้ประมาณร้อยละ 5.7

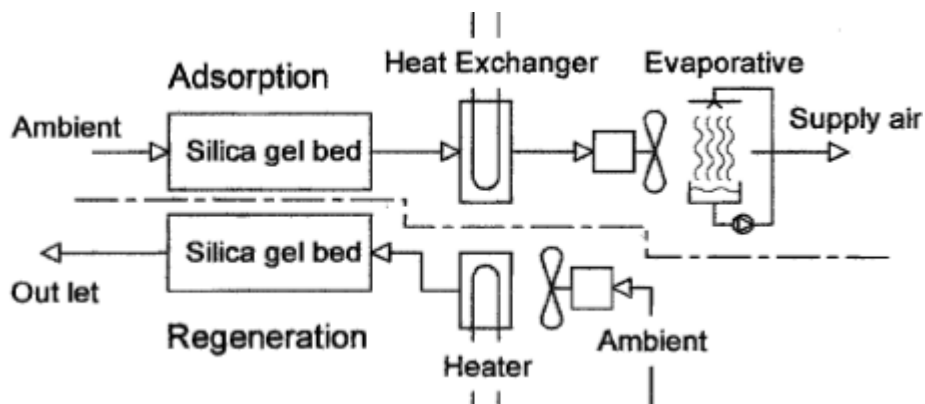
รัชนีวรรณ เจริญวัฒน์ (2544) ศึกษาความเป็นไปได้ในการลดความชื้นในอากาศในระบบปรับอากาศเตอร์อนสำหรับประเทศไทย โดยใช้ชิลิกาเจลเป็นสารดูดความชื้นร่วมกับระบบปรับอากาศแบบแยกส่วนขนาด 1.5 ตันความเย็น (18,000 Btu/hr) การทดลองใช้ชิลิกาเจลจำนวน 5 และ 11 kg ขนาดชิ้นของสารดูดความชื้นมีพื้นที่หน้าตัด 0.25 m^2 ($0.5 \times 0.5 \text{ m}^2$) ที่มีความหนา 3 และ 5 cm ตามลำดับ ชุดการทดลองและชิ้นของสารดูดความชื้น แสดงดังรูปที่ 1.10 ห้องที่ใช้ในการศึกษามีขนาด 76.8 m^3 พบร่วมกับอุณหภูมิความชื้นขนาดความหนา 5 cm มีอัตราการลดความชื้นได้สูงกว่ากล่องขนาดความหนา 3 cm จาก 230 เป็น 473 kg/hr ซึ่งความดันตกที่เพิ่มขึ้นในระบบมีค่าเล็กน้อย โดยที่อัตราส่วนอากาศภายนอก 15% อากาศไหลดลับจากห้องปรับอากาศ 15% ผสมกลับอากาศที่อยู่ในห้องปรับอากาศ 70% สามารถประยัดพลังงานได้สูงสุดร้อยละ 24 เทียบกับระบบปรับอากาศแบบอัตโนมัติ ไอทั่วไป สำหรับระบบปรับอากาศที่มีขนาดมากกว่า 100 ตัน จะมีต้นทุนของระบบทำความเย็นโดยสารดูดความชื้นประมาณ 297,800 บาท โดยสามารถประยัดค่าใช้จ่ายได้ประมาณ 72,963 บาทต่อปี หรือคิดเป็นระยะเวลา 4 ปี และค่าอัตราตอบแทนผลการลงทุน 24.5%



รูปที่ 1.10 ชุดการทดลองและชั้นของสารดูดความชื้น

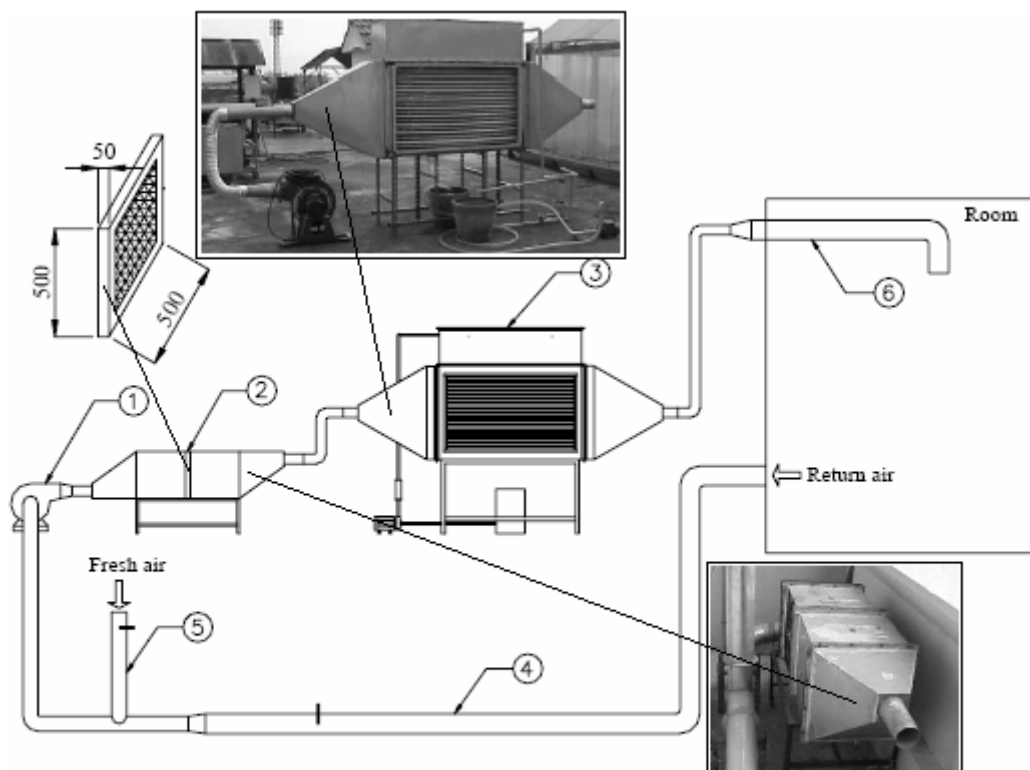
(ที่มา: วิชานิเวศน์ เจริญวัฒน์ 2544)

กฤษ ตราจู (2544) ศึกษาการปรับปรุงระบบทำความเย็นแบบประหยัดโดยการเพิ่มกระบวนการลดความชื้น โดยนำอากาศผ่านสารดูดความชื้น คือ ซิลิกาเจล เพื่อลดความชื้นของอากาศก่อนเข้าสู่ระบบทำความเย็น สารดูดความชื้นมีลักษณะแบ่งเป็นชั้นๆ หนา 10 mm ยาว 35 cm บรรจุในกล่องขนาด 0.011 m^3 ที่มีพื้นที่หน้าตัดสารดูดความชื้น 0.032 m^2 และพื้นที่การไหลของอากาศ 0.005 m^2 โดยใช้สารดูดความชื้น 5.8 kg ชุดการทดลองแสดงดังรูปที่ 1.11 พบว่าที่อุณหภูมิในการทำความชื้น 50°C สภาวะปรับอากาศ $27-28^\circ\text{C}$ ประสิทธิภาพของอุปกรณ์การถ่ายเทความร้อน 55-80% ต่ำประสิทธิ์สมรรถนะของระบบปรับอากาศเมื่อค่าประมาณ 0.35 โดยมีค่าต่ำประสิทธิ์สมรรถนะสูงสุดที่ 0.45 ซึ่งพบว่าค่าประสิทธิ์กิภาพในการทำความเย็นแบบประหยัดเฉลี่ย 67-71% สูงกว่าระบบการทำความเย็นแบบประหยัดที่ไม่มีกระบวนการลดความชื้นประมาณ 10%



รูปที่ 1.11 ชุดการทดลองระบบทำความเย็น โดยการเพิ่มกระบวนการลดความชื้น
(ที่มา: กกจ ตราด 2544)

อธิษัทกิตติ์ คล้ายมงคล (2545) ศึกษาการปรับอากาศด้วยสารดูดความชื้นร่วมกับเครื่องทำความเย็นแบบระเหยโดยทางอ้อม ซึ่งใช้シリカเจลเป็นสารดูดความชื้น ขั้นของสารดูดความชื้นมีขนาด $0.5 \times 0.5 \text{ m}^2$ ความหนา 0.05 m เครื่องทำความเย็นแบบระเหยโดยทางอ้อมประเภทท่อสร้างจากท่อพีวีซีขนาดเด็นผ่านศูนย์กลาง 2.2 cm และความยาว 1.45 m จำนวน 171 ท่อ ห้องทดลองมีขนาด $4 \times 6 \text{ m}^2$ ความสูง 3.2 m ระบบที่ใช้ทดลองแสดงดังรูปที่ 1.12 พนวณระบบปรับอากาศโดยสารดูดความชื้นร่วมกับเครื่องทำความเย็นแบบระเหยโดยทางอ้อมสามารถลดอุณหภูมิอากาศที่ผ่านระบบลงได้เฉลี่ย $4-6^\circ\text{C}$ สมประสิทธิ์สมรรถนะของระบบปรับอากาศอยู่ในช่วง 0.90 ถึง 1.58 ที่อัตราการไหลของอากาศ $450-550 \text{ m}^3/\text{h}$ และผลจากแบบสอบถามจากคน 5 คนที่อยู่ภายในห้อง ทั้งช่วงเช้าและบ่าย พนวณว่าคนในห้องมีความรู้สึกสบายทั้งทางความร้อนและลักษณะอากาศภายในห้อง ที่สัดส่วนอากาศภายนอก 30% อากาศไหลกลับ 70% และอัตราการไหลของอากาศ $550 \text{ m}^3/\text{hr}$



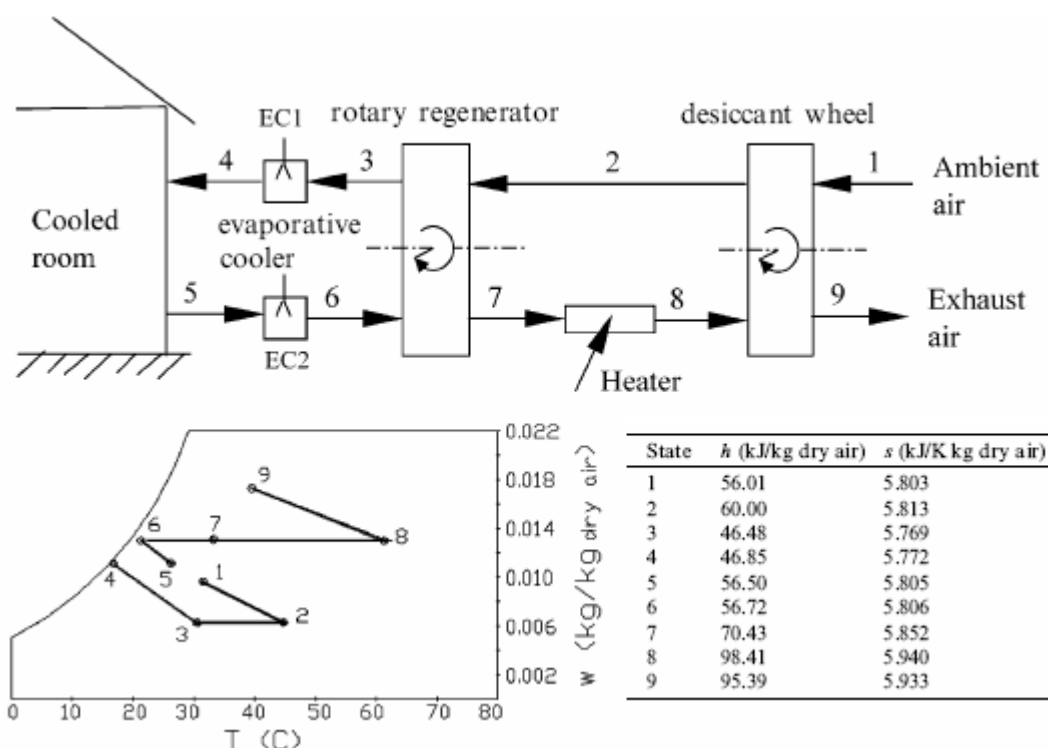
- | | |
|---|--------------------------|
| 1. Forward curved blade centrifugal fan | 4. Return air duct |
| 2. Desiccant bed (DB) | 5. Fresh air duct |
| 3. Indirect evaporative cooler (IEC) | 6. Distribution air duct |

รูปที่ 1.12 ระบบปรับอากาศโดยสารดูดความชื้นร่วมกับเครื่องทำความเย็นแบบระเหย
(ที่มา: อิทธิศักดิ์ คล้ายมงคล 2545)

ยุทธพงษ์ ภู่ทอง (2545) ศึกษาการลดความชื้นและความร้อนแห้งที่ขาด漉ดทำความเย็น โดยใช้สารดูดความชื้นชนิดซิลิกาเจล ชั้นของสารดูดความชื้นมีขนาด $20.5 \times 30.5 \text{ cm}^2$ ความหนา 3.5 cm บรรจุสารดูดความชื้น 1 kg จำนวน 2 ชั้น ร่วมกับขาด漉ดทำความเย็นและห้องแข็งเย็นของตู้เย็น(TOSHIBA รุ่น GR-1651 G) โดยที่อุณหภูมิอากาศภายนอก 25°C ความชื้นสัมพัทธ์ $65-75\%$ จุดควบคุมอุณหภูมิความเย็นอยู่ในช่วง -3 ถึง -15°C ปริมาตรภายในตู้เย็นมีค่าเท่ากับ 0.167 m^3 ทำการเก็บข้อมูลตั้งแต่ 08.00 ถึง 20.00 n. เป็นเวลา 4 วัน เนื่องจากอัตราการดูดซับของซิลิกาเจลเริ่มที่จะอิ่มตัวในวันที่ 4 ของการทดลอง จากการศึกษาพบว่า กรณีที่ใส่สารดูดความชื้นบริเวณช่วงกลางตู้เย็นสามารถเพิ่มสมรรถนะการทำความเย็นของตู้เย็นมากกว่าตำแหน่งอื่นๆ โดยมีค่าประมาณ 1.98 เนื่องจากเป็นตำแหน่งที่มีความชื้นสูงที่สุด และไม่เป็นอุปสรรคต่อการไหลเวียนของอากาศเย็นและมวลไอน้ำ ส่งผลต่อการใช้พลังงานทางไฟฟ้าลดลง กรณีที่ไม่ใส่สารดูดความชื้นมีการใช้พลังงานทางไฟฟ้าเฉลี่ย 0.788 kWh ต่อวัน และกรณีใส่สารดูดความชื้นช่วงกลางมีการใช้พลังงานทางไฟฟ้า

เฉลี่ย 0.660 kWh ต่อวัน สามารถประยุกต์พัฒนาได้ประมาณร้อยละ 16.3 และผลการวิเคราะห์ทางเชิงเศรษฐศาสตร์พบว่า ระยะเวลาในการคืนทุน 9.1 ปี และค่าอัตราตอบแทนผลการลงทุน 9.5 %

Kanoglu et al. (2004) ศึกษาเกี่ยวกับระบบทำความเย็นโดยสารดูดความชื้น โดยการวิเคราะห์ทางด้านพัฒนาของระบบและอุปกรณ์ต่างๆ ได้แก่ วงล้อดูดความชื้น เครื่องแลกเปลี่ยนความร้อน ขดลวดทำความเย็น และเครื่องทำความร้อน วงล้อดูดความชื้นที่ใช้วิเคราะห์มีขนาดเด่นผ่านสูญญากาศ 0.5 m ความหนา 0.25 m ระบบที่ทำศึกษาแสดงดังรูปที่ 1.13 โดยระบบมีค่าสัมประสิทธิ์สมรรถนะประมาณ 0.345

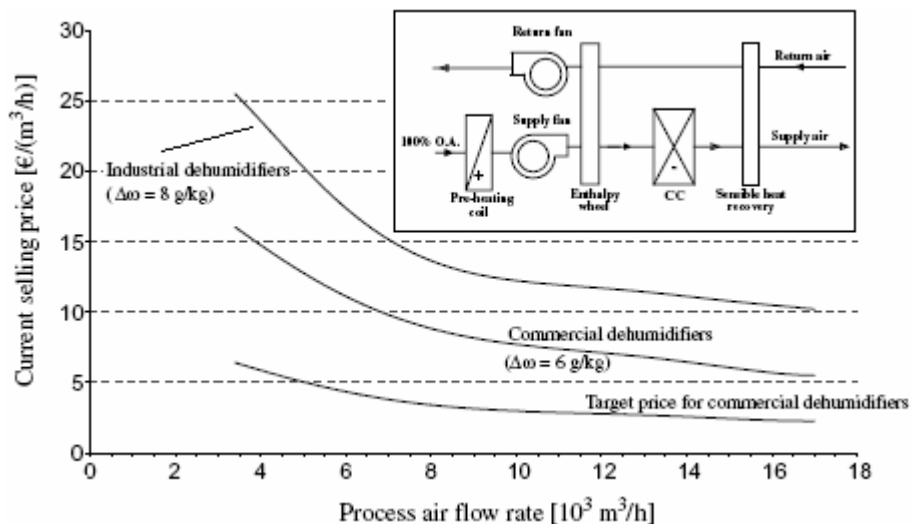


รูปที่ 1.13 ระบบทำความเย็นโดยสารดูดความชื้น

(Source: Kanoglu et al., 2004)

Mazzei et al. (2005) ศึกษาเกี่ยวกับกระบวนการลดความชื้นของระบบปรับอากาศโดยศึกษาเปรียบเทียบระบบทำความเย็นแบบอัดไอน้ำกับระบบทำความเย็นโดยสารดูดความชื้นของห้องสรรพสินค้าและโรงภาพยนตร์ สำหรับห้องสรรพสินค้าที่มีขนาดพื้นที่ $3,700 \text{ m}^2$ พบว่าระยะเวลาคืนทุนประมาณ 2-3 ปี ความชื้นที่อยู่ในพื้นที่ลดลงทำให้ปัญหาการจับตัวแข็งของไอน้ำหรือปัญหาอื่นๆ ที่เกิดจากความชื้นลดลง และสามารถลดอากาศจากภายนอกได้ประมาณ 30% ทำ

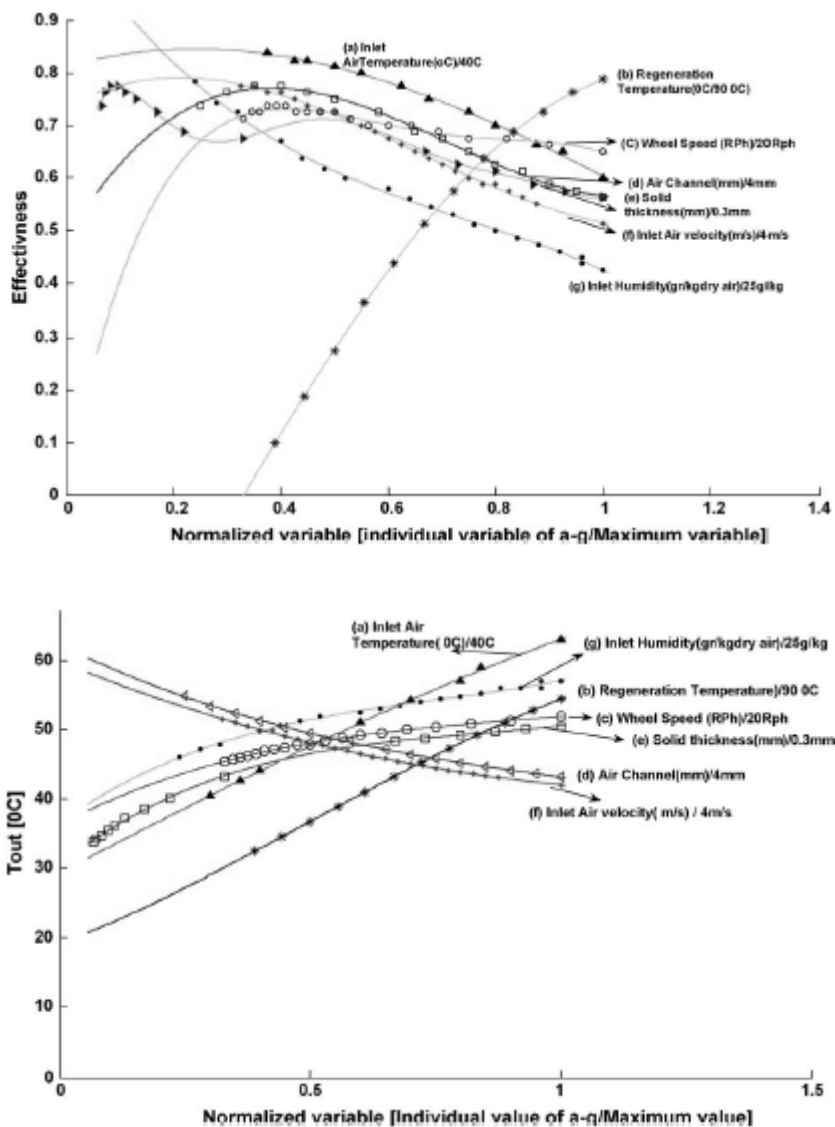
ให้พลังงานในส่วนของการนำอากาศภายนอกเข้าระบบทำความเย็นลดลง สำหรับโรงพยาบาล ที่มีขนาดพื้นที่ $1,200 \text{ m}^2$ พบว่าสามารถลดพลังงานในการทำงานของระบบได้ประมาณร้อยละ 23-38 หรือคิดเป็นการประหยัดพลังงานไฟฟ้าร้อยละ 44-50 ระบบทำความเย็นโดยสารดูดความชื้นและราคาการติดตั้งสำหรับการใช้งานประเภทต่างๆแสดงดังรูปที่ 1.14



รูปที่ 1.14 ระบบทำความเย็น โดยสารดูดความชื้นและการติดตั้ง

(Source: Mazzei et al., 2005)

Nia et al. (2006) ศึกษาเกี่ยวกับคงลักษณะความชื้นในระบบปรับอากาศ โดยการศึกษาผลของปัจจัยต่างๆที่ส่งผลต่อความสามารถในการลดความชื้นของคงลักษณะความชื้น ซึ่งใช้สมการทางคณิตศาสตร์มาทำนายพุทธิกรรมของคงลักษณะความชื้นร่วมกับโปรแกรม MATLAB ผลจากการศึกษาพบว่า ความสามารถในการลดความชื้นลดลงเมื่ออุณหภูมิอากาศที่ทางเข้าสูงขึ้น และส่งผลให้อุณหภูมิที่ทางออกมีค่าสูงขึ้น แสดงดังรูปที่ 1.15 ที่สภาวะอากาศทางเข้า 30°C อัตราส่วนความชื้น $0.008 \text{ kg}_w/\text{kg}_{da}$ ความเร็วลม 2 m/s ความเร็วรอบของคงลักษณะ 15 rph และอุณหภูมิภายในความชื้น 90°C

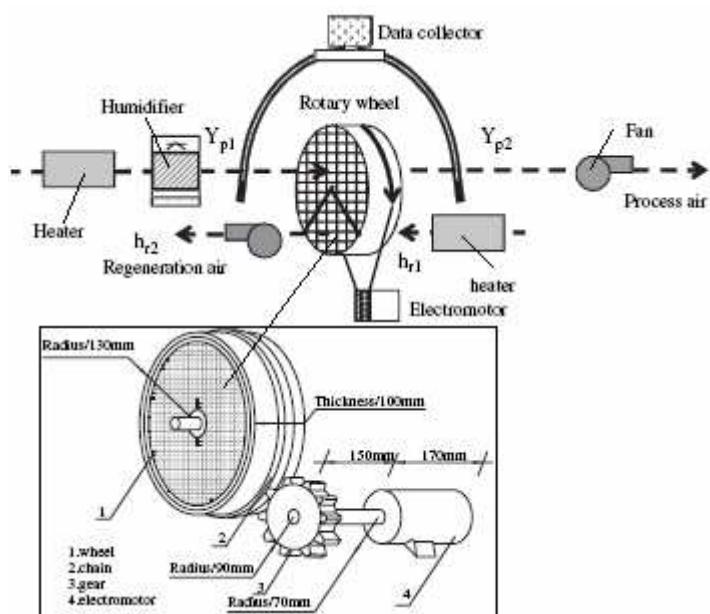


รูปที่ 1.15 ความสามารถของกังล้อดูดความชื้นและอุณหภูมิที่ทางออกที่ปัจจัยต่างๆ

(Source: Nia et al., 2006)

Jia et al. (2006) ศึกษาเกี่ยวกับการพัฒนาประสิทธิภาพของสารดูดความชื้นในระบบปรับอากาศ โดยสารดูดความชื้นชนิดผสมระหว่างซิลิกาเจลและลิเทียมคลอไรด์ ศึกษาเปรียบเทียบกับระบบปรับอากาศโดยสารดูดความชื้นชนิดซิลิกาเจล ซึ่งกงล้อดูดความชื้นมีขนาดเส้นผ่านศูนย์กลาง 0.26 m ความหนา 0.1 m ชุดการทดลองแสดงดังรูปที่ 1.16 ผลจากการศึกษาพบว่าสารดูดความชื้นชนิดผสมมีความสามารถในการดูดความชื้นมากกว่าซิลิกาเจล 20-30% ค่าสัมประสิทธิ์สมรรถนะของระบบปรับอากาศโดยสารดูดความชื้น 1.28 มากกว่าระบบที่ใช้ซิลิกาเจล 35% โดยความหนาที่เหมาะสมของกงล้ออยู่ในช่วง 0.08-0.1 m และจากการศึกษาเกี่ยวกับการ

ประยุกต์ใช้สารดูดความชื้นในระบบปรับอากาศ โดยการศึกษาของล้อดูดความชื้นขนาดผ่านศูนย์กลาง 0.23 m ความหนา 0.2 m ภายในกล้องบรรจุสารดูดความชื้นคือ ลิเทียมคลอไรด์ พบว่าที่สภาวะของลมจ่าย 30°C ความชื้นสัมพัทธ์ 55% อัตราการไหล 0.24 kg/s อุณหภูมิการคายความชื้น 100°C และค่าความเร็วรอบของกล้องดูดความชื้น 7 rph สามารถประยุกต์พลังงานไฟฟ้าเมื่อเทียบกับระบบปรับอากาศแบบอัดไอทั่วไปได้ประมาณร้อยละ 37.5



รูปที่ 1.16 ชุดการทดลองและวงล้อดูดความชื้น

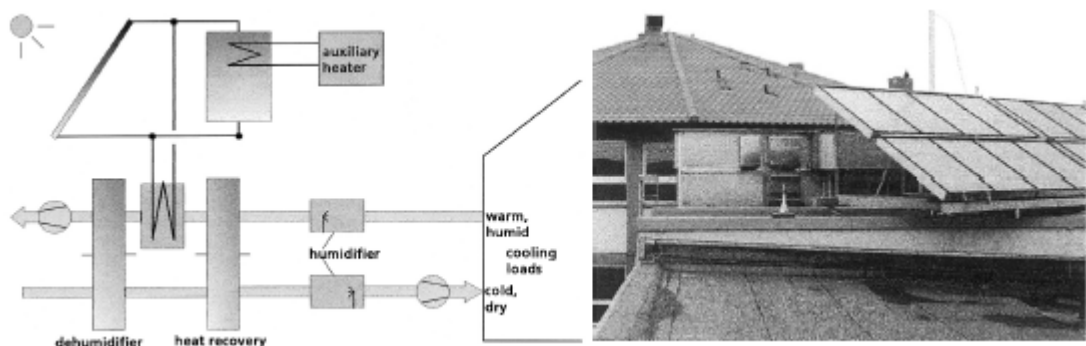
(Source: Jia et al., 2006)

1.2.5 การประยุกต์ใช้พลังงานแสงอาทิตย์ในระบบทำความเย็นโดยสารดูดความชื้น

Lu and Yan (1995) ศึกษาเกี่ยวกับการใช้พลังงานแสงอาทิตย์ร่วมกับระบบปรับอากาศโดยสารดูดความชื้น ระบบที่ศึกษาได้แก่ ระบบ DESRAD และระบบ SDERC โดยระบบ DESRAD ใช้แผงรับรังสีความร้อนอาทิตย์ซึ่งภายในบรรจุชิลิกาเจล ติดตั้งบริเวณหลังคาที่มีความเอียงของบ้านพักที่อยู่ เพื่อลดความชื้นของอากาศตอนกลางวัน และใช้พลังงานความร้อนจากแสงอาทิตย์ในการคายความชื้นของสารดูดความชื้นตอนกลางวัน ส่วนระบบ SDERC จะเพิ่มผนังที่บรรจุสารดูดความชื้นทั้ง 4 ด้าน โดยช่วงเวลา 08.00 ถึง 12.00 น. ผนังทางด้านทิศตะวันออกและหลังคา ด้านบนทำหน้าที่การคายความชื้นของสารดูดความชื้น ส่วนผนังทางด้านทิศตะวันตกทำหน้าที่ลด

ความชื้น ซึ่งทำหน้าที่สลับกันช่วงเวลา 12.00 ถึง 16.00 น. ยกเว้นหลังค่าด้านบนจะทำหน้าที่ในการดูดความชื้นในเวลาปกติคืน ผลจากการศึกษาพบว่ามีความเป็นไปได้ในการใช้พลังงานความร้อนจากแสงอาทิตย์ในระบบทำความเย็นโดยสารดูดความชื้น ซึ่งกรณีพลังงานความร้อนจากแสงอาทิตย์สูงขึ้นจะทำให้ค่าสัมประสิทธิ์สมรรถนะของระบบสูงขึ้น

Henning et al. (2001) ศึกษาเกี่ยวกับศักยภาพของพลังงานแสงอาทิตย์ในระบบทำความเย็นโดยสารดูดความชื้น โดยใช้แพงรับรังสีดวงอาทิตย์ขนาด 20 m^2 ตั้งเก็บน้ำร้อน 2 m^3 ทดลองกับห้องขนาด 330 m^3 ที่อัตราการไหโลอากาศ $2,700 \text{ m}^3/\text{h}$ สภาพอากาศภายนอก $23\text{-}31^\circ\text{C}$ อัตราส่วนความชื้นสูงกว่า $0.0105 \text{ kg}_w/\text{kg}_{da}$ ระบบที่ใช้ในการศึกษาแสดงดังรูปที่ 1.18 ผลจากการศึกษาพบว่า ประสิทธิภาพของแพงรับรังสีดวงอาทิตย์ประมาณ 54% ค่าสัมประสิทธิ์สมรรถนะของระบบทำความเย็นโดยสารดูดความชื้นคือ 0.6 และจากการศึกษาอาการลำบากงานที่เมือง Freiburg ประเทศเยอรมัน ที่สภาพอากาศภายนอก 33°C อัตราส่วนความชื้น $0.0145 \text{ kg}_w/\text{kg}_{da}$ โดยใช้แพงรับรังสีดวงอาทิตย์ขนาด $1,196 \text{ kWh}$ พบร่วมกับความสามารถประยุกต์ใช้จ่ายได้มากกว่า $8.25 \text{ บาท}/\text{kWh}$ ($1 \text{ USD} = 33 \text{ บาท}$) และดังรูปที่ 1.17



รูปที่ 1.17 การใช้พลังงานแสงอาทิตย์ร่วมกับระบบทำความเย็นโดยสารดูดความชื้น

(Source: Henning et al., 2001)

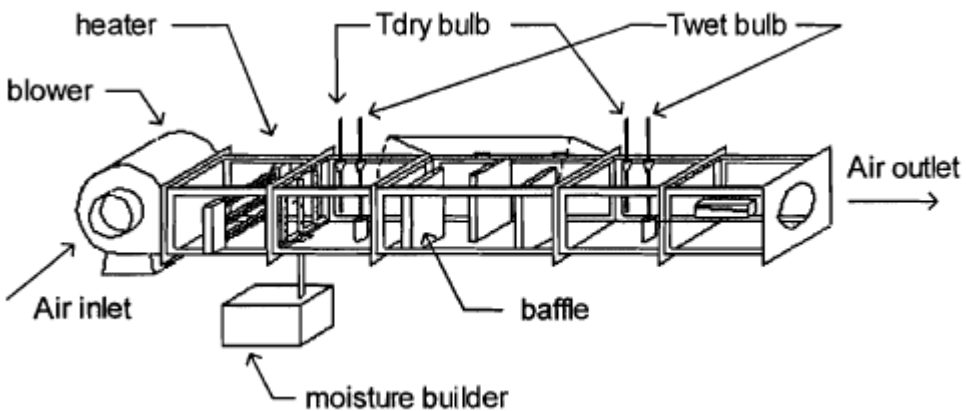
Halliday et al. (2002) ศึกษาการความเป็นไปได้ในการใช้พลังงานแสงอาทิตย์สำหรับระบบทำความเย็นโดยสารดูดความชื้นในประเทศไทยอังกฤษ โดยใช้แพงรับรังสีดวงอาทิตย์ร่วมกับระบบทำความเย็นโดยสารดูดความชื้นที่ค่าความชื้นของสารดูดความชื้นด้วยแก๊สร้อนพบร่วมกับสภาพปรับอากาศ $21\text{-}23^\circ\text{C}$ อัตราส่วนความชื้น $0.0072\text{-}0.008 \text{ kg}_w/\text{kg}_{da}$ และสภาพอากาศ

ภายนอก $21-23^{\circ}\text{C}$ ในช่วงเวลา 07.00 ถึง 18.00 น. พบร่วมกับความชื้นโดยสารดูดความชื้นที่มีการใช้พลังงานแสงอาทิตย์ สามารถประยุกต์ใช้พลังงานได้ประมาณร้อยละ 23-45 เทียบกับระบบเดิมที่ใช้ไฟฟ้าแก๊สร้อนหรือคิดเป็นเงิน $8,109 \text{ บาท}/\text{m}^2$ ต่อปี ($1 \text{ GBP} = 53 \text{ บาท}$ ราคาแก๊สร้อนและราคาไฟฟ้ามีค่า 79.5 และ 265 บาท/ kWh ตามลำดับ)

Wurtz et al. (2005) ศึกษาเกี่ยวกับการใช้พลังงานแสงอาทิตย์ร่วมกับระบบปรับอากาศโดยสารดูดความชื้น โดยใช้แผงรับรังสีดวงอาทิตย์ผลิตน้ำร้อนและเก็บไว้ในถังเก็บน้ำร้อนเพื่อใช้ในการทำความชื้นของสารดูดความชื้น แผงรับพลังงานแสงอาทิตย์มีขนาดพื้นที่ 14.2 m^2 สารดูดความชื้นที่ใช้ในคงล้อดูดความชื้นคือ ลิเทียมคลอไรด์ ซึ่งศึกษาระบบร่วมกับโปรแกรม SimSPARK ผลจากการศึกษาพบว่า ที่อุณหภูมน้ำภายในถังเก็บ $40-70^{\circ}\text{C}$ ประสิทธิภาพของเครื่องแลกเปลี่ยนความร้อน 0.8 ค่าสัมประสิทธิ์สมรรถนะของระบบปรับอากาศจะอยู่ในช่วง 1.7-2.0

1.2.6 การประยุกต์ใช้สารดูดความชื้นในกระบวนการอบแห้ง

พิสุทธิ์ กลิ่นชจร (2543) ศึกษาการควบคุมความชื้นของอากาศโดยสารดูดความชื้นของแข็ง โดยสารดูดความชื้นสองชนิดคือ ชิลิกาเจลและโมเลกุลาร์ไซฟ์เป็นสารทำงาน โดยสารดูดความชื้นจัดเรียงตัวเป็นลักษณะแบบแผ่นลับ ขนาด $3\times15\times25 \text{ cm}^3$ $3\times17.5\times25 \text{ cm}^3$ และ $3\times20\times25 \text{ cm}^3$ ชุดการทดลองแสดงดังรูปที่ 1.18 โดยศึกษาตัวแปรอิสระได้แก่ อุณหภูมิ ความชื้นสัมพัทธ์ ความเร็วลม และจำนวนสารดูดความชื้น ที่อุณหภูมิอากาศภายนอก $18-30^{\circ}\text{C}$ ค่าความชื้นสัมพัทธ์ 60-80% ผลจากการศึกษาพบว่าอัตราการลดความชื้นในอากาศขึ้นกับพื้นที่อากาศสัมผัสกับผิวสารดูดความชื้น โดยถ้าพื้นที่สัมผัสนากส่งผลให้สามารถลดความชื้นได้มากกว่า ดังนั้นชุดสารดูดความชื้นทั้ง โมเลกุลาร์ไซฟ์และชิลิกาเจลขนาดใหญ่มีอัตราการลดความชื้นมากกว่าแผ่นขนาดเล็กกว่า ผลกระทบความชื้นในอากาศสูงขึ้น ส่งผลให้ความแตกต่างของความดันไอน้ำระหว่างอากาศและสารดูดความชื้นเพิ่มสูงขึ้น ดังนั้นอัตราดูดความชื้นสูงขึ้นเมื่อความชื้นของอากาศที่ทางเข้าสูงขึ้น และผลกระทบอัตราการไอล่ออากาศสูงขึ้น ทำให้อัตราการดูดความชื้นสูงขึ้นเนื่องจากสัมประสิทธิ์การถ่ายเทความร้อนของอากาศสูงขึ้น และจากการณ์ศึกษาที่สภาวะอากาศที่ทางเข้ามีต้มและสารดูดความชื้น 25°C ความชื้นสัมพัทธ์ 70% โดยสภาวะที่ทางออกจากชุด漉ทำความร้อน 43°C ความชื้นสัมพัทธ์ 20-25% พบร่วมกับระบบอบแห้งที่ใช้สารดูดความชื้นสามารถประยุกต์ใช้พลังงานได้ประมาณร้อยละ 19-25 ของระบบอบแห้งที่ใช้มีต้มทั่วไป



รูปที่ 1.18 ชุดการทดลองระบบสารดูดความชื้น
(ที่มา: พิสุทธิ์ กลินขจร 2543)

จุฑามาส ภควัตบริรักษ์ (2546) ศึกษาการวิเคราะห์สมรรถนะปั๊มความร้อนทำงานร่วมกับสารดูดความชื้นชนิดแข็งในกระบวนการอบแห้ง โดยสารดูดความชื้นที่ใช้คือซิลิกาเจล จัดเรียงตัวแบบแผ่นสลับวางขวางทางการไหลของอากาศที่เข้าสู่กระบวนการอบแห้ง เพื่อลดความชื้นของอากาศ แผ่นสารดูดความชื้นมีขนาด $25 \times 15 \text{ cm}^2$ $25 \times 18 \text{ cm}^2$ และ $25 \times 21 \text{ cm}^2$ ภายในบรรจุซิลิกาเจล 0.56 0.67 และ 0.78 kg ตามลำดับ ชุดการทดลองแสดงดังรูปที่ 1.40 ตัวแปรที่ทำการศึกษาได้แก่ ขนาดและจำนวนแผ่นสารดูดความชื้น อุณหภูมิ ความเร็วลม และความชื้นสัมพัทธ์ของอากาศที่เข้าสู่กระบวนการ โดยสภาพภายนอกถูกควบคุมให้อยู่ในช่วง $20-40^\circ\text{C}$ ความชื้นสัมพัทธ์ 50-70% ความเร็วลม 1-3 m/s ผลจากการการศึกษาพบว่า ที่อุณหภูมิ 40°C อัตราการดูดความชื้นสูงกว่าที่ 30°C และ 20°C เนื่องจากที่อุณหภูมิสูงขึ้นความแตกต่างของความดันไอมากขึ้นส่งผลให้อัตราการดูดความชื้นของสารดูดความชื้นเพิ่มขึ้น ผลจากการความชื้นสัมพัทธ์ที่เพิ่มขึ้นทำให้ความดันไอน้ำมากขึ้นส่งผลให้อัตราการดูดความชื้นสูงขึ้น ซึ่งผลสอดคล้องกับในกรณีที่อัตราการไหลสูงขึ้นทำให้อัตราการถ่ายเทน้ำเพิ่มขึ้น และผลจากการเพิ่มจำนวนแผ่นของสารดูดความชื้นจาก 6-10 แผ่น ซึ่งเป็นการเพิ่มปริมาณสารดูดความชื้นสั่งผลให้อัตราการลดความชื้นสูงขึ้น ส่วนกระบวนการคายความชื้นของสารดูดความชื้นพบว่า อัตราการคายความชื้นสูงขึ้นตามอุณหภูมิ จาก $50-70^\circ\text{C}$ แต่มีค่าลดลงเมื่อความชื้นสัมพัทธ์ของอากาศในกระบวนการคายความชื้นเพิ่มขึ้น และอัตราการคายความชื้นสูงขึ้นเมื่ออัตราการไหลของอากาศและจำนวนแผ่นของสารดูดความชื้นเพิ่มขึ้น จากการศึกษาปั๊มความร้อนทำงานร่วมกับสารดูดความชื้นที่อากาศจากภายนอกได้รับความร้อนจากโคนเด่นเชอร์และขาดความร้อนก่อนเข้าสู่ห้องอบแห้ง อิวาปอเรเตอร์จะดึงความร้อนและลดความชื้นจากอากาศร้อนที่ออกจากห้องอบแห้ง โดยมีการเปลี่ยนสารดูดความชื้นทุกๆ

30 นาที จากการวิเคราะห์ทางเศรษฐศาสตร์ที่เวลาทำงาน 6,000 ชั่วโมงต่อปี อัตราอบแห้ง 1.5 kg/hr พ布ว่าสามารถประยุกต์ใช้จ่ายได้สูงสุด 18,000-25,000 บาทต่อปี ระยะเวลาคืนทุน 0.9-1.3 ปี และค่าอัตราตอบแทนผลการลงทุน 78-114%

1.3 วัตถุประสงค์ของการศึกษา

วัตถุประสงค์ของงานวิจัยนี้คือ ศึกษาและออกแบบระบบลดความชื้นโดยใช้สารดูดความชื้น สำหรับระบบระบายอากาศในอาคารที่พักอาศัย ลักษณะบ้านเดียวขนาดห้อง 50 m³ โดยมีวัตถุประสงค์ดังนี้

- 1.3.1 ศึกษาและออกแบบระบบดูดความชื้นของสารดูดความชื้น
- 1.3.2 ศึกษาและออกแบบระบบถ่ายความชื้นของสารดูดความชื้น
- 1.3.3 ศึกษาและประเมินการประยุกต์พัฒนาของระบบปรับอากาศโดยสารดูดความชื้น

1.4 ประโยชน์ที่คาดว่าจะได้รับ

- 1.4.1 สามารถควบคุมสภาวะในห้องปรับอากาศให้เหมาะสม คือ 24-26 °C ความชื้นสัมพัทธ์ 50% (อัตราส่วนความชื้น 10 g_w/kg_{da})
- 1.4.2 สามารถประยุกต์พัฒนาในการทำความเขื่นของระบบปรับอากาศโดยการลดภาระความร้อนแฟรงจากความชื้นก่อนเข้าระบบปรับอากาศ

1.5 ขอบเขตของการวิจัย

- 1.5.1 ศึกษาระบบปรับอากาศโดยสารดูดความชื้นของอาคารที่พักอาศัยลักษณะบ้านเดียว ขนาดห้องปรับอากาศ 50 m³ ที่ตั้งอยู่ในจังหวัดสงขลา
- 1.5.2 ศึกษาระบบปรับอากาศโดยสารดูดความชื้นของอาคารที่พักอาศัยลักษณะบ้านเดียว ในช่วงเวลาระหว่าง 09.00 น. ถึง 21.00 น.
- 1.5.3 ใช้สารดูดความชื้นชนิดของแข็ง คือ ซิลิกาเจล ในการวิจัย

บทที่ 2

ทฤษฎี

การศึกษาเรื่องวิจัยทางด้านการประยุกต์ใช้สารคูณความชื้นเพื่อลดความชื้นของอากาศก่อนเข้าสู่ระบบปรับอากาศของอาคาร เพื่อประหยัดพลังงานของระบบปรับอากาศโดยการลดภาระความร้อนแห้งที่เกิดจากความชื้นในอากาศ จำเป็นต้องศึกษาทฤษฎีต่างๆ ได้แก่ สมบัติทางอุณหพลศาสตร์ของอากาศชื้น แผนภูมิอากาศชื้น วัฏจักรทำความเย็น กระบวนการลดความชื้น สารคูณความชื้น กระบวนการลดความชื้น โดยสารคูณความชื้น ระบบทำความเย็นโดยสารคูณความชื้น และการวิเคราะห์ทางด้านเศรษฐศาสตร์

2.1 สมบัติทางอุณหพลศาสตร์ของอากาศชื้น (Thermodynamics Properties of Moist Air)

อากาศในบรรยายอากาศประกอบด้วย อากาศแห้งและ ไอน้ำ (หรือความชื้น) ซึ่งสมบัติทางอุณหพลศาสตร์ของอากาศชื้น ได้แก่ อุณหภูมิกระเพาแห้ง อุณหภูมิกระเพาเปียก อุณหภูมิจุดน้ำค้าง ความดันไオ อัตราส่วนความชื้น ความชื้นสัมพัทธ์ ปริมาตรจำเพาะ และอ่อนหลัพี

2.1.1 อุณหภูมิกระเพาแห้ง (Dry-bulb temperature, T_{db})

อุณหภูมิกระเพาแห้ง คือ อุณหภูมิของอากาศที่อ่านค่าได้จากเทอร์โมมิเตอร์หรือเทอร์โมคัปเปลทั่วๆ ไป ซึ่งระหว่างการตรวจวัด อากาศต้องถ่ายเทได้สะดวกเพื่อได้ค่าที่ถูกต้อง

2.1.2 อุณหภูมิกระเพาเปียก (Wet-bulb temperature, T_{wb})

อุณหภูมิกระเพาเปียก คือ อุณหภูมิของอากาศชื้นที่อ่านค่าได้จากเทอร์โมมิเตอร์ที่มีด้วยหรือสำลีชุบน้ำพันอยู่รอบๆ กระเพาproto และมีอากาศไหลผ่านกระเพาด้วยความเร็ว 2.5-5 m/s ซึ่งเป็นอุณหภูมิที่อัตราการถ่ายโอนความชื้นจากอากาศไปยังผิวเปียกโดยการพาและการนำความร้อนมีค่าเท่ากับอัตราการสูญเสียความร้อนจากผิวเปียกในรูปความร้อนแห้งการระเหย

2.1.3 อุณหภูมิจุดน้ำค้าง (Dew-point temperature, T_{dw})

อุณหภูมิจุดน้ำค้าง คือ อุณหภูมิที่ไอน้ำในอากาศเริ่มควบแน่น เมื่ออากาศถูกทำให้เย็นลงที่อัตราส่วนความชื้นและความดันบรรยายอากาศที่สามารถคำนวณได้ตามสมการที่ 2.1 และ 2.2 (หนังสือยศติ เกียรติศิริ ใจ 2535; กำพล ประทีปชัยกุร 2543)

$$T_{dw} = 6.983 + 14.38 \ln(P_v) + 1.079(\ln(P_v))^2 \quad \text{เมื่อ } 0^\circ\text{C} \leq T_{db} \leq 50^\circ\text{C} \quad (2.1)$$

$$T_{dw} = 13.8 + 9.478 \ln(P_v) + 1.99(\ln(P_v))^2 \quad \text{เมื่อ } 50^\circ\text{C} \leq T_{db} \leq 110^\circ\text{C} \quad (2.2)$$

โดยที่ T_{dw} คือ อุณหภูมิจุดนำก้าง ($^\circ\text{C}$)
 T_{db} คือ อุณหภูมิกระแสแห่ง ($^\circ\text{C}$)
 P_v คือ ความดันไอกหรือความดันย่อของไอน้ำ (kPa)

2.1.4 ความดันไอก (Vapor pressure, P_v)

ความดันไอก คือ ส่วนของความดันย่อ (partial pressure) ที่กระทำโดยไม่เลกุลของไอน้ำที่มีอยู่ในอากาศชื้น ที่ความดันบรรยากาศสามารถพิจารณาได้ว่าส่วนผสมของก๊าซต่างๆ และไอน้ำในอากาศชื้นเป็นส่วนผสมก๊าซอุดมคติจากกําลังของความดันจะได้

$$P = P_a + P_v \quad (2.3)$$

โดยที่ P คือ ความดันรวม (ความดันบรรยากาศ ≈ 101.325 kPa)
 P_a คือ ความดันย่อของอากาศแห้ง (kPa)

ความดันไอกและความดันไอกอิมตัวจะมีคําเขื่อนอยู่กับอุณหภูมิและสามารถคำนวณได้ตามสมการที่ 2.4 และ 2.5 ตามลำดับ (ทฤษฎีเกียรติ เกียรติศิริ โกรน์ 2535; กำพล ประทีปปัจญุร 2543)

$$P_v = P \left[\frac{(T_{dw} - T_{wb})}{1,514} \right] \left[1 + \frac{T_{wb} - 273.2}{873} \right] \quad (2.4)$$

$$\begin{aligned} \ln(P_{sat}) = & -7,511.52/T_{abs} + 89.63121 + 0.0239989T_{abs} - 1.1654554 \times 10^{-5} T_{abs}^2 \\ & - 1.2810336 \times 10^{-8} T_{abs}^3 + 2.0998405 \times 10^{-11} T_{abs}^4 - 12.150799 \ln(T_{abs}) \end{aligned} \quad (2.5)$$

โดยที่ T_{wb} คือ อุณหภูมิกระแสแห่งเปียก ($^\circ\text{C}$)
 T_{abs} คือ อุณหภูมิสมบูรณ์ ($273.16 \text{ K} \leq T_{abs} \leq 393.16 \text{ K}$)
 P_{sat} คือ ความดันไอกอิมตัว (kPa)

2.1.5 อัตราส่วนความชื้น (Humidity ratio, w)

อัตราส่วนความชื้น ความชื้นสัมบูรณ์ หรือความชื้นจำเพาะ คือ มวลของไอน้ำที่มีอยู่ในหนึ่งหน่วยมวลของอากาศแห้ง อัตราส่วนความชื้นสามารถคำนวณได้ตามสมการที่ 2.6 (McQuiston et al., 2005; Yunus and Michael, 2006)

$$w = \frac{m_v}{m_a} = \frac{P_v V / (R_v T_{abs})}{P_a V / (R_a T_{abs})} = \frac{P_v / R_v}{P_a / R_a} = 0.622 \frac{P_v}{P_a} = \frac{0.622 P_v}{P - P_v} \quad (2.6)$$

โดยที่ w คือ อัตราส่วนความชื้น ($\text{kg}_w/\text{kg}_{da}$)

m_v คือ มวลของไอน้ำหรือความชื้นที่อยู่ในอากาศ (kg)

m_a คือ มวลของอากาศแห้ง (kg)

R_a คือ ค่าคงที่ของอากาศแห้ง (มีค่าเท่ากับ 0.2870 kJ/kg-K)

R_v คือ ค่าคงที่ของไอน้ำ (มีค่าเท่ากับ 0.4615 kJ/kg-K)

V คือ ปริมาตรของอากาศ (m^3)

2.1.6 ความชื้นสัมพันธ์ (Relative humidity, %RH)

ความชื้นสัมพันธ์ คือ ปริมาณความชื้นที่มีอยู่ในอากาศเทียบกับปริมาณความชื้นมากที่สุดที่จะมีอยู่ได้ในอากาศที่อุณหภูมิเดียวกัน ความชื้นสัมพันธ์สามารถคำนวณได้ตามสมการที่ 2.7 และ 2.8 (McQuiston et al., 2005; Yunus and Michael, 2006)

$$\%RH = \frac{m_v}{m_g} = \frac{P_v V / (R_v T_{abs})}{P_g V / (R_v T_{abs})} = \frac{P_v}{P_g} \quad (2.7)$$

โดยที่ $%RH$ คือ ความชื้นสัมพันธ์ (%)

P_g คือ ความดันอิมตัวของน้ำ เมื่อ $P_g = P_{sat@T}$ (kPa)

$$\%RH = \frac{wP}{(0.622 + w)P_g} \quad (2.8)$$

$$w = \frac{0.622 \%RH_P_g}{P - \%RH_P_g} \quad (2.9)$$

2.1.7 ปริมาตรจำเพาะ (Specific volume, v)

ปริมาตรจำเพาะ คือปริมาตรของอากาศชั้นต่อหนึ่งมวลของอากาศแห้ง สามารถคำนวณได้ตามสมการที่ 2.10 (ทนงกีรติ เกียรติศิริ โภจน์ 2535; กำพล ประทีปชัยกุร 2543)

$$v = R_a T_{abs} (1 + 1.608w) / (m_a P) \quad (2.10)$$

โดยที่ v คือ ปริมาตรจำเพาะ (m^3/kg)

2.1.8 เอนทัลปี (Enthalpy, h)

เอนทัลปี คือ ค่าปริมาณความร้อนของอากาศชั้นต่อหนึ่งหน่วยมวลอากาศแห้งที่สูงกว่าค่าอุณหภูมิอ้างอิง การคำนวณโดยทั่วไปจะเกี่ยวข้องกับความแตกต่างของเอนทัลปี โดยทางปฏิบัติมักใช้อุณหภูมิอ้างอิงของน้ำและของอากาศแห้งคือ $0^\circ C$ อากาศในบรรยายอากาศคือของผสมระหว่างอากาศแห้งกับไอน้ำ ดังนั้นค่าเอนทัลปีของอากาศมีค่าเท่ากับผลรวมของเอนทัลปีของอากาศแห้ง และเอนทัลปีของไอน้ำ ซึ่งสามารถคำนวณได้ตามสมการที่ 2.11-2.14 (McQuiston et al., 2005; Yunus and Michael, 2006)

$$H = H_a + H_v = m_a h_a + m_v h_v \quad (2.11)$$

โดยที่ H คือ เอนทัลปีรวมของอากาศ (kJ)

H_a คือ เอนทัลปีของอากาศแห้ง (kJ)

H_v คือ เอนทัลปีของไอน้ำหรือความชื้นที่อยู่ในอากาศ (kJ)

h_a คือ เอนทัลปีต่อมวลของอากาศแห้ง (kJ/kg)

h_v คือ เอนทัลปีต่อมวลของไอน้ำ (kJ/kg)

$$h = \frac{H}{m_a} = h_a + \frac{m_v}{m_a} h_v = h_a + w h_v \quad (2.12)$$

$$h = h_a + w h_g \quad \text{เมื่อ } h_v \approx h_g = h_{sat@T} \quad (2.13)$$

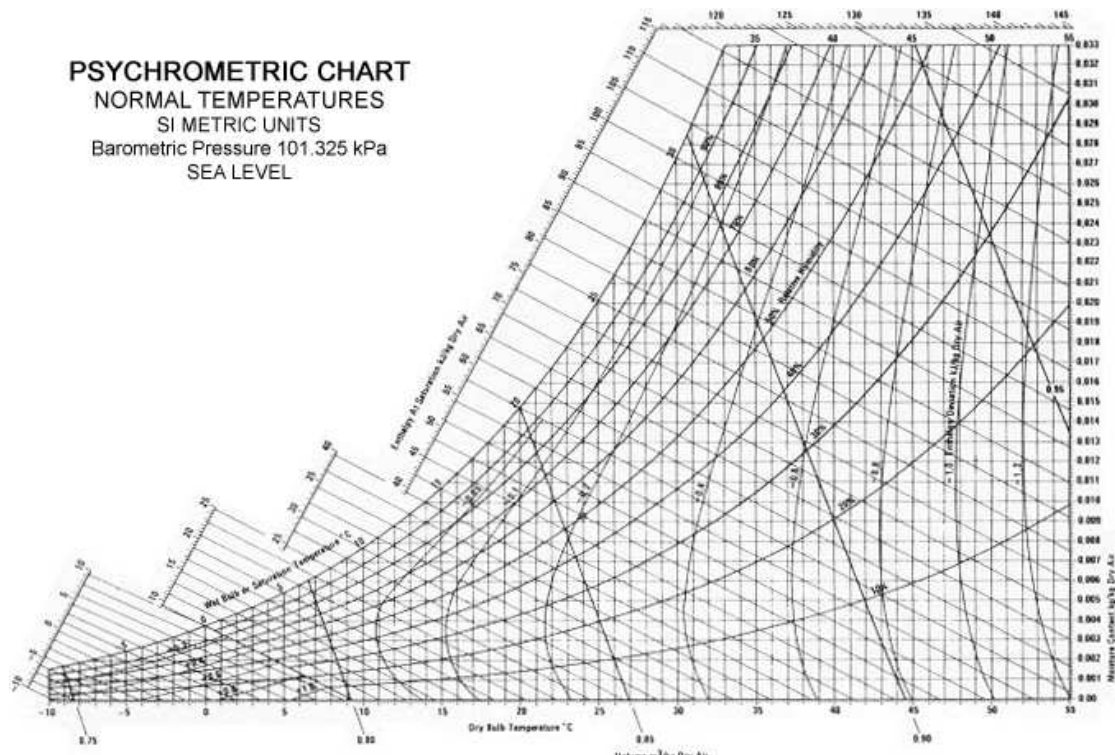
$$h = 1.0T + (2,501.3 + 1.86T)w \quad (2.14)$$

โดยที่ h	คือ เอนทัลปีต่อมวลของอากาศ (kJ/kg)
h_a	คือ เอนทัลปีต่อมวลของอากาศแห้ง (kJ/kg)
h_v	คือ เอนทัลปีต่อมวลของไอน้ำ (kJ/kg)
h_g	คือ เอนทัลปีต่อมวลของไอน้ำอิมตัว (kJ/kg)
$h_{g@0^\circ C}$	คือ เอนทัลปีของไอน้ำที่ $0^\circ C$ (มีค่าเท่ากับ 2,501.3 kJ/kg)

จากสมการที่ 2.12-2.14 การลดความชื้นในอากาศ (w ลดลง) ส่งผลให้ค่าเอนทัลปีของอากาศลดลง (h ลดลง) ซึ่งเป็นการลดภาระความร้อนแห้งที่เกิดจากความชื้นในอากาศ ทำให้พลังงานที่ใช้ในระบบทำความเย็นลดลง

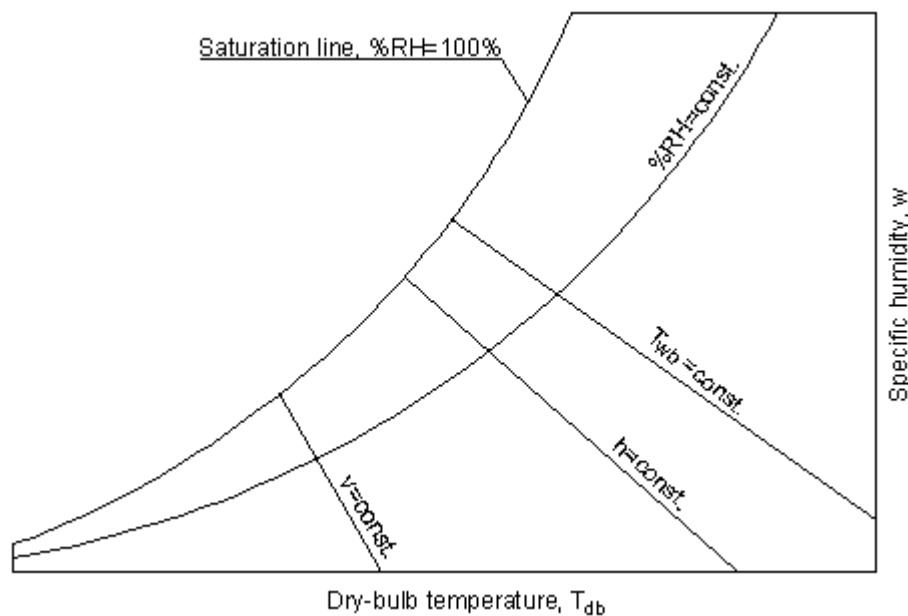
2.2 แผนภูมิอากาศชื้น (Psychrometric chart)

สภาพของอากาศในบรรยากาศที่ความดันค่านึงสามารถถูกกำหนดได้โดยค่าสมบัตไม่เข้มกับมวลอิสระ 2 ค่า โดยแผนภูมิอากาศชื้นสำหรับการออกแบบระบบปรับอากาศที่ความดัน 1 บรรยากาศ แสดงดังรูปที่ 2.1 ความหมายของเส้นบนแผนภูมิอากาศชื้นแสดงดังรูปที่ 2.2



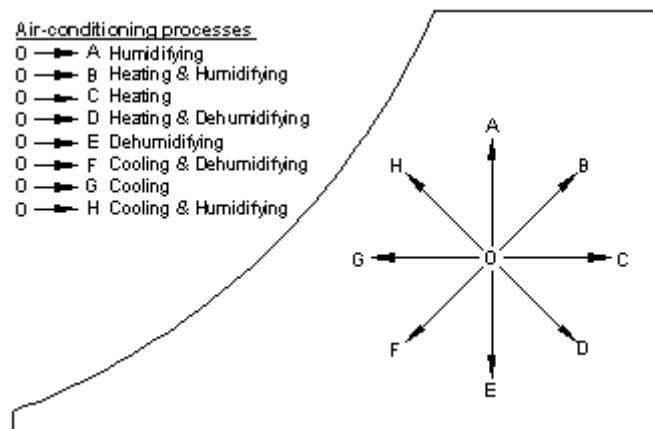
รูปที่ 2.1 แผนภูมิอากาศชื้น

(Source: Carrier corporation, 1965)



รูปที่ 2.2 ความหมายของเส้นบนแผนภูมิอากาศชื้น

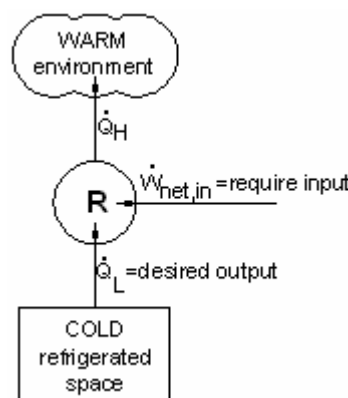
การปรับอากาศ คือ การทำให้อุณหภูมิ ความชื้น ความเร็วลม และคุณภาพของอากาศเป็นไปตามความต้องการของพื้นที่นั้นๆ สามารถแบ่งออกได้เป็นการปรับอากาศเพื่อความสบายและการปรับอากาศเพื่ออุตสาหกรรม โดยการปรับอากาศเพื่อความสบายเป็นการปรับอากาศเพื่อการทำให้เกิดความรู้สึกสบาย และเพิ่มประสิทธิภาพในการทำงานของผู้ที่อยู่อาศัย เช่น การปรับอากาศภายในบ้านเรือน สำนักงาน โรงพยาบาล เป็นต้น ส่วนการปรับอากาศเพื่ออุตสาหกรรมเป็นการปรับอากาศเพื่อควบคุมสภาพอากาศในกระบวนการผลิต การทำวิจัย และการเก็บรักษาผลผลิต ต่างๆ เช่น การปรับอากาศในอุตสาหกรรมคอมพิวเตอร์ การปรับอากาศแบ่งออกได้เป็น การเพิ่มความชื้นอย่างเดียว การให้ความร้อนพร้อมด้วยการเพิ่มความชื้น การให้ความร้อนอย่างเดียว การให้ความร้อนพร้อมด้วยการลดความชื้น การลดความชื้นอย่างเดียว การทำความเย็นพร้อมด้วยการลดความชื้น การทำความเย็นอย่างเดียว และการทำความเย็นพร้อมด้วยการเพิ่มความชื้น ซึ่งการลดความชื้นในอากาศด้วยสารดูดความชื้นที่ทำการศึกษาวิจัยเป็นการลดความชื้นทางเคมี อากาศที่ได้จะมีความชื้นลดลงแต่อุณหภูมิจะสูงขึ้น (Techajunta et al., 1999; Kanoglu et al., 2004; Zhang and Niu, 2002; Ahmed et al., 2005; Douglas Kosar, 1990) กระบวนการปรับสภาพอากาศบนแผนภูมิอากาศชื้น แสดงดังรูปที่ 2.3



รูปที่ 2.3 กระบวนการปรับสภาพอากาศพื้นฐาน

2.3 วัสดุจกรทำความเย็น (Refrigeration cycles)

กระบวนการทำความเย็นเป็นกระบวนการถ่ายโอนความร้อนจากบริเวณที่มีอุณหภูมิต่ำกว่าไปยังบริเวณที่มีอุณหภูมิสูงกว่า อุปกรณ์ที่ทำหน้าที่ในการถ่ายโอนความร้อนลักษณะนี้คือ เครื่องทำความเย็น (refrigerators) และดังรูปที่ 2.4 เครื่องทำความเย็นจะทำงานเป็นวัสดุจกรซึ่งเรียกวัสดุจกรนี้ว่า วัสดุจกรทำความเย็น โดยส่วนใหญ่เป็นวัสดุจกรทำความเย็นแบบอัดไอ (vapor-compression refrigeration cycle) ซึ่งสารทำความเย็น (refrigerant) จะระเหยและควบแน่นสลับกันไป พร้อมทั้งจะถูกอัดในขณะที่มีสถานะเป็นไอ



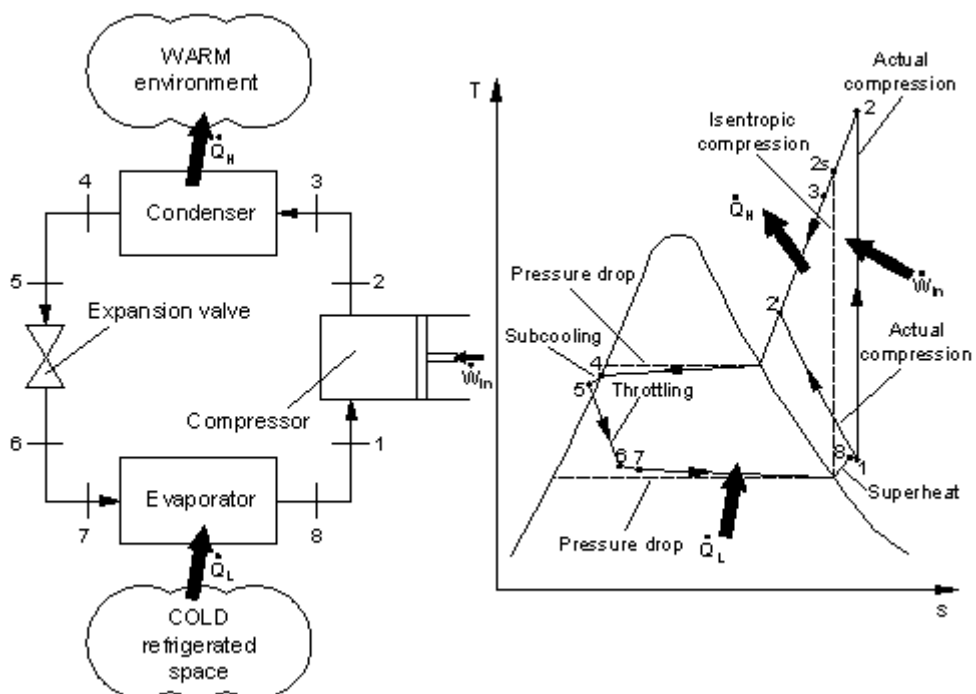
รูปที่ 2.4 การทำงานของเครื่องทำความเย็น

ประสิทธิภาพในการทำงานของเครื่องทำความเย็นแสดงอยู่ในรูปของสัมประสิทธิ์สมรรถนะ (coefficient of performance, COP) โดยเป็นอัตราส่วนระหว่างสิ่งที่ประ噛จะได้ออกมากับสิ่งที่จำเป็นต้องป้อนเข้าไป ซึ่งสามารถคำนวณได้ตามสมการที่ 2.15

$$COP_R = \frac{\text{Desired output}}{\text{Required input}} = \frac{\dot{Q}_L}{\dot{W}_{\text{net,in}}} \quad (2.15)$$

โดยที่ COP_R คือ สัมประสิทธิ์สมรรถนะของเครื่องทำความเย็น
 \dot{Q}_L คือ ผลของการทำความเย็น (kW)
 $\dot{W}_{\text{net,in}}$ คือ งานที่ต้องป้อนให้แก่ อุปกรณ์ (kW)

วัฏจักรของเครื่องทำความเย็นแบบอัด ไอประกอบด้วยส่วนประกอบที่สำคัญ 4 ส่วนด้วยกันคือ เครื่องอัด (compressor) เครื่องควบแน่น (condenser) วาล์วขยายตัว (expansion valve) และเครื่องระเหย (evaporator) แสดงดังรูปที่ 2.5 สารทำความเย็นจะไหลเข้าเครื่องอัดในสถานะ ไอ และจะถูกอัดจนกระหึ่ม มีความดันเพิ่มขึ้น แต่ความเย็นจะลดลง เนื่องจากเครื่องอัดที่มีอุณหภูมิค่อนข้างสูง และเย็นตัวลงพร้อมกับการควบแน่นขณะที่ไหลผ่านท่อขดภายในเครื่องควบแน่น โดยการถ่ายโอนความร้อนไปยังสิ่งแวดล้อม หลังจากนั้นสารทำความเย็นจะไหลผ่านหลอดครุยเล็ก (capillary tube) หรือ วาล์วขยายตัว ซึ่งจะมีผลทำให้ความดันและอุณหภูมิของสารทำความเย็นลดลงอย่างมากเนื่องจากผลของการตัดท่อ (throttling) ต่อจากนั้น สารทำความเย็นจะเกิดการระเหยโดยการดูดความร้อนจากบริเวณที่ต้องการทำความเย็น วัฏจักรจะทำงานได้อย่างสมบูรณ์ เมื่อสารทำความเย็นไหลออกจากเครื่องระเหยและไหลกลับเข้าสู่เครื่องอัดอีกครั้ง



รูปที่ 2.5 ภาพและแผนภาพ T-s ของวัฏจักรทำความเย็นแบบอัด ไอ

2.4 กระบวนการลดความชื้น (Dehumidification)

ความชื้นที่อยู่ในอากาศนอกจากเพิ่มภาระความเย็นของระบบทำความเย็นแล้วยังก่อให้เกิดปัญหาต่างๆ ได้แก่ อุตสาหกรรมยา หากยาได้รับความชื้นจะทำให้มีคุณสมบัติของยาเปลี่ยนไป อุตสาหกรรมเฟอร์นิเจอร์หนัง เนื่องจากหนังเมื่อได้รับความชื้นแล้วทำให้เสียรูปทรงและทำให้เกิดเชื้อราได้ง่าย อุตสาหกรรมอาหาร เพราะอาหารบางอย่างต้องการรักษาสภาพความกรอบ อุตสาหกรรมที่เกี่ยวกับโลหะ เนื่องจากโลหะหลายชนิด เมื่อโดนความชื้นแล้วจะทำให้เกิดสนิม อุตสาหกรรมเกี่ยวกับการขนส่งและบรรจุภัณฑ์ เนื่องจากการขนส่งต้องรักษาสภาพของสินค้าให้อยู่ในสภาพเดิมซึ่งความชื้นอาจทำให้สินค้าเสียหายได้ สำหรับปัญหาความชื้นในครัวเรือน ได้แก่ ทำให้เกิดปัญหาเชื้อรา เนื่องจากเชื้อราสามารถขึ้นได้ทุกที่ๆ มีความชื้น หากเกิดขึ้นกับสิ่งของสิ่งของจะทำให้สูญเสียคุณค่าและราคา ซึ่งการลดความชื้นในอากาศสามารถแบ่งออกได้เป็น 2 วิธี คือการลดความชื้นทางกล และการลดความชื้นทางเคมี

2.4.1 การลดความชื้นทางกล (Mechanical dehumidification)

การลดความชื้นทางกลเป็นวิธีการลดความชื้นที่ใช้กันทั่วไปในระบบปรับอากาศ ได้แก่ วิธีการอุ่นอากาศร้อนและวิธีการควบแน่น โดยวิธีการอุ่นอากาศให้ร้อนเป็นวิธีที่ให้ความร้อนแก่อากาศทำให้อากาศมีอุณหภูมิสูงขึ้น ส่งผลให้ความชื้นสัมพัทธ์ลดลงแต่ปริมาณน้ำในอากาศยังคงเท่าเดิม แสดงดังรูปที่ 2.3 กระบวนการ OC (กระบวนการให้ความร้อนอย่างเดียว) ซึ่งอาจไม่เหมาะสมกับวัสดุหรือสถานที่ในบางกรณี เช่น วัสดุมีความไวไฟหรือมีจุดหลอมเหลวต่ำ หรือในกรณีที่ต้องการควบคุมให้มีความชื้นต่ำและอุณหภูมิรอบข้างไม่สูงมาก ส่วนวิธีการให้อากาศควบแน่นเป็นวิธีที่ดึงความร้อนออกจากอากาศทำให้อากาศมีอุณหภูมิลดต่ำลง (แสดงดังรูปที่ 2.3 กระบวนการ OG) จนอากาศมีค่าความชื้นสัมพัทธ์เท่ากับ 100% เรียกอุณหภูมิที่จุดนี้ว่าอุณหภูมิจุดน้ำ汽 ความชื้นในอากาศจึงเกิดการควบแน่น ทำให้ปริมาณความชื้นในอากาศลดลง ความสามารถในการลดความชื้นวิธีนี้ขึ้นอยู่กับอุณหภูมิของพื้นผิวของลิ้นยา หากอุณหภูมิต่ำกว่าจุดน้ำ汽จะเกิดปัญหาน้ำ汽แข็งเกาะที่ค่อยหลุดร่อน (icing) และอุณหภูมิของอากาศที่ได้อาจมีอุณหภูมิต่ำจนเกินไปไม่เหมาะสมกับความต้องการ ทำให้จำเป็นต้องอุ่นอากาศให้ร้อนขึ้นซึ่งเป็นการสิ้นเปลืองพลังงาน

2.4.2 การลดความชื้นทางเคมี (Chemical dehumidification)

การลดความชื้นทางเคมีเป็นวิธีการลดความชื้นโดยให้อากาศไหกผ่านสารดูดความชื้น เพื่อลดความชื้นที่เกิดจากการระเหยโดยความร้อนแห้งที่มาพร้อมกับอากาศแห้งออกไป

ดังนั้นปริมาณความชื้นในอากาศลดลง การใช้สารดูดความชื้นในการลดความชื้นในอากาศแสดงดังรูปที่ 2.3 (กระบวนการ OD) ซึ่งเป็นวิธีที่สามารถควบคุมความชื้นได้ต่อและใช้พัลจานน้อย

2.5 สารดูดความชื้น (Desiccant)

สารดูดความชื้นที่ใช้ในกระบวนการลดความชื้นมีทั้งชนิดของเหลว (liquid desiccants) และชนิดของแข็ง (solid desiccant) โดยสารดูดความชื้นชนิดของเหลวจะมีน้ำเป็นองค์ประกอบและมีการเปลี่ยนแปลงองค์ประกอบเมื่อได้รับความชื้น ดังนั้นการใช้งานจึงต้องคำนึงถึงปริมาณความเมี่ยมข้นของสารดูดความชื้นก่อนนำไปใช้งาน สารดูดความชื้นชนิดของเหลวได้แก่ ลิเทียมคลอไรด์ ส่วนสารดูดความชื้นชนิดของแข็งเมื่อดูดความชื้นแล้วจะไม่มีการเปลี่ยนแปลงคุณสมบัติทางกายภาพและทางเคมี โดยความชื้นหรือน้ำจะถูกดูดซับไว้ที่ผิวของสารดูดความชื้น ซึ่งเกิดขึ้นเนื่องจากความแตกต่างของค่าความดัน ไอระหัวงอากาศชื้นกับผิวสัมผัสของสารดูดความชื้น โดยในกรณีที่ค่าความดัน ไอผิวสัมผัสของสารดูดความชื้นน้อยกว่าค่าความดันไอของอากาศชื้นจะเป็นกระบวนการลดความชื้น (dehumidification process) และในทางกลับกันกรณีที่ค่าความดัน ไอผิวสัมผัสของสารดูดความชื้นมากกว่าค่าความดันไอของอากาศชื้นจะเป็นกระบวนการรายความชื้น (regenerative process) ดังนั้นเมื่อสารดูดความชื้นได้รับความร้อนความชื้นจะถูกรายออก สามารถนำมาใช้ในกระบวนการลดความชื้นได้อีก สารดูดความชื้นชนิดของแข็งได้แก่ ซิลิกาเจล อีโคคราย และโมเลคิวลาซีฟ เป็นต้น (Wang, 1993; Douglas Kosar, 1990)

2.5.1 สารดูดความชื้นชนิดของแข็ง

(1) ซิลิกาเจล (Silica gel) เป็นสารสังเคราะห์ที่สกัดจากทรัพยากรสมกรดกำมะถัน มีชื่อทางวิทยาศาสตร์ว่า ซิลิกอนไ/do/oxy ไไซด์ (Silicon dioxide) มีลักษณะเป็นเม็ดกลม ซึ่งโดยทั่วไปซิลิกาเจลจะมีลักษณะเป็นโพรงมีรูพรุนทำให้มีพื้นผิวที่ใช้ในการดูดความชื้นเป็นจำนวนมาก ประมาณ $800 \text{ m}^2/\text{kg}$ หรือประมาณ 40% ของน้ำหนัก

(2) เพาเวอร์ดราย (Power dry) เป็นสารดูดความชื้นที่ผลิตจากดินไถอะตอมแมเซียล เอชท์หรือดินเบา มีลักษณะคล้ายกรวดขนาดเล็กสีเทาหรือสีน้ำตาล ความสามารถในการดูดความชื้นประมาณ 50% ของน้ำหนัก มีความเร็วในการดูดและความชื้นต่ำกว่าซิลิกาเจล ทำให้เหมาะสมสำหรับใช้งานที่ต้องใช้ระยะเวลานานๆ เช่น การส่งสินค้าระหว่างประเทศ

(3) อีโคคราย (Eco dry) เป็นสารดูดความชื้นที่ผลิตจากดินธรรมชาติ ความสามารถในการดูดความชื้นประมาณ 50% ของน้ำหนัก มีความสามารถดูดความชื้นได้ดีและต่อเนื่อง

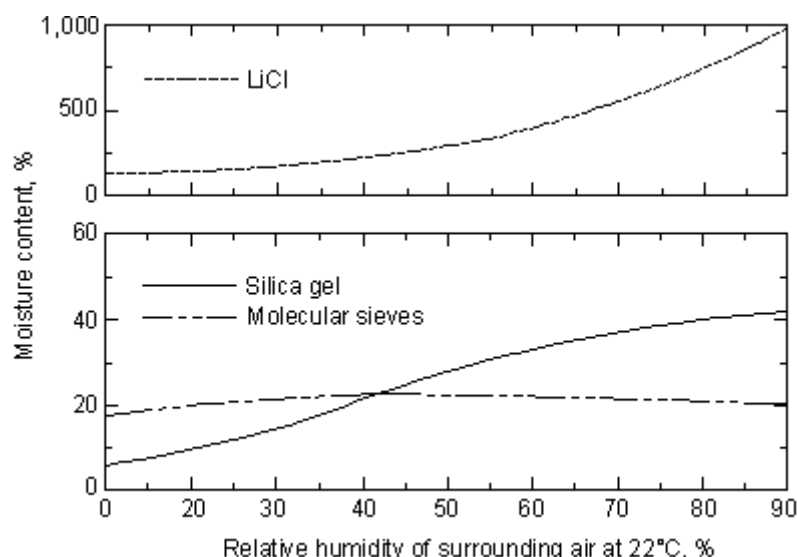
(4) ไมเลคิวเลชีฟ (Molecular sieve) เป็นสารสังเคราะห์ที่มีคุณสมบัติในการดูดความชื้นที่ดีมากภายใต้ความชื้นสัมพัทธ์รอบข้างในระดับต่ำประมาณ 10-30% ความสามารถในการดูดความชื้นประมาณ 22% ของน้ำหนัก มีความสามารถดูดความชื้นได้สูง ทำให้ปัญหาการรายความชื้นน้อยกว่าซิลิกาเจลเมื่ออุณหภูมิรอบข้างสูงขึ้น

(5) แคลเซียมออกไซด์ (Calcium oxide, CaO) ความสามารถในการดูดความชื้นประมาณ 28.5% ของน้ำหนัก มีความสามารถดูดความชื้นที่ความชื้นสัมพัทธ์ต่ำและมีอัตราการรายความชื้นที่ต่ำ เช่นเดียวกับไมเลคิวเลชีฟ แต่ความเร็วในการดูดความชื้นก่อนข้างช้าเมื่อเทียบกับชนิดอื่นๆ และจะกลายเป็นสารกึ่งเหลวเมื่อสารดูดความชื้นอิ่มตัว ซึ่งสารดูดความชื้นประเภทนี้มีคุณสมบัติในการกัดกร่อนสูง

(6) แคลเซียมซัลไฟต์ (Calcium sulfate, CaSO₄) เป็นสารดูดความชื้นที่ผลิตได้จากแร่ปิชชั่น สามารถดูดความชื้นได้ประมาณ 10% ของน้ำหนัก แต่คงสถานะได้ดี และไม่กัดกร่อน

2.5.2 สารดูดความชื้นชนิดของเหลว

ลิเทียมคลอไรด์ (Lithium chloride, LiCl) เป็นสารดูดความชื้นที่มีการเปลี่ยนแปลงทางกายภาพและทางเคมีเมื่อมีการใช้งาน โดยจะมีสภาพเป็นของแข็งเมื่อความชื้นต่ำกว่า 40% ของน้ำหนัก และจะเป็นของเหลวเมื่อความชื้นมากกว่า 110% ของน้ำหนัก ความสามารถในการดูดความชื้นของซิลิกาเจล ไมเลคิวเลชีฟ และลิเทียมคลอไรด์ แสดงดังรูปที่ 2.6



รูปที่ 2.6 กราฟความชื้นสมดุลของอากาศกับสารดูดความชื้น

(Source: ASHRAE Handbook, 1989)

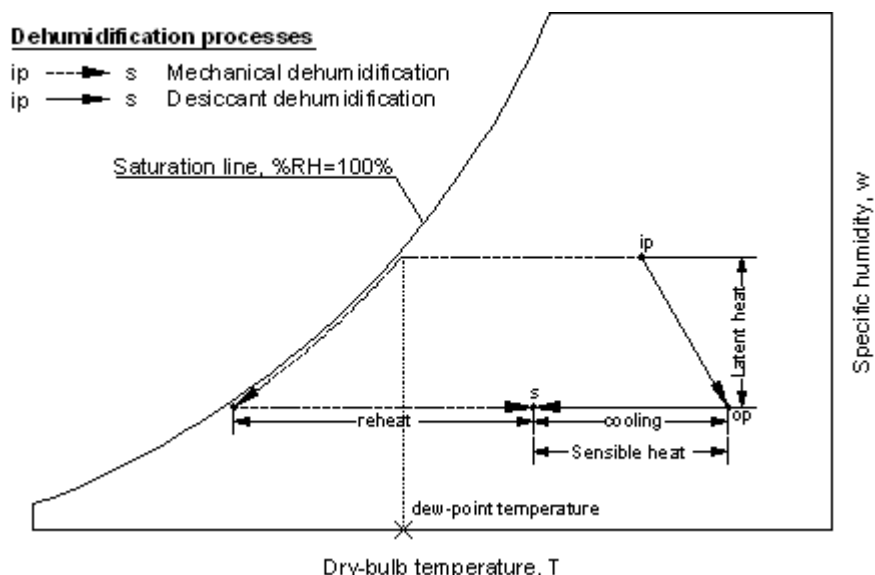
จากการศึกษาเปรียบเทียบความสามารถในการดูดความชื้นระหว่างซิลิกาเจลและลิเทียมคลอไรด์ โดยกระบวนการลดความชื้นแบบงดล้อดูดความชื้น (Parsons et al., 1989) ที่คงล้อดูดความชื้นขนาดเส้นผ่านศูนย์กลาง 1 m สภาพอากาศภายนอก 35°C อัตราส่วนความชื้น 0.015 $\text{kg}_w/\text{kg}_{da}$ อัตราการไหหลอดอากาศ $0.5 \text{ m}^3/\text{sec}$ และอุณหภูมิที่ใช้ในการคายความชื้นของสารดูดความชื้น 85°C พนว่าความสามารถในการลดความชื้นในอากาศมีค่าใกล้เคียงกัน โดยสามารถลดความชื้นได้ประมาณ $0.009 \text{ kg}_w/\text{kg}_{da}$ ซึ่งในงานวิจัยนี้จะใช้ซิลิกาเจลเป็นสารดูดความชื้น เนื่องจากมีคุณสมบัติในการลดความชื้นได้ดีและยังสามารถคายความชื้นออกจากสารดูดความชื้นได้ในระดับอุณหภูมิไม่สูงมาก

2.6 กระบวนการลดความชื้นโดยสารดูดความชื้น (Desiccant dehumidification)

กระบวนการลดความชื้นโดยสารดูดความชื้นที่มีการใช้งานโดยทั่วไป แบ่งได้เป็น 2 ประเภท คือ เบดดูดความชื้น (bed desiccant) และกล้องดูดความชื้น (rotary desiccant) โดยเบดดูดความชื้นส่วนใหญ่จะใช้สารดูดความชื้นแบบของแข็ง เช่น ซิลิกาเจล และอีโโคคราย ส่วนกล้องดูดความชื้นจะใช้สารดูดความชื้นทั้งแบบของแข็งและของเหลว เช่น ซิลิกาเจล, โมเลกุลาร์ซีฟ และลิเทียมคลอไรด์ ซึ่งกระบวนการลดความชื้นแบบเบดดูดความชื้นจะมีข้อเสียคือ เมื่อมีการใช้สารดูดความชื้นในการลดความชื้นจะน้ำสารดูดความชื้นอิ่มตัว จะทำให้อัตราการดูดความชื้นลดลงจนกระทั่งไม่สามารถใช้ได้อีก ดังนั้นต้องนำสารดูดความชื้นไปคายความชื้นออกก่อนที่จะนำกลับมาใช้ใหม่ โดยปกติแล้วอุณหภูมิที่ใช้ในกระบวนการคายความชื้นของสารดูดความชื้นประมาณ $50-150^{\circ}\text{C}$ (Techajunta et al., 1999; Pramuang et al., 2006; Ahmed et al., 2005; Nia et al., 2006; Douglas Kosar, 1990) สำหรับกล้องดูดความชื้น อัตราดูดความชื้นจะคงที่มากกว่ากรณีที่ใช้เบดดูดความชื้น เนื่องจากระหว่างที่กระบวนการลดความชื้นในอากาศทำงาน กระบวนการคายความชื้นของสารดูดความชื้นคงที่ความชื้นที่ลดลงในกระบวนการลดความชื้นของสารดูดความชื้น มีค่าเท่ากับผลต่างระหว่างอัตราส่วนความชื้นที่ทางเข้าและออกของตัวลดความชื้น ปริมาณความร้อน放热ที่ลดลงในกระบวนการลดความชื้นคำนวณได้ตามสมการที่ 2.16 (Wang, 1993; McQuiston, 2005) กระบวนการลดความชื้นของสารดูดความชื้นบนแผนภูมิอากาศชื้นแสดงดังรูปที่ 2.7

$$\dot{Q}_l = \dot{m}(w_{ip} - w_{op})(2,500.4 + 1.86T_{ip}) \quad (2.16)$$

โดยที่	\dot{Q}_l	คือ ความร้อน放ที่ลดลง (kW)
\dot{m}	คือ อัตราไหของอากาศ (kg/sec)	
w_{ip}	คือ อัตราส่วนความชื้นที่ทางเข้าสารดูดความชื้น (kg_w/kg_{da})	
w_{op}	คือ อัตราส่วนความชื้นที่ทางออกสารดูดความชื้น (kg_w/kg_{da})	
$h_{fg@0^\circ C}$	คือ เอนทัลปีของน้ำที่ $0^\circ C$ (มีค่าเท่ากับ 2,500.4 kJ/kg)	
T_{ip}	คือ อุณหภูมิของอากาศที่ทางเข้าสารดูดความชื้น ($^\circ C$)	



รูปที่ 2.7 กระบวนการลดความชื้นของสารดูดความชื้นบนแผนภูมิอากาศชื้น

อากาศชื้นผ่านกระบวนการลดความชื้นของสารดูดความชื้น อากาศที่ออกมามีความชื้นลดลงแต่จะอุณหภูมิสูงขึ้นซึ่งเป็นการเพิ่มภาระความร้อนสัมพัสดิ์ให้กับระบบทำความเย็น ดังนั้นควรมีการลดอุณหภูมิของอากาศก่อนเข้าระบบทำความเย็น โดยปริมาณความร้อนสัมพัสดิ์ที่เพิ่มขึ้นในกระบวนการลดความชื้นคำนวณได้ตามสมการที่ 2.17 (Wang, 1993; McQuiston, 2005)

$$\dot{Q}_s = \dot{m}C_p(T_{op} - T_{ip}) \quad (2.17)$$

โดยที่	\dot{Q}_s	คือ ความร้อนสัมพัสดิ์จากการเพิ่มขึ้นของอุณหภูมิ (kW)
C_p	คือ ค่าความจุความร้อนของอากาศ ($1.0 \text{ kJ/kg}^\circ\text{C}$)	
T_{op}	คือ อุณหภูมิอากาศที่ทางออกสารดูดความชื้น ($^\circ C$)	

ประสิทธิภาพของกงล้อดูดความชื้นแสดงอยู่ในรูปของค่าสัมประสิทธิ์สมรรถนะของกงล้อดูดความชื้น โดยเป็นอัตราส่วนระหว่างพลังงานความร้อนแห่งที่ลดลงกับพลังงานความร้อนที่ต้องการในกระบวนการรายความชื้นของสารดูดความชื้น ค่าสัมประสิทธิ์สมรรถนะของกงล้อดูดความชื้นคำนวณได้ตามสมการที่ 2.18 (Kanoglu et al., 2004; Jia et al., 2006)

$$DCOP = \frac{\dot{Q}_1}{\dot{Q}_{regen}} = \frac{\dot{m}_{ip}(w_{ip} - w_{op})(2,500.4 + 1.86T_{ip})}{\dot{m}_{ir}(h_{ir} - h_{ig})} \quad (2.18)$$

โดยที่ DCOP	คือ สัมประสิทธิ์สมรรถนะของกงล้อดูดความชื้น
\dot{Q}_{regen}	คือ พลังงานความร้อนที่ต้องการในการรายความชื้น (kW)
\dot{m}_{ip}	คือ อัตราไหหลักอากาศในกระบวนการลดความชื้น (kg/sec)
\dot{m}_{ir}	คือ อัตราไหหลักอากาศในกระบวนการรายความชื้น (kg/sec)
h_{ir}	คือ เอนทัลปีอากาศร้อนที่ทางเข้ากงล้อดูดความชื้น (kJ/kg)
h_{ig}	คือ เอนทัลปีของอากาศที่ทางเข้าคงคลังความชื้น (kJ/kg)

2.7 ระบบทำความเย็นโดยสารดูดความชื้น (Desiccant cooling system)

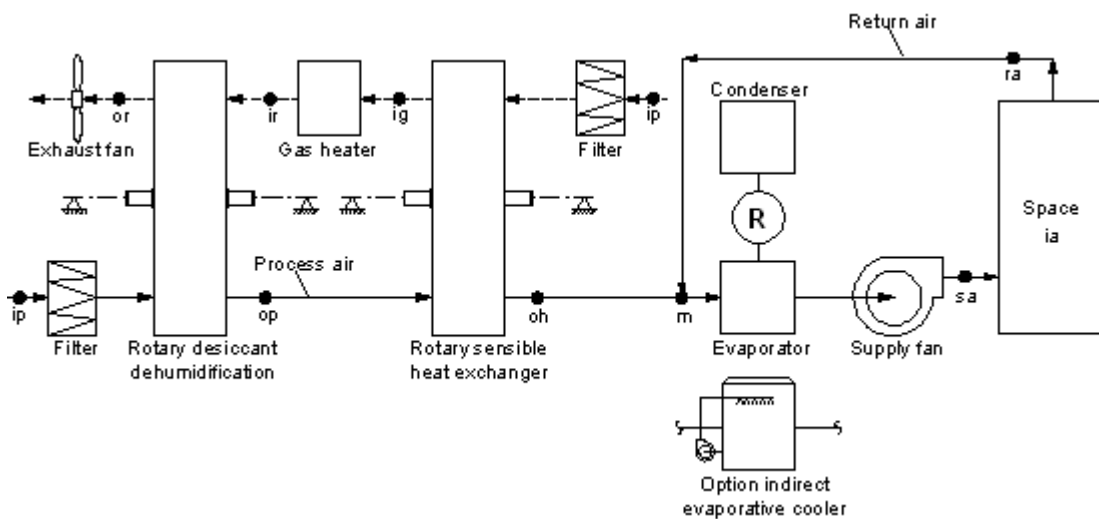
ระบบทำความเย็นโดยสารดูดความชื้น เป็นระบบทำความเย็นที่หมายความกับระบบที่มีอัตราส่วนของการความร้อนแห่งมากกว่าการความร้อนสัมผัส หรือกล่าวได้ว่าเป็นระบบที่ต้องการอากาศภายนอก (fresh air) จำนวนมาก สภาวะอากาศภายนอกมีความชื้นสูง หรือต้องการควบคุมสภาวะอากาศภายในห้องให้มีความชื้นที่เหมาะสม เช่น ห้องสรรพสินค้าความร้อนแห่งอยู่ในช่วง 20-40% ของการความร้อนทั้งหมด หรือโรงเรມขนาดใหญ่ความร้อนแห่งประมาณ 65% ของการความร้อนทั้งหมด (Wang, 1993) กระบวนการทำความเย็นโดยการใช้สารดูดความชื้นแบบได้เป็นสองระบบใหญ่ๆ คือ ระบบเปิด (open cycle) และระบบปิด (closed cycle) ซึ่งระบบเปิดเป็นระบบที่นำอากาศจากภายนอกผ่านกงล้อดูดความชื้นก่อนเข้าระบบทำความเย็น ส่วนระบบปิดเป็นระบบที่นำอากาศไหหลักออกจากห้องปรับอากาศผสมกับอากาศจากภายนอก ก่อนผ่านกงล้อดูดความชื้น ประสิทธิภาพของระบบทำความเย็นโดยสารดูดความชื้นแสดงอยู่ในรูปของสัมประสิทธิ์สมรรถนะ ซึ่งเป็นอัตราส่วนระหว่างพลังงานการทำความเย็นกับพลังงานความร้อนที่ต้องการในกระบวนการรายความชื้นของสารดูดความชื้นซึ่งคำนวณได้ตามสมการที่ 2.19 (Kanoglu et al., 2004; Jia et al., 2006) ลักษณะของระบบทำความเย็นโดยสารดูดความชื้นสำหรับห้องสรรพสินค้าและภัตตาคารแสดงดังรูปที่ 2.8 และ 2.9 ตามลำดับ

$$\text{COP}_D = \frac{\dot{Q}_L}{\dot{Q}_{\text{regen}}} = \frac{\dot{m}(h_{ra} - h_{sa})}{\dot{m}_{ir}(h_{ir} - h_{ig})} \quad (2.19)$$

โดยที่ COP_D คือ สัมประสิทธิ์สมรรถนะของระบบทำความเย็น

h_{ra} คือ เอนทัลปีของลมกลับ (kJ/kg)

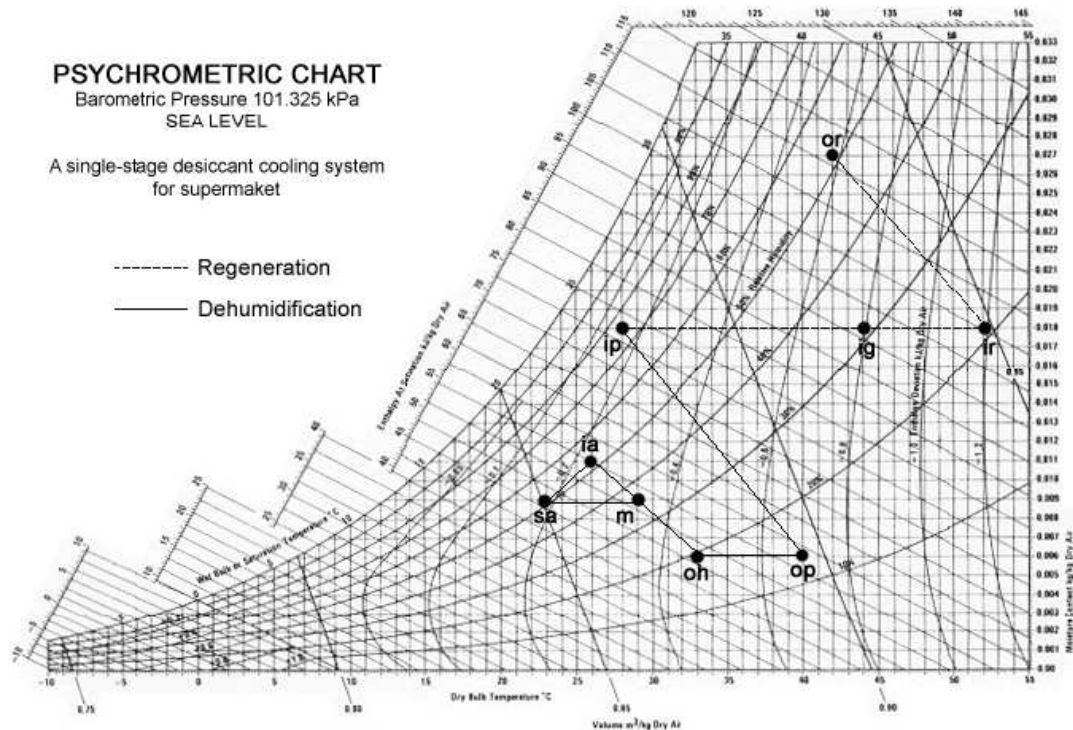
h_{sa} คือ ค่าเอนทัลปีของลมจ่าย (kJ/kg)



PSYCHROMETRIC CHART
Barometric Pressure 101.325 kPa
SEA LEVEL

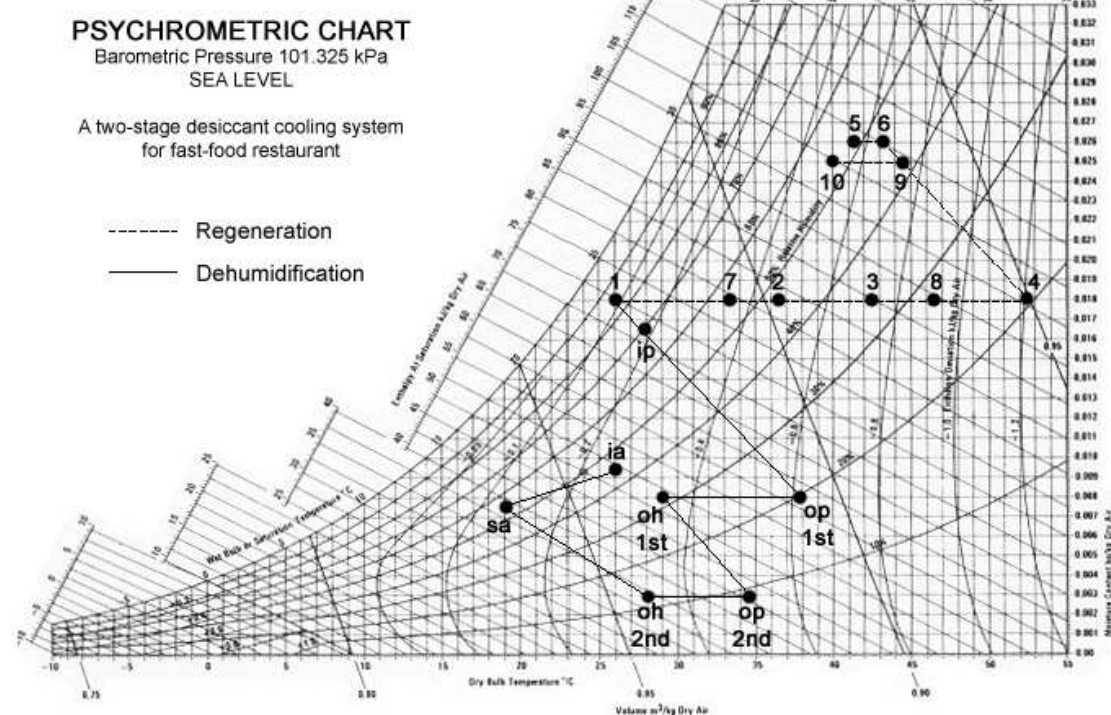
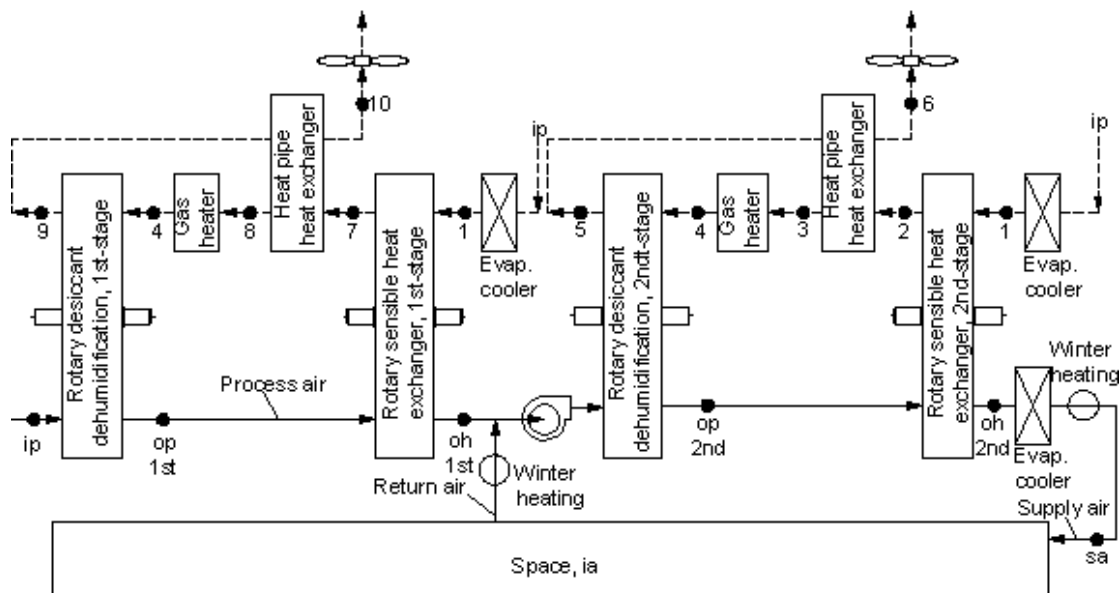
A single-stage desiccant cooling system
for supermarket

----- Regeneration
——— Dehumidification



รูปที่ 2.8 ลักษณะของระบบทำความเย็นโดยสารดูดความชื้นสำหรับห้างสรรพสินค้า

(Source: Wang, 1993)



รูปที่ 2.9 ลักษณะของระบบทำความเย็น โดยสารดูดความชื้นสำหรับภัตตาคาร

(Source: Wang, 1993)

2.8 การวิเคราะห์ทางด้านเศรษฐศาสตร์

การตรวจสอบและวิเคราะห์ประสิทธิภาพของการใช้พลังงานของอุปกรณ์หรือกระบวนการผลิตต่างๆ เพื่อหาแนวทางในการประหยัดพลังงาน อาจจะต้องมีการลงทุนด้านวัสดุ หรืออุปกรณ์ เพื่อปรับปรุงให้มีการใช้พลังงานได้อย่างมีประสิทธิภาพสูง โดยพิจารณาถึงความเหมาะสมของการลงทุนและผลตอบแทนที่ได้รับ วิธีการประเมินการลงทุน ได้แก่ วิธีระยะเวลาคืนทุน และค่าอัตราตอบแทนผลการลงทุน

2.8.1 วิธีระยะเวลาคืนทุน (payback of period method)

ระยะเวลาคืนทุน คือ ระยะเวลาที่ได้รับเงินลงทุนคืนมา ซึ่งวิธีนี้จะไม่แสดงถึงผลกำไรที่ได้รับจากโครงการที่ลงทุน และไม่ได้พิจารณาถึงผลตอบแทนที่ได้รับหลังระยะเวลาคืนทุน โดยระยะการคืนทุนเบื้องต้นในงานวิจัย สามารถหาได้จากการนำผลที่ประหยัดได้หารด้วยค่าใช้จ่ายทั้งหมดในการดำเนินการลงทุนสร้างระบบลดความชื้น โดยสารคุณภาพชื้น

2.8.2 วิธีหาค่าอัตราตอบแทนผลการลงทุน (Internal rate of return, IRR)

อัตราตอบแทนผลการลงทุน คือ อัตราที่ทำให้มูลค่าปัจจุบันรายรับจากการลงทุนเท่ากับมูลค่าปัจจุบันของรายจ่ายจากการลงทุน วิธีการหาอัตราผลตอบแทนภายในเป็นการหาอัตราดอกเบี้ยโดยวิธีการลองผิดลองถูก (trial and error) เพื่อให้ได้ค่าอัตราดอกเบี้ยที่ทำให้มูลค่าปัจจุบันของรายรับเท่ากับมูลค่าปัจจุบันของรายจ่าย หากค่าอัตราตอบแทนภายในมากกว่าค่าอัตราผลตอบแทนภายในต่ำสุดที่ต้องการของโครงการก็สมควรแก่การลงทุน อัตราตอบแทนผลการลงทุนสามารถหาได้ดังสมการที่ 2.20 และ 2.21 (บัญเรือง มาษะสุกร 2542)

$$\left(A \left[\frac{(1+i)^n - 1}{i(1+i)^n} \right] + F \left[\frac{1}{(1+i)^n} \right] \right)_{earings} = \left(A \left[\frac{(1+i)^n - 1}{i(1+i)^n} \right] + F \left[\frac{1}{(1+i)^n} \right] \right)_{expense} \quad (2.20)$$

$$(A(P/A, i\%, n) + F(P/F, i\%, n))_{earings} = (A(P/A, i\%, n) + F(P/F, i\%, n))_{expense} \quad (2.21)$$

โดยที่ P	คือ รายได้หรือรายจ่ายปัจจุบัน (บาท)
F	คือ รายได้หรือรายจ่ายที่ระยะเวลาที่กำหนด (บาท)
A	คือ รายได้หรือรายจ่ายต่อวัน (บาทต่อปี)
i	คือ อัตราดอกเบี้ยต่อระยะเวลา (%)
n	คือ จำนวนวันหรือช่วงเวลา (ปี)

2.9 สรุป

บทที่ 2 ได้นำเสนอส่วนของทฤษฎีที่เกี่ยวข้องต่างๆของการศึกษางานวิจัยทางด้านการประยุกต์ใช้สารคูดความชื้นเพื่อลดความชื้นของอากาศก่อนเข้าสู่ระบบปรับอากาศของอาคารได้แก่ สมบัติทางอุณหพลศาสตร์ของอากาศชื้น แผนภูมิอากาศชื้น วัฏจักรทำความเย็น กระบวนการลดความชื้น สารคูดความชื้น กระบวนการลดความชื้นโดยสารคูดความชื้น ระบบทำความเย็น โดยสารคูดความชื้น และการวิเคราะห์ทางด้านเศรษฐศาสตร์ สำหรับงานวิจัยครั้งนี้จะใช้สารคูดความชื้นชนิดของแม็ง กีอ ซิลิกาเจลในการทดลอง เนื่องจากที่สภาวะอากาศ $20-90^{\circ}\text{C}$ ความชื้นสัมพัทธ์ 40-90% ซิลิกาเจลมีความสามารถในการลดความชื้นในอากาศได้ดีในช่วงการใช้งานที่ต้องการเมื่อเทียบกับสารคูดความชื้นชนิดอื่นๆ อีกทั้งซิลิกาเจลเป็นที่นิยมแพร่หลายในการใช้ลดความชื้นในอากาศ จึงมีจำนวนทั่วไปในห้องทดลองทำให้สะดวกในการจัดซื้อ โดยในงานวิจัยจะนำซิลิกาเจลมาใช้กับคงล้อคูดความชื้น เพื่อทำให้สามารถลดความชื้นในอากาศได้อย่างต่อเนื่องและมีความสม่ำเสมอ

บทที่ 3

การออกแบบระบบและอุปกรณ์ทดลอง

งานวิจัยนี้จะใช้กงล้อคุณภาพชั้นที่มีซิลิกาเจลเป็นสารดูดความชื้นเพื่อลดความชื้นในอากาศที่จะผ่านเข้ามาภายในอาคาร โดยมีกระบวนการคายความชื้นออกจากสารดูดความชื้นดำเนินไปด้วยในเวลาเดียวกัน ในบทนี้จะทำการออกแบบระบบทำความเย็นโดยสารดูดความชื้น และมีการจำลองระบบดังกล่าวด้วยโปรแกรม EnergyPlus version 1.4 เพื่อพิจารณาด้านการประหยัดพลังงานรวมทั้งความเป็นไปได้ในทางปฏิบัติ โดยอุปกรณ์ลดความชื้นที่ใช้ในงานวิจัยคือ กงล้อคุณภาพชั้นที่มีขนาดเส้นผ่าศูนย์กลาง 0.5 m และมีความหนา 0.2 m (Kodama et al., 2001; Ahmed et al., 2005; Nia et al., 2006; Jia et al., 2006)

3.1 การออกแบบกงล้อคุณภาพชั้น

3.1.1 คำนวณหาค่าอัตราการนำความชื้นออกจากอากาศ

กำหนดสภาวะปรับอากาศ 25 °C ความชื้นสัมพัทธ์ 50% และสภาวะอากาศภายนอก 30°C ความชื้นสัมพัทธ์ 70% อัตราการระบายอากาศ 26 kg/hr (ANSI/ASHRAE Standard 55-1992; ANSI/ASHRAE Standard 62-1999) ดังนั้นอัตราการนำความชื้นออกจากอากาศ คือ

$$W_R = \dot{m}_a \times \Delta W = 26 \frac{\text{kg}_{\text{da}}}{\text{hr}} \times (18.9 - 9.9) \frac{\text{g}_w}{\text{kg}_{\text{da}}} = 233 \frac{\text{g}_w}{\text{hr}}$$
$$= 0.233 \frac{\text{kg}_w}{\text{hr}}$$

3.1.2 คำนวณหาปริมาณซิลิกาเจล

จากความสัมพันธ์ระหว่างสมดุลการดูดซับน้ำกับเวลาของซิลิกาเจล ที่สภาวะอากาศชั้น 25 °C ความชื้นสัมพัทธ์ 75% พบว่า ซิลิกาเจลมีอัตราการดูดความชื้นประมาณ 0.065 kg_w/kg_{silicagel} ต่อชั่วโมง (ASHRAE Handbook, 1989) ซึ่งกรณีที่อากาศมีความชื้นสูงอัตราการดูดความชื้นจะเพิ่มขึ้น และมีค่าลดลงในสภาพอากาศที่มีความชื้นต่ำลง โดยการคำนวณให้อัตราการดูดความชื้นมีค่าประมาณ 0.035 kg_w/kg_{silicagel} ต่อชั่วโมง ดังนั้นปริมาณซิลิกาเจล คือ

$$M_{\text{silicagel}} = 0.233 \frac{\text{kg}_w}{\text{hr}} \times \frac{1}{0.035} \frac{\text{kg}_{\text{silicagel}} - \text{hr}}{\text{kg}_w}$$

$$= 6.7 \text{ kg}_{\text{silicagel}}$$

3.1.3 คำนวณหาขนาดของกล้องล้อดูดความชื้น

ซิลิกาเจลที่ใช้ในการทดลองมีขนาดเส้นผ่านศูนย์กลางประมาณ 2-3 mm จากการนำซิลิกาเจลไปใส่ภาชนะที่ทราบปริมาตร พบว่า ปริมาตรของภาชนะต่อจำนวนซิลิกาเจลมีค่าประมาณ $1.154 \text{ cm}^3/\text{g}_{\text{silicagel}}$ โดยขนาดของกล้องล้อดูดความชื้นจะมีค่าเป็นสองเท่าของปริมาตรที่ต้องการ เนื่องจาก การรักษาความชื้นมีกระบวนการลดความชื้นในอากาศและกระบวนการภายในความชื้นออกจากการดูดความชื้นในเวลาเดียวกัน ดังนั้นขนาดของกล้องล้อดูดความชื้น คือ

$$V_{\text{wheel}} = 2 \times 1.154 \frac{\text{cm}^3}{\text{g}} \times 6.7 \text{ kg} \times 1,000 \frac{\text{g}}{\text{kg}} \times 1,000 \frac{\text{mm}^3}{\text{cm}^3}$$

$$= 15,362,048 \text{ mm}^3$$

3.1.4 คำนวณหาระยะเวลาอิ่มตัวของซิลิกาเจล

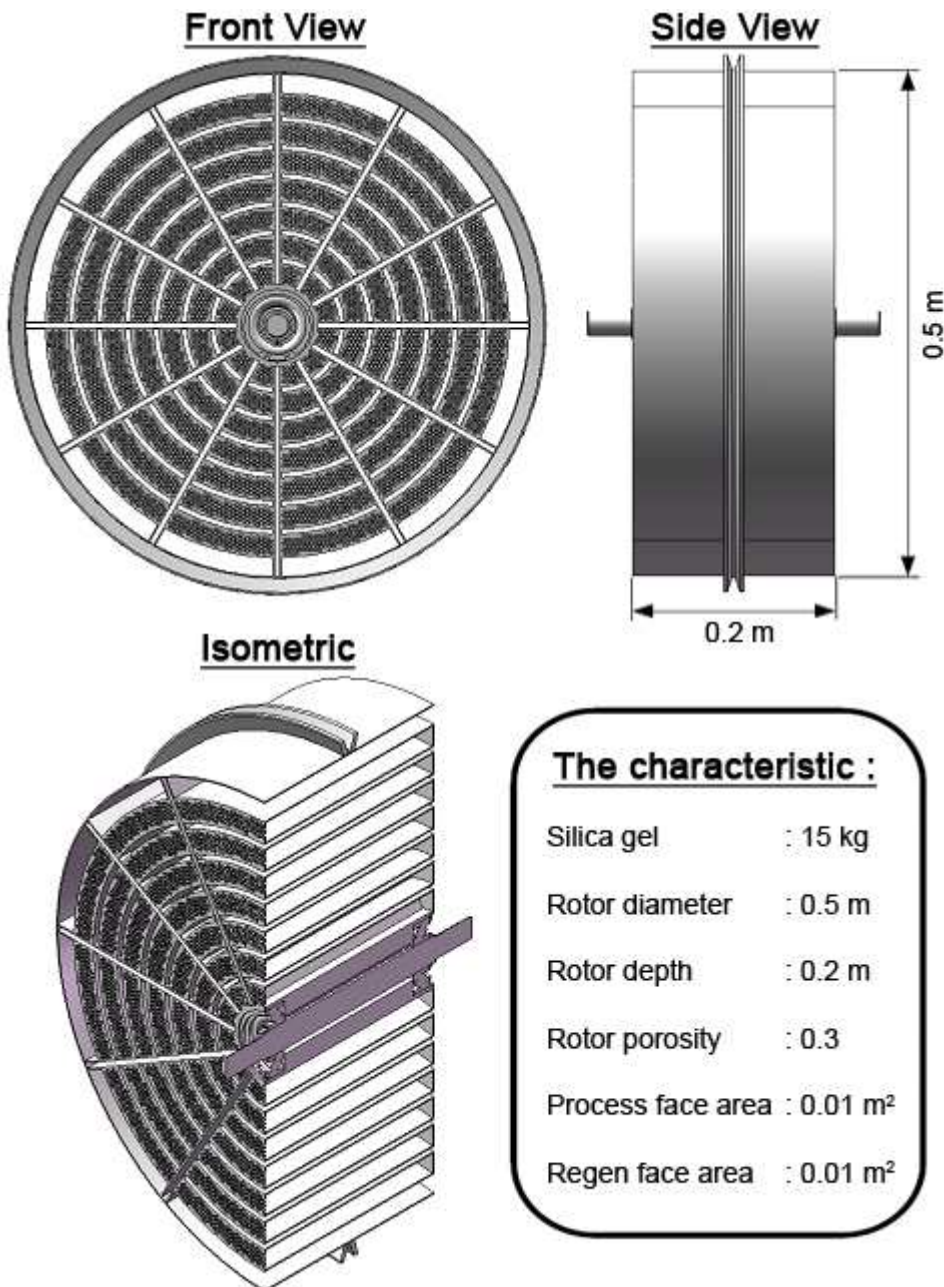
จากความสัมพันธ์ระหว่างสมดุลการดูดซับน้ำกับความชื้นสัมพัทธ์ของสารดูดความชื้นที่สภาวะอากาศชื่น 25°C พบว่า ซิลิกาเจลมีสมดุลการดูดซับน้ำช่วงความชื้นสัมพัทธ์ 40-90% เฉลี่ย $0.3 \text{ kg}_w/\text{kg}_{\text{silicagel}}$ (ASHRAE Handbook, 1989) ซึ่งกรณีที่อากาศมีความชื้นสูงสมดุลการดูดซับน้ำจะเพิ่มขึ้น และมีค่าลดลงในสภาพอากาศที่มีความชื้นต่ำลง โดยการคำนวณให้สมดุลการดูดซับน้ำมีค่าประมาณ $0.21 \text{ kg}_w/\text{kg}_{\text{silicagel}}$ ดังนั้นระยะเวลาอิ่มตัวของซิลิกาเจล คือ

$$Time_{\text{sat}} = 0.21 \frac{\text{kg}_w}{\text{kg}_{\text{silicagel}}} \times \frac{1}{0.035} \frac{\text{kg}_{\text{silicagel}} - \text{hr}}{\text{kg}_w}$$

$$= 6 \text{ hr}$$

จากการคำนวณพบว่าที่สภาวะปรับอากาศ 25°C ความชื้นสัมพัทธ์ 50% และสภาวะอากาศภายนอก 30°C ความชื้นสัมพัทธ์ 70% โดยมีอัตราการระบายอากาศ 26 kg/hr ปริมาณซิลิกาเจลที่ต้องการสำหรับกล้องล้อดูดความชื้นมีค่าประมาณ 15 kg กล้องล้อดูดความชื้นมีขนาดเส้นผ่านศูนย์กลาง 0.5 m ความหนา 0.2 m โดยมีอัตราส่วนระหว่างช่องว่างอากาศต่อปริมาตรของกล้องล้อดูดความชื้นประมาณ 0.3 และมีสัดส่วนระหว่างพื้นที่ลดความชื้นในอากาศต่อพื้นที่ภายในความชื้นออก

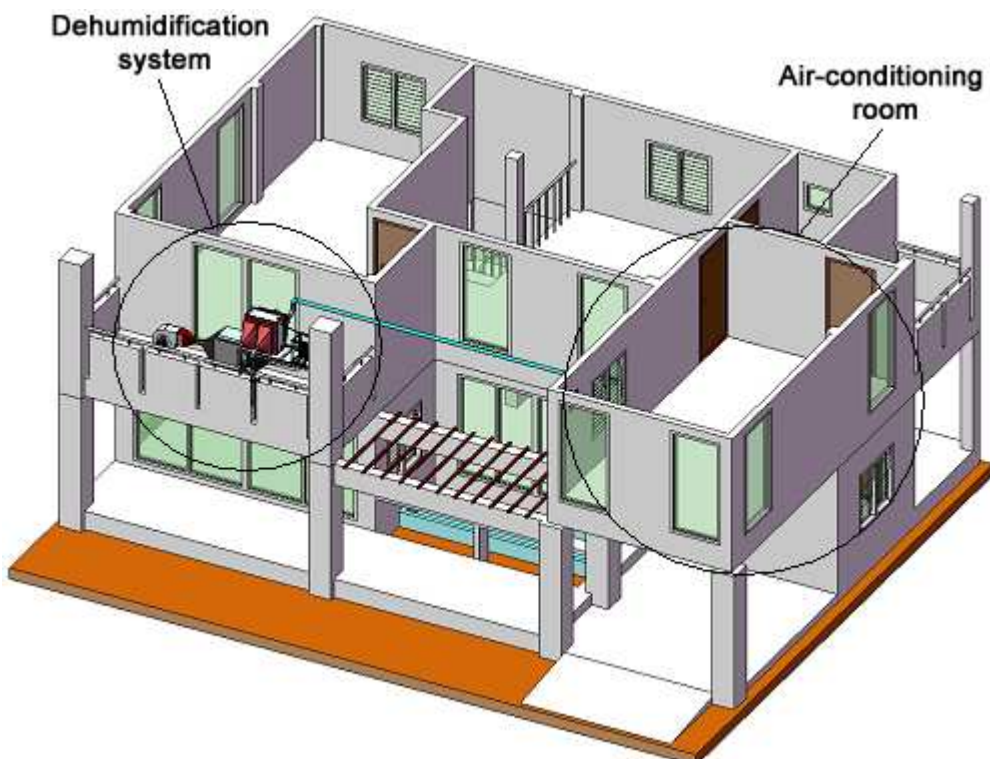
จากระดับความชื้นเป็น 1:1 (0.01 m^2) ลักษณะของล้อดูดความชื้นแสดงดังรูปที่ 3.1 และชุดวงล้อดูดความชื้นอย่างละเอียดแสดงในภาคผนวก ก



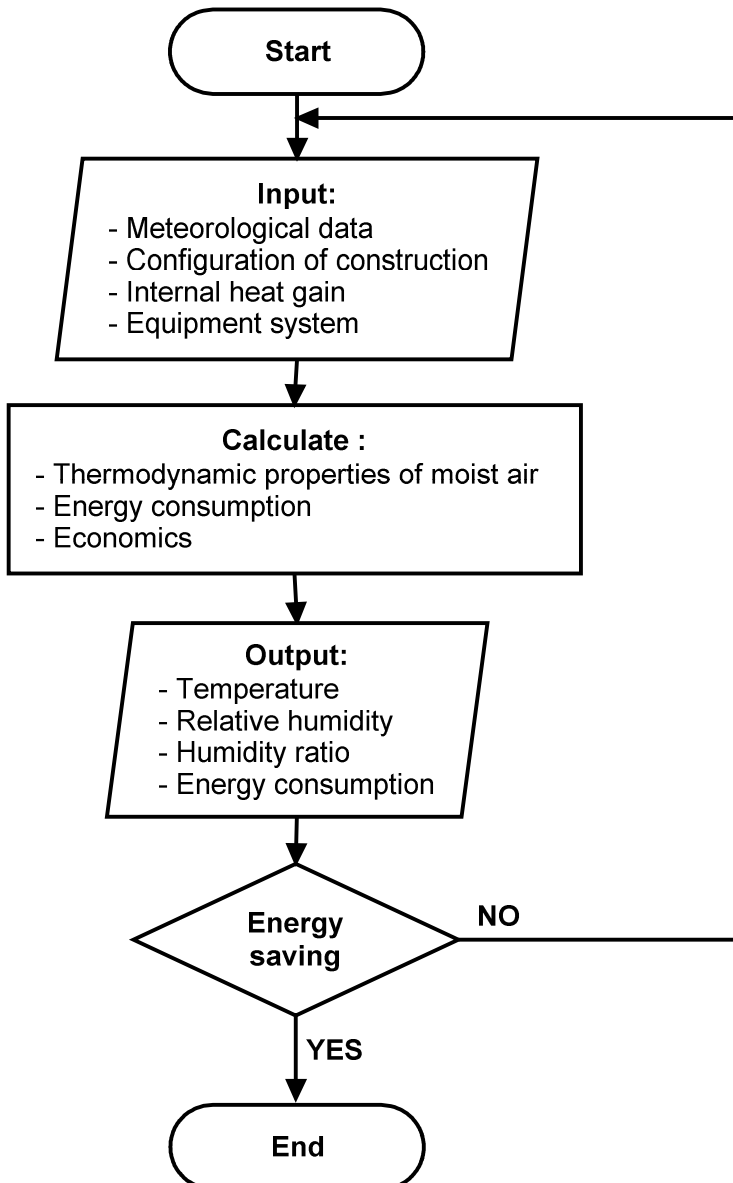
รูปที่ 3.1 การออกแบบล้อดูดลดความชื้น

3.2 การจำลองระบบทำความเย็นโดยสารดูดความชื้นด้วยโปรแกรม EnergyPlus version 1.4

การศึกษาได้ทำการจำลองบ้านประหยัดพลังงาน (Low Energy House) ซึ่งตั้งอยู่ในมหาวิทยาลัยสงขลานครินทร์ การจำลองใช้ข้อมูลตำแหน่งที่ตั้งและวัสดุตามโครงสร้างของบ้าน โดยห้องวิจัยที่ศึกษาตั้งอยู่บริเวณชั้นสองของบ้าน การจำลองใช้โปรแกรม EnergyPlus version 1.4 โดยแบ่งขอบเขตอย่างๆออกเป็น 4 ส่วน กำหนดให้บริเวณของบ้านชั้นล่างเป็นส่วนที่ 1 และบริเวณของบ้านชั้นบนอีก 3 ห้องเป็นส่วนที่ 2 3 และ 4 ซึ่งการจำลองในครั้งนี้จะทำการศึกษาสภาพอากาศภายนอกห้องปรับอากาศ และการใช้พลังงานของระบบทำความเย็นทั่วไปและระบบทำความเย็นที่มีการใช้สารดูดความชื้น เพื่อใช้ในการวิเคราะห์ผลก่อนประยุกต์ใช้สารดูดความชื้นจริงตำแหน่งการติดตั้งระบบลดความชื้นแสดงดังรูปที่ 3.2 แผนผังการจำลองด้วยโปรแกรม Energy Plus version 1.4 และแสดงดังรูปที่ 3.3



รูปที่ 3.2 ตำแหน่งการติดตั้งระบบลดความชื้น



รูปที่ 3.3 แผนผังการจำลองด้วยโปรแกรม EnergyPlus version 1.4

3.2.1 ตัวแปรที่เกี่ยวข้องในการจำลองระบบทำความเย็นโดยสารคุณภาพชั้น

ตัวแปรที่เกี่ยวข้องในการจำลองระบบทำความเย็นโดยสารคุณภาพชั้นด้วยโปรแกรม EnergyPlus version 1.4 ได้แก่ ข้อมูลวัสดุโครงสร้างของกรอบอาคาร ข้อมูลสภาพอากาศ ตัวแปรที่ต้องคำนึงถึง เช่น อุณหภูมิ ความชื้น ลม แสงอาทิตย์ และอุปกรณ์ที่ใช้ในระบบทำความเย็น โดยสารคุณภาพชั้น สำหรับงานวิจัยครั้งนี้ได้นำโปรแกรม EnergyPlus version 1.4 มาช่วยในการวิเคราะห์ระบบทำความเย็นโดยสารคุณภาพชั้น เพื่อปรับปรุงระบบให้สามารถทำงานได้อย่างมีประสิทธิภาพ โดยศึกษาเปรียบเทียบระหว่างระบบ

ทำการมเย็นทั่วไปและระบบทำการมเย็นที่มีการใช้สารคัดความชื้น ตัวแปรที่เกี่ยวข้องในการจำลองระบบได้แก่ ข้อมูลคุณสมบัติเชิงความร้อนของวัสดุทึบสำหรับผนังอาคาร แสดงดังตารางที่ 3.1 ข้อมูลคุณสมบัติของกระจกแสดงดังตารางที่ 3.2 ข้อมูลภาระภายในอาคารแสดงดังตารางที่ 3.3 และข้อมูลค่าที่ใช้ในระบบปรับอากาศแสดงดังตารางที่ 3.4

ตารางที่ 3.1 ข้อมูลคุณสมบัติเชิงความร้อนของวัสดุทึบสำหรับผนังอาคาร

Materials	Conductivity	Density kg/m ³	Specific heat J/kg-K
	W/m-K		
Plaster	0.305	1182	840
Concrete	1.37	2,242.58	880
Fiber glass	0.038	130	837.36
Air gap	0.986	1.177	1,005.7

ตารางที่ 3.2 ข้อมูลคุณสมบัติของกระจก

Materials	Conductivity	Solar transmittance	Solar reflectance
	W/m-K		
SMG	0.9	0.9	0.031

ตารางที่ 3.3 ข้อมูลภาระการทำการมเย็นภายในอาคาร

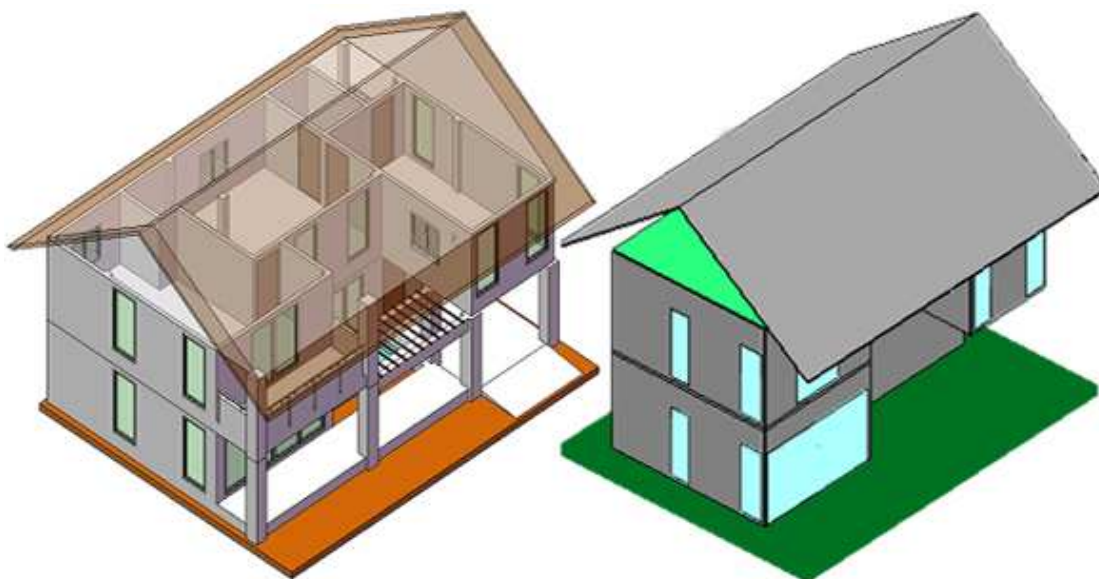
Internal heat gain	Values	Units
Heat gain from people		
- number of people	1	person
- activity level (officer)	60	W/person
- clothing insulation (shirt & pants)	0.19	Clo
Heat gain from interior lighting		
- design level	72	W
Heat gain from appliances and other		
- design level	240	W

ตารางที่ 3.4 ข้อมูลค่าที่ใช้ในระบบปรับอากาศ

Parameter	Values	Units
Supply air temperature	23	°C
Internal room air temperature	25	°C
Internal room air relative humidity	50	%
Maximum air temperature	28	°C
Minimum air temperature	23	°C
Dehumidification	0.007	kg _w /kg _{da}

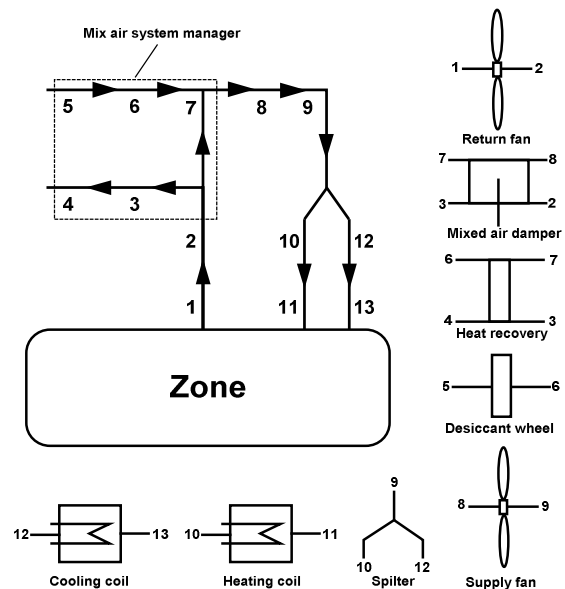
3.2.2 ขั้นตอนการจำลองระบบทำความเย็นโดยสารดูดความชื้น

(1) การจำลองด้วยโปรแกรม EnergyPlus version 1.4 ส่วนของการสร้างกรอบอาคาร โดยนำข้อมูลจากโครงสร้างบ้านประยุกต์พลังงานประเภทบ้านเดี่ยวของภาควิชาวิศวกรรมเครื่องกล คณะวิศวกรรมศาสตร์ มหาวิทยาลัยสงขลานครินทร์ ได้แก่ ขนาด รูปร่าง ตำแหน่งที่ตั้งของอาคาร ลักษณะองค์ประกอบ และวัสดุที่ใช้ในการสร้างอาคาร สำหรับห้องวิจัยตั้งอยู่บริเวณชั้นสองของอาคาร ซึ่งขนาดของห้องเท่ากับ 50 m³ และมีผู้ปฏิบัติงานจำนวน 1 คน โดยจังหวัดสงขลาตั้งอยู่ที่เส้นรุ้ง 6.91°N เส้นแบ่ง 100.43°E ระดับความสูงจากน้ำทะเล 12 m การจำลองด้วยแบบส่วนของการสร้างกรอบอาคารในโปรแกรม EnergyPlus version 1.4 แสดงดังรูปที่ 3.4

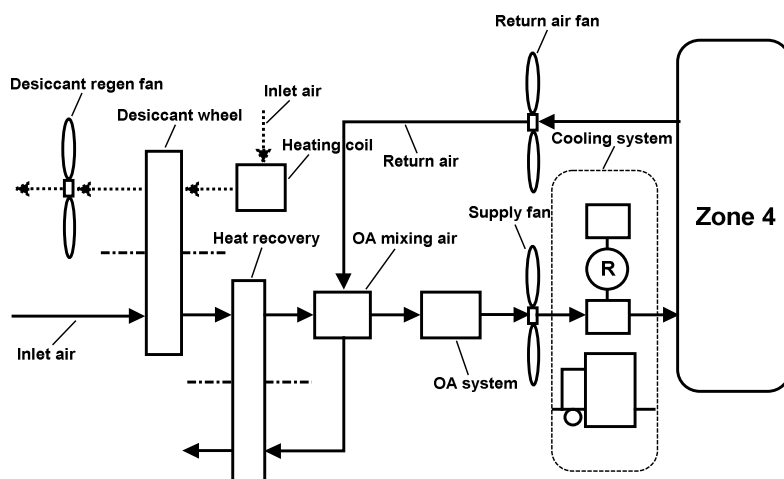


รูปที่ 3.4 การจำลองส่วนของการกรอบอาคารในโปรแกรม Energy Plus version 1.4

(2) การจำลองด้วยโปรแกรม EnergyPlus version 1.4 ในส่วนของระบบทำความเย็น โดยสารคุณภาพชีนที่ใช้ในงานวิจัยสามารถแบ่งออกได้ดังนี้คือ ส่วนของระบบหลักเป็นส่วนที่ต้องการศึกษาซึ่งประกอบด้วยห้องปรับอากาศ Plant loop และ Condenser loop และคงดังรูปที่ 3.5 ระบบที่สองเป็นระบบสารคุณภาพชีนซึ่งทำหน้าที่ควบคุมความชื้นก่อนเข้าสู่ระบบทำความเย็น แสดงดังรูปที่ 3.6 อุปกรณ์ที่ใช้ในระบบต่างๆ ได้แก่ พัดลมระบายอากาศ อุปกรณ์แลกเปลี่ยนความร้อนชนิด flat plate heat exchanger กงล้อคุณภาพชีน ระบบทำความเย็น และ circulation ทำความร้อน ส่วนอุปกรณ์ที่ใช้ในระบบ Plant loop ได้แก่ pump และ chiller ส่วนอุปกรณ์ที่ใช้ในระบบ Condenser loop ได้แก่ cooling tower



รูปที่ 3.5 แสดงส่วนประกอบต่างๆ ของระบบหลัก

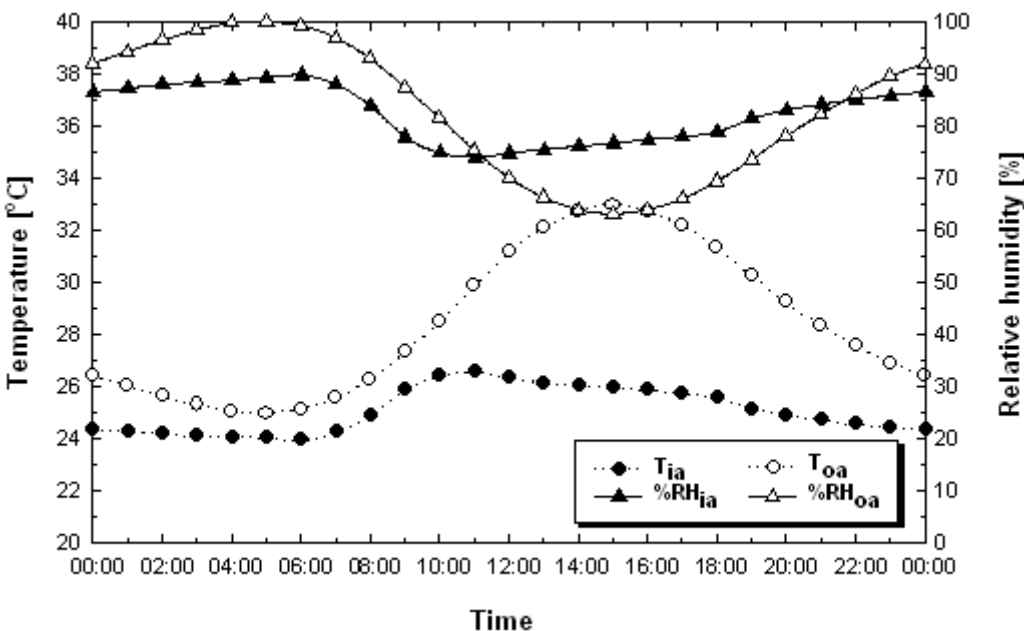


รูปที่ 3.6 แสดงส่วนประกอบต่างๆ ของระบบสารคุณภาพชีน

3.2.3 ผลการการจำลองระบบทำความเย็นโดยสารดูดความชื้น

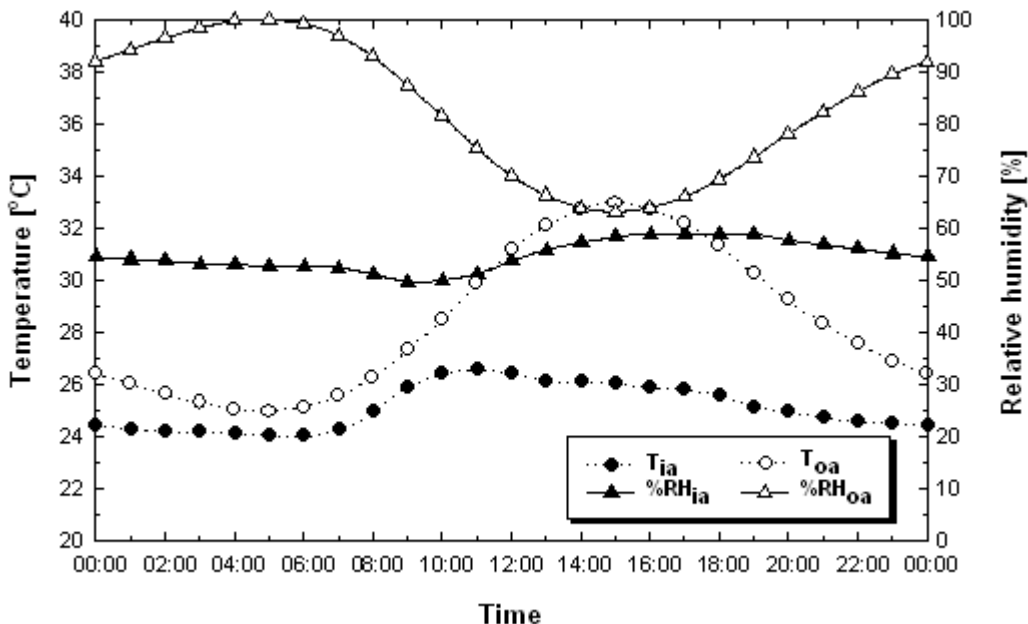
การจำลองระบบทำความเย็นโดยสารดูดความชื้นด้วยโปรแกรม EnergyPlus version 1.4 ซึ่งมีการนำอากาศจากภายนอกที่มีความชื้นสูงไหหล่อผ่านอุปกรณ์กงล้อดูดความชื้นก่อนเข้าห้องปรับอากาศ โดยในขณะเดียวกันได้มีการคายความชื้นออกจากสารดูดความชื้นเพื่อทำให้กงล้อดูดความชื้นมีความสามารถลดความชื้นได้อย่างต่อเนื่องและสม่ำเสมอ โดยมีการศึกษาสภาพอากาศภายในห้องปรับอากาศ โดยในขณะเดียวกันได้มีการคายความชื้นออกจากสารดูดความชื้นเพื่อทำให้กงล้อดูดความชื้น และสภาพอากาศที่อุปกรณ์แลกเปลี่ยนความร้อน ได้แก่ อุณหภูมิอากาศภายในห้องปรับอากาศ (T_{ia}) ความชื้นสัมพัทธ์อากาศภายในห้องปรับอากาศ ($\%RH_{ia}$) อุณหภูมิอากาศภายนอกห้องปรับอากาศ (T_{oa}) และความชื้นสัมพัทธ์อากาศภายนอกห้องปรับอากาศ ($\%RH_{oa}$) อุณหภูมิอากาศที่ทางเข้าอุปกรณ์กงล้อดูดความชื้น (T_{id}) อุณหภูมิอากาศที่ทางออกอุปกรณ์กงล้อดูดความชื้น (T_{od}) ความชื้นสัมพัทธ์อากาศที่ทางเข้าอุปกรณ์กงล้อดูดความชื้น ($\%RH_{id}$) ความชื้นสัมพัทธ์อากาศที่ทางออกอุปกรณ์กงล้อดูดความชื้น ($\%RH_{od}$) อุณหภูมิอากาศที่ทางเข้าอุปกรณ์แลกเปลี่ยนความร้อน (T_{ih}) ความชื้นสัมพัทธ์อากาศที่ทางเข้าอุปกรณ์แลกเปลี่ยนความร้อน ($\%RH_{ih}$) และความชื้นสัมพัทธ์อากาศที่ทางออกอุปกรณ์แลกเปลี่ยนความร้อน ($\%RH_{oh}$) รวมทั้งการใช้พัดลมทั้งระบบทำความเย็นทั่วไปและระบบทำความเย็นที่มีการใช้สารดูดความชื้น

(1) การจำลองระบบทำความเย็นทั่วไป โดยการจำลองด้วยโปรแกรม EnergyPlus version 1.4 ของวันที่ 4 เมษายน 2552 ที่เงื่อนไข อัตราการไหหลอมจ่าย 0.64 kg/sec และอัตราการระบายอากาศประมาณ 0.09 kg/sec ผลการศึกษาสภาพอากาศภายในและภายนอกห้องปรับอากาศ ช่วงเวลา 9.00 น. ถึง 21.00 น. พบว่า ค่าอุณหภูมิและความชื้นสัมพัทธ์ของอากาศภายนอกห้องปรับอากาศอยู่ในช่วง 27.3-33.0 °C และ 63.1-87.5%RH ตามลำดับ ส่วนค่าอุณหภูมิและความชื้นสัมพัทธ์ของอากาศภายในห้องปรับอากาศอยู่ในช่วง 24.7-26.5 °C และ 74.0-84.2%RH แสดงดังรูปที่ 3.7 ซึ่งจากการจำลองพบว่าอากาศภายในห้องปรับอากาศมีค่าความชื้นสัมพัทธ์สูงเฉลี่ย 77.9%RH ส่งผลให้การทำการทำความเย็นของระบบทำความเย็นมีค่าสูง และส่งผลต่อความสบายของผู้อยู่อาศัย โดยสภาพอากาศในห้องปรับอากาศที่เหมาะสมจะอยู่ในช่วงอุณหภูมิระหว่าง 20-26 °C และความชื้นสัมพัทธ์ 30-60% ที่ความเร็วลมไม่เกิน 0.15 m/s (ANSI/ASHRAE Standard 55-1992)



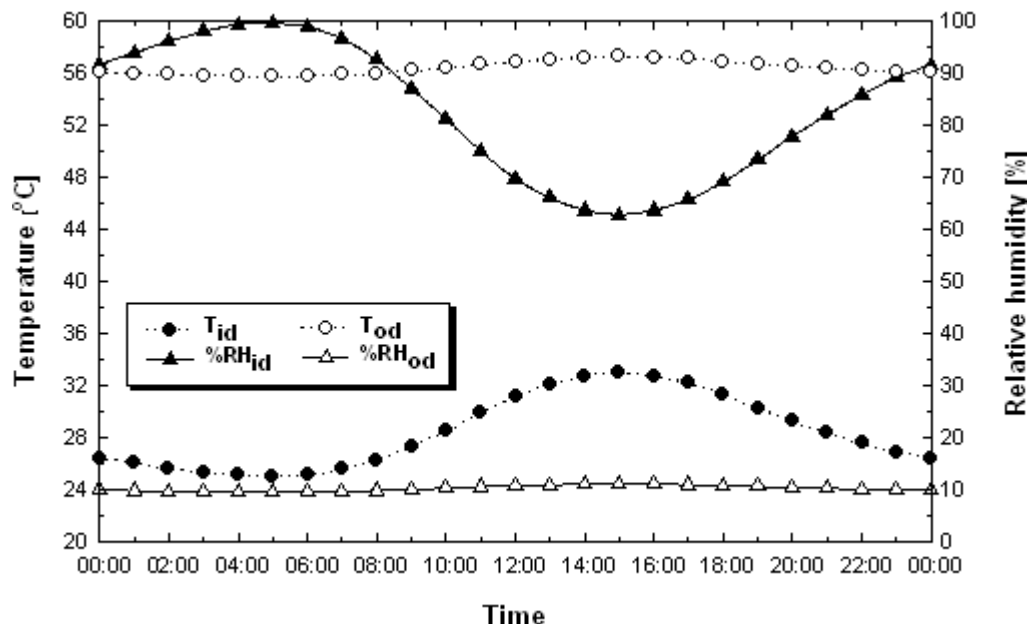
รูปที่ 3.7 แสดงผลการจำลองสภาพอากาศภายในและภายนอกห้องปรับอากาศกรณีระบบทำความเย็นทั่วไปช่วงเวลา 00.00 น. ถึง 21.00 น. ของวันที่ 4 เมษายน 2552

(2) การจำลองระบบทำความเย็นร่วมกับระบบดูดความชื้น โดยการจำลองด้วยโปรแกรม EnergyPlus version 1.4 ที่มีการใช้อุปกรณ์แลกเปลี่ยนความร้อนเพื่อควบคุมอุณหภูมิของอากาศที่ออกจากอุปกรณ์กงสือดูดความชื้นก่อนเข้าระบบทำความเย็น ของวันที่ 4 เมษายน 2552 ที่เงื่อนไข อัตราการไหลดนจ่าย 0.64 kg/sec และอัตราการระบายอากาศประมาณ 0.09 kg/sec ผลการศึกษาสภาพอากาศภายในและภายนอกห้องปรับอากาศช่วงเวลา 9.00 น. ถึง 21.00 น. พบว่า ค่าอุณหภูมิและความชื้นสัมพัทธ์ของอากาศภายในห้องปรับอากาศอยู่ในช่วง 27.3-33.0 °C และ 63.1-87.5%RH ตามลำดับ ส่วนค่าอุณหภูมิและค่าความชื้นสัมพัทธ์ของอากาศภายในห้องปรับอากาศอยู่ในช่วง 24.7-26.6 °C และ 49.8 -59.0%RH ตามลำดับ แสดงดังรูปที่ 3.8 ซึ่งจากการจำลองพบว่าอากาศภายในห้องปรับอากาศมีค่าความชื้นสัมพัทธ์เฉลี่ย 55.9%RH ส่งผลให้การทำการทำความเย็นของระบบทำความเย็นมีค่าลดลงเมื่อเทียบกับระบบทำความเย็นทั่วไป และเหมาะสมต่อความสบายของผู้อยู่อาศัย



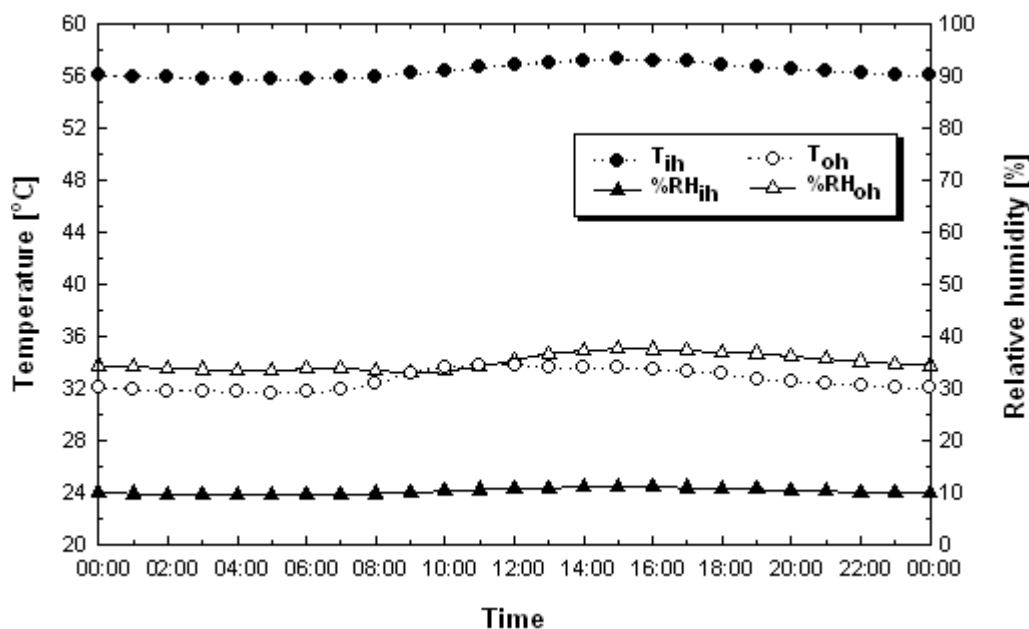
รูปที่ 3.8 แสดงผลการจำลองสภาพอากาศภายในและภายนอกห้องปรับอากาศกรณีระบบทำความเย็นร่วมกับระบบดูดความชื้นชั่วเวลา 0.00 น. ถึง 24.00 น. ของวันที่ 4 เมษายน 2552

จากการจำลองที่อุปกรณ์คงลักษณะความชื้นกรณีระบบทำความเย็นร่วมกับระบบดูดความชื้น พบว่า ค่าอุณหภูมิและค่าความชื้นสัมพัทธ์ของอากาศที่ทางเข้าอุปกรณ์คงลักษณะดูดความชื้นอยู่ในช่วง 27.3-33.0°C และ 62.8-87.0%RH ตามลำดับ ส่วนค่าอุณหภูมิและค่าความชื้นสัมพัทธ์ของอากาศที่ทางออกอุปกรณ์คงลักษณะดูดความชื้นอยู่ในช่วง 56.2-57.2°C และ 10.1-11.1%RH ตามลำดับ แสดงดังรูปที่ 3.9 ซึ่งจากการจำลองพบว่าอากาศที่ผ่านอุปกรณ์คงลักษณะดูดความชื้นจะทำให้อุณหภูมิมีค่าสูงขึ้น เนื่องจากความร้อนที่ถูกปล่อยออกจากกระบวนการลดความชื้นในอากาศ และจากการถ่ายเทความร้อนจากกระบวนการรายความชื้นออกจากสารดูดความชื้น ซึ่งส่วนต่างของอุณหภูมิอากาศที่สูงขึ้นจะขึ้นอยู่กับอุณหภูมิที่ใช้ในกระบวนการรายความชื้นออกจากสารดูดความชื้นเป็นส่วนใหญ่ ผลจากการจำลองในครั้งนี้ที่อุณหภูมิในกระบวนการรายความชื้นออกจากสารดูดความชื้น 109.5°C พบว่าอุณหภูมิอากาศมีค่าสูงขึ้นเป็น 1.9 เท่าของอากาศที่ทางเข้าอุปกรณ์คงลักษณะดูดความชื้น ส่วนความชื้นสัมพัทธ์ของอากาศที่ทางออกอุปกรณ์คงลักษณะดูดความชื้นจะมีค่าลดลง เนื่องจากอุณหภูมิอากาศเพิ่มสูงขึ้น และความชื้นในอากาศลดลง จากผลการจำลองพบว่าอากาศที่ผ่านอุปกรณ์คงลักษณะดูดความชื้นจะทำให้ค่าอัตราส่วนความชื้นในอากาศลดลงเป็น 0.6 เท่าของอากาศที่ทางเข้าอุปกรณ์คงลักษณะดูดความชื้น โดยมีอัตราการลดความชื้นประมาณ 8.6 g_w/kg_{da}



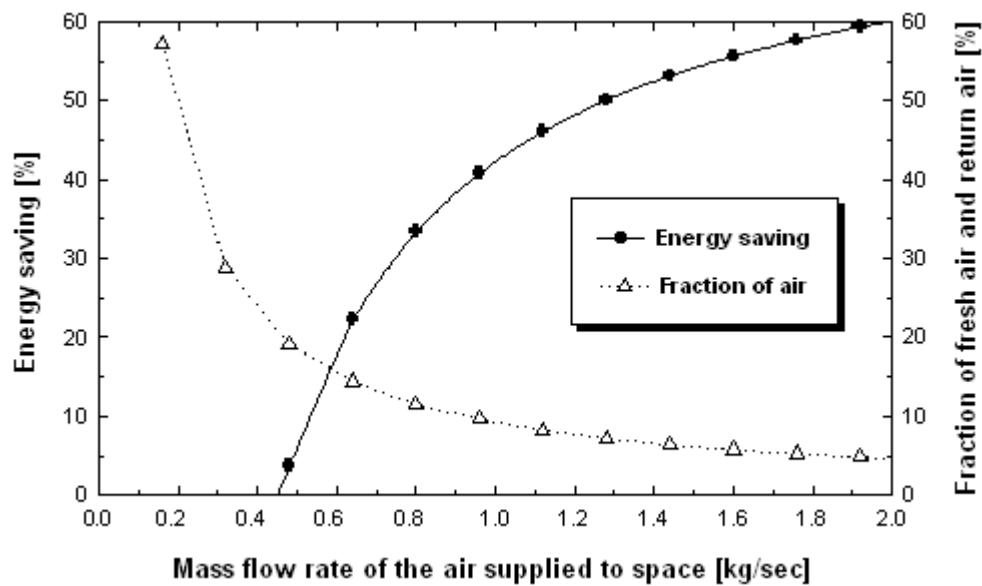
รูปที่ 3.9 แสดงผลการจำลองสภาพอากาศที่อุปกรณ์กงล้อดูดความชื้นกรณีระบบทำความเย็นร่วมกับระบบดูดความชื้น ระหว่างเวลา 00.00 น. ถึง 24.00 น. ของวันที่ 4 เมษายน 2552

จากผลการจำลองที่อุปกรณ์แยกเปลี่ยนความร้อนกรณีระบบทำความเย็นร่วมกับระบบดูดความชื้น พบว่าค่าอุณหภูมิและค่าความชื้นสัมพัทธ์ของอากาศที่ทางเข้าอุปกรณ์แยกเปลี่ยนความร้อนอยู่ในช่วง $56.2\text{--}57.2^{\circ}\text{C}$ และ $10.1\text{--}11.1\%\text{RH}$ ตามลำดับ ส่วนค่าอุณหภูมิและค่าความชื้นสัมพัทธ์ของอากาศที่ทางออกอุปกรณ์แยกเปลี่ยนความร้อนอยู่ในช่วง $32.4\text{--}33.8^{\circ}\text{C}$ และ $33.1\text{--}37.6\%\text{RH}$ ตามลำดับ แสดงดังรูปที่ 3.10 ซึ่งจากผลการจำลองพบว่าอากาศร้อนที่ออกจากอุปกรณ์กงล้อดูดความชื้นเมื่อผ่านอุปกรณ์แยกเปลี่ยนความร้อนจะทำให้อุณหภูมินิ่ำลดลง เนื่องจากมีการแยกเปลี่ยนความร้อนกับอากาศให้กลับจากห้องปรับอากาศซึ่งมีอุณหภูมิต่ำกว่า พนักงานที่ทำงานในห้องนี้จะรู้สึกเย็นลง เมื่อเปรียบเทียบกับอากาศที่ทางออกอุปกรณ์แยกเปลี่ยนความร้อนจะมีค่าลดลงเป็น 33.3°C ส่วนความชื้นสัมพัทธ์ของอากาศที่ทางออกอุปกรณ์แยกเปลี่ยนความร้อนจะมีค่าเพิ่มขึ้นเป็น $36.0\%\text{RH}$ เนื่องจากอุณหภูมิอากาศลดลงภายใต้อัตราส่วนความชื้นคงที่



รูปที่ 3.10 แสดงผลการจำลองสภาวะอากาศที่อุปกรณ์ແຄบเปลี่ยนความร้อนกรณีระบบทำความเย็นร่วมกับระบบดูดความชื้นช่วงเวลา 00.00 น. ถึง 24.00 น. ของวันที่ 4 เมษายน 2552

จากผลการจำลองพบว่า ค่าการใช้พลังงานช่วงเวลา 9.00 น. ถึง 21.00 น. ที่อัตราการไหลดลমจ่าย 0.64 kg/sec และอัตราการระบายอากาศประมาณ 0.09 kg/sec (14.38%) ภาระการทำความเย็นกรณีระบบทำความเย็นทั่วไปมีค่าประมาณ 14,534 kWh ต่อปี ซึ่งกรณีระบบทำความเย็นร่วมกับระบบดูดความชื้นมีค่าประมาณ 11,292 kWh ต่อปี จากผลการเปรียบเทียบค่าการใช้พลังงานระหว่างระบบทำความเย็นทั่วไปกับระบบทำความเย็นร่วมกับระบบดูดความชื้น ที่อัตราการไหลดลมจ่ายและอัตราการระบายอากาศ พ布ว่า ระบบลดความชื้นด้วยสารดูดความชื้นมีความเหมาะสมในการนำไปใช้ร่วมกับระบบทำความเย็นที่มีขนาดมากกว่า 24,000 Btu/hr อัตราการไหลดลมจ่าย 0.46 kg/sec ที่มีการติดตั้งในอาคารขนาดใหญ่ เช่น โรงพยาบาล ห้างสรรพสินค้า หรือสำนักงานขนาดกลางขึ้นไป โดยพบว่า ที่ระบบทำความเย็นขนาด 36,000 Btu/hr ค่าอุณหภูมิและค่าความชื้นสัมพัทธ์ของอากาศภายในห้องปรับอากาศเฉลี่ย 30.7°C และ 72.4%RH ตามลำดับ ส่วนค่าอุณหภูมิและค่าความชื้นสัมพัทธ์ของอากาศภายในห้องปรับอากาศเฉลี่ย 25.8°C และ 55.9%RH ตามลำดับ อัตราการไหลดลมจ่าย 0.64 kg/sec และอัตราการระบายอากาศประมาณ 0.09 kg/sec สามารถประหัดพลังงานได้ร้อยละ 22.31 โดยอัตราการระบายอากาศที่เหมาะสมอยู่ในช่วง 4.42-19.17% แสดงดังรูปที่ 3.11 จากการวิเคราะห์ทางด้านเศรษฐศาสตร์พบว่าระบบคืนทุนเบื้องต้น 4.84 ปี โดยมีค่าอัตราตอบแทนผลการลงทุน 15.59% ดังแสดงในภาคผนวก ง



รูปที่ 3.11 แสดงผลการจำลองค่าประหยัดพลังงานและอัตราส่วนการระบายอากาศที่อัตราการไหลลมจ่ายต่างๆ ช่วงเวลา 9.00 น. ถึง 21.00 น. ของวันที่ 4 เมษายน 2552

3.3 สรุป

บทที่ 3 ได้นำเสนอในส่วนของการออกแบบระบบและอุปกรณ์ทดลองของระบบทำความเย็น โดยสารดูดความชื้น กล้องดูดความชื้นมีขนาดเส้นผ่านศูนย์กลาง 0.5 m ค่าความหนา 0.2 m อัตราส่วนระหว่างช่องว่างอากาศต่อปริมาตรของกล้องดูดความชื้นประมาณ 0.3 และมีสัดส่วนระหว่างพื้นที่ดูดความชื้นในอากาศต่อพื้นที่ cavity ความชื้นออกจากสารดูดความชื้นเป็น 1:1 (0.01 m^2) และมีการจำลองระบบดังกล่าวโดยใช้โปรแกรม EnergyPlus version 1.4 สำหรับขนาดห้อง 50 m^3 อุณหภูมิของอากาศภายในห้องปรับอากาศ $27.3\text{-}33.0^\circ\text{C}$ และ $63.1\text{-}87.5\%\text{RH}$ พบร่วมกับอุณหภูมิและความชื้นสัมพัทธ์ของอากาศภายในห้องปรับอากาศอยู่ในช่วง $24.7\text{-}26.6^\circ\text{C}$ และ $49.8\text{-}59.0\%\text{RH}$ ตามลำดับ ที่ระบบทำความเย็นขนาด $36,000 \text{ Btu/hr}$ อัตราการไหลลมจ่าย 0.64 kg/sec และอัตราการระบายอากาศประมาณ 0.09 kg/sec ซึ่งประหยัดพลังงานได้ร้อยละ 22.31 โดยระบบทำความเย็นร่วมกับระบบดูดความชื้นเหมาะสมกับระบบทำความเย็น ที่มีขนาดมากกว่า $24,000 \text{ Btu/hr}$

บทที่ 4 วิธีการวิจัย

งานวิจัยนี้ได้ทำการศึกษาและเก็บข้อมูลอุณหภูมิและความชื้นของอากาศที่ไอล ผ่านชุดอุปกรณ์กังล้อดูดความชื้นก่อนเข้าสู่ระบบปรับอากาศ เพื่อศึกษาตัวแปรที่ส่งผลต่อการทำงานของชุดกงล้อดูดความชื้นทั้งกระบวนการลดความชื้นในอากาศ และกระบวนการราย ความชื้นออกจากสารดูดความชื้น โดยแบ่งขั้นตอนการดำเนินการวิจัยเป็น 4 ส่วน คือ การศึกษาการลดความชื้นในอากาศของสารดูดความชื้น การศึกษาการรายความชื้นออกจากสารดูดความชื้น การทดสอบชุดกงล้อดูดความชื้น และการทดสอบระบบปรับอากาศร่วมกับระบบดูดความชื้น

4.1 วัสดุและอุปกรณ์ที่ใช้ทดลอง

วัสดุและอุปกรณ์ที่ใช้ทดลองประกอบด้วย เครื่องปรับอากาศแบบแยกส่วน เครื่องควบคุมความชื้น พัดลมเป่าอากาศ มอเตอร์ อินเวอร์เตอร์ ฮีทเตอร์ไฟฟ้า ชุดกงล้อดูดความชื้น เครื่องมือวัดอุณหภูมิและความชื้นของอากาศ โดยเก็บข้อมูลการทดลองด้วยเครื่องบันทึกผลการทดลองแบบต่อเนื่อง

(1) เครื่องปรับอากาศแบบแยกส่วน (Split type) ที่ใช้ในการทดลองมีอัตราการถ่าย ไอนความร้อน 9,000 Btu/hr ของ MITSUBISHI รุ่น SRK2242K2F มี R-22 เป็นสารทำความเย็น ติดตั้งอยู่ในห้องทดลอง (Experiment room) เพื่อควบคุมอุณหภูมิของอากาศ เครื่องปรับอากาศแบบแยกส่วนที่ใช้ในการทดลองแสดงดังรูปที่ 4.1



รูปที่ 4.1 เครื่องปรับอากาศแบบแยกส่วน

(2) เครื่องควบคุมความชื้น (Dehumidifier) ที่ใช้ในการทดลองมีอัตราการลดความชื้น 1.458 liter/hr ที่อุณหภูมิอากาศ 30°C ความชื้นสัมพัทธ์ 80% ของ EdISON รุ่น ED-35B มี R-134a เป็นสารทำความเย็น ติดตั้งอยู่ในห้องทดลอง เพื่อควบคุมความชื้นของอากาศ เครื่องควบคุมความชื้นที่ใช้ในการทดลองแสดงดังรูปที่ 4.2



รูปที่ 4.2 เครื่องควบคุมความชื้น

(3) พัดลมเป่าอากาศ (Blower) ที่ใช้ในการทดลองเป็นชนิดการไหลแบบเหวี่ยง (Centrifugal fan) ใบพัดแบบโค้งหน้า (Forward-curve) ขนาดล้อหมุน 12 นิ้ว มีอัตราการจ่ายอากาศ 1,872 cfm ที่ความดันสัตติ 58 mm.aq. มอเตอร์พัดลมเป่าอากาศมีขนาด 0.745 kW 220 V 50 Hz ความเร็วรอบ 1,410 rpm ปรับอัตราการไหลของอากาศโดยการควบคุมความเร็วรอบของมอเตอร์ด้วยอินเวอร์เตอร์ (Inverter) ของ ABB รุ่น ACS 200 ขนาด 2.2 kW และวาล์วประตูน้ำ (Gate valve) ของ SANWA หาอัตราการไหลของอากาศโดยการนำความเร็วลมของอากาศจากชุดหัววัดแอนนิโนมิเตอร์ (Anemometer probe) ของ TESTO รุ่น TESTO 450 คูณกับพื้นที่หน้าตัดของท่อซึ่งมีขนาดเส้นผ่านศูนย์กลาง 2 นิ้ว พัดลมเป่าอากาศที่ใช้ในการทดลองแสดงดังรูปที่ 4.3



รูปที่ 4.3 พัดลมเป่าอากาศ

(4) อีทเตอร์ไฟฟ้า (Electric heater) ที่ใช้ในการทดลองเป็นแบบให้ความร้อนแก่อากาศชนิดคริบ โดยมีขนาด 1.5 kW จำนวน 3 ชุด โดยใช้ชุดควบคุมอุณหภูมิ (Temperature control) ร่วมกับชุดคอนเทกเตอร์ (Contactor) สำหรับตัดต่อการจ่ายกระแสไฟฟ้าที่จ่ายให้อีทเตอร์ เพื่อควบคุมอุณหภูมิของอากาศ อีทเตอร์ไฟฟ้าที่ใช้ในการทดลองแสดงดังรูปที่ 4.4



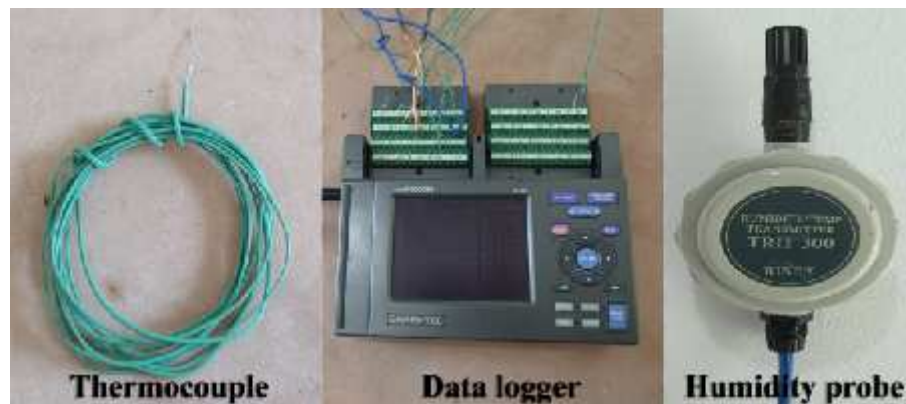
รูปที่ 4.4 อีทเตอร์ไฟฟ้า

(5) ชุดวงล้อดูดความชื้น (Desiccant wheel) ที่ใช้ในการทดลองมีขนาดเส้นผ่าศูนย์กลาง 0.5 m และมีความหนา 0.2 m ภายในบรรจุซิลิกาเจลขนาดเส้นผ่าศูนย์กลาง 2-3 mm จำนวน 15 kg แบ่งพื้นที่การทำงานของวงล้อดูดความชื้นในระบบการลดความชื้นต่อพื้นที่การทำงาน ในการระบบการรายความชื้นเป็นอัตราส่วนเท่าๆ กัน โดยมีอัตราส่วนพื้นที่บรรจุสารดูดความชื้นต่อปริมาตรของวงล้อดูดความชื้น 53% และอัตราส่วนของว่างอากาศต่อปริมาตรของวงล้อดูดความชื้น 31% ระบบขับเคลื่อนประกอบด้วย มอเตอร์ขนาด 1.1175 kW 220 V 50 Hz ความเร็วรอบ 910 rpm ชุดเกียร์ทด (Speed reducer) อัตราทดรอบ 60:1 และส่งกำลังด้วยสายพานอัตราทดรอบ 4:1 การควบคุมความเร็วรอบของมอเตอร์ใช้อินเวอร์เตอร์ของ TOSHIBA รุ่น VFNC1-2022P ขนาด 2.2 kW ชุดวงล้อดูดความชื้นที่ใช้ในการทดลองแสดงดังรูปที่ 4.5



รูปที่ 4.5 ชุดวงล้อดูดความชื้น

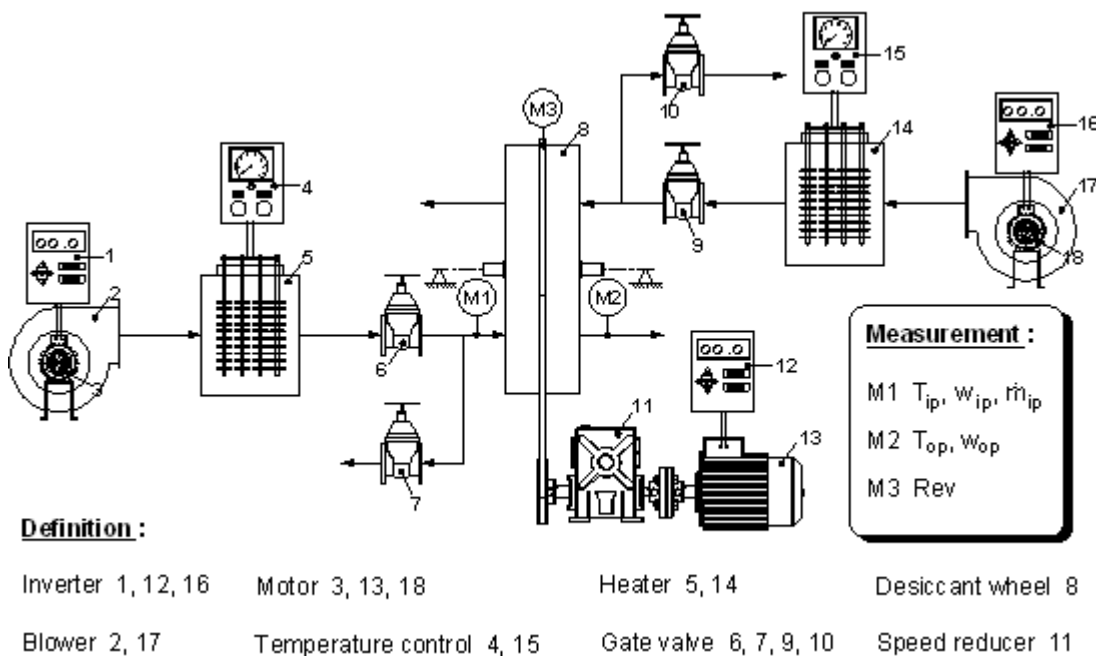
(6) เครื่องมือวัดอุณหภูมิและความชื้นของอากาศ โดยการวัดอุณหภูมิใช้เทอร์โมคัพเปิลชนิด เค (Thermocouple type K) ส่วนความชื้นใช้อุปกรณ์วัดความชื้น (Humidity transmitter) ของ RIXEN รุ่น TRH-300 บันทึกผลการทดลองด้วยเครื่องบันทึกผลการทดลองแบบต่อเนื่อง (Data logger) ของ Graphtec รุ่น GL450-UM-151 ซึ่งอ่านค่าและบันทึกผลได้ 40 จุด ค่าที่ได้จากอุปกรณ์วัดความชื้นเป็นค่าความชื้นสัมพัทธ์ ซึ่งสามารถหาค่าอัตราส่วนความชื้นในอากาศโดยอ่านค่าจากแผนภูมิอากาศชื้น (Psychrometric chart) เครื่องมือวัดอุณหภูมิและความชื้นของอากาศที่ใช้ในการทดลองแสดงดังรูปที่ 4.6



รูปที่ 4.6 เครื่องมือวัดอุณหภูมิและความชื้นของอากาศ

4.2 การศึกษาการลดความชื้นในอากาศของสารดูดความชื้น

การศึกษาการลดความชื้นในอากาศของสารดูดความชื้นเพื่อศึกษาตัวแปรที่ส่งผลต่ออัตราการลดความชื้นของชุดคงล้อดูดความชื้น ได้แก่ อุณหภูมิอากาศที่ทางเข้าชุดคงล้อดูดความชื้น (T_{ip}) อัตราส่วนความชื้นอากาศที่ทางเข้าชุดคงล้อดูดความชื้น (w_{ip}) อัตราการไหลอากาศที่ทางเข้าชุดคงล้อดูดความชื้น (\dot{m}_{ip}) และความเร็วรอบของกงล้อดูดความชื้น (Rev) ที่ส่งผลต่ออุณหภูมิอากาศที่ทางออกชุดคงล้อดูดความชื้น (T_{op}) และอัตราส่วนความชื้นอากาศที่ทางออกชุดคงล้อดูดความชื้น (w_{op}) การติดตั้งอุปกรณ์และเครื่องมือวัดที่ใช้ในการศึกษาการลดความชื้นในอากาศของสารดูดความชื้นแสดงดังรูปที่ 4.7



รูปที่ 4.7 การติดตั้งอุปกรณ์และเครื่องมือวัดการศึกษาการลดความชื้น

4.2.1 ขั้นตอนการทดลอง

- (1) ติดตั้งชุดอุปกรณ์และเครื่องมือตรวจวัดดังรูปที่ 4.7
- (2) เตรียมสารดูดความชื้นที่อัตราส่วนมวลของความชื้นต่อมวลของสารดูดความชื้นเริ่มต้น $0.15 \text{ kg}_w/\text{kg}_{desiccant}$ โดยการคายความชื้นภายในสารดูดความชื้นที่อุณหภูมิอากาศ 75°C อัตราการไหลอากาศ 1.6 kg/min และความเร็วรอบของก๊อกดูดความชื้น 2 rpm เป็นระยะเวลา 3 ชั่วโมง จากนั้นพักสารดูดความชื้นจนมีอุณหภูมิใกล้เคียงกับอุณหภูมิของบรรยากาศ เพื่อให้สารดูดความชื้นสามารถดูดความชื้นของอากาศได้อีกราว 1 นาที

(3) ปรับสภาพการทดลองตามเงื่อนไขต่างๆ ดังนี้

- (3.1) การศึกษาผลของอุณหภูมิอากาศก่อนเข้าชุดทดลองล้อดูดความชื้น แสดงดังตารางที่ 4.1

ตารางที่ 4.1 การศึกษาผลของอุณหภูมิอากาศก่อนเข้าชุดทดลองล้อดูดความชื้น

การทดลองที่	T_{ip} ($^\circ\text{C}$)	w_{ip} ($\text{g}_w/\text{kg}_{da}$)	\dot{m}_{ip} (kg/min)	Rev (rpm)
1	24.5	19	1.0	2.5
2	27.5	19	1.0	2.5
3	32.5	19	1.0	2.5

(3.2) การศึกษาผลของอัตราส่วนความชื้นอากาศก่อนเข้าชุดคงล้อดูดความชื้น แสดงดังตารางที่ 4.2

ตารางที่ 4.2 การศึกษาผลของอัตราส่วนความชื้นอากาศก่อนเข้าชุดคงล้อดูดความชื้น

การทดลองที่	W_{ip} (g_w/kg_{da})	T_{ip} ($^{\circ}C$)	\dot{m}_{ip} (kg/min)	Rev (rpm)
1	10	27.5	1.0	2.5
2	15	27.5	1.0	2.5
3	19	27.5	1.0	2.5

(3.3) การศึกษาผลของอัตราการไหลอากาศก่อนเข้าชุดคงล้อดูดความชื้น แสดงดังตารางที่ 4.3

ตารางที่ 4.3 การศึกษาผลของอัตราการไหลอากาศก่อนเข้าชุดคงล้อดูดความชื้น

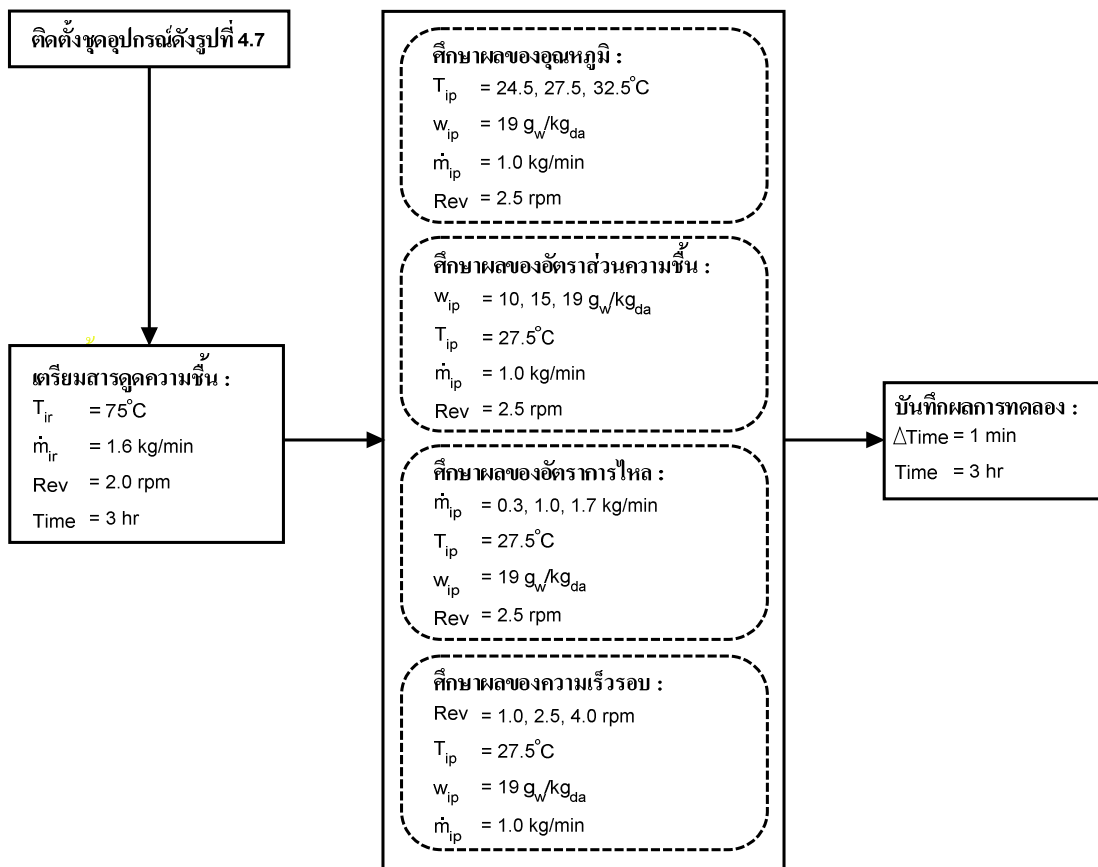
การทดลองที่	\dot{m}_{ip} (kg/min)	T_{ip} ($^{\circ}C$)	W_{ip} (g_w/kg_{da})	Rev (rpm)
1	0.3	27.5	19	2.5
2	1.0	27.5	19	2.5
3	1.7	27.5	19	2.5

(3.4) การศึกษาผลของความเร็วรอบวงล้อดูดความชื้น แสดงดังตารางที่ 4.4

ตารางที่ 4.4 การศึกษาผลของความเร็วรอบวงล้อดูดความชื้น

การทดลองที่	Rev (rpm)	T_{ip} ($^{\circ}C$)	W_{ip} (g_w/kg_{da})	\dot{m}_{ip} (kg/min)
1	1.0	27.5	19	1.0
2	2.5	27.5	19	1.0
3	4.0	27.5	19	1.0

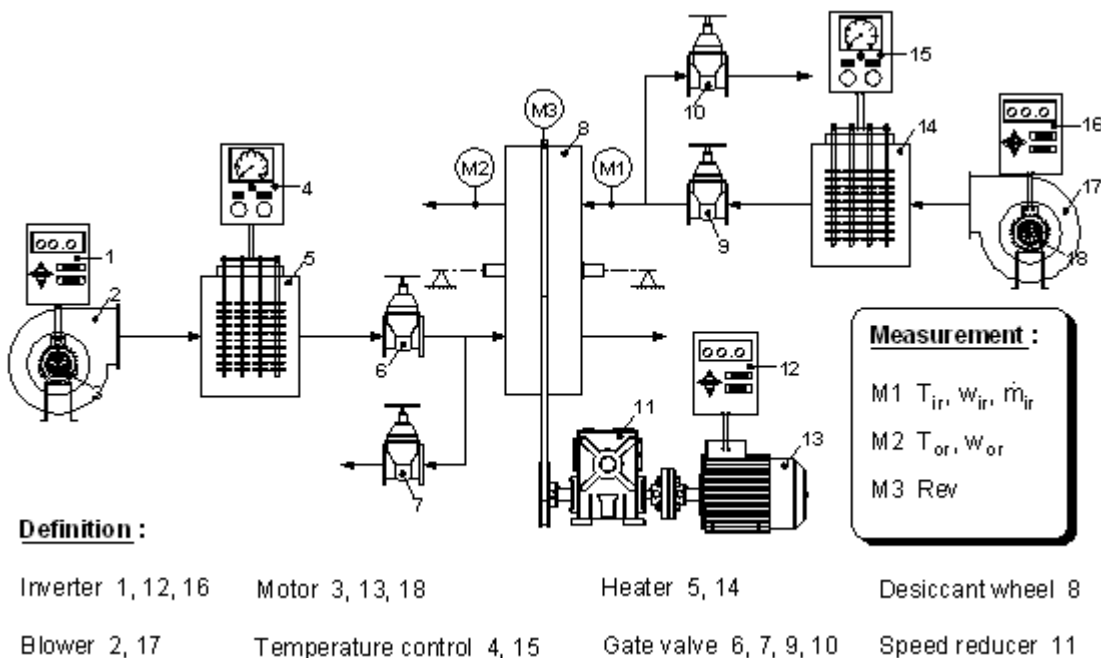
(4) ทำการทดลองโดยบันทึกผลการทดลองทุกๆ 1 นาที เป็นระยะเวลา 3 ชั่วโมง
ขั้นตอนการทดลองการศึกษาการลดความชื้นในอากาศของสารดูดความชื้นแสดงดังรูปที่ 4.8



รูปที่ 4.8 ขั้นตอนการทดลองการศึกษาการลดความชื้นในอากาศของสารดูดความชื้น

4.3 การศึกษาการคายความชื้นออกจากสารดูดความชื้น

การศึกษาการคายความชื้นออกจากสารดูดความชื้นเพื่อศึกษาตัวแปรที่ส่งผลต่อการคายความชื้นของชุดคงล้อดูดความชื้นได้แก่ อุณหภูมิอากาศในการคายความชื้น (T_{ir}) อัตราส่วนความชื้นอากาศที่ทางเข้าชุดคงล้อดูดความชื้น (w_{ir}) อัตราการไหลดอากาศในการคายความชื้น ($m_{dot ir}$) และความเร็วอบของกงล้อดูดความชื้น (Rev) ที่ส่งผลต่ออุณหภูมิอากาศที่ทางออกชุดคงล้อดูดความชื้น (T_{or}) และอัตราส่วนความชื้นอากาศที่ทางออกชุดคงล้อดูดความชื้น (w_{or}) การติดตั้งอุปกรณ์และเครื่องมือวัดที่ใช้ศึกษาการคายความชื้นออกจากสารดูดความชื้นแสดงดังรูปที่ 4.9



รูปที่ 4.9 การติดตั้งอุปกรณ์และเครื่องมือวัดการศึกษาการคายความชื้น

4.3.1 ขั้นตอนการทดลอง

- (1) ติดตั้งชุดอุปกรณ์และเครื่องมือตรวจดังรูปที่ 4.9
- (2) เตรียมสารดูดความชื้นที่ความชื้นเริ่มต้น $0.25 \text{ kg}_w/\text{kg}_{\text{desiccant}}$ โดยการเพิ่มความชื้นภายในสารดูดความชื้นที่อุณหภูมิอากาศ 27.5°C อัตราการไหลอากาศ 1.7 kg/min และความเร็วรอบของวงล้อดูดความชื้น 2 rpm เป็นระยะเวลา 2 ชั่วโมง
- (3) ปรับสภาพการทดลองตามเงื่อนไขต่างๆ ดังนี้
 - (3.1) การศึกษาผลของอุณหภูมิอากาศก่อนเข้าชุดวงล้อดูดความชื้น แสดงดังตารางที่ 4.5

ตารางที่ 4.5 การศึกษาผลของอุณหภูมิอากาศก่อนเข้าชุดวงล้อดูดความชื้น

การทดลองที่	T_{ir} ($^\circ\text{C}$)	w_{ir} ($\text{g}_w/\text{kg}_{\text{da}}$)	\dot{m}_{ir} (kg/min)	Rev (rpm)
1	45	19	1.8	2.5
2	55	19	1.8	2.5
3	65	19	1.8	2.5

(3.2) การศึกษาผลของอัตราส่วนความชื้นอากาศก่อนเข้าชุดคงล้อดูดความชื้น แสดงดังตารางที่ 4.6

ตารางที่ 4.6 การศึกษาผลของอัตราส่วนความชื้นอากาศก่อนเข้าชุดคงล้อดูดความชื้น

การทดลองที่	w_{ir} (g_w/kg_{da})	T_{ir} ($^{\circ}C$)	\dot{m}_{ir} (kg/min)	Rev (rpm)
1	10	55	1.8	2.5
2	15	55	1.8	2.5
3	19	55	1.8	2.5

(3.3) การศึกษาผลของอัตราการไหลอากาศก่อนเข้าชุดคงล้อดูดความชื้น แสดงดังตารางที่ 4.7

ตารางที่ 4.7 การศึกษาผลของอัตราการไหลอากาศก่อนเข้าชุดคงล้อดูดความชื้น

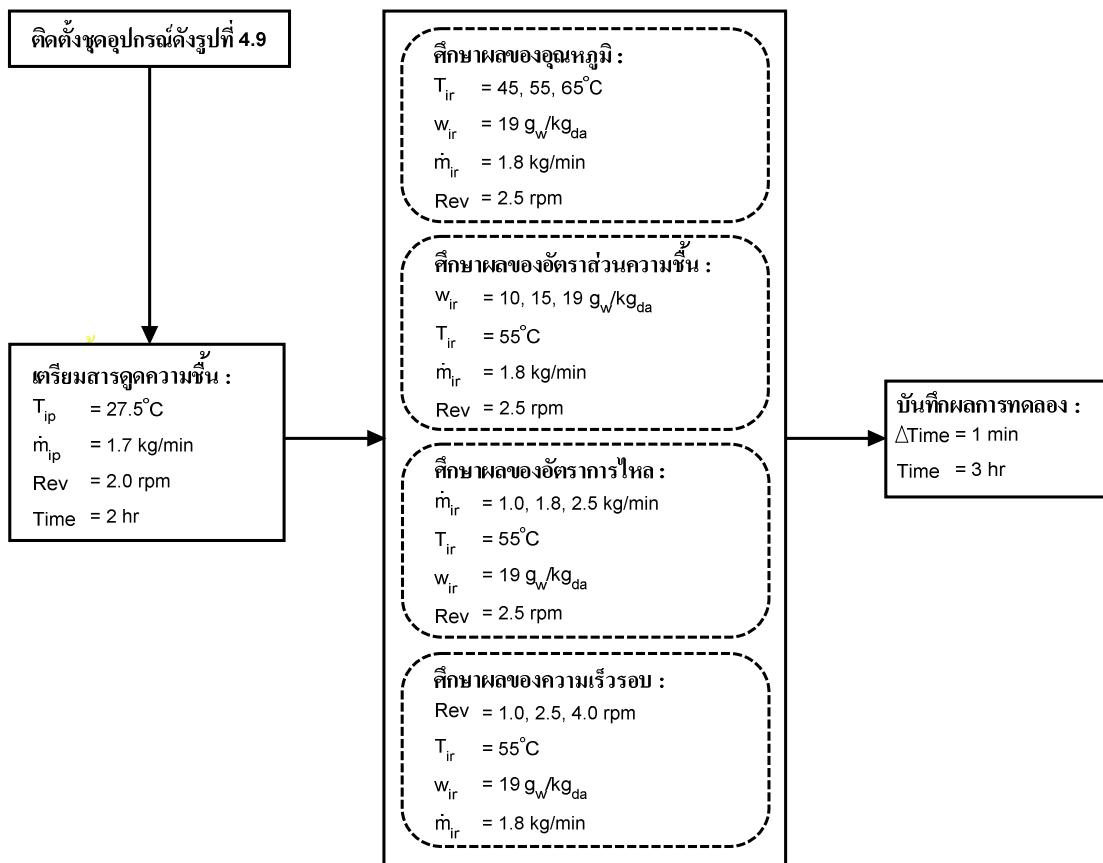
การทดลองที่	\dot{m}_{ir} (kg/min)	T_{ir} ($^{\circ}C$)	w_{ir} (g_w/kg_{da})	Rev (rpm)
1	1.0	55	19	2.5
2	1.8	55	19	2.5
3	2.5	55	19	2.5

(3.4) การศึกษาผลของความเร็วรอบวงล้อดูดความชื้น แสดงดังตารางที่ 4.8

ตารางที่ 4.8 การศึกษาผลของความเร็วรอบวงล้อดูดความชื้น

การทดลองที่	Rev (rpm)	T_{ir} ($^{\circ}C$)	w_{ir} (g_w/kg_{da})	\dot{m}_{ir} (kg/min)
1	1.0	55	19	1.8
2	2.5	55	19	1.8
3	4.0	55	19	1.8

(4) ทำการทดลองโดยบันทึกผลการทดลองทุกๆ 1 นาที เป็นระยะเวลา 3 ชั่วโมง
ขั้นตอนการทดลองการศึกษาการคายความชื้นออกจากสารดูดความชื้นแสดงดังรูปที่ 4.10

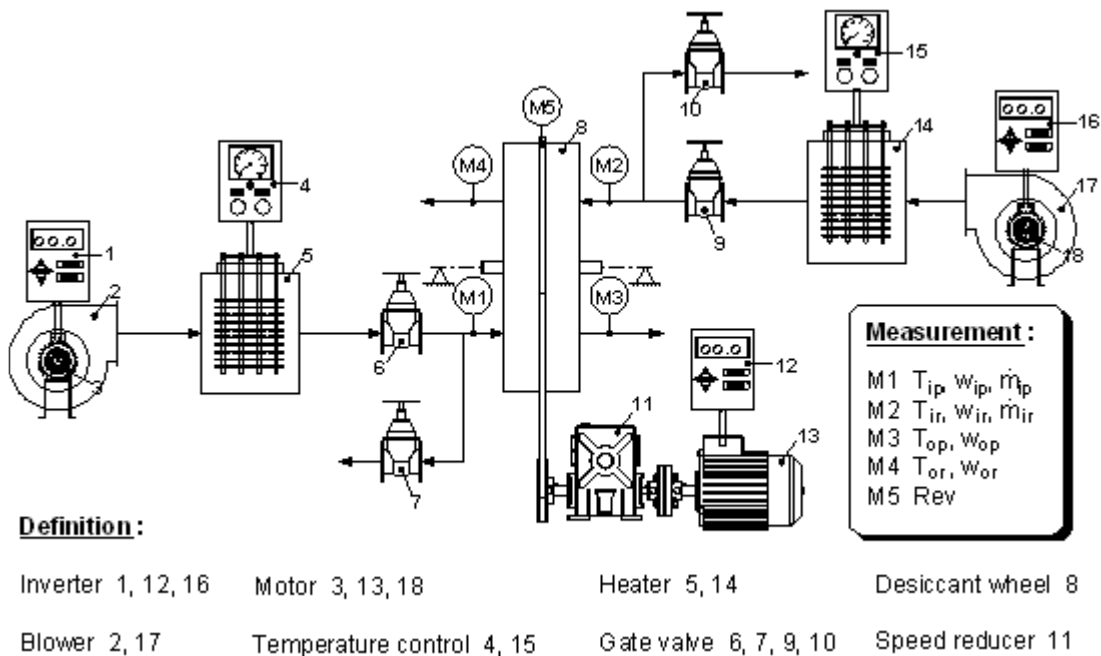


รูปที่ 4.10 ขั้นตอนการทดลองการศึกษาการคายความชื้นออกจากสารดูดความชื้น

4.4 การทดสอบชุดวงล้อดูดความชื้น

การทดสอบชุดวงล้อดูดความชื้นเพื่อศึกษาตัวแปรที่ส่งผลต่อการทำงานของชุดวงล้อดูดความชื้นทั้งกระบวนการลดความชื้นในอากาศ และกระบวนการคายความชื้นออกจากสารดูดความชื้นได้แก่ อุณหภูมิอากาศที่ทางเข้าชุดวงล้อดูดความชื้น (T_{ip}) อัตราส่วนความชื้นอากาศที่ทางเข้าชุดวงล้อดูดความชื้น (w_{ip} , w_{ir}) อัตราการไหอากาศที่ทางเข้าชุดวงล้อดูดความชื้น (\dot{m}_{ip}) อุณหภูมิอากาศในการคายความชื้น (T_{ir}) อัตราการไหอากาศในการคายความชื้น (\dot{m}_{ir}) และความเร็วอบของวงกงล้อดูดความชื้น (Rev) ที่ส่งผลต่ออุณหภูมิอากาศที่ทางออกชุดวงล้อดูดความชื้น (T_{op}) และอัตราส่วนความชื้นอากาศที่ทางออกชุดวงล้อดูดความชื้น (w_{op}) สำหรับกระบวนการลด

ความชื้นในอากาศ และอุณหภูมิอากาศที่ทางออกชุดคงล้อดูดความชื้น (T_{or}) และอัตราส่วนความชื้นอากาศที่ทางออกชุดคงล้อดูดความชื้น (w_{or}) สำหรับกระบวนการรายความชื้นออกจากสารดูดความชื้น การติดตั้งอุปกรณ์และเครื่องมือวัดที่ใช้ทดสอบชุดคงล้อดูดความชื้นแสดงดังรูปที่ 4.11



รูปที่ 4.11 การติดตั้งอุปกรณ์และเครื่องมือวัดการทดสอบชุดคงล้อดูดความชื้น

4.4.1 ขั้นตอนการทดลอง

- (1) ติดตั้งชุดอุปกรณ์และเครื่องมือตรวจวัดดังรูปที่ 4.11
- (2) เตรียมสารดูดความชื้นที่ความชื้นเริ่มต้น $0.15 \text{ kg}_w/\text{kg}_{\text{desiccant}}$ โดยการคายความชื้นภายในสารดูดความชื้นที่อุณหภูมิอากาศ 75°C อัตราการไหลอากาศ $1.6 \text{ kg}/\text{min}$ และความเร็วรอบของวงล้อดูดความชื้น 2 rpm เป็นระยะเวลา 3 ชั่วโมง จากนั้นพักสารดูดความชื้นจนมีอุณหภูมิใกล้เคียงกับอุณหภูมิของบรรยากาศ เพื่อให้สารดูดความชื้นสามารถดูดความชื้นของอากาศได้อีกครั้งโดยใช้ระยะเวลาประมาณ 30 นาที
- (3) ปรับสภาพการทดลองตามเงื่อนไขต่างๆ ดังนี้
 - (3.1) การศึกษาผลของอุณหภูมิอากาศก่อนเข้าชุดคงล้อดูดความชื้น แสดงดังตารางที่ 4.9

ตารางที่ 4.9 การศึกษาผลของอุณหภูมิอากาศก่อนเข้าชุดคงล้อดูดความชื้น

การทดลองที่	T_{ip} (°C)	w_{ip}, w_{ir} (g_w/kg_{da})	T_{ir} (°C)	\dot{m}_{ip} (kg/min)	\dot{m}_{ir} (kg/min)	Rev (rpm)
1	24.5	19	55	1.0	1.8	2.5
2	27.5	19	55	1.0	1.8	2.5
3	32.5	19	55	1.0	1.8	2.5

(3.2) การศึกษาผลของอัตราส่วนความชื้นอากาศก่อนเข้าชุดคงล้อดูดความชื้นแสดงดังตารางที่ 4.10

ตารางที่ 4.10 การศึกษาผลของอัตราส่วนความชื้นอากาศก่อนเข้าชุดคงล้อดูดความชื้น

การทดลองที่	w_{ip}, w_{ir} (g_w/kg_{da})	T_{ip} (°C)	T_{ir} (°C)	\dot{m}_{ip} (kg/min)	\dot{m}_{ir} (kg/min)	Rev (rpm)
1	10	27.5	55	1.0	1.8	2.5
2	15	27.5	55	1.0	1.8	2.5
3	19	27.5	55	1.0	1.8	2.5

(3.3) การศึกษาผลของอุณหภูมิอากาศค่าความชื้นแสดงดังตารางที่ 4.11

ตารางที่ 4.11 การศึกษาผลของอุณหภูมิอากาศในการถ่ายความชื้น

การทดลองที่	T_{ir} (°C)	T_{ip} (°C)	w_{ip}, w_{ir} (g_w/kg_{da})	\dot{m}_{ip} (kg/min)	\dot{m}_{ir} (kg/min)	Rev (rpm)
1	45	27.5	19	1.0	1.8	2.5
2	55	27.5	19	1.0	1.8	2.5
3	65	27.5	19	1.0	1.8	2.5

(3.4) การศึกษาผลของอัตราการไหลอากาศก่อนเข้าชุดคงล้อดูดความชื้นแสดงดังตารางที่ 4.12

ตารางที่ 4.12 การศึกษาผลของอัตราการไหโลอากาศก่อนเข้าชุดวงล้อดูดความชื้น

การทดลองที่	\dot{m}_{ip} (kg/min)	T_{ip} (°C)	w_{ip}, w_{ir} (g _w /kg _{da})	T_{ir} (°C)	\dot{m}_{ir} (kg/min)	Rev (rpm)
1	0.3	27.5	19	55	1.8	2.5
2	1.0	27.5	19	55	1.8	2.5
3	1.7	27.5	19	55	1.8	2.5

(3.5) การศึกษาผลของอัตราการไหโลอากาศในการถ่ายความชื้นแสดงดังตารางที่ 4.13

ตารางที่ 4.13 การศึกษาผลของอัตราการไหโลอากาศในการถ่ายความชื้น

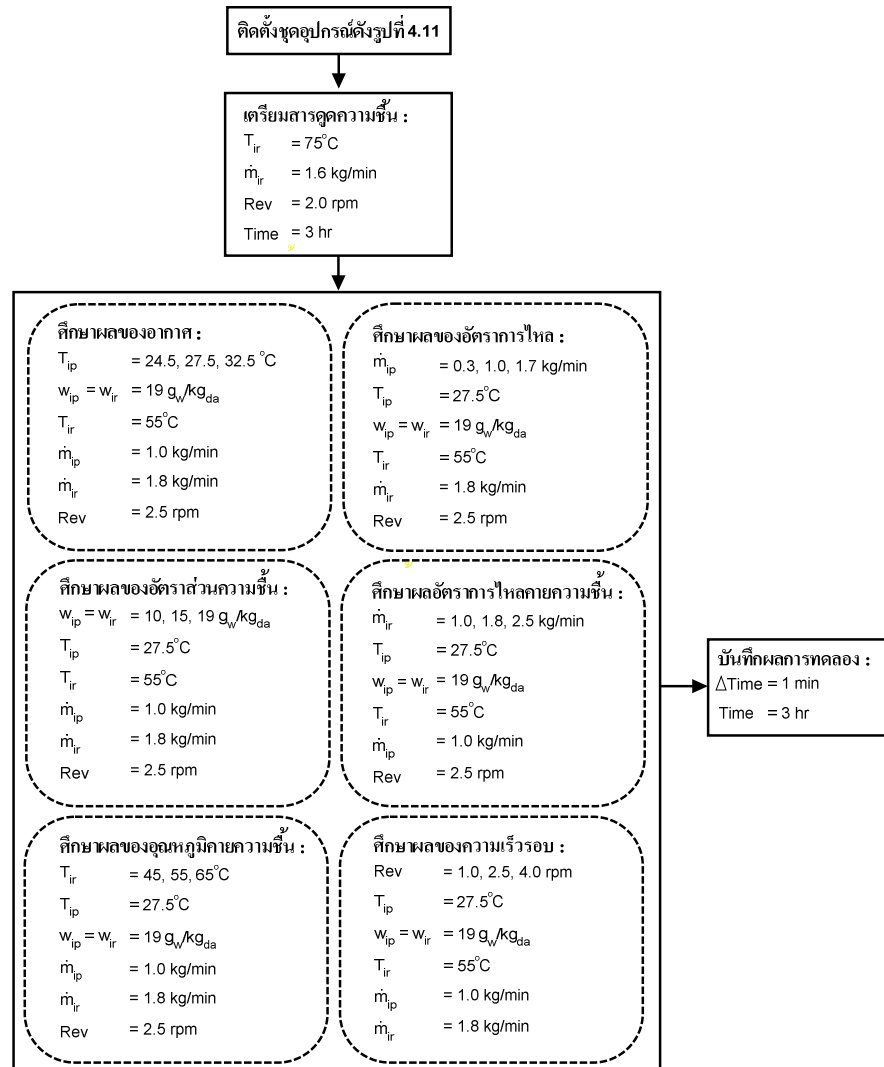
การทดลองที่	\dot{m}_{ir} (kg/min)	T_{ip} (°C)	w_{ip}, w_{ir} (g _w /kg _{da})	T_{ir} (°C)	\dot{m}_{ip} (kg/min)	Rev (rpm)
1	1.0	27.5	19	55	1.0	2.5
2	1.8	27.5	19	55	1.0	2.5
3	2.5	27.5	19	55	1.0	2.5

(3.6) การศึกษาผลของความเร็วอบกงล้อดูดความชื้นแสดงดังตารางที่ 4.14

ตารางที่ 4.14 การศึกษาผลของความเร็วอบกงล้อดูดความชื้น

การทดลองที่	Rev (rpm)	T_{ip} (°C)	w_{ip}, w_{ir} (g _w /kg _{da})	T_{ir} (°C)	\dot{m}_{ip} (kg/min)	\dot{m}_{ir} (kg/min)
1	1.0	27.5	19	55	1.0	1.8
2	2.5	27.5	19	55	1.0	1.8
3	4.0	27.5	19	55	1.0	1.8

(4) ทำการทดลองโดยบันทึกผลการทดลองทุกๆ 1 นาที เป็นระยะเวลา 3 ชั่วโมง ขึ้นต่อการทดลองการทดสอบชุดวงล้อดูดความชื้นแสดงดังรูปที่ 4.12

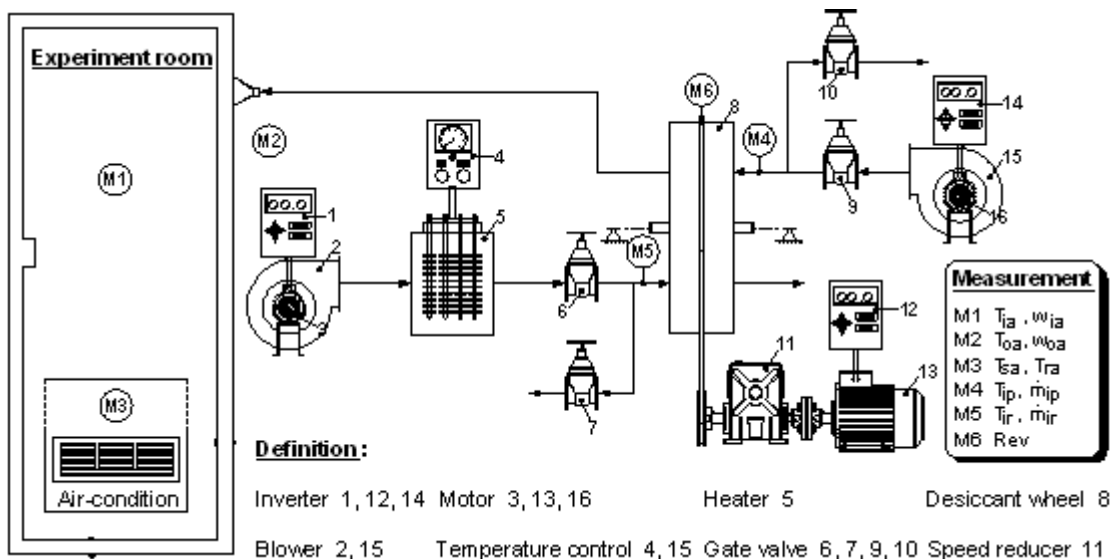


รูปที่ 4.12 ขั้นตอนการทดลองการทดสอบชุดคงล้อดูดความชื้น

4.5 การทดสอบระบบปรับอากาศร่วมกับระบบดูดความชื้น

การทดสอบระบบปรับอากาศร่วมกับระบบดูดความชื้น โดยการนำอากาศจากภายนอกที่มีความชื้นสูงนำมาลดความชื้นที่อุปกรณ์กงดักดูดความชื้นก่อนเข้าห้องปรับอากาศ ในขณะเดียวกัน ได้มีการคายความชื้นออกจากสารดูดความชื้นเพื่อทำให้กงดักดูดความชื้นมีความสามารถดูดความชื้นได้อย่างต่อเนื่องและสม่ำเสมอ โดยมีการเก็บข้อมูลสภาพอากาศภายใน และภายนอกห้องปรับอากาศ ได้แก่ อุณหภูมิของลมจ่าย (T_{sa}) อุณหภูมิลมกลับจากห้อง (T_{ra}) อุณหภูมิอากาศภายในห้องปรับอากาศ (T_{ia}) ความชื้นสัมพัทธ์อากาศภายในห้องปรับอากาศ ($\%RH_{ia}$) อุณหภูมิอากาศภายนอกห้องปรับอากาศ (T_{oa}) และความชื้นสัมพัทธ์อากาศภายนอกห้อง

ปรับอากาศ (%RH_{oa}) การติดตั้งอุปกรณ์และเครื่องมือวัดที่ใช้ทดสอบระบบปรับอากาศร่วมกับระบบดูดความชื้นแสดงดังรูปที่ 4.13



รูปที่ 4.13 การติดตั้งอุปกรณ์และเครื่องมือวัดการทดสอบระบบปรับอากาศ
ร่วมกับระบบดูดความชื้น

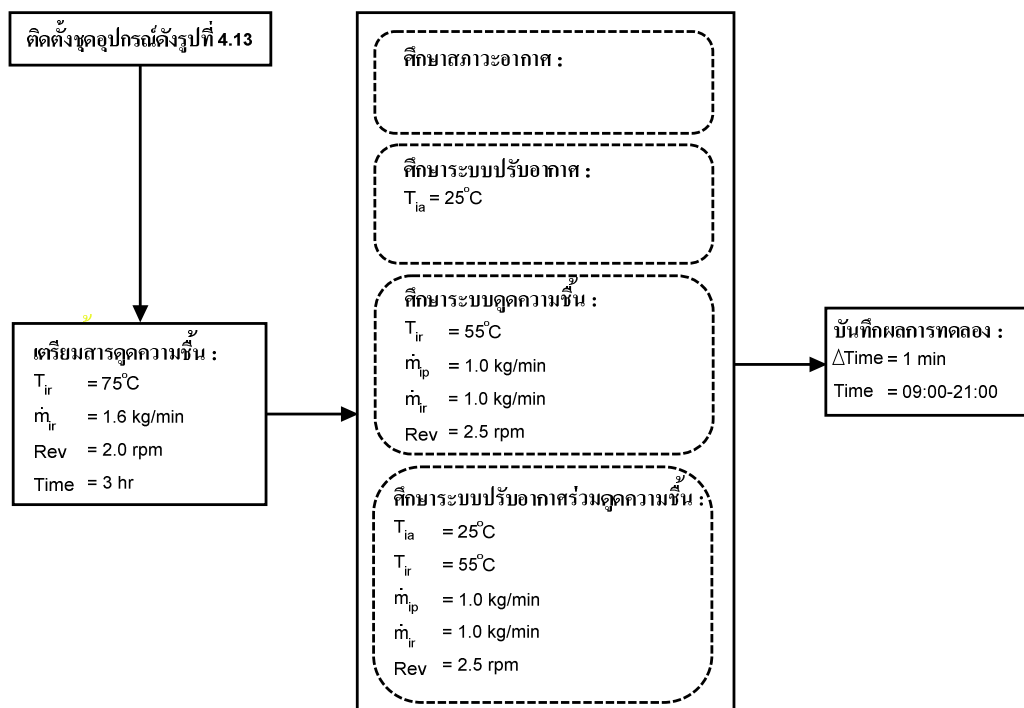
4.5.1 ขั้นตอนการทดลอง

- (1) ติดตั้งชุดอุปกรณ์และเครื่องมือตรวจวัดดังรูปที่ 4.13
- (2) ปรับสภาวะการทดลองตามเงื่อนไขต่างๆ ดังนี้
 - (2.1) การศึกษาสภาวะอากาศภายในและภายนอกห้องทดลอง เพื่อศึกษาการเปลี่ยนแปลงสภาวะอากาศในช่วงเวลา 09.00 ถึง 21.00 น.
 - (2.2) การศึกษาสภาวะอากาศภายในห้องทดลองร่วมกับระบบปรับอากาศ เพื่อศึกษาการเปลี่ยนแปลงสภาวะอากาศในห้องทดลองกรณีใช้ระบบปรับอากาศ โดยการควบคุมอุณหภูมิของอากาศภายในห้องทดลองที่ 25°C
 - (2.3) การศึกษาสภาวะอากาศภายในห้องทดลองร่วมกับระบบดูดความชื้น เพื่อศึกษาการเปลี่ยนแปลงสภาวะอากาศภายในห้องทดลองกรณีใช้ระบบดูดความชื้น โดยการตั้งค่าอุณหภูมิอากาศในการถ่ายความชื้น 55°C อัตราการไหลอากาศ 1.0 kg/min อัตราการไหลอากาศในการถ่ายความชื้น 1.0 kg/min และความเร็วของกล้องดูดความชื้น 2.5 rpm ซึ่งก่อนการทดลองทำการเตรียมสารดูดความชื้นที่ความชื้นเริ่มต้น $0.15 \text{ kg}_w/\text{kg}_{\text{desiccant}}$ โดยการถ่ายความชื้นภายใต้สารดูด

ความชื้นที่อุณหภูมิอากาศ 75°C อัตราการไหลดอากาศ 1.6 kg/min ความเร็วของวงล้อดูดความชื้น 2 rpm เป็นระยะเวลา 1 ชั่วโมง 30 นาที จากนั้นพักสารดูดความชื้นเพื่อให้สารดูดความชื้นสามารถดูดความชื้นของอากาศได้อีกครั้ง โดยใช้ระยะเวลาประมาณ 30 นาที

(2.4) การศึกษาสภาวะอากาศภายในห้องทดลองร่วมกับระบบปรับอากาศ และระบบดูดความชื้น เพื่อศึกษาการเปลี่ยนแปลงสภาวะอากาศภายในห้องทดลองกรณีใช้ระบบปรับอากาศร่วมกับระบบดูดความชื้น โดยควบคุมระบบดูดความชื้นที่ อุณหภูมิอากาศในการคายความชื้น 55°C อัตราการไหลดอากาศ 1.0 kg/min ความเร็วของวงล้อดูดความชื้น 2.5 rpm และอัตราการไหลดอากาศในการคายความชื้น 1.0 kg/min ซึ่งก่อนการทดลองทำการเตรียมสารดูดความชื้นที่ความชื้นเริ่มต้น $0.15 \text{ kg}_w/\text{kg}_{\text{desiccant}}$ โดยการคายความชื้นภายในสารดูดความชื้นที่อุณหภูมิอากาศ 75°C อัตราการไหลดอากาศ 1.6 kg/min และความเร็วของวงล้อดูดความชื้น 2 rpm เป็นระยะเวลา 1 ชั่วโมง 30 นาที จากนั้นพักสารดูดความชื้นจนมีอุณหภูมิใกล้เคียงกับอุณหภูมิของบรรยากาศภายนอก เพื่อทำให้สารดูดความชื้นมีความสามารถในการดูดความชื้นของอากาศได้อีกครั้ง โดยใช้ระยะเวลาประมาณ 30 นาที และควบคุมอุณหภูมิของอากาศภายในห้องทดลองที่ 25°C

(3) ทำการทดลองโดยบันทึกผลการทดลองทุกๆ 1 นาที เป็นระยะเวลา 12 ชั่วโมง โดยเก็บข้อมูลต่างๆ ช่วงเวลา 9.00 น. ถึง 21.00 น. ขั้นตอนการทดลองการทดสอบระบบปรับอากาศร่วมกับระบบดูดความชื้นแสดงดังรูปที่ 4.14



รูปที่ 4.14 ขั้นตอนการทดสอบระบบปรับอากาศร่วมกับระบบดูดความชื้น

4.6 สรุป

บทที่ 4 ได้นำเสนอในส่วนของวิธีการวิจัย โดยแบ่งขั้นตอนการดำเนินการวิจัยเป็น 4 ส่วน คือ การศึกษาการลดความชื้นในอากาศของสารดูดความชื้น การศึกษาการถ่ายความชื้นออกจากสารดูดความชื้น การทดสอบชุดคงลักษณะของสารดูดความชื้น และการทดสอบระบบปรับอากาศร่วมกับระบบดูดความชื้น ซึ่งตัวแปรที่ทำการศึกษาได้แก่ อุณหภูมิอากาศ อัตราส่วนความชื้นอากาศ อัตราการไหลอากาศ อุณหภูมิอากาศในการถ่ายความชื้น อัตราการไหลอากาศในการถ่ายความชื้น และความเร็วของวง流ดูดความชื้น รวมทั้งรายละเอียดต่างๆ ของวัสดุและอุปกรณ์ที่ใช้ทดลอง

บทที่ 5

ผลการทดลองและบทวิจารณ์

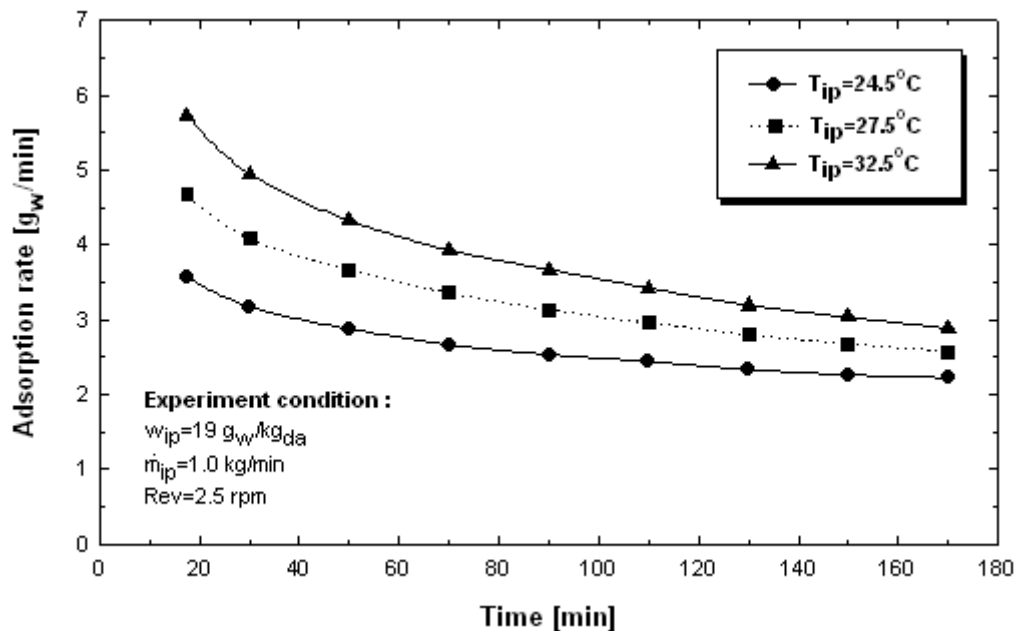
ในบทนี้ได้แบ่งการแสดงผลการทดลองออกเป็น 4 ส่วนค้ายกัน ส่วนที่ 1 ได้แสดงผลที่ได้จากการศึกษาการลดความชื้นในอากาศของสารดูดความชื้น ส่วนที่ 2 ได้แสดงผลที่ได้จากการศึกษาการลดความชื้นออกจากสารดูดความชื้น ส่วนที่ 3 ได้แสดงผลที่ได้จากการทดสอบชุดคงล้อดูดความชื้น และส่วนที่ 4 ได้แสดงผลที่ได้จากการทดสอบระบบปรับอากาศร่วมกับระบบดูดความชื้น

5.1 ผลการศึกษาการลดความชื้นในอากาศของสารดูดความชื้น

5.1.1 ผลการศึกษาผลของอุณหภูมิอากาศก่อนเข้าชุดคงล้อดูดความชื้น

การศึกษาผลของอุณหภูมิอากาศก่อนเข้าชุดคงล้อดูดความชื้น โดยการควบคุมอุณหภูมิอากาศก่อนเข้าสู่ชุดคงล้อดูดความชื้นระหว่าง $24.5-32.5^{\circ}\text{C}$ ที่อัตราส่วนความชื้นอากาศก่อนเข้าสู่ชุดคงล้อดูดความชื้น $19 \text{ g}_w/\text{kg}_{da}$ อัตราการไหหลอก $1.0 \text{ kg}/\text{min}$ และความเร็วของวงล้อดูดความชื้น 2.5 rpm ผลการศึกษาพบว่า อัตราการลดความชื้นในอากาศของสารดูดความชื้นจะมีค่าสูงในช่วงแรกของการทดลอง และจะมีค่าลดลงเมื่อเวลาผ่านไป เนื่องจากในช่วงแรกของการทดลองสารดูดความชื้นมีอัตราส่วนมวลของความชื้นต่อมวลของสารดูดความชื้นต่ำประมาณ $0.15 \text{ kg}_w/\text{kg}_{des}$ ทำให้สารดูดความชื้นสามารถดูดซับความชื้นในอากาศได้ในปริมาณมาก แต่มีเวลาผ่านไปทำให้อัตราส่วนมวลของความชื้นต่อมวลของสารดูดความชื้นมีค่าเพิ่มสูงขึ้นเรื่อยๆ ค่าความแตกต่างของความดันไอน้ำในอากาศและความดันไอน้ำที่ผิวสารดูดความชื้นมีค่าลดลงส่งผลให้อัตราการลดความชื้นในอากาศของสารดูดความชื้นมีค่าลดลง

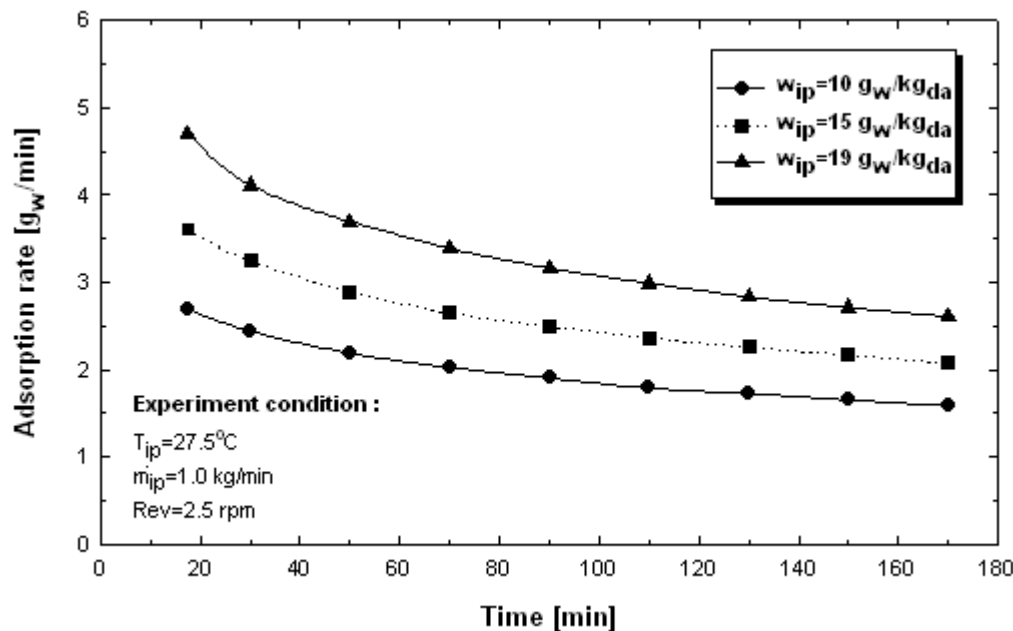
จากผลการทดลองเบริญเทียบอุณหภูมิอากาศก่อนเข้าชุดคงล้อดูดความชื้นพบว่า เมื่ออุณหภูมิอากาศที่เข้าสู่ชุดคงล้อดูดความชื้นมีค่าสูงขึ้นจาก 24.5°C เป็น 27.5°C และ 32.5°C จะทำให้อัตราการลดความชื้นในอากาศมีค่าสูงขึ้นจาก $2.67 \text{ g}_w/\text{min}$ เป็น $3.36 \text{ g}_w/\text{min}$ และ $3.90 \text{ g}_w/\text{min}$ ตามลำดับ เนื่องจากอากาศที่อุณหภูมิสูงกว่าจะมีค่าความชุความชื้น (moisture capacity) สูงกว่า ซึ่งหมายถึง ปริมาณความชื้นสูงสุดที่มีอยู่ได้ในอากาศจะมีค่าเพิ่มมากขึ้นสังเกตจากค่าความชื้นสัมพัทธ์ของอากาศจะมีค่าลดลง ซึ่งส่งผลให้อากาศที่อุณหภูมิสูงกว่าจะมีไอน้ำในอากาศมากกว่า และทำให้ค่าความดันไอน้ำในอากาศสูงขึ้น ค่าความแตกต่างของความดันไอน้ำในอากาศและความดันไอน้ำที่ผิวสารดูดความชื้นมีค่าสูงขึ้น แสดงดังรูปที่ 5.1



รูปที่ 5.1 อัตราการดูดความชื้นของสารดูดความชื้นที่เงื่อนไข $T_{ip}=24.5, 27.5, 32.5^\circ\text{C}$, $w_{ip}=19 \text{ g}_w/\text{kg}_{da}$, $\dot{m}_{ip}=1.0 \text{ kg}/\text{min}$, $\text{Rev}=2.5 \text{ rpm}$

5.1.2 ผลการศึกษาผลของอัตราส่วนความชื้นอากาศก่อนเข้าชุดคงล้อดูดความชื้น

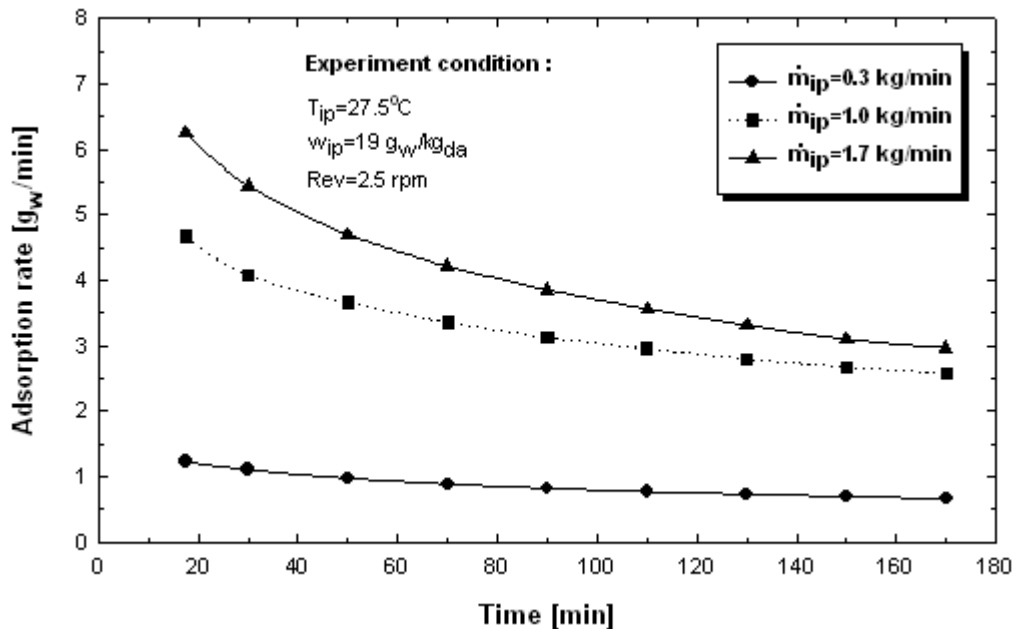
การศึกษาผลของอัตราส่วนความชื้นอากาศก่อนเข้าชุดคงล้อดูดความชื้น โดยการควบคุมอัตราส่วนความชื้นอากาศก่อนเข้าสู่ชุดคงล้อดูดความชื้นระหว่าง $10-19 \text{ g}_w/\text{kg}_{da}$ ที่อุณหภูมิอากาศก่อนเข้าสู่ชุดคงล้อดูดความชื้น 27.5°C อัตราการไหลอากาศ $1.0 \text{ kg}/\text{min}$ และความเร็วของวงล้อดูดความชื้น 2.5 rpm ผลการศึกษาพบว่า อัตราการลดความชื้นในอากาศของสารดูดความชื้นจะมีค่าสูงในช่วงแรกของการทดลอง และจะมีค่าลดลงเมื่อเวลาผ่านไป จากผลการทดลองเปรียบเทียบอัตราส่วนความชื้นอากาศก่อนเข้าชุดคงล้อดูดความชื้นพบว่า เมื่ออัตราส่วนความชื้นอากาศก่อนเข้าชุดคงล้อดูดความชื้นมีค่าสูงขึ้นจาก $10 \text{ g}_w/\text{kg}_{da}$ เป็น $15 \text{ g}_w/\text{kg}_{da}$ และ $19 \text{ g}_w/\text{kg}_{da}$ จะทำให้อัตราการลดความชื้นในอากาศมีค่าสูงขึ้นจาก $2.00 \text{ g}_w/\text{min}$ เป็น $2.66 \text{ g}_w/\text{min}$ และ $3.36 \text{ g}_w/\text{min}$ ตามลำดับ เนื่องจากอากาศที่อัตราส่วนความชื้นสูงกว่าจะมีไอน้ำในอากาศมากกว่า และทำให้ค่าความดันไอน้ำในอากาศสูงขึ้น ค่าความแตกต่างของความดันไอน้ำในอากาศและความดันไอน้ำที่ผิวสารดูดความชื้นมีค่าสูงขึ้น แสดงดังรูปที่ 5.2



รูปที่ 5.2 อัตราการดูดความชื้นของสารดูดความชื้นที่เงื่อนไข $w_{ip}=10, 15, 19 \text{ g}_w/\text{kg}_{da}$ $T_{ip}=27.5^\circ\text{C}$,
 $m_{ip}=1.0 \text{ kg}/\text{min}$, $Rev=2.5 \text{ rpm}$

5.1.3 ผลการศึกษาผลของอัตราการไหลดอากาศก่อนเข้าชุดคงล้อดูดความชื้น

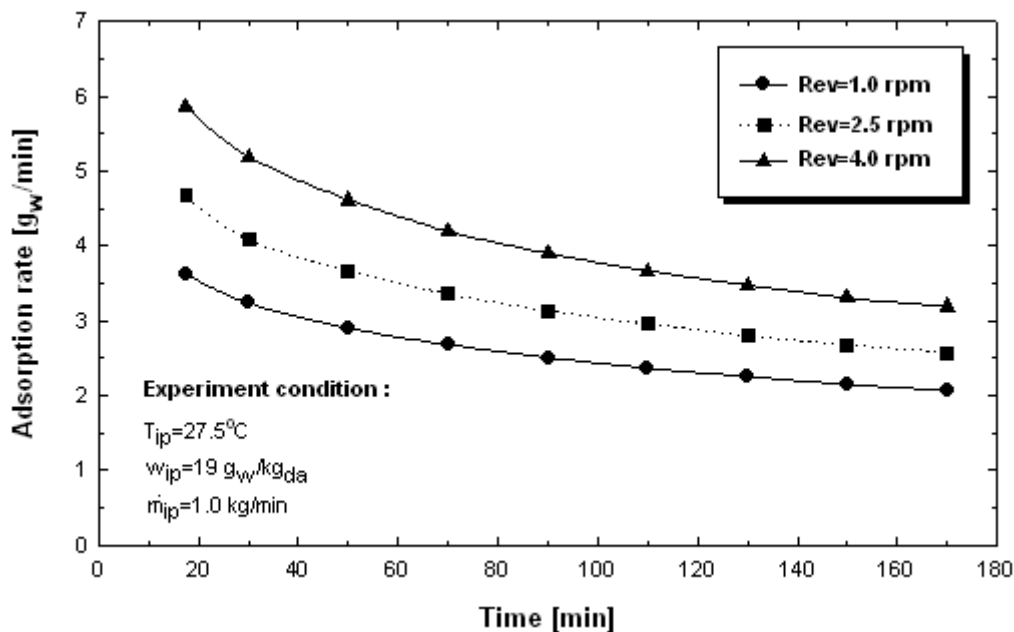
การศึกษาผลของอัตราการไหลดอากาศก่อนเข้าชุดคงล้อดูดความชื้น โดยการควบคุมอัตราการไหลดอากาศก่อนเข้าสู่ชุดคงล้อดูดความชื้นระหว่าง 0.3-1.7 kg/min ที่อุณหภูมิอากาศก่อนเข้าสู่ชุดคงล้อดูดความชื้น 27.5°C อัตราส่วนความชื้นอากาศก่อนเข้าสู่ชุดคงล้อดูดความชื้น 19 $\text{g}_w/\text{kg}_{da}$ และความเร็วของวงล้อดูดความชื้น 2.5 rpm ผลการศึกษาพบว่า อัตราการลดความชื้นในอากาศของสารดูดความชื้นจะมีค่าสูงในช่วงแรกของการทดลอง และจะมีค่าลดลงเมื่อเวลาผ่านไป จากผลการทดลองเปรียบเทียบอัตราการไหลดอากาศก่อนเข้าชุดคงล้อดูดความชื้นพบว่า เมื่ออัตราการไหลดอากาศก่อนเข้าชุดคงล้อดูดความชื้นมีค่าสูงขึ้นจาก 0.3 kg/min เป็น 1.0 kg/min และ 1.7 kg/min จะทำให้อัตราการลดความชื้นในอากาศมีค่าสูงขึ้นจาก 0.87 g_w/min เป็น 3.36 g_w/min และ 4.15 g_w/min ตามลำดับ เนื่องจากเนื้องจากอากาศที่อัตราการไหลดอากาศสูงกว่าจะมีความเร็วเพิ่มสูงขึ้นที่พื้นที่หน้าตัดเดียว กัน ส่งผลให้ค่าสัมประสิทธิ์การถ่ายเทมวลและสัมประสิทธิ์การถ่ายเทความร้อนสูงขึ้น รวมทั้งอากาศที่อัตราการไหลดอากาศสูงกว่าจะมีไอน้ำในอากาศมากกว่า และทำให้ค่าความดันไอน้ำในอากาศสูงขึ้น ค่าความแตกต่างของความดันไอน้ำในอากาศและความดันไอน้ำที่ผิวน้ำดูดความชื้นมีค่าสูงขึ้น แสดงดังรูปที่ 5.3



รูปที่ 5.3 อัตราการดูดความชื้นของสารดูดความชื้นที่เงื่อนไข $m_{ip}=0.3, 1.0, 1.7 \text{ kg}/\text{min}$, $T_{ip}=27.5^{\circ}\text{C}$, $w_{ip}=19 \text{ g}_w/\text{kg}_{da}$, $\text{Rev}=2.5 \text{ rpm}$

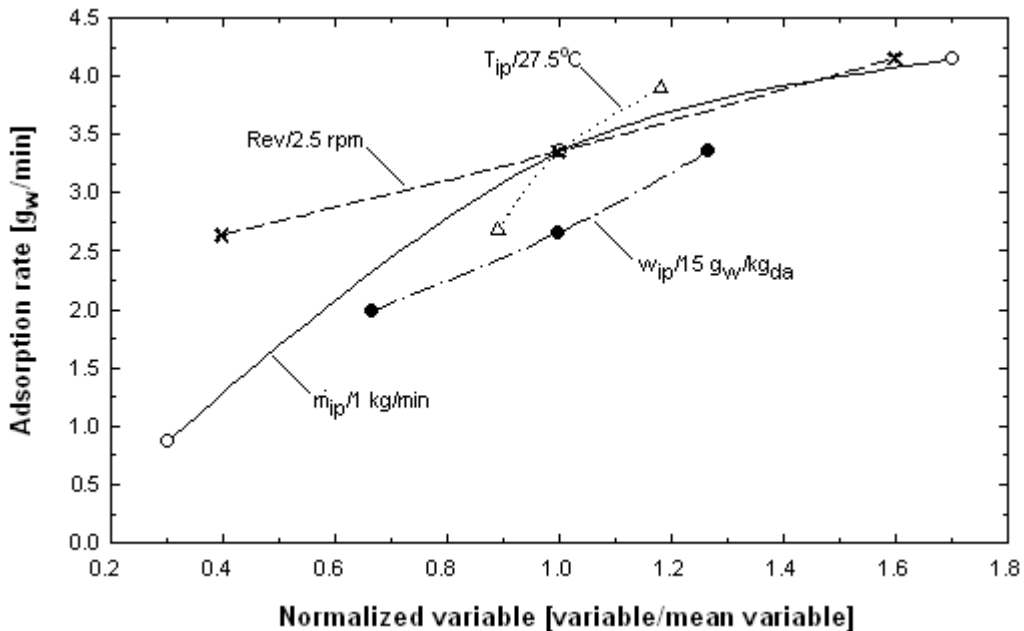
5.1.4 ผลการศึกษาผลของความเร็วรอบวงล้อดูดความชื้น

การศึกษาผลของความเร็วรอบวงล้อดูดความชื้น โดยการควบคุมความเร็วของวงล้อดูดความชื้นระหว่าง 1-4 rpm ที่อุณหภูมิอากาศก่อนเข้าสู่ชุดวงล้อดูดความชื้น 27.5°C อัตราส่วนความชื้นอากาศก่อนเข้าสู่ชุดวงล้อดูดความชื้น $19 \text{ g}_w/\text{kg}_{da}$ และอัตราการไห้อากาศ $1.0 \text{ kg}/\text{min}$ ผลการศึกษาพบว่า อัตราการลดความชื้นในอากาศของสารดูดความชื้นจะมีค่าสูงในช่วงแรกของการทดลอง และจะมีค่าลดลงเมื่อเวลาผ่านไป จากผลการทดลองเปรียบเทียบความเร็วรอบวงล้อดูดความชื้นพบว่า เมื่อความเร็วรอบวงล้อดูดความชื้นมีค่าสูงขึ้นจาก 1.0 rpm เป็น 2.5 rpm และ 4.0 rpm จะทำให้อัตราการลดความชื้นในอากาศมีค่าสูงขึ้นจาก $2.64 \text{ g}_w/\text{min}$ เป็น $3.36 \text{ g}_w/\text{min}$ และ $4.16 \text{ g}_w/\text{min}$ ตามลำดับ เนื่องจากที่ความเร็วรอบวงล้อดูดความชื้นสูงขึ้นทำให้ระยะเวลาในการสัมผัสระหว่างสารดูดความชื้นที่มีอัตราส่วนมวลของความชื้นต่อมวลของสารดูดความชื้นต่ำกับอากาศเพิ่มขึ้น ส่งผลให้ค่าความแตกต่างของความดันไอน้ำในอากาศและความดันไอน้ำที่ผิวสารดูดความชื้นมีค่าสูงขึ้น แสดงดังรูปที่ 5.4



รูปที่ 5.4 อัตราการดูดความชื้นของสารดูดความชื้นที่เงื่อนไข $\text{Rev}=1.0, 2.5, 4.0 \text{ rpm}$ $T_{ip}=27.5^{\circ}\text{C}$, $w_{ip}=19 \text{ g}_w/\text{kg}_{da}$, $\dot{m}_{ip}=1.0 \text{ kg}/\text{min}$

จากผลการศึกษาการลดความชื้นในอากาศของสารดูดความชื้นที่ตัวแปรต่างๆ ได้แก่ อุณหภูมิอากาศ อัตราส่วนความชื้นอากาศ อัตราการไห้อากาศ และความเร็วของกงล้อดูดความชื้น พบว่า อัตราการลดความชื้นในอากาศของสารดูดความชื้นมีค่าต่ำสุด $0.87 \text{ g}_w/\text{min}$ ที่ อุณหภูมิอากาศ 27.5°C อัตราส่วนความชื้นอากาศ $19 \text{ g}_w/\text{kg}_{da}$ อัตราการไห้อากาศ $0.3 \text{ kg}/\text{min}$ ความเร็วของกงล้อดูดความชื้น 2.5 rpm และอัตราการลดความชื้นในอากาศของสารดูดความชื้นมีค่าสูงสุด $4.16 \text{ g}_w/\text{min}$ ที่ อุณหภูมิอากาศ 27.5°C อัตราส่วนความชื้นอากาศ $19 \text{ g}_w/\text{kg}_{da}$ อัตราการไห้อากาศ $1.0 \text{ kg}/\text{min}$ ความเร็วของกงล้อดูดความชื้น 4.0 rpm ผลของตัวแปรต่างๆ ต่ออัตราการลดความชื้นในอากาศของสารดูดความชื้น ที่ อุณหภูมิอากาศ 27.5°C อัตราส่วนความชื้นอากาศ $19 \text{ g}_w/\text{kg}_{da}$ อัตราการไห้อากาศ $1.0 \text{ kg}/\text{min}$ ความเร็วของกงล้อดูดความชื้น 2.5 rpm แสดงดังรูปที่ 5.5



รูปที่ 5.5 แสดงผลของตัวแปรต่างๆ ต่ออัตราการลดความชื้นในอากาศของสารดูดความชื้น

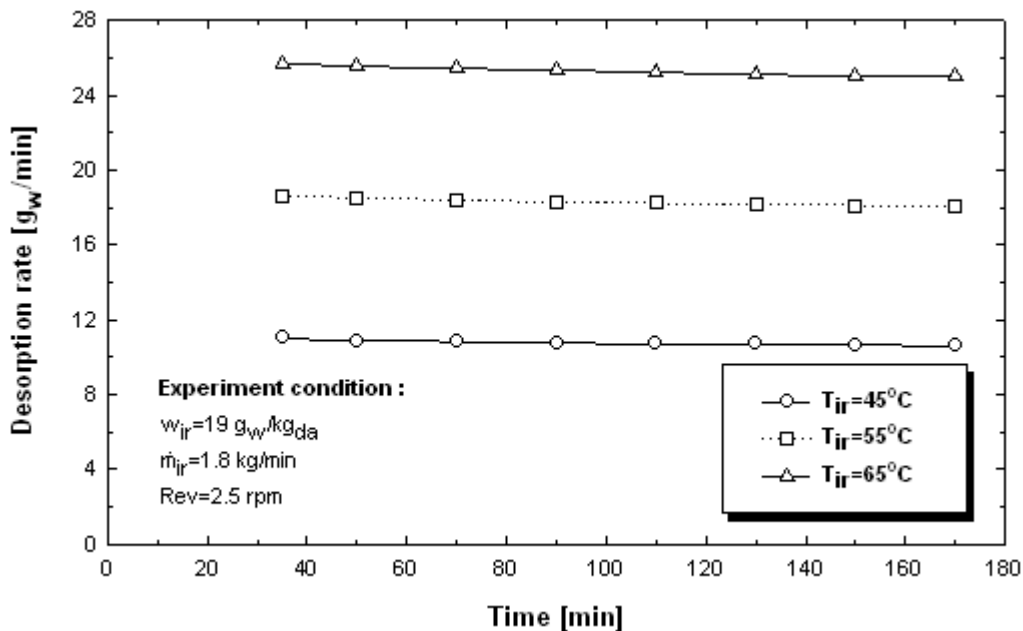
5.2 ผลการศึกษาการคายความชื้นออกจากสารดูดความชื้น

5.2.1 ผลการศึกษาผลของอุณหภูมิอากาศก่อนเข้าชุดคงล้อดูดความชื้น

การศึกษาผลของอุณหภูมิอากาศก่อนเข้าชุดคงล้อดูดความชื้น โดยการควบคุม อุณหภูมิอากาศก่อนเข้าสู่ชุดคงล้อดูดความชื้นระหว่าง 45-65°C ที่อัตราส่วนความชื้นอากาศก่อนเข้า สู่ชุดคงล้อดูดความชื้น 19 $\text{g}_w/\text{kg}_{da}$ อัตราการไหอากาศ 1.8 kg/min และความเร็วของกงล้อดูด ความชื้น 2.5 rpm ผลการศึกษาพบว่า อัตราการคายความชื้นออกจากสารดูดความชื้นจะมีค่าลดลง อย่างช้าๆ เมื่อเวลาผ่านไป เนื่องจากในช่วงแรกของการทดลองสารดูดความชื้นมีอัตราส่วนมวลของ ความชื้นต่อมวลของสารดูดความชื้นสูงประมาณ 0.25 $\text{kg}_w/\text{kg}_{des}$ ทำให้สารดูดความชื้นสามารถคาย ความชื้นได้ในปริมาณมาก แต่เมื่อเวลาผ่านไปทำให้อัตราส่วนมวลของความชื้นต่อมวลของสารดูด ความชื้นมีค่าลดลงเรื่อยๆ ค่าความแตกต่างของความดันไอน้ำในอากาศและความดันไอน้ำที่ผิวสาร ดูดความชื้น มีค่าลดลง ส่งผลให้อัตราการคายความชื้นออกจากสารดูดความชื้น มีค่าลดลง

จากการทดลองเบริญเทียบอุณหภูมิอากาศก่อนเข้าชุดคงล้อดูดความชื้นพบว่า เมื่ออุณหภูมิอากาศที่เข้าสู่ชุดคงล้อดูดความชื้นมีค่าสูงขึ้นจาก 45°C เป็น 55°C และ 65°C จะทำให้ อัตราการคายความชื้นออกจากสารดูดความชื้นมีค่าสูงขึ้นจาก 18.43 g_w/min เป็น 25.32 g_w/min และ 28.88 g_w/min ตามลำดับ เนื่องจากอากาศที่อุณหภูมิสูงกว่าจะถ่ายเทความร้อนให้กับสารดูดความชื้น

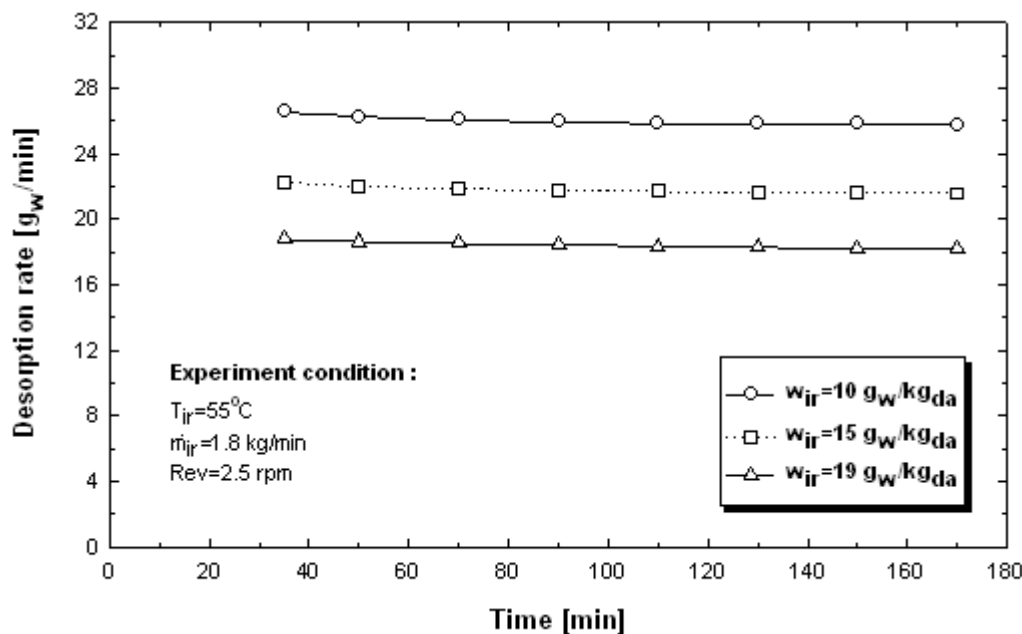
ได้มาก ทำให้สารดูดความชื้นมีอุณหภูมิสูงขึ้น ส่งผลให้ความดันไอน้ำที่ผิวสารดูดความชื้นมีค่าเพิ่มขึ้น ค่าความแตกต่างของความดันไอน้ำในอากาศและความดันไอน้ำที่ผิวสารดูดความชื้นมีค่าสูงขึ้น แสดงดังรูปที่ 5.6



รูปที่ 5.6 อัตราการคายความชื้นของสารดูดความชื้นที่เงื่อนไข $T_{ir}=45, 55, 65^\circ\text{C}$, $w_{ir}=19 \text{ g}_w/\text{kg}_{da}$,
 $\dot{m}_{ir}=1.8 \text{ kg}/\text{min}$, $Rev=2.5 \text{ rpm}$

5.2.2 ผลการศึกษาผลของอัตราส่วนความชื้นอากาศก่อนเข้าชุดคงล้อดูดความชื้น
 การศึกษาผลของอัตราส่วนความชื้นอากาศก่อนเข้าชุดคงล้อดูดความชื้น โดยการควบคุมอัตราส่วนความชื้นอากาศก่อนเข้าสู่ชุดคงล้อดูดความชื้นระหว่าง 10-19 $\text{g}_w/\text{kg}_{da}$ ที่อุณหภูมิอากาศก่อนเข้าสู่ชุดคงล้อดูดความชื้น 55°C อัตราการไหลอากาศ $1.8 \text{ kg}/\text{min}$ และความเร็วของกล้อดูดความชื้น 2.5 rpm ผลการศึกษาพบว่า อัตราการคายความชื้นออกจากสารดูดความชื้นจะมีค่าสูงในช่วงแรกของการทดลอง และจะมีค่าลดลงเมื่อเวลาผ่านไป จากผลการทดลองเปรียบเทียบอัตราส่วนความชื้นอากาศก่อนเข้าชุดคงล้อดูดความชื้นพบว่า เมื่ออัตราส่วนความชื้นอากาศก่อนเข้าชุดคงล้อดูดความชื้นมีค่าสูงขึ้นจาก $10 \text{ g}_w/\text{kg}_{da}$ เป็น $15 \text{ g}_w/\text{kg}_{da}$ และ $19 \text{ g}_w/\text{kg}_{da}$ จะทำให้อัตราการคายความชื้นออกจากสารดูดความชื้นมีค่าลดลงจาก $26.01 \text{ g}_w/\text{min}$ เป็น $21.94 \text{ g}_w/\text{min}$ และ $18.43 \text{ g}_w/\text{min}$ ตามลำดับ เนื่องจากอากาศที่อัตราส่วนความชื้นสูงกว่าจะมีไอน้ำในอากาศมากกว่า และทำ

ให้ค่าความดันไอน้ำในอากาศสูงขึ้น ค่าความแตกต่างของความดันไอน้ำในอากาศและความดันไอน้ำที่ผิวสารดูดความชื้นมีค่าลดลง แสดงดังรูปที่ 5.7

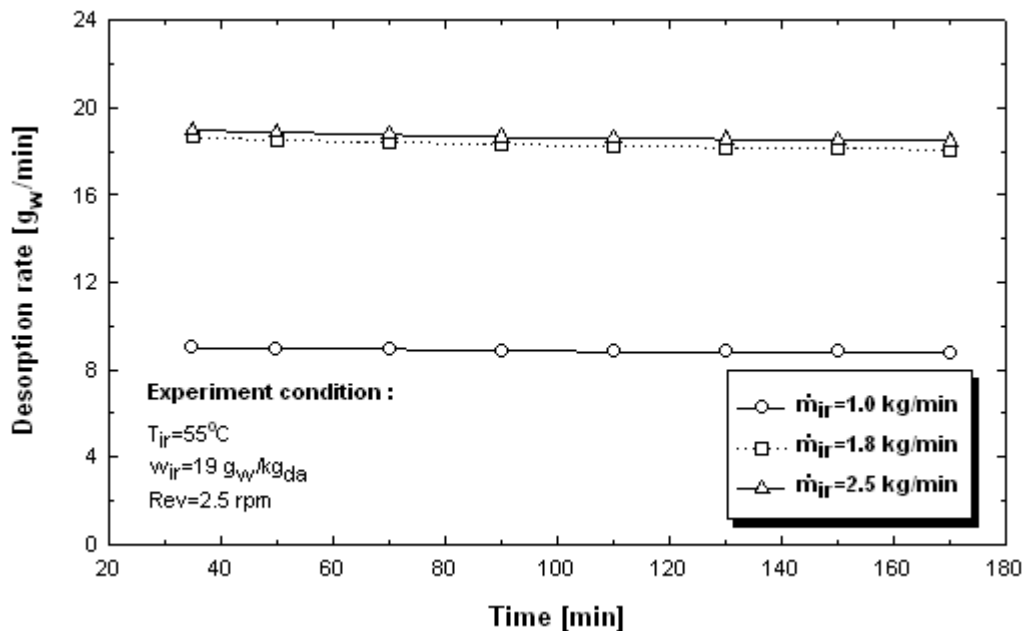


รูปที่ 5.7 อัตราการคายความชื้นของสารดูดความชื้นที่เงื่อนไข $w_{ir}=10, 15, 19 \text{ g}_w/\text{kg}_{da}, T_{ir}=55^{\circ}\text{C}, \dot{m}_{ir}=1.8 \text{ kg}/\text{min}, \text{Rev}=2.5 \text{ rpm}$

5.2.3 ผลการศึกษาผลของอัตราการไห้อากาศก่อนเข้าชุดคงล้อดูดความชื้น

การศึกษาผลของอัตราการไห้อากาศก่อนเข้าชุดคงล้อดูดความชื้น โดยการควบคุมอัตราการไห้อากาศก่อนเข้าชุดคงล้อดูดความชื้นระหว่าง 1.0-2.5 kg/min ที่อุณหภูมิอากาศก่อนเข้าชุดคงล้อดูดความชื้น 27.5°C อัตราส่วนความชื้นอากาศก่อนเข้าชุดคงล้อดูดความชื้น $19 \text{ g}_w/\text{kg}_{da}$ และความเร็วของวงล้อดูดความชื้น 2.5 rpm ผลการศึกษาพบว่า อัตราการคายความชื้นออกจากสารดูดความชื้นจะมีค่าสูงในช่วงแรกของการทดลอง และจะมีค่าลดลงเมื่อเวลาผ่านไป จากผลการทดลองเปรียบเทียบอัตราการไห้อากาศก่อนเข้าชุดคงล้อดูดความชื้นพบว่า เมื่ออัตราการไห้อากาศก่อนเข้าชุดคงล้อดูดความชื้นมีค่าสูงขึ้นจาก 1.0 kg/min เป็น 1.8 kg/min และ 2.5 kg/min จะทำให้อัตราการคายความชื้นออกจากสารดูดความชื้นมีค่าสูงขึ้นจาก $8.87 \text{ g}_w/\text{min}$ เป็น $18.43 \text{ g}_w/\text{min}$ และ $18.69 \text{ g}_w/\text{min}$ ตามลำดับ เนื่องจากอากาศที่อัตราการไห้อากาศสูงกว่าจะมีความเร็วเพิ่มสูงขึ้นที่พื้นที่หน้าตัดเดียว กัน ส่งผลให้ค่าสัมประสิทธิ์การถ่ายเทมวลและสัมประสิทธิ์การถ่ายเทความร้อนสูงขึ้น ทำให้อากาศสามารถถ่ายเทความร้อนให้กับสารดูดความชื้นได้มาก

ส่งผลให้สารดูดความชื้นมีอุณหภูมิสูงขึ้นและความดันไอน้ำที่ผิวสารดูดความชื้นมีค่าเพิ่มขึ้น ค่าความแตกต่างของความดันไอน้ำในอากาศและความดันไอน้ำที่ผิวสารดูดความชื้นมีค่าสูงขึ้น แสดงดังรูปที่ 5.8

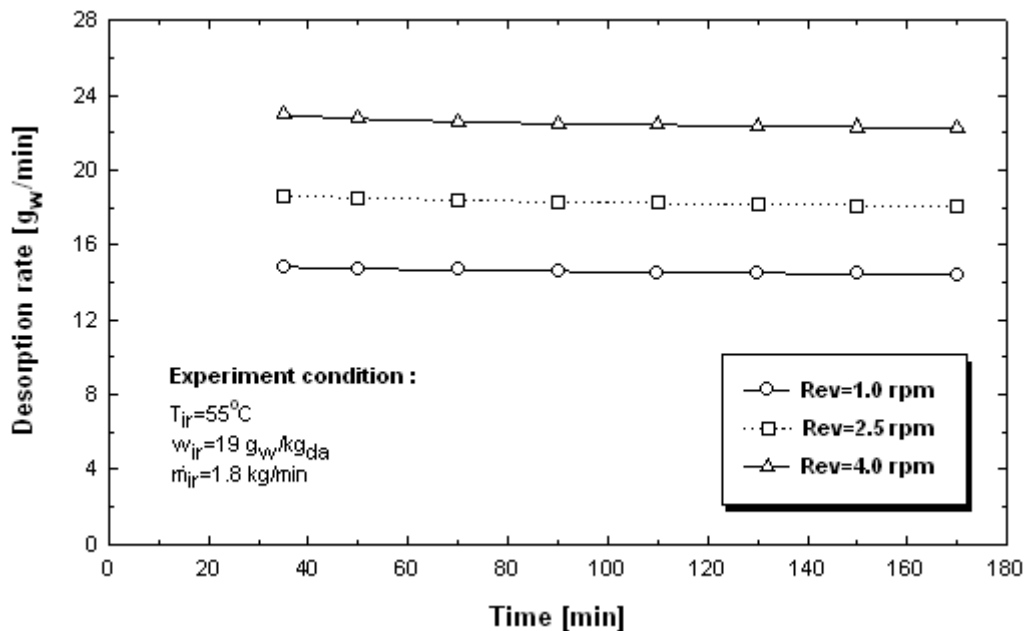


รูปที่ 5.8 อัตราการรายความชื้นของสารดูดความชื้นที่เงื่อนไข $\dot{m}_{ir} = 1.0, 1.8, 2.5 \text{ kg/min}$, $T_{ir} = 55^\circ\text{C}$, $w_{ir} = 19 \text{ g}_w/\text{kg}_{da}$, $Rev = 2.5 \text{ rpm}$

5.2.4 ผลการศึกษาผลของการเริ่มกระบวนการดูดความชื้น

การศึกษาผลของการเริ่มกระบวนการดูดความชื้น โดยการควบคุมความเร็วของวงล้อดูดความชื้นระหว่าง 1-4 rpm ที่อุณหภูมิอากาศก่อนเข้าสู่ชุดวงล้อดูดความชื้น 55°C อัตราส่วนความชื้นอากาศก่อนเข้าสู่ชุดวงล้อดูดความชื้น $19 \text{ g}_w/\text{kg}_{da}$ และอัตราการไหลอากาศ 1.0 kg/min ผลการศึกษาพบว่า อัตราการรายความชื้นออกจากสารดูดความชื้นจะมีค่าสูงในช่วงแรกของการทดลอง และจะมีค่าลดลงเมื่อเวลาผ่านไป จากผลการทดลองเปรียบเทียบความเริ่มกระบวนการดูดความชื้นพบว่า เมื่อความเริ่มกระบวนการดูดความชื้นมีค่าสูงขึ้นจาก 1.0 rpm เป็น 2.5 rpm และ 4.0 rpm จะทำให้อัตราการรายความชื้นออกจากสารดูดความชื้นมีค่าสูงขึ้นจาก $14.59 \text{ g}_w/\text{min}$ เป็น $18.43 \text{ g}_w/\text{min}$ และ $22.52 \text{ g}_w/\text{min}$ ตามลำดับ เนื่องจากที่ความเริ่มกระบวนการดูดความชื้นสูงขึ้นทำให้ระยะเวลาในการสัมผัสระหว่างสารดูดความชื้นที่มีอัตราส่วนมวลของความชื้นต่อมวลของสารดูด

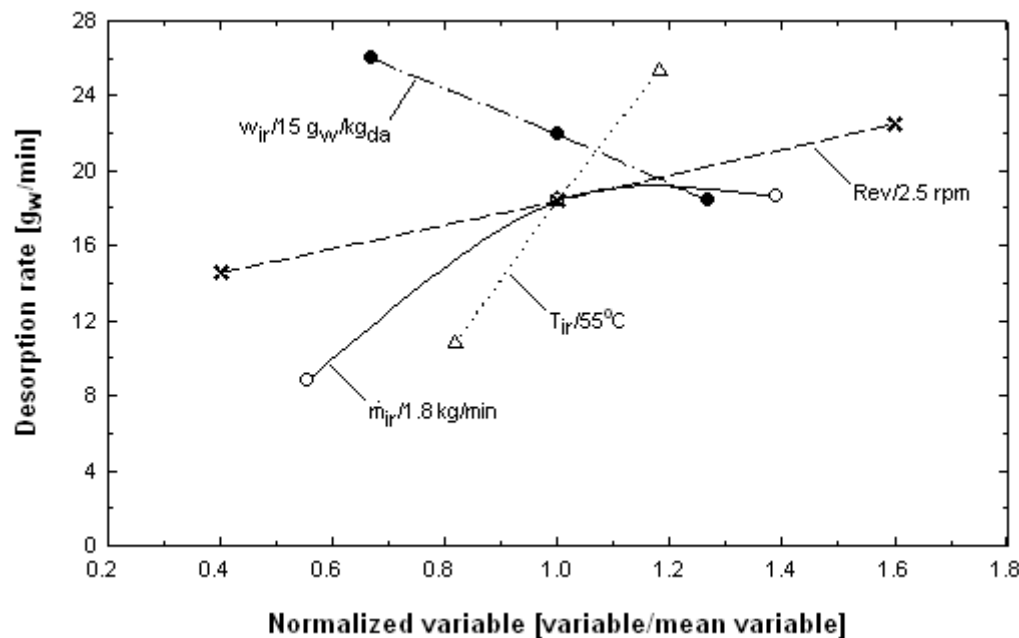
ความชื้นสูงกับอากาศเพิ่มขึ้น ส่งผลให้ค่าความแตกต่างของความดันไอน้ำในอากาศและความดันไอน้ำที่ผิวสารดูดความชื้นมีค่าสูงขึ้น แสดงดังรูปที่ 5.9



รูปที่ 5.9 อัตราการคายความชื้นของสารดูดความชื้นที่เงื่อนไข $Rev=1.0, 2.5, 4.0 \text{ rpm}$,

$$T_{ir}=55^{\circ}\text{C}, w_{ir}=19 \text{ g}_w/\text{kg}_{da}, \dot{m}_{ir}=1.8 \text{ kg}/\text{min}$$

จากผลการศึกษาการคายความชื้นออกจากสารดูดความชื้นที่ตัวแปรต่างๆ ได้แก่ อุณหภูมิอากาศในการคายความชื้น อัตราส่วนความชื้นอากาศ อัตราการไหลอากาศในการคายความชื้น และความเร็วของกงล้อดูดความชื้น อุณหภูมิอากาศ พ布ว่า อัตราการคายความชื้นออกจากสารดูดความชื้นมีค่าต่ำสุด $8.87 \text{ g}_w/\text{min}$ ที่อุณหภูมิอากาศในการคายความชื้น 55°C อัตราส่วนความชื้นอากาศ $19 \text{ g}_w/\text{kg}_{da}$ อัตราการไหลอากาศในการคายความชื้น $1.0 \text{ kg}/\text{min}$ ความเร็วของกงล้อดูดความชื้น 2.5 rpm และอัตราการลดความชื้นในอากาศของสารดูดความชื้นมีค่าสูงสุด $26.01 \text{ g}_w/\text{min}$ ที่อุณหภูมิอากาศในการคายความชื้น 55°C อัตราส่วนความชื้นอากาศ $10 \text{ g}_w/\text{kg}_{da}$ อัตราการไหลอากาศในการคายความชื้น $1.8 \text{ kg}/\text{min}$ ความเร็วของกงล้อดูดความชื้น 2.5 rpm ผลของตัวแปรต่างๆ ต่ออัตราการคายความชื้นออกจากสารดูดความชื้น ที่อุณหภูมิอากาศในการคายความชื้น 55°C อัตราส่วนความชื้นอากาศ $19 \text{ g}_w/\text{kg}_{da}$ อัตราการไหลอากาศในการคายความชื้น $1.8 \text{ kg}/\text{min}$ ความเร็วของกงล้อดูดความชื้น 2.5 rpm แสดงดังรูปที่ 5.10



รูปที่ 5.10 แสดงผลของตัวแปรต่างๆต่ออัตราการรายความชื้นออกจากสารดูดความชื้น

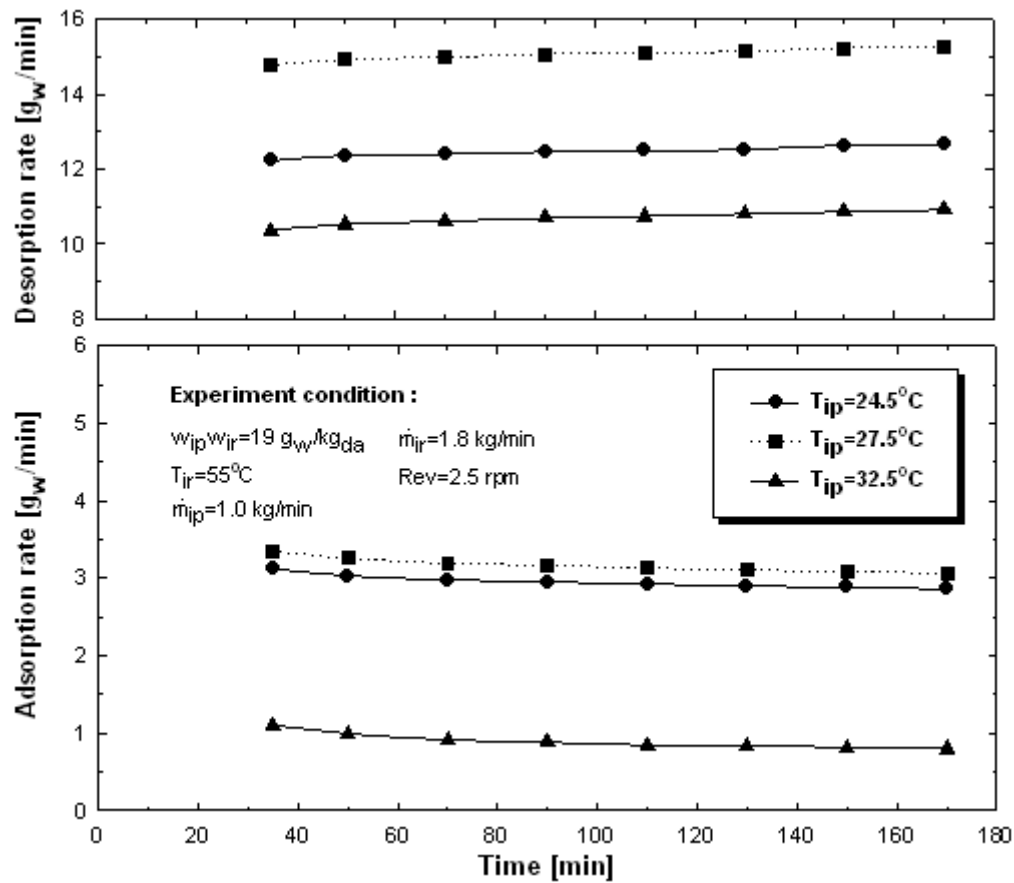
5.3 ผลการทดสอบชุดคงล้อดูดความชื้น

5.3.1 ผลการศึกษาผลของอุณหภูมิอากาศก่อนเข้าชุดคงล้อดูดความชื้น

การศึกษาผลของอุณหภูมิอากาศก่อนเข้าชุดคงล้อดูดความชื้น โดยการควบคุม อุณหภูมิอากาศก่อนเข้าสู่ชุดคงล้อดูดความชื้นระหว่าง 24.5-32.5°C ที่อัตราส่วนความชื้นอากาศ ก่อนเข้าสู่ชุดคงล้อดูดความชื้น 19 g_w/kg_{da} อุณหภูมิอากาศในการรายความชื้น 55°C อัตราการไหลดอากาศ 1.0 kg/min อัตราการไหลดอากาศในการรายความชื้น 1.8 kg/min และความเร็วของกงล้อดูดความชื้น 2.5 rpm ผลการศึกษาพบว่า อัตราการลดความชื้นในอากาศของสารดูดความชื้นจะมีค่าลดลงอย่างช้าๆเมื่อเวลาผ่านไป เนื่องจากในช่วงแรกของการทดลองสารดูดความชื้นมีอัตราส่วนมวลของความชื้นต่อมวลของสารดูดความชื้นต่ำประมาณ 0.15 kg_w/kg_{des} ทำให้สารดูดความชื้นสามารถลดดูดซับความชื้นในอากาศได้ในปริมาณมาก แต่เมื่อเวลาผ่านไปทำให้อัตราส่วนมวลของความชื้นต่อมวลของสารดูดความชื้นมีค่าเพิ่มสูงขึ้นเรื่อยๆ ค่าความแตกต่างของความดันไอน้ำในอากาศและความดันไอน้ำที่ผิวน้ำดูดความชื้นมีค่าลดลง ส่งผลให้อัตราการลดความชื้นในอากาศของสารดูดความชื้น มีค่าลดลง ซึ่งในเวลาเดียวกันพบว่า อัตราการรายความชื้นออกจากสารดูดความชื้นจะมีค่าเพิ่มขึ้นอย่างช้าๆเมื่อเวลาผ่านไป เนื่องจากในช่วงแรกของการทดลองสารดูดความชื้นมีอัตราส่วนมวลของความชื้นต่อมวลของสารดูดความชื้นต่ำ ทำให้สารดูดความชื้น

สามารถถ่ายความชื้นได้ในปริมาณน้อย แต่เมื่อเวลาผ่านไปอัตราส่วนมวลของความชื้นต่อมวลของสารคุณภาพชื้นมีค่าเพิ่มขึ้นเรื่อยๆ จากกระบวนการลดความชื้นในอากาศของสารคุณภาพชื้น ค่าความแตกต่างของความดันไอน้ำในอากาศและความดันไอน้ำที่ผิวสารคุณภาพชื้นมีค่าเพิ่มขึ้น ส่งผลให้อัตราการถ่ายความชื้นออกจากสารคุณภาพชื้นมีค่าเพิ่มขึ้น

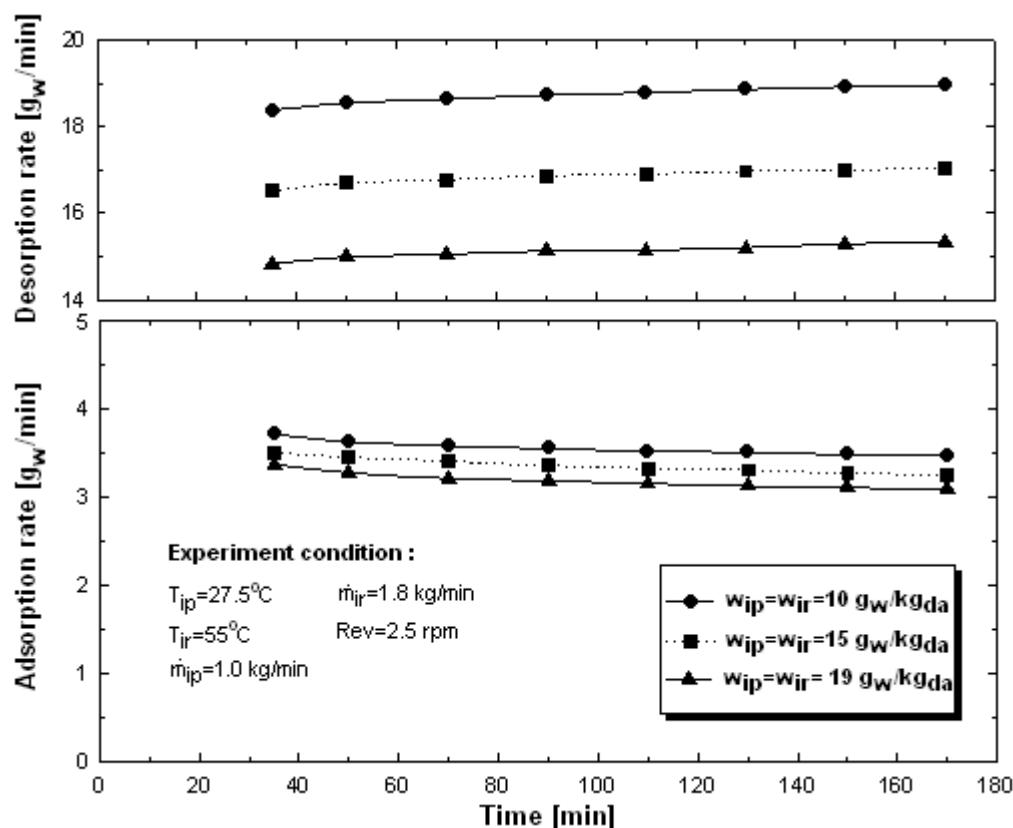
จากผลการทดลองเบรี่ยบอุณหภูมิอากาศก่อนเข้าชุดคงล้อคุณภาพชื้นพบว่า เมื่ออุณหภูมิอากาศที่เข้าสู่ชุดคงล้อคุณภาพชื้นมีค่าสูงขึ้นจาก 24.5°C เป็น 27.5°C จะทำให้อัตราการลดความชื้นในอากาศมีค่าสูงขึ้นจาก $2.96 \text{ g}_w/\text{min}$ เป็น $3.19 \text{ g}_w/\text{min}$ เนื่องจากอากาศที่อุณหภูมิสูงกว่าจะมีความสามารถดูดซับปริมาณความชื้นเพิ่มมากขึ้น สังเกตจากค่าความชื้นสัมพัทธ์ของอากาศจะมีค่าลดลง ซึ่งส่งผลให้อากาศที่อุณหภูมิสูงกว่าจะมีไอน้ำในอากาศมากกว่าและทำให้ค่าความดันไอน้ำในอากาศสูงขึ้น ค่าความแตกต่างของความดันไอน้ำในอากาศและความดันไอน้ำที่ผิวสารคุณภาพชื้นมีค่าสูงขึ้น ส่วนอัตราการถ่ายความชื้นออกจากสารคุณภาพชื้นมีค่าสูงขึ้นจาก $12.47 \text{ g}_w/\text{min}$ เป็น $15.12 \text{ g}_w/\text{min}$ เนื่องจากอุณหภูมิอากาศก่อนที่เข้าสู่ชุดคงล้อคุณภาพชื้นมีค่าสูงขึ้นจากการถ่ายเทความร้อนจากกระบวนการลดความชื้นในอากาศของสารคุณภาพชื้น ทำให้สารคุณภาพชื้นมีอุณหภูมิสูงขึ้น ส่งผลให้ความดันไอน้ำที่ผิวสารคุณภาพชื้นมีค่าเพิ่มขึ้น ค่าความแตกต่างของความดันไอน้ำในอากาศและความดันไอน้ำที่ผิวสารคุณภาพชื้นมีค่าสูงขึ้น โดยสัมประสิทธิ์สมรรถนะของวงล้อคุณภาพชื้น (DCOP) มีค่าเพิ่มขึ้นจาก 0.13 เป็น 0.16 แต่ในกรณีที่อุณหภูมิอากาศที่เข้าสู่ชุดคงล้อคุณภาพชื้นมีค่าสูงขึ้นจาก 27.5°C เป็น 32.5°C จะทำให้อัตราการลดความชื้นในอากาศมีค่าลดลงจาก $3.19 \text{ g}_w/\text{min}$ เป็น $0.90 \text{ g}_w/\text{min}$ เนื่องจากอุณหภูมิอากาศก่อนที่เข้าสู่ชุดคงล้อคุณภาพชื้นมีค่าสูงขึ้นมากจากการถ่ายเทความร้อนจากกระบวนการลดความชื้นออกจากสารคุณภาพชื้น ทำให้สารคุณภาพชื้นมีอุณหภูมิสูงขึ้น ส่งผลให้ความดันไอน้ำที่ผิวสารคุณภาพชื้นมีค่าเพิ่มขึ้น ค่าความแตกต่างของความดันไอน้ำในอากาศและความดันไอน้ำที่ผิวสารคุณภาพชื้นมีค่าลดลงจาก $15.12 \text{ g}_w/\text{min}$ เป็น $10.69 \text{ g}_w/\text{min}$ เนื่องจากอัตราการลดความชื้นในอากาศมีค่าลดลงมาก ส่งผลให้สารคุณภาพชื้นมีอัตราส่วนมวลของความชื้นต่อมวลของสารคุณภาพชื้นลดลง ค่าความแตกต่างของความดันไอน้ำในอากาศและความดันไอน้ำที่ผิวสารคุณภาพชื้นมีค่าลดลง โดยสัมประสิทธิ์สมรรถนะของวงล้อคุณภาพชื้นมีค่าลดลงจาก 0.16 เป็น 0.05 อัตราการลดความชื้นในอากาศและอัตราการถ่ายความชื้นออกจากสารคุณภาพชื้นแสดงดังรูปที่ 5.11



รูปที่ 5.11 อัตราการดูดและอัตราการคายความชื้นของกงล้อดูดความชื้นที่เงื่อนไข $T_{ip}=24.5, 27.5, 32.5^\circ\text{C}$, $w_{ip}=w_{ir}=19 \text{ g}_w/\text{kg}_{da}$, $T_{ir}=55^\circ\text{C}$, $\dot{m}_{ip}=1.0 \text{ kg}/\text{min}$, $\dot{m}_{ir}=1.8 \text{ kg}/\text{min}$, $\text{Rev}=2.5 \text{ rpm}$

5.3.2 ผลการศึกษาผลของอัตราส่วนความชื้นอากาศก่อนเข้าชุดกงล้อดูดความชื้น
 การศึกษาผลของอัตราส่วนความชื้นอากาศก่อนเข้าชุดกงล้อดูดความชื้น โดยการควบคุมอัตราส่วนความชื้นอากาศก่อนเข้าสู่ชุดกงล้อดูดความชื้นระหว่าง $10-19 \text{ g}_w/\text{kg}_{da}$ ที่อุณหภูมิอากาศก่อนเข้าสู่ชุดกงล้อดูดความชื้น 27.5°C อุณหภูมิอากาศในการคายความชื้น 55°C อัตราการไหลอากาศ $1.0 \text{ kg}/\text{min}$ อัตราการไหลอากาศในการคายความชื้น $1.8 \text{ kg}/\text{min}$ และความเร็วของกงล้อดูดความชื้น 2.5 rpm ผลการศึกษาพบว่า อัตราการลดความชื้นในอากาศของสารดูดความชื้นจะมีค่าลดลงอย่างช้าๆ เมื่อเวลาผ่านไป ซึ่งในเวลาเดียวกันพบว่าอัตราการคายความชื้นออกจากสารดูดความชื้นจะมีค่าเพิ่มขึ้นอย่างช้าๆ จากผลการทดลองเปรียบเทียบอัตราส่วนความชื้นอากาศก่อนเข้าชุดกงล้อดูดความชื้นพบว่า เมื่ออัตราส่วนความชื้นอากาศก่อนเข้าชุดกงล้อดูดความชื้นมีค่าสูงขึ้นจาก $10 \text{ g}_w/\text{kg}_{da}$ เป็น $15 \text{ g}_w/\text{kg}_{da}$ และ $19 \text{ g}_w/\text{kg}_{da}$ จะทำให้อัตราการลดความชื้นในอากาศมีค่าลดลงจาก $3.56 \text{ g}_w/\text{min}$ เป็น $3.38 \text{ g}_w/\text{min}$ และ $3.19 \text{ g}_w/\text{min}$ ตามลำดับ เนื่องจากอัตราการคายความชื้นออก

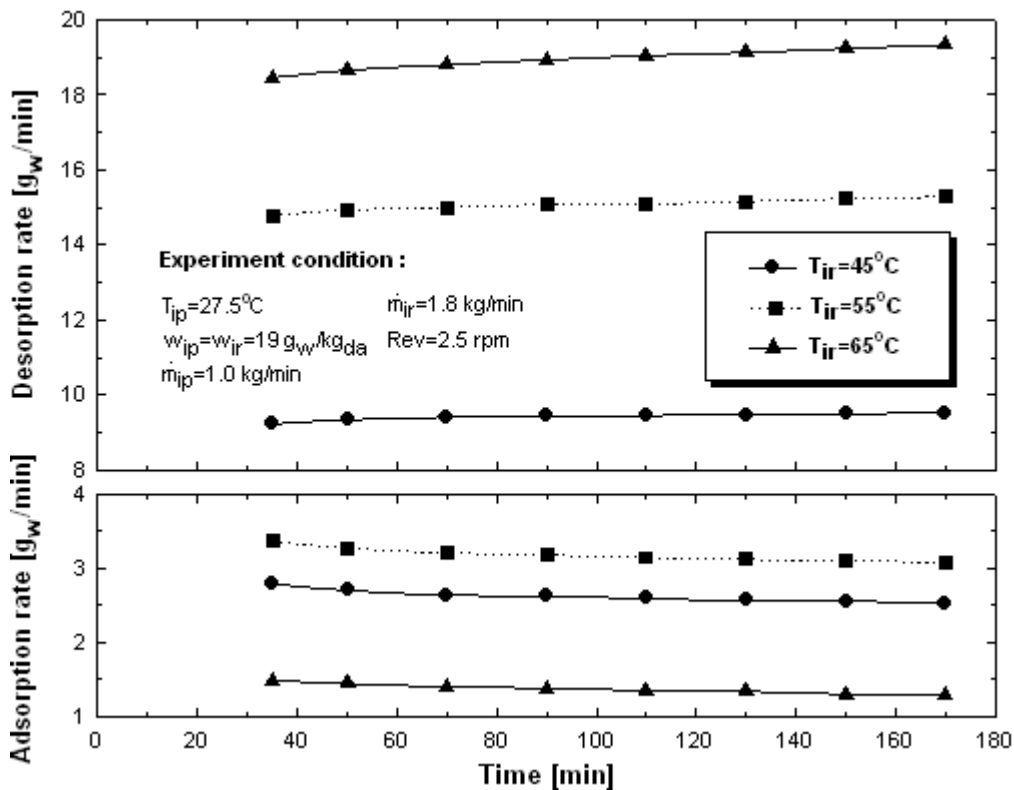
จากสารดูดความชื้นมีค่าลดลงจาก $18.72 \text{ g}_w/\text{min}$ เป็น $16.87 \text{ g}_w/\text{min}$ และ $15.12 \text{ g}_w/\text{min}$ ตามลำดับ ส่งผลให้สารดูดความชื้นมีอัตราส่วนมวลของความชื้นต่อมวลของสารดูดความชื้นเพิ่มขึ้น ค่าความแตกต่างของความดันไอน้ำในอากาศและความดันไอน้ำที่ผิวสารดูดความชื้นมีค่าลดลง ส่วนอัตราการหายความชื้นออกจากสารดูดความชื้นมีค่าลดลง เนื่องจากอากาศที่อัตราส่วนความชื้นสูงกว่าจะมีไอน้ำในอากาศมากกว่าและทำให้ค่าความดันไอน้ำในอากาศสูงขึ้น ค่าความแตกต่างของความดันไอน้ำในอากาศและความดันไอน้ำที่ผิวสารดูดความชื้นมีค่าลดลง โดยสัมประสิทธิ์สมรรถนะของกล้องดูดความชื้นมีค่าลดลงจาก 0.18 เป็น 0.17 และ 0.16 ตามลำดับ อัตราการลดความชื้นในอากาศ และอัตราการหายความชื้นออกจากสารดูดความชื้นแสดงดังรูปที่ 5.12



รูปที่ 5.12 อัตราการดูดและอัตราการหายความชื้นของกล้องดูดความชื้นที่เงื่อนไข $w_{ip}=w_{ir}=10, 15,$ $19 \text{ g}_w/\text{kg da}, T_{ip}=27.5^{\circ}\text{C}, T_{ir}=55^{\circ}\text{C}, \dot{m}_{ip}=1.0 \text{ kg}/\text{min}, \dot{m}_{ir}=1.8 \text{ kg}/\text{min}, Rev=2.5 \text{ rpm}$

5.3.3 ผลการศึกษาผลของอุณหภูมิอากาศในการถ่ายความชื้น

การศึกษาผลของอุณหภูมิอากาศในการถ่ายความชื้น โดยการควบคุมอุณหภูมิอากาศในการถ่ายความชื้นระหว่าง $45-65^{\circ}\text{C}$ ที่อุณหภูมิอากาศก่อนเข้าสู่ชุดคงล้อดูดความชื้น 27.5°C อัตราส่วนความชื้นอากาศก่อนเข้าสู่ชุดคงล้อดูดความชื้น $19 \text{ g}_w/\text{kg}_{da}$ อัตราการไหลดอากาศ 1.0 kg/min อัตราการไหลดอากาศในการถ่ายความชื้น 1.8 kg/min และความเร็วของวงล้อดูดความชื้น 2.5 rpm ผลการศึกษาพบว่า อัตราการลดความชื้นในอากาศของสารดูดความชื้นจะมีค่าลดลงอย่างช้าๆ เมื่อเวลาผ่านไป ซึ่งในเวลาเดียวกันพบว่า อัตราการถ่ายความชื้นออกจากสารดูดความชื้นจะมีค่าเพิ่มขึ้นอย่างช้าๆ จากผลการทดลองเปรียบเทียบอุณหภูมิอากาศในการถ่ายความชื้นพบว่า เมื่ออุณหภูมิอากาศในการถ่ายความชื้นมีค่าสูงขึ้นจาก 45°C เป็น 55°C จะทำให้อัตราการลดความชื้นในอากาศมีค่าสูงขึ้นจาก $2.62 \text{ g}_w/\text{min}$ เป็น $3.19 \text{ g}_w/\text{min}$ เนื่องจากอัตราการถ่ายความชื้นออกจากสารดูดความชื้นมีค่าเพิ่มขึ้นจาก $9.41 \text{ g}_w/\text{min}$ เป็น $15.12 \text{ g}_w/\text{min}$ ส่งผลให้สารดูดความชื้นมีอัตราส่วนมวลของความชื้นต่อมวลของสารดูดความชื้นลดลง ค่าความแตกต่างของความดันไอน้ำในอากาศและความดันไอน้ำที่ผิวสารดูดความชื้นมีค่าเพิ่มขึ้น โดยสัมประสิทธิ์สมรรถนะของวงล้อดูดความชื้นมีค่าลดลงจาก 0.20 เป็น 0.16 แต่ในกรณีที่อุณหภูมิอากาศในการถ่ายความชื้นมีค่าสูงขึ้นจาก 55°C เป็น 65°C จะทำให้อัตราการลดความชื้นในอากาศมีค่าลดลงจาก $3.19 \text{ g}_w/\text{min}$ เป็น $1.37 \text{ g}_w/\text{min}$ เนื่องจากอุณหภูมิอากาศก่อนที่เข้าสู่ชุดคงล้อดูดความชื้นมีค่าสูงขึ้นมากจากการถ่ายเทความร้อนจากกระบวนการถ่ายความชื้นออกจากสารดูดความชื้น ทำให้สารดูดความชื้นมีอุณหภูมิสูงขึ้น ส่งผลให้ความดันไอน้ำที่ผิวสารดูดความชื้นมีค่าเพิ่มขึ้น ค่าความแตกต่างของความดันไอน้ำในอากาศและความดันไอน้ำที่ผิวสารดูดความชื้นมีค่าลงลง ส่วนอัตราการถ่ายความชื้นออกจากสารดูดความชื้นมีค่าสูงขึ้นจาก $15.12 \text{ g}_w/\text{min}$ เป็น $18.95 \text{ g}_w/\text{min}$ เมื่อเพิ่มอุณหภูมิอากาศในการถ่ายความชื้น เนื่องจากอากาศที่อุณหภูมิสูงกว่าจะถ่ายเทความร้อนให้กับสารดูดความชื้นได้มาก ทำให้สารดูดความชื้นมีอุณหภูมิสูงขึ้น ส่งผลให้ความดันไอน้ำที่ผิวสารดูดความชื้นมีค่าเพิ่มขึ้น ค่าความแตกต่างของความดันไอน้ำในอากาศและความดันไอน้ำที่ผิวสารดูดความชื้นมีค่าสูงขึ้น โดยสัมประสิทธิ์สมรรถนะของวงล้อดูดความชื้นมีค่าลดลงจาก 0.16 เป็น 0.05 อัตราการลดความชื้นในอากาศและอัตราการถ่ายความชื้นออกจากสารดูดความชื้นแสดงดังรูปที่ 5.13

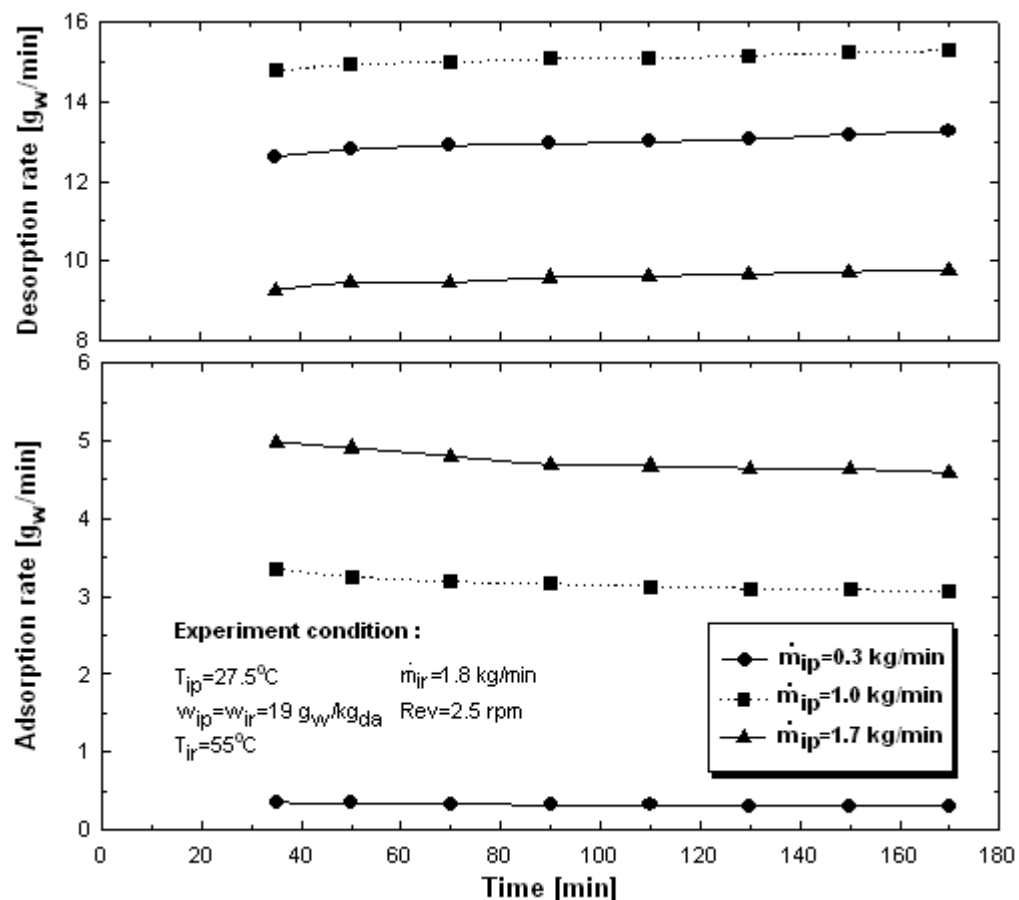


รูปที่ 5.13 อัตราการดูดและอัตราการคายความชื้นของกล้องดูดความชื้นที่เยื่อน ไข $T_{ir}=45, 55, 65^{\circ}\text{C}$, $T_{ip}=27.5^{\circ}\text{C}$, $w_{ip}=w_{ir}=19 \text{ g}_w/\text{kg}_{da}$, $m_{ip}=1.0 \text{ kg}/\text{min}$, $m_{ir}=1.8 \text{ kg}/\text{min}$, $\text{Rev}=2.5 \text{ rpm}$

5.3.4 ผลการศึกษาผลของอัตราการไหหลาอากาศก่อนเข้าชุดคงล้อดูดความชื้น

การศึกษาผลของอัตราการไหหลาอากาศก่อนเข้าชุดคงล้อดูดความชื้น โดยการควบคุมอัตราการไหหลาอากาศก่อนเข้าชุดคงล้อดูดความชื้นระหว่าง 0.3-1.7 kg/min ที่อุณหภูมิอากาศ 27.5°C อัตราส่วนความชื้นอากาศ 19 g_w/kg_{da} อุณหภูมิอากาศในการคายความชื้น 55°C อัตราไหหลาอากาศในการคายความชื้น 1.8 kg/min และความเร็วของกล้องดูดความชื้น 2.5 rpm ผลการศึกษาพบว่า อัตราการลดความชื้นมีค่าลดลงอย่างช้าๆ เมื่อเวลาผ่านไป ซึ่งในเวลาเดียวกันพบว่า อัตราการคายความชื้นมีค่าเพิ่มขึ้นอย่างช้าๆ จากผลการทดลองเบรี่ยนเทียบอัตราการไหหลาอากาศพบว่า เมื่ออัตราการไหหลาอากาศมีค่าสูงขึ้น ทำให้อัตราการลดความชื้นมีค่าสูงขึ้น เนื่องจากอากาศที่อัตราการไหหลาอากาศสูงขึ้น ค่าสัมประสิทธิ์การถ่ายเทมวลและสัมประสิทธิ์การถ่ายเทความร้อนสูงขึ้น รวมทั้งค่าความดันไอน้ำในอากาศสูงขึ้น ค่าความแตกต่างของความดันไอน้ำในอากาศและความดันไอน้ำที่ผิวน้ำดูดความชื้นมีค่าสูงขึ้น ส่วนอัตราการคายความชื้นมีค่าสูงขึ้นจาก 12.97 g_w/min เป็น 15.12 g_w/min เมื่ออัตราการไหหลาอากาศมีค่าสูงขึ้นจาก 0.3 kg/min เป็น 1.0 kg/min

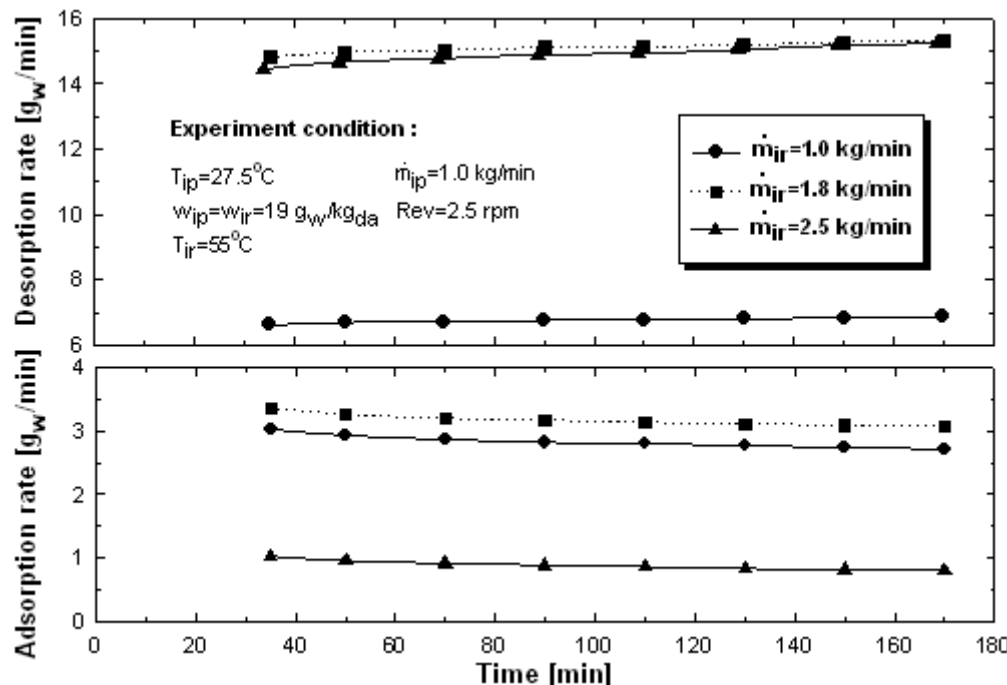
เนื่องจากอัตราการลดความชื้นมีค่าเพิ่มขึ้นจาก $0.32 \text{ g}_w/\text{min}$ เป็น $3.19 \text{ g}_w/\text{min}$ ส่งผลให้สารดูดความชื้นมีอัตราส่วนมวลของความชื้นต่อมวลของสารดูดความชื้นเพิ่มขึ้น ค่าความแตกต่างของความดันไอน้ำในอากาศและความดันไอน้ำที่ผิวสารดูดความชื้นมีค่าเพิ่มขึ้น โดยสัมประสิทธิ์สมรรถนะของกงล้อดูดความชื้นมีค่าเพิ่มขึ้นจาก 0.02 เป็น 0.16 แต่ในการนี้ที่อัตราการไหลอากาศมีค่าสูงขึ้นจาก $1.0 \text{ kg}/\text{min}$ เป็น $1.7 \text{ kg}/\text{min}$ จะทำให้อัตราการลดความชื้นมีค่าเพิ่มขึ้นจาก $3.19 \text{ g}_w/\text{min}$ เป็น $4.74 \text{ g}_w/\text{min}$ ส่วนอัตราการถ่ายความชื้นมีค่าลดลงจาก $15.12 \text{ g}_w/\text{min}$ เป็น $9.56 \text{ g}_w/\text{min}$ เนื่องจากอุณหภูมิอากาศในการความชื้นมีค่าลดลงจากการถ่ายเทความร้อนจากกระบวนการลดความชื้น ทำให้สารดูดความชื้นมีอุณหภูมิลดลง ส่งผลให้ความดันไอน้ำที่ผิวสารดูดความชื้นมีค่าลดลง ค่าความแตกต่างของความดันไอน้ำในอากาศและความดันไอน้ำที่ผิวสารดูดความชื้นมีค่าลง โดยสัมประสิทธิ์สมรรถนะของกงล้อดูดความชื้นมีค่าเพิ่มขึ้นจาก 0.16 เป็น 0.23 อัตราการลดความชื้นและอัตราการถ่ายความชื้นแสดงดังรูปที่ 5.14



รูปที่ 5.14 อัตราการดูดและอัตราการถ่ายความชื้นของกงล้อดูดความชื้นที่เงื่อนไข $\dot{m}_{ip}=0.3, 1.0, 1.7 \text{ kg}/\text{min}$, $T_{ip}=27.5^{\circ}\text{C}$, $w_{ip}=w_{ir}=19 \text{ g}_w/\text{kg}_{da}$, $T_{ir}=55^{\circ}\text{C}$, $\dot{m}_{ir}=1.8 \text{ kg}/\text{min}$, $Rev=2.5 \text{ rpm}$

5.3.5 ผลการศึกษาผลของอัตราการไหลดอากาศในการคายความชื้น

การศึกษาผลของอัตราการไหลดอากาศในการคายความชื้น โดยการควบคุมระหว่าง 1.0-2.5 kg/min ที่อุณหภูมิอากาศ 27.5°C อัตราส่วนความชื้นอากาศ 19 g_w/kg_{da} อุณหภูมิอากาศการคายความชื้น 55°C อัตราการไหลดอากาศ 1.0 kg/min และความเร็วคงล้อดูดความชื้น 2.5 rpm พบว่า อัตราการลดความชื้นมีค่าลดลงอย่างช้าๆ ส่วนอัตราการคายความชื้นมีค่าเพิ่มขึ้นอย่างช้าๆ จากผลเปรียบเทียบอัตราการไหลดอากาศการคายความชื้นพบว่า เมื่ออัตราการไหลดอากาศการคายความชื้นมีค่าสูงขึ้นจาก 1.0 kg/min เป็น 1.8 kg/min ทำให้อัตราการลดความชื้นเพิ่มขึ้นจาก 2.83 g_w/min เป็น 3.19 g_w/min เนื่องจากอัตราการคายความชื้นมีค่าเพิ่มขึ้นจาก 6.77 g_w/min เป็น 15.12 g_w/min ส่งผลให้สารดูดความชื้นมีอัตราส่วนมวลความชื้นต่อมวลสารดูดความชื้นลดลง โดยสัมประสิทธิ์สมรรถนะมีค่าลดลงจาก 0.25 เป็น 0.16 แต่ในกรณีที่อัตราการไหลดอากาศในการคายความชื้นมีค่าสูงขึ้นจาก 1.8 kg/min เป็น 2.5 kg/min ทำให้อัตราการลดความชื้นลดลงจาก 3.19 g_w/min เป็น 0.88 g_w/min เนื่องจากอุณหภูมิอากาศมีค่าสูงขึ้น จากการถ่ายเทความร้อนจากกระบวนการคายความชื้น ส่วนอัตราการคายความชื้นมีค่าลดลงเล็กน้อยจาก 15.12 g_w/min เป็น 14.91 g_w/min เนื่องจากอัตราการลดความชื้นมีค่าลดลง ส่งผลให้สารดูดความชื้นมีอัตราส่วนมวลของความชื้นต่อมวลของสารดูดความชื้นลดลง โดยสัมประสิทธิ์สมรรถนะมีค่าลดลงจาก 0.16 เป็น 0.03 อัตราการลดความชื้นและอัตราการคายความชื้นแสดงดังรูปที่ 5.15

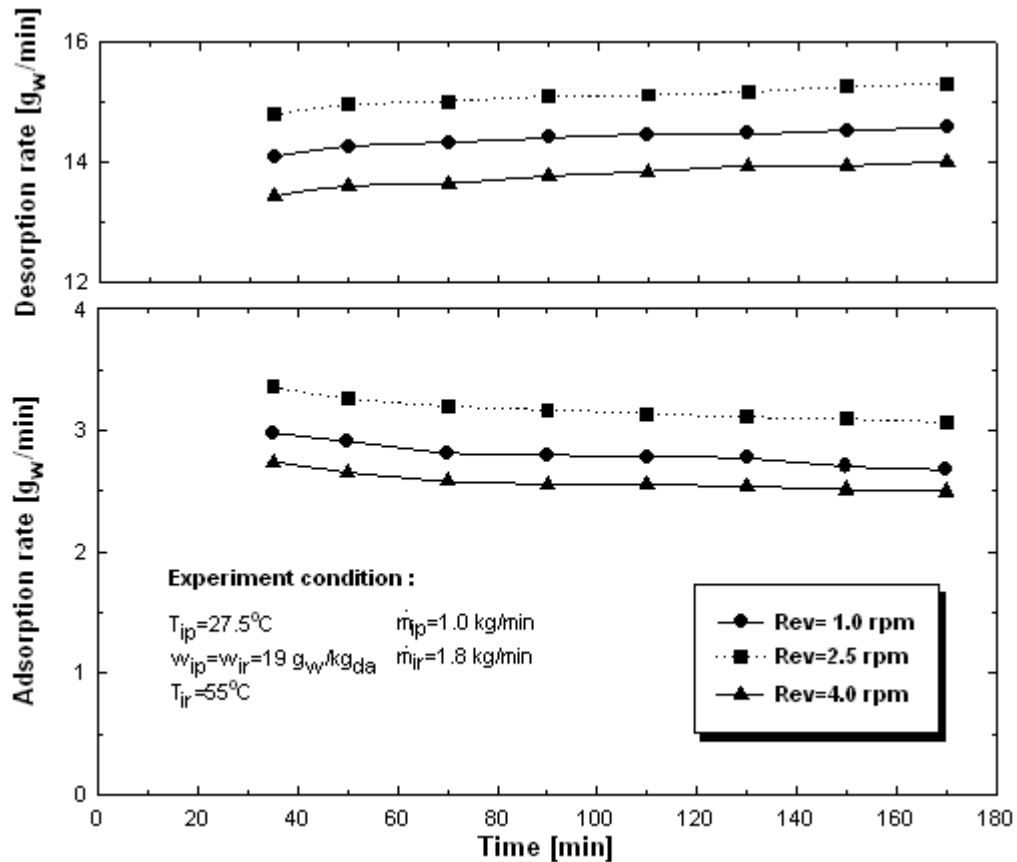


รูปที่ 5.15 อัตราการดูดและอัตราการคายความชื้นของกงล้อดูดความชื้นที่เงื่อนไข $\dot{m}_{ir} = 1.0, 1.8,$

$2.5 \text{ kg/min}, T_{ip} = 27.5^\circ\text{C}, w_{ip} = w_{ir} = 19 \text{ g}_w/\text{kg}_{da}, T_{ir} = 55^\circ\text{C}, \dot{m}_{ip} = 1.0 \text{ kg/min}, \text{Rev} = 2.5 \text{ rpm}$

5.3.6 ผลการศึกษาผลของความเร็วรอบวงล้อดูดความชื้น

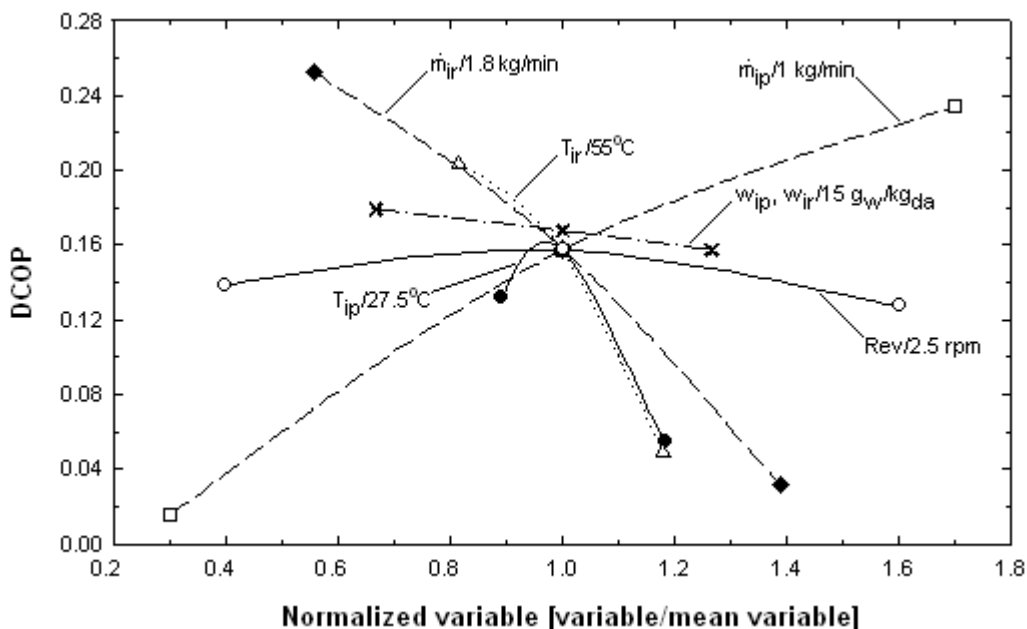
การศึกษาผลของความเร็วรอบวงล้อดูดความชื้น โดยการควบคุมความเร็วของวงล้อดูดความชื้นระหว่าง 1-4 rpm ที่อุณหภูมิอากาศก่อนเข้าสู่ชุดคงล้อดูดความชื้น 27.5°C อัตราส่วนความชื้นอากาศก่อนเข้าสู่ชุดคงล้อดูดความชื้น $19 \text{ g}_w/\text{kg}_{da}$ อุณหภูมิอากาศในการถ่ายความชื้น 55°C อัตราการไหลดอากาศ 1.0 kg/min และอัตราการไหลดอากาศในการถ่ายความชื้น 1.8 kg/min ผลการศึกษาพบว่า อัตราการลดความชื้นในอากาศของสารดูดความชื้นจะมีค่าลดลงอย่างช้าๆ เมื่อเวลาผ่านไป ซึ่งในเวลาเดียวกันพบว่า อัตราการถ่ายความชื้นของสารดูดความชื้นจะมีเพิ่มขึ้นอย่างช้าๆ จากผลการทดลองเบรย์บเทียบความเร็วรอบวงล้อดูดความชื้นพบว่า เมื่อความเร็วรอบวงล้อดูดความชื้นมีค่าสูงขึ้นจาก 1 rpm เป็น 2.5 rpm จะทำให้อัตราการลดความชื้นในอากาศมีค่าเพิ่มขึ้นจาก $2.80 \text{ g}_w/\text{min}$ เป็น $3.19 \text{ g}_w/\text{min}$ เนื่องจากที่ความเร็วรอบวงล้อดูดความชื้นสูงขึ้นทำให้ระยะเวลาในการสัมผัสระหว่างสารดูดความชื้นที่มีอัตราส่วนมวลของความชื้นต่อมวลของสารดูดความชื้นต่ำกับอากาศเพิ่มขึ้น ส่งผลให้ค่าความแตกต่างของความดันไอน้ำในอากาศและความดันไอน้ำที่ผิวสารดูดความชื้นมีค่าสูงขึ้น ส่วนอัตราการถ่ายความชื้นของสารดูดความชื้นมีค่าสูงขึ้นจาก $14.40 \text{ g}_w/\text{min}$ เป็น $15.12 \text{ g}_w/\text{min}$ เนื่องจากระยะเวลาในการสัมผัสระหว่างสารดูดความชื้นที่มีอัตราส่วนมวลของความชื้นต่อมวลของสารดูดความชื้นสูงกับอากาศเพิ่มขึ้น ส่งผลให้ค่าความแตกต่างของความดันไอน้ำในอากาศและความดันไอน้ำที่ผิวสารดูดความชื้นมีค่าสูงขึ้น โดยสัมประสิทธิ์สามารถของวงล้อดูดความชื้นมีค่าเพิ่มขึ้นจาก 0.14 เป็น 0.16 แต่ในกรณีที่ความเร็วรอบวงล้อดูดความชื้นมีค่าสูงขึ้นจาก 2.5 rpm เป็น 4.0 rpm จะทำให้อัตราการลดความชื้นในอากาศมีค่าลดลงจาก $3.20 \text{ g}_w/\text{min}$ เป็น $2.58 \text{ g}_w/\text{min}$ เนื่องจากอุณหภูมิอากาศก่อนที่เข้าสู่ชุดคงล้อดูดความชื้นมีค่าสูงขึ้นจากการถ่ายเทความร้อนจากกระบวนการถ่ายความชื้นออกจากสารดูดความชื้น ทำให้สารดูดความชื้นมีอุณหภูมิสูงขึ้น ส่งผลให้ความดันไอน้ำที่ผิวสารดูดความชื้นมีค่าเพิ่มขึ้น ค่าความแตกต่างของความดันไอน้ำในอากาศและความดันไอน้ำที่ผิวสารดูดความชื้นมีค่าลดลง ส่วนอัตราการถ่ายความชื้นของสารดูดความชื้นมีค่าลดลงจาก $15.12 \text{ g}_w/\text{min}$ เป็น $13.78 \text{ g}_w/\text{min}$ เนื่องจากอัตราการลดความชื้นในอากาศมีค่าลดลง ส่งผลให้สารดูดความชื้นมีอัตราส่วนมวลของความชื้นต่อมวลของสารดูดความชื้นลดลง ค่าความแตกต่างของความดันไอน้ำในอากาศและความดันไอน้ำที่ผิวสารดูดความชื้นมีค่าลดลง โดยสัมประสิทธิ์สามารถของวงล้อดูดความชื้นมีค่าลดลงจาก 0.16 เป็น 0.13 อัตราการลดความชื้นและอัตราการถ่ายความชื้นแสดงดังรูปที่ 5.16



รูปที่ 5.16 อัตราการดูดและอัตราการคายความชื้นของกล้องดูดความชื้นที่เงื่อนไข Rev=1.0, 2.5, 4.0 rpm, $T_{ip}=27.5^{\circ}\text{C}$, $w_{ip}=w_{ir}=19 \text{ g}_w/\text{kg}_{da}$, $T_{ir}=55^{\circ}\text{C}$, $m_{ip}=1.0 \text{ kg/min}$, $m_{ir}=1.8 \text{ kg/min}$

จากผลการทดสอบชุดองกล้องดูดความชื้นที่ตัวแปรต่างๆ ได้แก่ อุณหภูมิอากาศ อัตราส่วนความชื้นอากาศ อุณหภูมิอากาศในการคายความชื้น อัตราการไห้อากาศ อัตราการไห้อากาศในการคายความชื้น และความเร็วของกล้องดูดความชื้น พนว่าสัมประสิทธิ์สมรรถนะของกล้องดูดความชื้นมีค่าต่ำสุด 0.02 ที่อุณหภูมิอากาศ 27.5°C อัตราส่วนความชื้นอากาศ $19 \text{ g}_w/\text{kg}_{da}$ อุณหภูมิอากาศในการคายความชื้น 55°C อัตราการไห้อากาศ 0.3 kg/min อัตราการไห้อากาศในการคายความชื้น 1.8 kg/min ความเร็วของกล้องดูดความชื้น 2.5 rpm และสัมประสิทธิ์สมรรถนะของกล้องดูดความชื้นมีค่าสูงสุด 0.25 ที่อุณหภูมิอากาศ 27.5°C อัตราส่วนความชื้นอากาศ $19 \text{ g}_w/\text{kg}_{da}$ อุณหภูมิอากาศในการคายความชื้น 55°C อัตราการไห้อากาศ 1.0 kg/min อัตราการไห้อากาศในการคายความชื้น 1.0 kg/min ความเร็วของกล้องดูดความชื้น 2.5 rpm ผลของตัวแปรต่างๆ ต่อสัมประสิทธิ์สมรรถนะของกล้องดูดความชื้น ที่อุณหภูมิอากาศ 27.5°C อัตราส่วนความชื้นอากาศ $19 \text{ g}_w/\text{kg}_{da}$ อุณหภูมิอากาศในการคายความชื้น 55°C อัตราการไห้อากาศ 1.0 kg/min อัตรา

การไหหลักในกระบวนการการคายความชื้น 1.8 kg/min และความเร็วรอบของกล้องดูดความชื้น 2.5 rpm แสดงดังรูปที่ 5.17

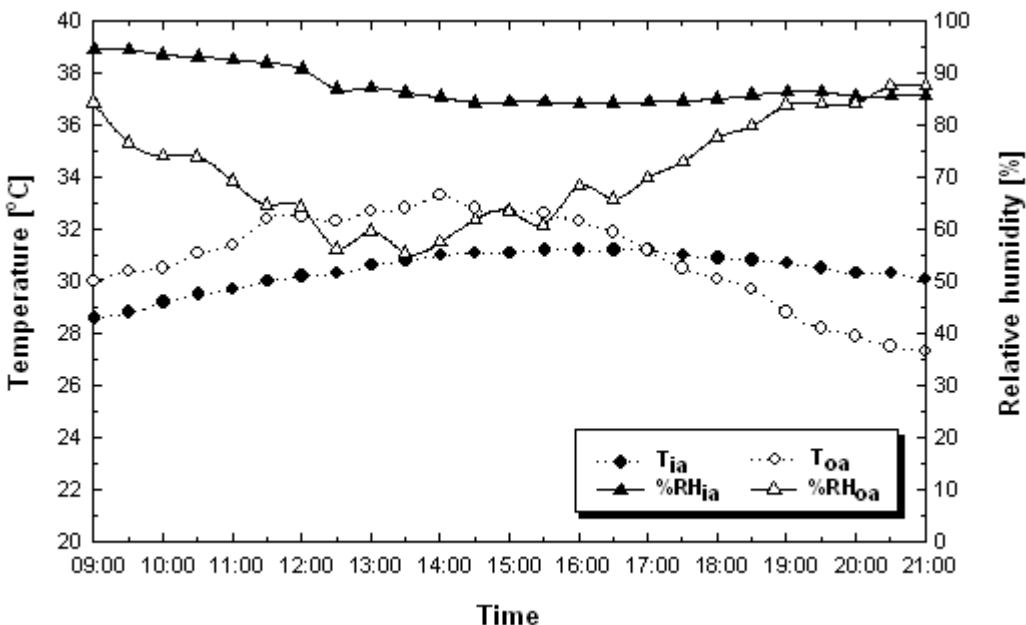


รูปที่ 5.17 ผลของตัวแปรต่างๆต่อสัมประสิทธิ์สมรรถนะของกล้องดูดความชื้น

5.4 ผลการทดสอบระบบปรับอากาศร่วมกับระบบดูดความชื้น

5.4.1 ผลการศึกษาสภาพอากาศภายในและภายนอกห้องทดลอง

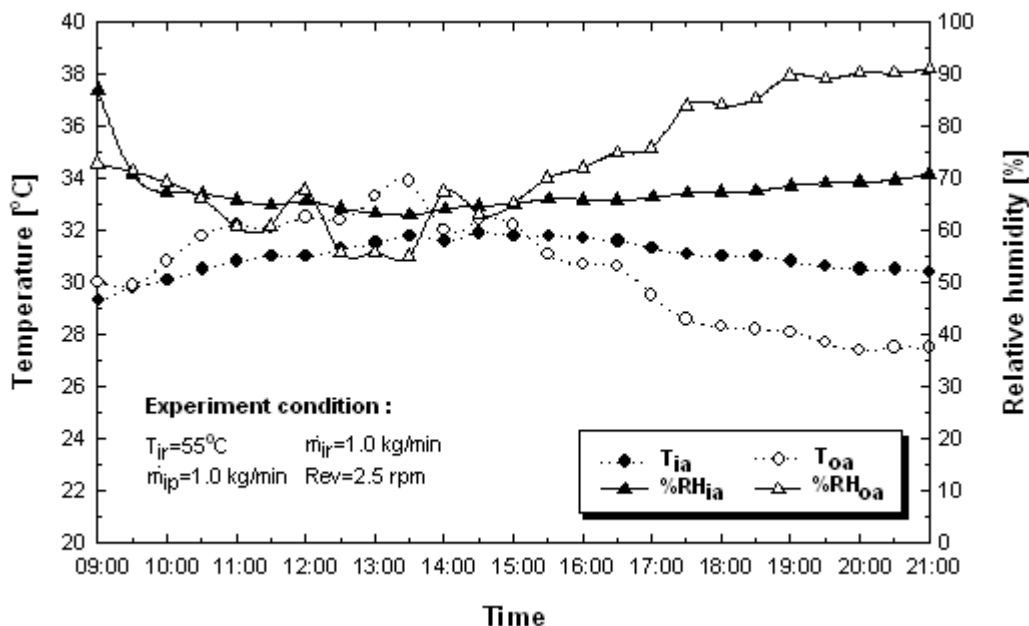
การศึกษาสภาพอากาศภายในและภายนอกห้องทดลอง โดยการติดตั้งชุดอุปกรณ์ และเครื่องมือตรวจวัดอุณหภูมิและความชื้นสัมพัทธ์ของอากาศ ทั้งภายในและภายนอกห้องทดลอง ทำการเก็บข้อมูลต่อๆ ช่วงเวลา 9.00 น. ถึง 21.00 น. ผลการศึกษาพบว่า อุณหภูมิและความชื้นสัมพัทธ์ของอากาศภายนอกห้องทดลองอยู่ในช่วง $27.3\text{-}33.3^{\circ}\text{C}$ และ $55.4\text{-}87.5\%\text{RH}$ ตามลำดับ ส่วนอุณหภูมิและความชื้นสัมพัทธ์ของอากาศภายในห้องทดลองอยู่ในช่วง $28.6\text{-}31.2^{\circ}\text{C}$ และ $84.1\text{-}94.5\%\text{RH}$ แสดงดังรูปที่ 5.18



รูปที่ 5.18 แสดงผลการศึกษาสภาพอากาศภายในและภายนอกห้องทดลอง
ช่วงเวลา 9.00 น. ถึง 21.00 น. ของวันที่ 18 พฤษภาคม 2552

5.4.2 ผลการศึกษาสภาพอากาศภายในห้องทดลองร่วมกับระบบดูดความชื้น

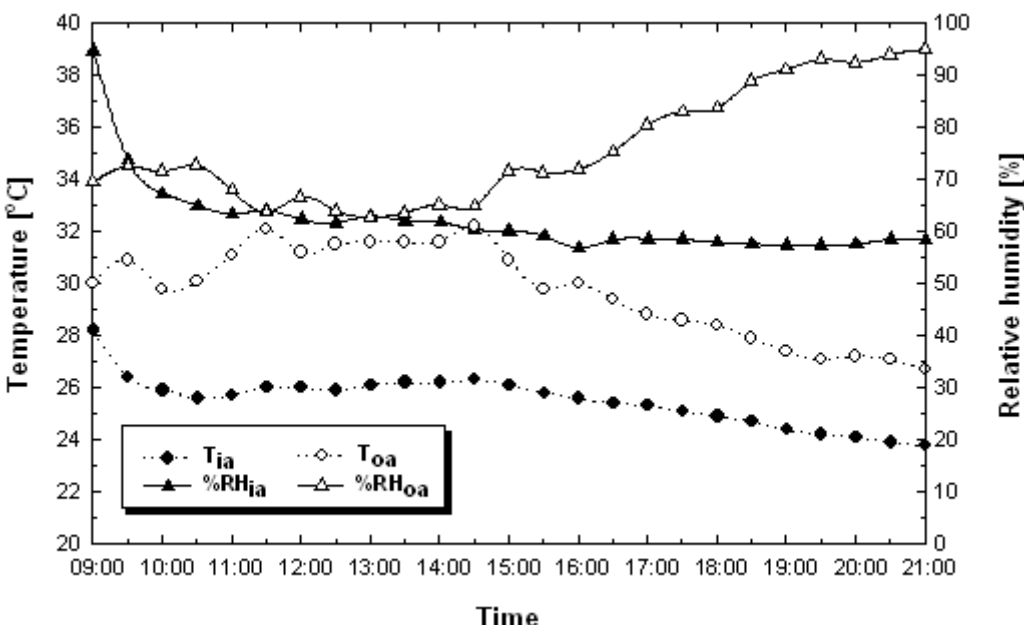
การศึกษาสภาพอากาศภายในห้องทดลองร่วมกับระบบดูดความชื้น โดยการติดตั้งชุดอุปกรณ์และเครื่องมือตรวจน้ำดูดอุณหภูมิและความชื้นสัมพัทธ์ของอากาศ ทั้งภายในและภายนอกห้องทดลอง ทำการเก็บข้อมูลต่างๆ ช่วงเวลา 9.00 น. ถึง 21.00 น. ทำการนำอากาศจากภายนอกเข้าสู่ชุดคงล้อดูดความชื้นก่อนเข้าห้องทดลอง ที่อุณหภูมิอากาศในการคายความชื้น 55°C อัตราการไหอากาศ 1.0 kg/min อัตราการไหอากาศในการคายความชื้น 1.0 kg/min และความเร็วรอบของกล้อดูดความชื้น 2.5 rpm ผลการศึกษาพบว่า อุณหภูมิและความชื้นสัมพัทธ์ของอากาศภายนอกห้องทดลองอยู่ในช่วง $27.4\text{-}33.9^{\circ}\text{C}$ และ $55.1\text{-}91.0\%\text{RH}$ ตามลำดับ ส่วนอุณหภูมิและความชื้นสัมพัทธ์ของอากาศภายในห้องทดลองอยู่ในช่วง $29.3\text{-}31.9^{\circ}\text{C}$ และ $62.9\text{-}86.9\%\text{RH}$ แสดงดังรูปที่ 5.19



รูปที่ 5.19 แสดงผลการศึกษาสภาพอากาศภายในห้องทดลองร่วมกับระบบดูดความชื้น ช่วงเวลา 9.00 น. ถึง 21.00 น. ของวันที่ 15 พฤษภาคม 2552

5.4.3 ผลการศึกษาสภาพอากาศภายในห้องทดลองร่วมกับระบบปรับอากาศ

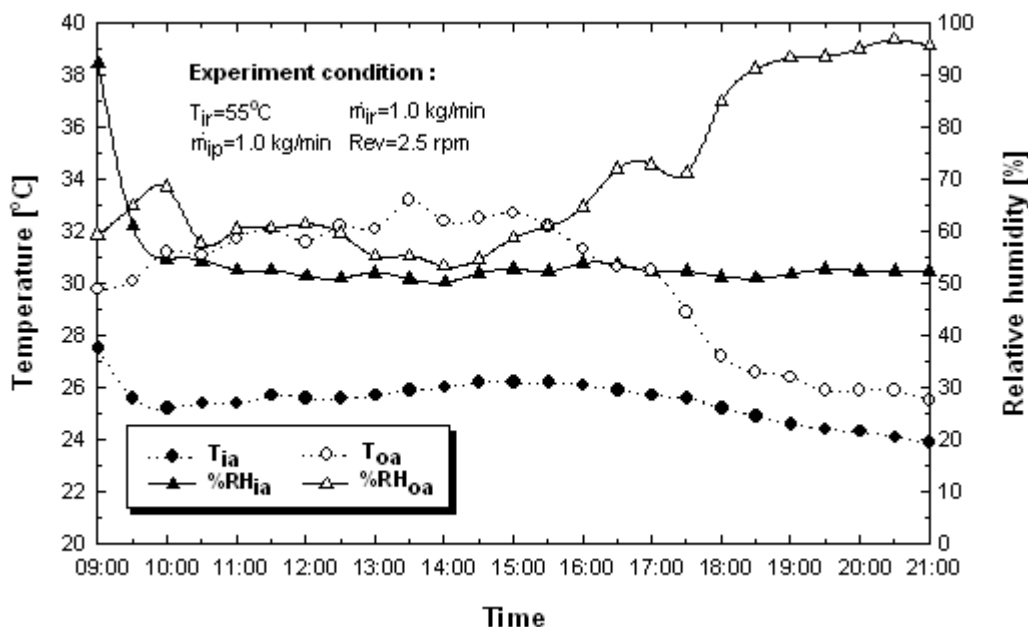
การศึกษาสภาพอากาศภายในห้องทดลองร่วมกับระบบปรับอากาศโดยการติดตั้งชุดอุปกรณ์และเครื่องมือตรวจวัดอุณหภูมิและความชื้นสัมพัทธ์ของอากาศ ทั้งภายในและภายนอกห้องทดลอง ทำการเก็บข้อมูลต่างๆ ช่วงเวลา 9.00 น. ถึง 21.00 น. ทำการควบคุมอุณหภูมิของอากาศภายในห้องทดลองที่ 25°C ผลการศึกษาพบว่า อุณหภูมิและความชื้นสัมพัทธ์ของอากาศภายนอกห้องทดลองอยู่ในช่วง $26.7\text{-}32.2^{\circ}\text{C}$ และ $62.8\text{-}95.0\%\text{RH}$ ตามลำดับ ส่วนอุณหภูมิและความชื้นสัมพัทธ์ของอากาศภายในห้องทดลองอยู่ในช่วง $23.8\text{-}28.2^{\circ}\text{C}$ และ $56.8\text{-}94.7\%\text{RH}$ โดยทำการทำความเข้มของระบบปรับอากาศแบบแยกส่วนมีค่าประมาณ 3.66 kW สภาวะอากาศภายในห้องทดลองแสดงดังรูปที่ 5.20



รูปที่ 5.20 แสดงผลการศึกษาสภาพอากาศภายในห้องทดลองร่วมกับระบบปรับอากาศ
ช่วงเวลา 9.00 น. ถึง 21.00 น. ของวันที่ 6 เมษายน 2552

5.4.4 ผลการศึกษาสภาพอากาศภายในห้องทดลองร่วมกับระบบปรับอากาศและระบบดูดความชื้น

การศึกษาสภาพอากาศภายในห้องทดลองร่วมกับระบบปรับอากาศและระบบดูดความชื้น โดยการติดตั้งชุดอุปกรณ์และเครื่องมือตรวจวัดอุณหภูมิและความชื้นสัมพัทธ์ของอากาศทึบภายในและภายนอกห้องทดลอง ทำการเก็บข้อมูลต่างๆ ช่วงเวลา 9.00 น. ถึง 21.00 น. ทำการนำอากาศจากภายนอกเข้าสู่ชุดคงล้อดูดความชื้นก่อนเข้าห้องทดลอง ที่อุณหภูมิอากาศในการคายความชื้น 55°C อัตราการไห้อากาศ 1.0 kg/min อัตราการไห้อากาศในการคายความชื้น 1.0 kg/min ความเร็วของกงล้อดูดความชื้น 2.5 rpm และความคุณอุณหภูมิของอากาศภายในห้องทดลองที่ 25°C ผลการศึกษาพบว่า อุณหภูมิและความชื้นสัมพัทธ์ของอากาศภายนอกห้องทดลองอยู่ในช่วง $25.5\text{-}33.2^{\circ}\text{C}$ และ $53.3\text{-}96.7\%\text{RH}$ ตามลำดับ ส่วนอุณหภูมิและความชื้นสัมพัทธ์ของอากาศภายในห้องทดลองอยู่ในช่วง $23.9\text{-}27.5^{\circ}\text{C}$ และ $50.2\text{-}92.2\%\text{RH}$ โดยการระการทำความเย็นของระบบปรับอากาศแบบแยกส่วนมีค่าประมาณ 2.96 kW สัมประสิทธิ์สมรรถนะของระบบทำความเย็นโดยสารดูดความชื้น (COP_{D}) 6.17 สภาวะอากาศภายในห้องทดลองแสดงดังรูปที่ 5.21



รูปที่ 5.21 แสดงผลการศึกษาสภาวะอากาศภายในห้องทดลองร่วมกับระบบปรับอากาศ และระบบดูดความชื้นช่วงเวลา 09.00 น. ถึง 21.00 น. ของวันที่ 4 เมษายน 2552

จากผลการทดสอบระบบปรับอากาศร่วมกับระบบดูดความชื้นช่วงเวลา 09.00 น. ถึง 21.00 น. พบว่า สภาวะอากาศภายในห้องทดลองมีค่าเฉลี่ย 30.3°C 72.7%RH และ 30.4°C 87.5%RH ตามลำดับ โดยกรณีที่ติดตั้งระบบลดความชื้นด้วยกงล้อดูดความชื้น พบว่า สภาวะอากาศภายในห้องทดลองมีค่าเฉลี่ย 31.1°C 66.6%RH ซึ่งกรณีติดตั้งระบบปรับอากาศ พบร่วมกับระบบดูดความชื้น พบว่า สภาวะอากาศภายในห้องทดลองมีค่าเฉลี่ย 25.4°C 60.8%RH และกรณีติดตั้งระบบปรับอากาศ ร่วมกับระบบดูดความชื้น สามารถลดความชื้นได้ $1.7 \text{ g}_w/\text{kg}_{da}$ (14%) และภาระการทำงานของระบบปรับอากาศแบบแยกส่วนลดลง 0.71 kW หรือ สามารถลดพลังงานในการทำงานของระบบปรับอากาศได้ประมาณร้อยละ 19.26 ซึ่งสามารถประหยัดค่าใช้จ่ายได้ 3,302 บาทต่อปี ที่เวลาทำงาน 12 ชั่วโมงต่อวัน วันทำงาน 300 วันต่อปี ค่าไฟฟ้า 3.9 บาท/kWh และ ค่าพลังงานไฟฟ้าเป็น 3 เท่าของพลังงานความร้อน (Dhar and Singh, 2001)

5.5 สรุป

จากผลการศึกษาการประยุกต์ใช้สารดูดความชื้นเพื่อลดความชื้นของอาคารก่อนเข้าสู่ระบบปรับอากาศของอาคาร พบร่วมว่า สารดูดความชื้นมีความสามารถในการลดความชื้นสูงสุด 4.16 g_w/min และมีความสามารถดักจับความชื้นสูงสุด 26.01 g_w/min โดยถ้ามีประสิทธิ์สมรรถนะของ กองล้อดูดความชื้นมีค่า 0.25 ที่อุณหภูมิอากาศ 27.5°C อัตราส่วนความชื้นอากาศ 19 g_w/kg_{da} อุณหภูมิอากาศในการถ่ายความชื้น 55°C อัตราการไหลอากาศ 1.0 kg/min อัตราการไหลอากาศในการถ่ายความชื้น 1.0 kg/min และความเร็วของกองล้อดูดความชื้น 2.5 rpm ซึ่งระบบดูดความชื้นสามารถลดความชื้นได้ 1.7 g_w/kg_{da} (14%) และภาระการทำงานลดลงประมาณร้อยละ 19.26

บทที่ 6

บทสรุปและข้อเสนอแนะ

6.1 บทสรุป

การศึกษา และวิจัยการประยุกต์ใช้สารคูดความชื้นเพื่อลดความชื้นของอากาศก่อนเข้าสู่ระบบปรับอากาศของอาคาร โดยมีวัตถุประสงค์เพื่อการลดใช้พลังงานของระบบปรับอากาศ โดยการลดภาระความร้อนแห้งที่เกิดจากความชื้นในอากาศ ซึ่งได้ทำการออกแบบและทดสอบระบบทำความเย็นด้วยสารคูดความชื้น และมีการจำลองระบบด้วยโปรแกรม Energy Plus version 1.4 การทดลองได้ใช้กังล้อคูดความชื้นที่มีขนาดเส้นผ่าศูนย์กลาง 0.5 m ความหนา 0.2 m และปริมาณซิลิกาเจล 15 kg โดยมีอัตราส่วนระหว่างช่องว่างอากาศต่อปริมาตรของกังล้อคูดความชื้นประมาณ 0.3 และมีสัดส่วนระหว่างพื้นที่ลดความชื้นในอากาศต่อพื้นที่ cavity ความชื้นออกอากาศ ความชื้นเป็น 1:1 (0.01 m^2) สรุปได้ว่าสารคูดความชื้นมีความสามารถลดความชื้นสูงสุด 4.16 g_w/min และมีความสามารถดักจับความชื้นสูงสุด 26.01 g_w/min โดยสัมประสิทธิ์สมรรถนะของกังล้อคูดความชื้นมีค่า 0.25 ที่อุณหภูมิอากาศ 27.5°C อัตราส่วนความชื้นอากาศ 19 g_w/kg_{da} อุณหภูมิอากาศในการ cavity ความชื้น 55°C อัตราการไหลอากาศ 1.0 kg/min อัตราการไหลอากาศในการ cavity ความชื้น 1.0 kg/min ความเร็วของกังล้อคูดความชื้น 2.5 rpm ซึ่งระบบคูดความชื้นสามารถลดความชื้นได้ 1.7 g_w/kg_{da} (14%) และภาระการทำความเย็นของระบบปรับอากาศแบบแยกส่วนลดลงร้อยละ 19.26

6.2 ข้อเสนอแนะ

1. จากผลการทดลองพบว่า กรณีที่ลดความชื้นในอากาศโดยไม่มีการ cavity ความชื้นออกจากสารคูดความชื้น อัตราการลดความชื้นในอากาศจะมีค่าสูงในช่วงแรกของการทดลอง และจะมีค่าลดลงเมื่อเวลาผ่านไป แสดงดังรูปที่ 5.1 5.2 5.3 และ 5.4 ซึ่งในกรณีที่มีการ cavity ความชื้นออกจากสารคูดความชื้น อัตราการลดความชื้นในอากาศจะมีน้อยกว่าในช่วงแรก แสดงดังรูปที่ 5.11 5.12 5.13 5.14 5.15 และ 5.16 ซึ่งอาจเกิดจากการรั่วไหลของอากาศ หรือเกิดจากการถ่ายเทความร้อนระหว่างกระบวนการลดความชื้นและการ cavity ความชื้น ดังนั้น ควรป้องกันการรั่วไหลของอากาศโดยการใช้แผ่นยางทนไฟหรือวัสดุอื่นๆ ในการอุดรอยรั่วบริเวณช่วงต่อระหว่าง 2

กระบวนการ และป้องกันการถ่ายเทความร้อนโดยการหุ้มฉนวนกันความร้อนที่ช่วยลดความชื้นด้วยสารดูดความชื้นแบบใช้กงล้อดูดความชื้น

2. จากการศึกษาตัวแปรต่างที่ส่งผลต่อการทำงานของระบบลดความชื้นด้วยสารดูดความชื้นแบบใช้กงล้อดูดความชื้น ได้แก่ อุณหภูมิอากาศ ความชื้นอากาศ อัตราการไห้อากาศ อุณหภูมิอากาศในการถ่ายความชื้น อัตราการไห้อากาศในการถ่ายความชื้น และความเร็วของลม กล้องดูดความชื้น พบว่า อุณหภูมิของอากาศและอัตราการไห้อากาศ เป็นตัวแปรที่ส่งผลต่ออัตราการลดความชื้นในอากาศ อัตราการถ่ายความชื้นออกจากรากดูดความชื้น และค่าสัมประสิทธิ์สมรรถนะของกล้องดูดความชื้นมากกว่าตัวแปรอื่นๆ แสดงดังรูปที่ 5.5 5.10 และ 5.17 ดังนั้น หากมีการศึกษาหรือประยุกต์ใช้วิธีการลดความชื้นด้วยสารดูดความชื้น จึงควรกำหนดค่าตัวแปรที่ใช้ในการทดลองให้เหมาะสมกับสภาพอากาศและการใช้งาน

3. จากผลการทดสอบระบบปรับอากาศร่วมกับระบบดูดความชื้นช่วงเวลา 9.00 น. ถึง 21.00 น. พบว่า ที่สภาพอากาศภายในห้องมีค่าเฉลี่ย 30.3°C 72.7% แสดงดังรูปที่ 5.21 โดยระบบดูดความชื้นสามารถลดความชื้นได้ $1.7 \text{ g}_w/\text{kg}_{da}$ (14%) ภาระการทำความเย็นของระบบปรับอากาศแบบแยกส่วนลดลงประมาณร้อยละ 19.26 ซึ่งสังเกตได้ว่าหลังจากเวลา 19:00 น. ความชื้นในอากาศภายในห้องมีค่าสูงถึง 90%RH ทำให้อัตราส่วนการถ่ายความร้อนเพิ่มสูงขึ้น ดังนั้น หากมีการลดความชื้นของอากาศในเวลากลางคืนด้วย จะทำให้ภาระการทำความเย็นของระบบปรับอากาศลดลงได้มากขึ้น และในกรณีที่สามารถหาแหล่งพลังงานที่ใช้ในการถ่ายความชื้นที่มีราคาต่ำหรือได้เปล่า เช่น การใช้พลังงานจากแสงอาทิตย์ หรือความร้อนที่จากคอมเพรสเซอร์ จะทำให้ระบบมีความคุ้มทุนทางด้านเศรษฐศาสตร์มากยิ่งขึ้น

4. จากการวิจัยในครั้งนี้ ได้ใช้สารดูดความชื้นชนิดของแข็ง คือ ซิลิกาเจล ซึ่งมีความสามารถในการลดความชื้นในอากาศได้ดีในช่วงการใช้งานที่สภาพอากาศ $20-90^{\circ}\text{C}$ ความชื้นสัมพัทธ์ 40-90% ดังนั้นหากต้องการนำไปใช้ในสภาพอื่นๆ ควรมีการศึกษาสารดูดความชื้นชนิดอื่นๆเพิ่มเติม เช่น ชนิดเพาเวอร์คราฟท์ที่มีความสามารถในการดูดความชื้นประมาณ 50% ของน้ำหนัก หรือ ชนิดโอมิเลคิวลาดีฟที่มีคุณสมบัติในการดูดความชื้นที่ดีกวายได้ความชื้นสัมพัทธ์ต่ำประมาณ 10-30%

5. จากการสืบค้นเอกสารเพิ่มเติมทางด้านสารดูดความชื้นชนิดของเหลว เช่น ลิเทียมคลอไรด์ โดยอาศัยการทำงานของสารละลายของสารดูดความชื้นในการดึงความชื้นออกจากอากาศ ซึ่งระบบจะประกอบด้วย 3 ส่วนหลัก คือ ส่วนดูดความชื้น ส่วนถ่ายความชื้น และส่วนปั๊มความร้อน โดยมีการใช้พลังงานหลักที่ส่วนปั๊มความร้อน จึงทำให้มีการใช้พลังงานที่น้อย ซึ่งเป็นระบบลดความชื้นของอากาศที่มีการศึกษาเพิ่มเติม

บรรณานุกรม

- กฤษ ตราด. 2544. การปรับปรุงระบบทำความเย็นแบบประหยัดโดยการเพิ่มกระบวนการลดความชื้น.
วิทยานิพนธ์วิศวกรรมศาสตร์มหาบัณฑิต, สาขาวิชาเทคโนโลยีพลังงาน คณะพลังงานและวัสดุ, มหาวิทยาลัยเทคโนโลยีพระจอมเกล้าธนบุรี.
- กำพล ประทีปชัยกุร. 2543. การทำความเย็นและการปรับอากาศ. สาขา: คณะวิศวกรรม
มหาวิทยาลัยสหลักษณ์ครินทร์.
- จุฑามาส ภควัตบริรักษ์. 2546. การวิเคราะห์สมรรถนะปั๊มความร้อนทำงานร่วมกับสารดูดความชื้น
ชนิดแข็งในกระบวนการอบแห้ง. วิทยานิพนธ์วิศวกรรมศาสตร์มหาบัณฑิต, สาขาวิชา
วิศวกรรมพลังงาน คณะวิศวกรรมศาสตร์, มหาวิทยาลัยเชียงใหม่.
- ทพนงเกียรติ เกียรติศิริโจนน. 2535. เออร์โน่ ไกด์มิกส์ II. พิมพ์ครั้งที่ 3. กรุงเทพฯ: สถาบัน
เทคโนโลยีพระจอมเกล้าธนบุรี.
- บุญเรือง นานะสุวรรณ. 2542. เศรษฐศาสตร์วิศวกรรม. สาขา: คณะวิศวกรรม
มหาวิทยาลัยสหลักษณ์ครินทร์.
- พิสุทธิ์ กลิ่นขจร. 2543. การควบคุมความชื้นของอากาศโดยสารดูดความชื้นของแข็ง. วิทยานิพนธ์
วิศวกรรมศาสตร์มหาบัณฑิต, สาขาวิชาเทคโนโลยีอุณหภพ คณะพลังงานและวัสดุ,
มหาวิทยาลัยเทคโนโลยีพระจอมเกล้าธนบุรี.
- ยุทธพงษ์ ภู่ทอง. 2545. การลดความชื้นและความร้อนแห้งที่ถืออยู่เย็นโดยใช้สารดูดความชื้น.
วิทยานิพนธ์วิศวกรรมศาสตร์มหาบัณฑิต, สาขาวิชาเทคโนโลยีอุณหภพ คณะพลังงาน
และวัสดุ, มหาวิทยาลัยเทคโนโลยีพระจอมเกล้าธนบุรี.
- รัชนีวรรัตน์ เจริญวัฒน์. 2544. การศึกษาความเป็นไปได้ในการลดความชื้นในอากาศในระบบปรับ
อากาศเบต้าร้อนสำหรับประเทศไทย. วิทยานิพนธ์วิศวกรรมศาสตร์มหาบัณฑิต, สาขาวิชา
เทคโนโลยีพลังงาน คณะพลังงานและวัสดุ, มหาวิทยาลัยเทคโนโลยีพระจอมเกล้าธนบุรี.
- วันพุทธ แซ่ชั่ว. 2544. การศึกษาความเป็นไปได้ของระบบปรับอากาศในประเทศไทยโดยใช้สารดูด
ความชื้น. วิทยานิพนธ์วิศวกรรมศาสตร์มหาบัณฑิต, สาขาวิชาเทคโนโลยีพลังงาน คณะ
พลังงานและวัสดุ, มหาวิทยาลัยเทคโนโลยีพระจอมเกล้าธนบุรี.
- สถาพร ทองวิค. 2543. การลดการใช้พลังงานในระบบปรับอากาศด้วยสารดูดความชื้นชนิดแข็ง.
วิทยานิพนธ์วิศวกรรมศาสตร์มหาบัณฑิต, สาขาวิชาชีววิศวกรรมเครื่องกล คณะ
วิศวกรรมศาสตร์, มหาวิทยาลัยเชียงใหม่.

บรรณานุกรม (ต่อ)

- เสนี๊ ใจอ่อน. 2543. การปรับปรุงสภาพอากาศในห้องที่มีการระบายอากาศด้วยปล่อยระบายอากาศโดยใช้สารดูดความชื้นเชิงอุตสาหกรรม. วิทยานิพนธ์วิศวกรรมศาสตรมหาบัณฑิต, สาขาวิชาเทคโนโลยีพลังงาน คณะพลังงานและวัสดุ, มหาวิทยาลัยเทคโนโลยีพระจอมเกล้าธนบุรี.
- อิทธิศักดิ์ คล้ายมงคล. 2545. การปรับอากาศด้วยสารดูดความชื้นร่วมกับเครื่องทำความเย็นแบบระเหยโดยทางอ้อม. วิทยานิพนธ์วิศวกรรมศาสตรมหาบัณฑิต, สาขาวิชาเทคโนโลยีอุณหภพ คณะพลังงานและวัสดุ, มหาวิทยาลัยเทคโนโลยีพระจอมเกล้าธนบุรี.
- Ahmed, M.H., Kattab, N.M. and Fouad, M., 2005, "Evaluation Optimization Solar Desiccant Wheel Performance," *Renewable Energy*, Vol. 30, pp. 305-325.
- ANSI/ASHRAE Standard 55-1992. 1992. *Thermal Environmental Conditions for Human Occupancy*. Atlanta: ASHRAE, Inc.
- ANSI/ASHRAE Standard 62-1999. 1999. *Ventilation for Acceptable Indoor Air Quality*. Atlanta: ASHRAE, Inc.
- ASHRAE Handbook. 1989. *Fundamentals Volume*. Atlanta: ASHRAE, Inc.
- Burns, P.R., Mitchell, J.W. and Beckman W.A., 1985, "Hybrid Desiccant Cooling Systems in Super Market Applications," *ASHRAE Trans* 91 (Part-1B), pp. 457-468.
- Carrier Corporation. 1965. *Handbook of Air Conditioning System Design*. New York: McGraw-Hill.
- Dhar, P.L. and Singh, S.K., 2001, "Studies on Solid Desiccant Based Hybrid Air-Conditioning Systems," *Applied Thermal Engineering*, Vol. 21, pp 119-134.
- Douglas Kosar. 1990. Desiccant Dryers. *Handbook of HVAC Design*, Nils R. Grimm and Robert C. Rosaler. pp. 39.1-39.25. America: McGraw-Hill.
- Wurtz, E., Maalouf, C., Mora, L., Allard, F., 2005, "Parametric Analysis of a Solar Desiccant Cooling System Using the SIMSPARK Environment," The 9th International IBPSA Conference, August 15-18, 2005, Montréal, Canada.
- Henning, H.M., Erpenbeck, T. and Hindenberg, C., 2001, "The Potential of Solar Energy Use in Desiccant Cooling Cycles," *International Journal of Refrigeration*, Vol. 24, pp 220-229.

บรรณานุกรม (ต่อ)

- Holliday, S.P., Beggs, C.B. and Sleigh, P.A., 2002, “The Use of Solar Desiccant Cooling in the UK A Feasibility Study,” *Applied Thermal Engineering*, Vol. 22, pp 1327–1338.
- Jan F. Kreider and Ari Rabl. 1994. *Heating and Cooling of Buildings Design for Efficiency*. Singapore: McGraw-Hill.
- Jia, C.X., Dai, Y.J., Wu, J.Y. and Wang, R.Z., 2006, “Analysis on a Hybrid Desiccant Air-Conditioning System,” *Applied Thermal Engineering*, Vol. 26, pp 2393–2400.
- Jia, C.X., Dai, Y.J., Wu, J.Y. and Wang, R.Z., 2006, “Use of Compound Desiccant to Develop High Performance,” *International Journal of Refrigeration*, pp 1-9.
- Kanoglu, M., Carpinlioglu, M.O. and Yildirim, M., 2004, “Energy and Exergy Analyses of an Experimental Open-Cycle Desiccant Cooling System,” *Applied Thermal Engineering*, Vol. 24, pp 919-932.
- Khedari, J., Sangprajak A. and Hirunlabh J., 2001, “Thailand Climatic Zones,” *Renewable Energy*, Vol. 25, pp. 267-280.
- Khedari, J., Yamtraipat, N., Pratintong N. and Hirunlabh, J., 2000, “Thailand Ventilation Comfort Chart,” *Energy and Building*, Vol.32, pp. 245-249.
- Kodama, A., Hirayama, T., Goto, M., Hirose, T. and Critoph, R.E., 2001, “The Use of Psychrometric Charts for the Optimisation of a Thermal Swing Desiccant Wheel,” *Applied Thermal Engineering*, Vol. 21, pp 1657-1674.
- Lu, S.M. and Yan, W.J., 1995, “Development and Experimental Validation of Full-Scale Solar Desiccant Enhanced Radiative Cooling. *Renewable Energy*, Vol. 6, no. 7, pp 821-827.
- Mazzei, P., Minichiello, F. and Palma, D., 2005, “HVAC Dehumidification Systems for Thermal Comfort; a critical review, *Applied Thermal Engineering*, Vol. 25, pp 677–707.
- McQuiston, Jerald D. Parker, Jeffrey D. Spitler. 2005. *Heating, Ventilating, and air conditioning : analysis and design*. America: JohnWiley & Sons, Inc.
- Neti, S. and Wolfe, E.I., 2000, “Measurements of Effectiveness in a Silica Gel Rotary Exchanger,” *Applied Thermal Engineering*, Vol. 20, pp 309-322.
- Nia, F.E., Paassen, D.V. and Saidi, M.H., 2006, “Modeling and Simulation of Desiccant Wheel for Air Conditioning,” *Energy and Building*, Vol. 38, pp 1230-1239.

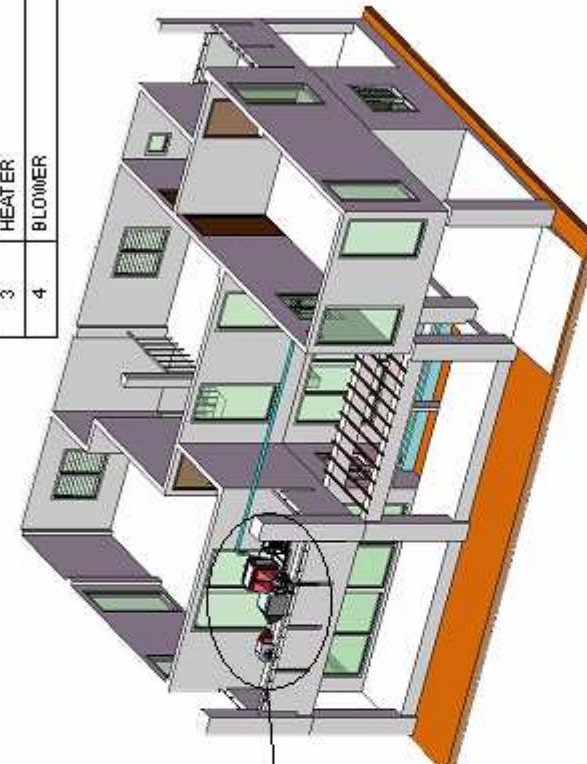
បររណានុករម (ពេទ្យ)

- Person, B.K., Pesaran, A.A., Bharathan, D., and Shelpuk, B., 1989, "Improving Gas-Fired Heat Pump Capacity and Performance by Adding a Desiccant Dehumidification Subsystem," ASHRAE Transactions, Part I, pp. 835-844.
- Pramuang, S. and Exell, R.H.B., 2006, "The Regeneration of Silica Gel Desiccant by Air from a Solar Heater with a Compound Parabolic Concentrator, technical note," Renewable Energy.
- Techajunta, S., Chirarattananon S. and Exell, R.H.B., 1999, "Experimental in Solar Simulation on Solid Desiccant Regeneration and Air Dehumidification for Air Conditioning in a Tropical Humid Climate," Renewable Energy, Vol. 17, pp. 549-568.
- Wang, S.K. 1994. *Handbook of Air Conditioning and Refrigeration*. America: McGraw-Hill.
- Yunus A. Cengel and Michael A. Boles. 2006. *Thermodynamics An Engineering Approach Fifth Edition in SI Units*. Singapore: McGraw-Hill.
- Zhang, L.Z. and Niu, J.L., 2002, "Performance Comparisons of Desiccant Wheels for Air Dehumidification and Enthalpy Recovery," Applied Thermal Engineering, Vol. 22, pp 1347-1367.

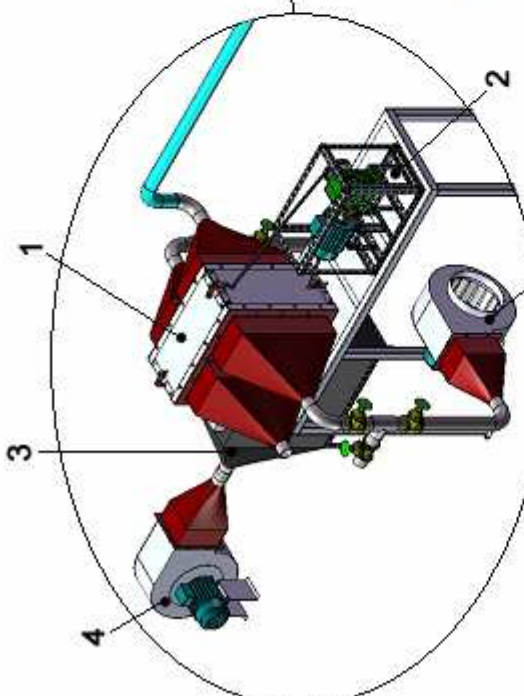
ภาคผนวก

ภาคผนวก ก
ระบบลดความชื้นโดยสารดูดความชื้น

NUMBER	PARTICULAR	DETAIL
1	DESICCANT WHEEL	SEE CODE A01
2	MOTOR & REDUCER	SEE CODE B01
3	HEATER	SEE CODE Q01
4	BLOWER	SEE CODE D01



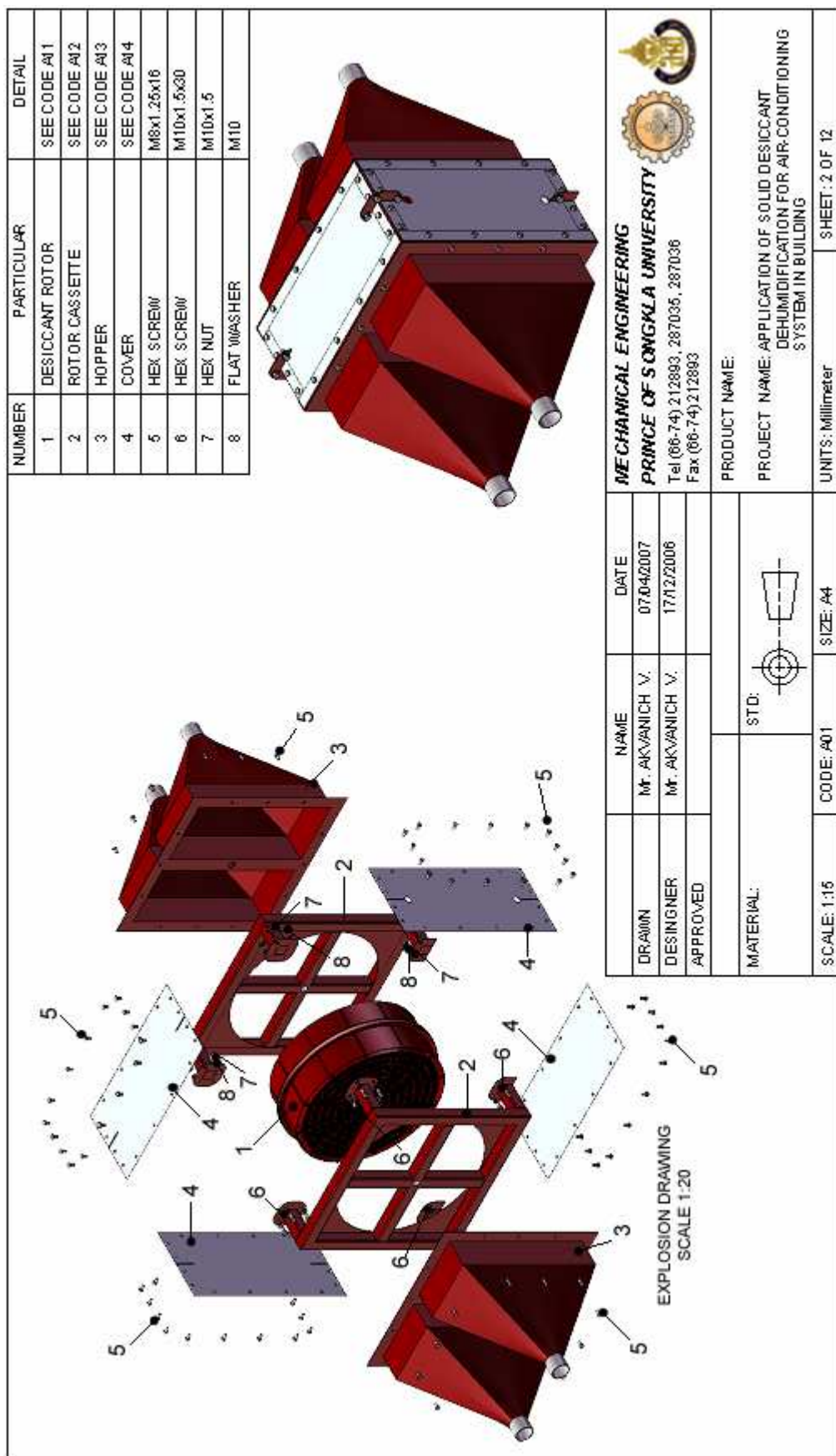
DETAIL A
SCALE 1:30



NAME	DATE
DRAWN DESIGNER APPROVED	Mr. AKVANICH V. Mr. AKVANICH V. 17/12/2006
STDO.	STDO:
SCALE: 1:120	CODE: A4
SIZE: A4	UNIT: Millimeter
PROJECT NAME: APPLICATION OF SOLID DESCICANT DEHUMIDIFICATION FOR AIR CONDITIONING SYSTEM IN BUILDING	
SHEET: 1 OF 12	

รูปที่ ๑ สำหรับแสดงความถูกต้องของความชื้นโดยสารของความชื้น

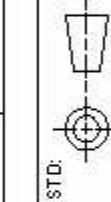
NUMBER	PARTICULAR	DETAIL
1	DESICCANT ROTOR	SEE CODE A1
2	ROTOR CASSETTE	SEE CODE A2
3	HOPPER	SEE CODE A3
4	COVER	SEE CODE A4
5	HEX SCREW	M8x1.25x16
6	HEX SCREW	M10x1.5x30
7	HEX NUT	M10x1.5
8	FLAT WASHER	M10



EXPLORSION DRAWING
SCALE 1:20

5

MECHANICAL ENGINEERING
PRINCE OF SONGKLA UNIVERSITY

STO: 

PRODUCT NAME:
PROJECT NAME: APPLICATION OF SOLID DESCICCANT
DEHUMIDIFICATION SYSTEM FOR AIR CONDITIONING
SYSTEM IN BUILDING

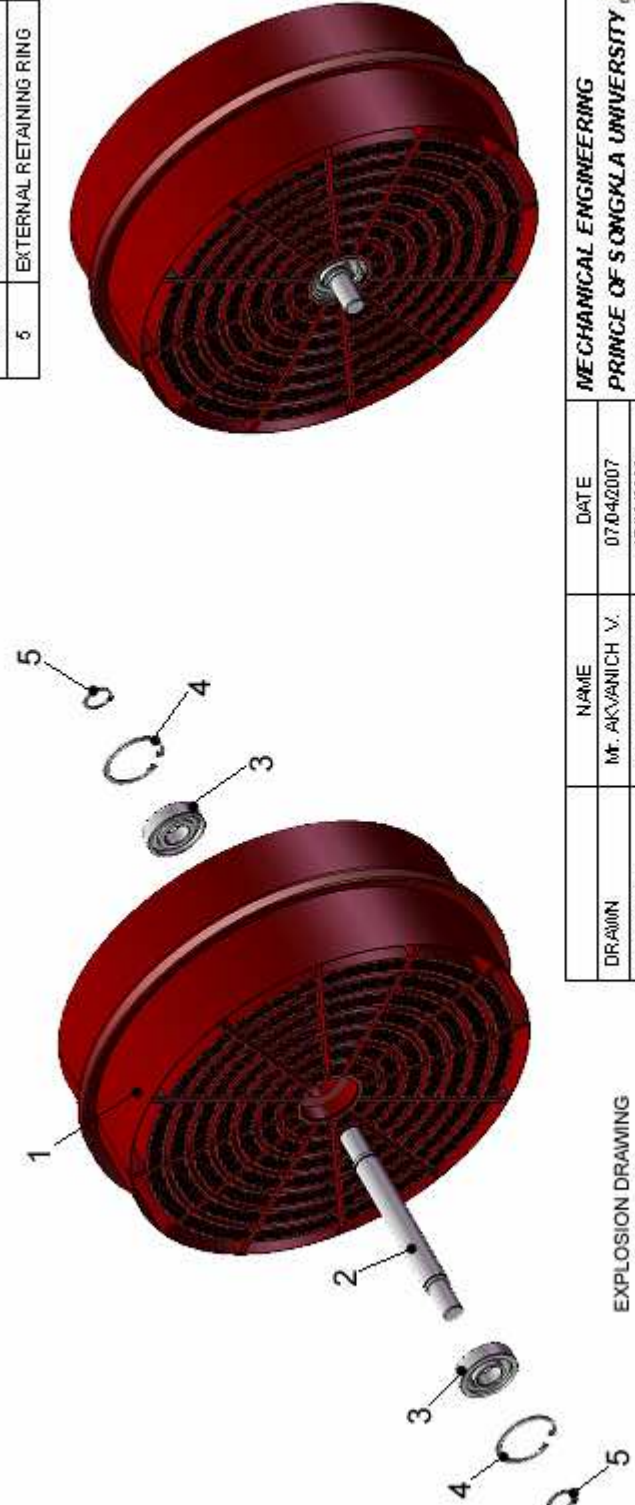
UNITS: Millimeter

SCALE: 1:16 CODE: A01 SIZE: A4 SHEET: 2 OF 12

5

รูปที่ ก 2 ชุดยุบการณ์กังหันดูดความชื้น

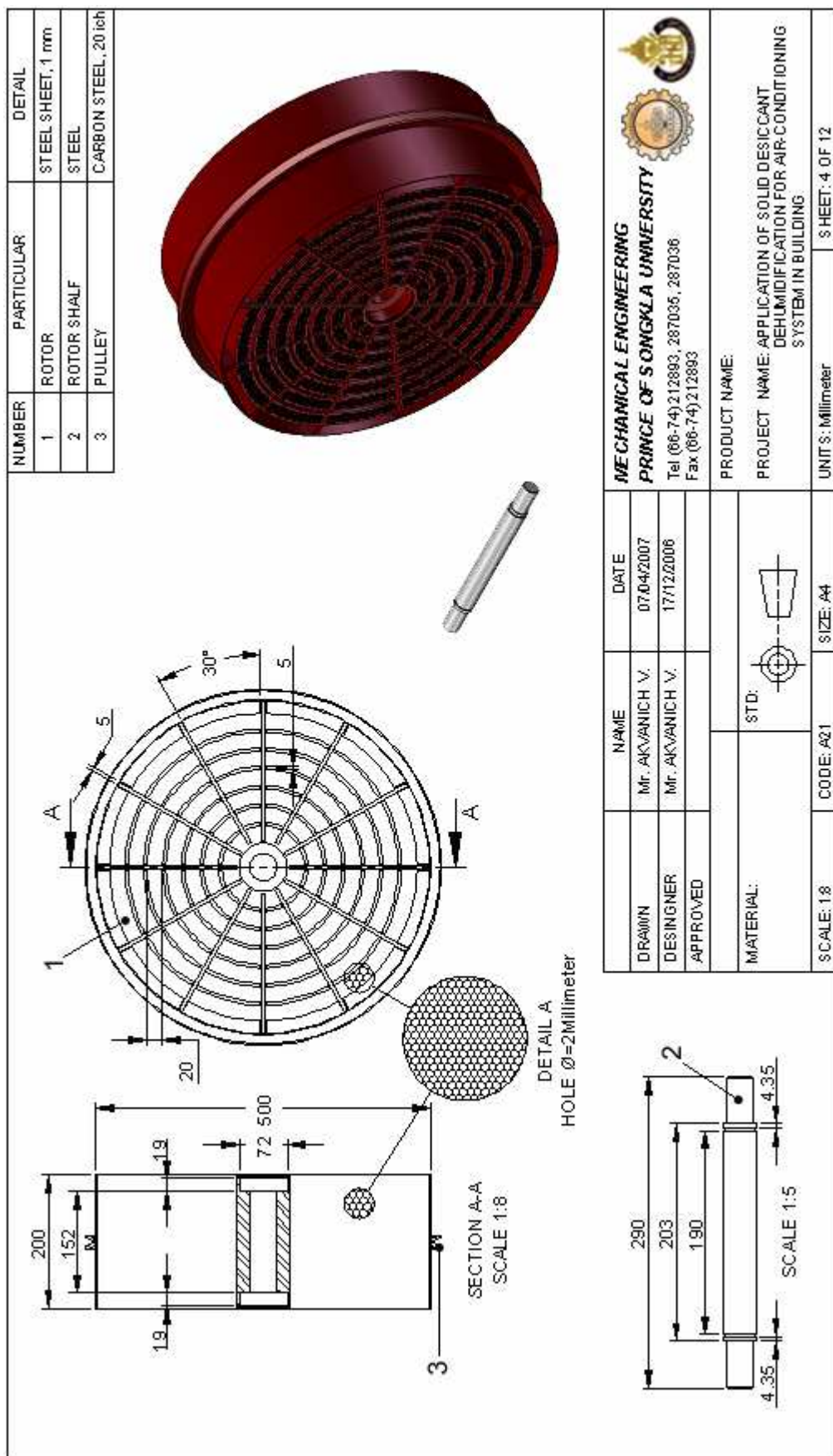
NUMBER	PARTICULAR	DETAIL
1	ROTOR	SEE CODE A1
2	ROTOR SHAFT	SEE CODE A1
3	BALL BEARING	DIN 628
4	INTERNAL RETAINING RING	DIN 472
5	EXTERNAL RETAINING RING	DIN 471



EXPLOSION DRAWING
SCALE 1:8

NAME	DATE	MECHANICAL ENGINEERING
DRAWN DESIGNER	Mr. AKVANICH V. Mr. AKVANICH V.	07/04/2007 17/12/2006
APPROVED		Tel (66-74) 212893, 287036, 287036 Fax (66-74) 212893
MATERIAL:	STD:	PROJECT NAME: APPLICATION OF SOLID DESCICCANT DEHUMIDIFICATION FOR AIR CONDITIONING SYSTEM IN BUILDING
SCALE: 1:8	CODE: A11	SIZE: A4
		UNITS: Millimeter
		SHEET: 3 OF 12

รูปที่ ก 3 ก งล้อดูดความชื้น

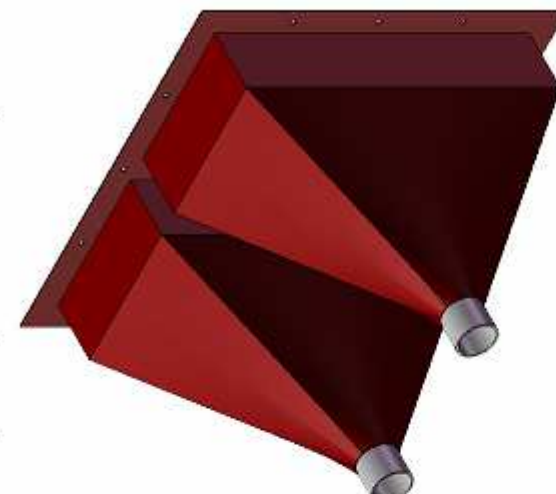
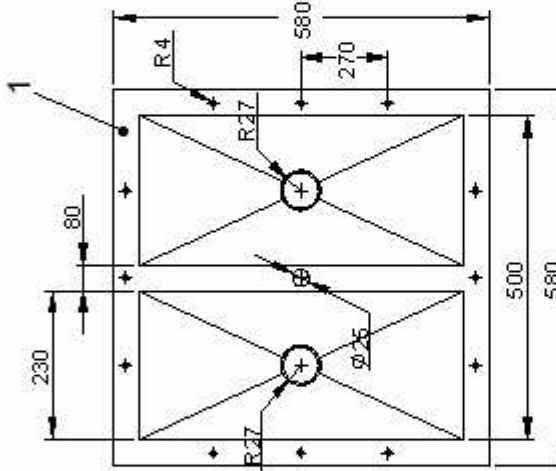
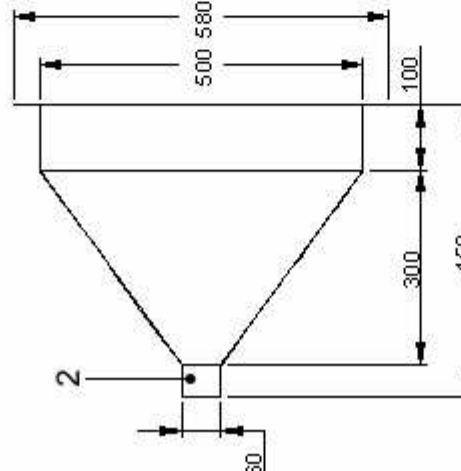
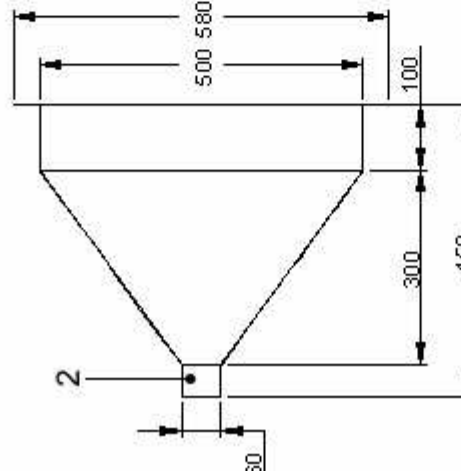


รูปที่ 4 ร่างแบบอิเล็กทรอนิกส์ของกล้องดูความชื้น

NUMBER		PARTICULAR	DET A11								
1	ROTOR CASSETTE	SQUARE TUBE, 40x40									
<table border="1"> <thead> <tr> <th>NAME</th> <th>DATE</th> </tr> </thead> <tbody> <tr> <td>DRAWN Mr. ARVANICH V.</td> <td>07/04/2007</td> </tr> <tr> <td>DESIGNER Mr. ARVANICH V.</td> <td>17/12/2006</td> </tr> <tr> <td>APPROVED</td> <td></td> </tr> </tbody> </table>				NAME	DATE	DRAWN Mr. ARVANICH V.	07/04/2007	DESIGNER Mr. ARVANICH V.	17/12/2006	APPROVED	
NAME	DATE										
DRAWN Mr. ARVANICH V.	07/04/2007										
DESIGNER Mr. ARVANICH V.	17/12/2006										
APPROVED											
MATERIAL:	ST30:	PRODUCT NAME: PROJECT NAME: APPLICATION OF SOLID DESICCANT DEHUMIDIFICATION FOR AIR CONDITIONING SYSTEM IN BUILDING									
SCALE: 1:8	CODE: A12	SIZE: A4	UNITS: Millimeter								
			SHEET: 5 OF 12								

รูปที่ 5 รากคาลเม็ดดูดของ ตู้ระบายความชื้น

NUMBER	PARTICULAR	DETAIL
1	HOPPER	STEEL SHEET, 1 mm
2	TUBE	STEEL TUBE, 2 inch


MECHANICAL ENGINEERING
PRINCE OF SONGKLA UNIVERSITY

Tel (66-74) 212893, 287036, 287038
Fax (66-74) 212893

PRODUCT NAME:

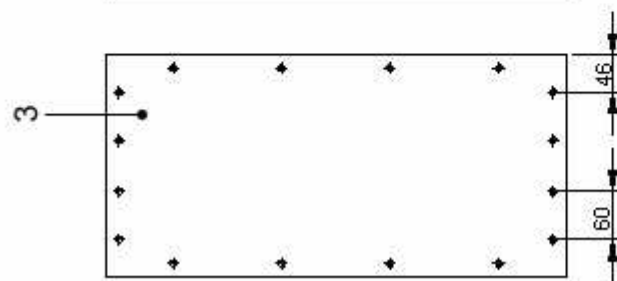
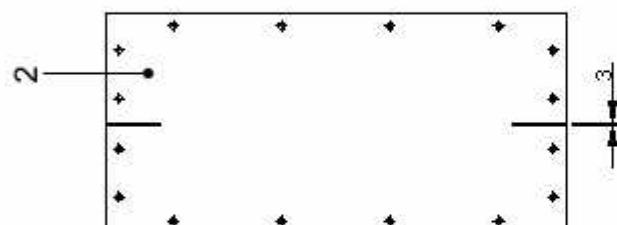
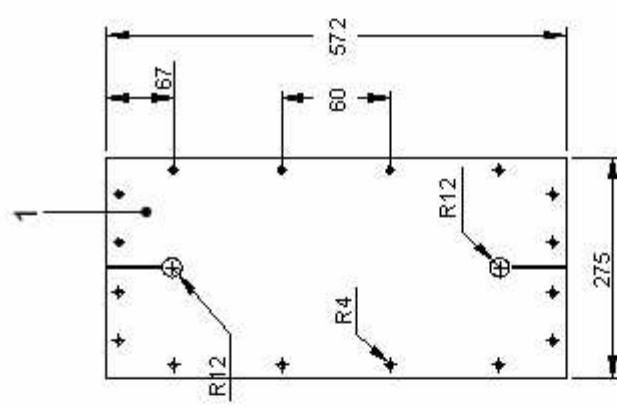
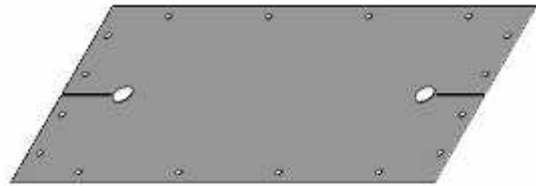
PROJECT NAME: APPLICATION OF SOLID DESCICCANT
DEHUMIDIFICATION FOR AIR-CONDITIONING
SYSTEM IN BUILDING

UNITS: Millimeter

SHEET: 6 OF 12

แบบที่ ก ๖ ร่างแบบอิเล็กทรอนิกส์

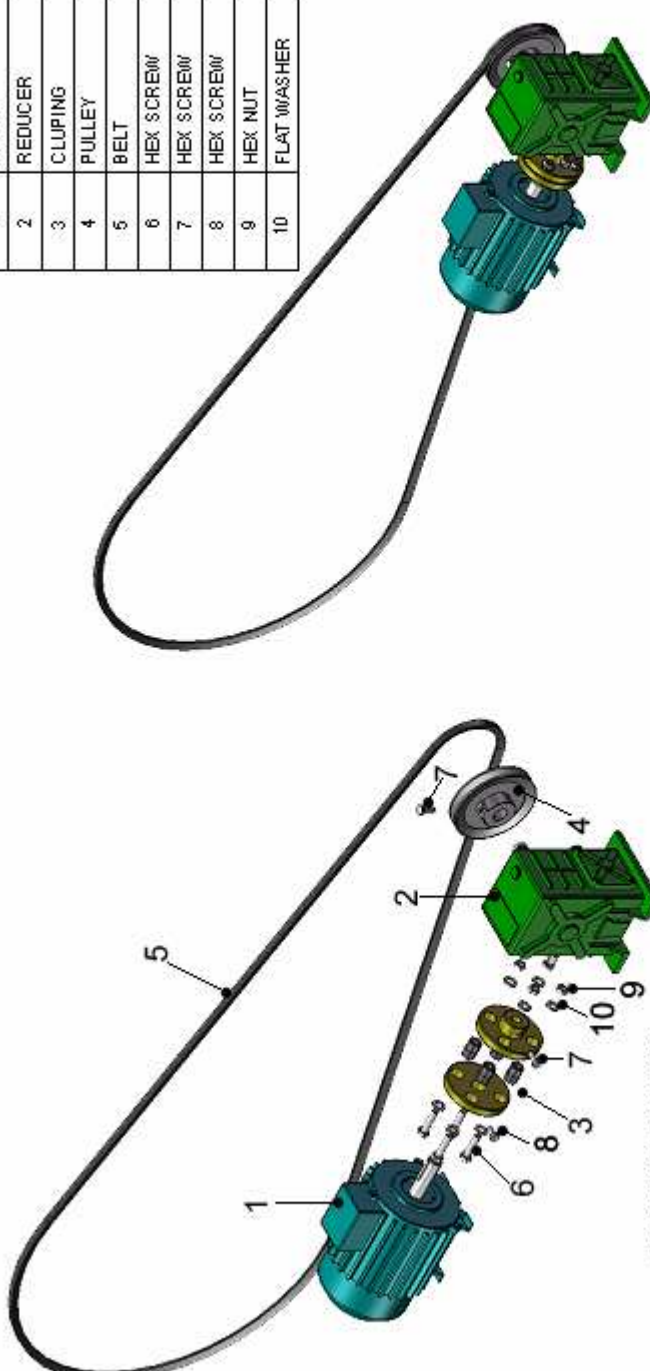
NUMBER	PARTICULAR	DETAIL
1	COVER RIGHT SIDE	METAL SHEET, 0.2 mm
2	COVER LEFT & TOP SIDE	METAL SHEET, 0.2 mm
3	COVER BOTTOM SIDE	METAL SHEET, 0.2 mm



	Mechanical Engineering	PRINCE OF SONGKLA UNIVERSITY	APPLICATION OF SOLID DESCICCANT DEHUMIDIFICATION FOR AIR-CONDITIONING SYSTEM IN BUILDING
DRAWN BY	Mr. AKYANICH V.	DATE	07/04/2007
DESIGNER	Mr. AKYANICH V.		17/12/2006
APPROVED			
MATERIAL:	STD:	PRODUCT NAME:	PROJECT NAME: APPLICATION OF SOLID DESCICCANT DEHUMIDIFICATION FOR AIR-CONDITIONING SYSTEM IN BUILDING
SCALE: 1:8	CODE: A14	SIZE: A4	UNIT: Millimeter
			SHEET: 7 OF 12

รุ่งปที ก 7 รายละเอียดของผู้บิด โครง Kong ล้อดูดความร้อน

NUMBER	PARTICULAR	DET A11
1	MOTOR	SEE CODE B11
2	REDUCER	SEE CODE B11
3	CLIPING	SEE CODE B12
4	PULLEY	SEE CODE B12
5	BELT	V-BELT, B113
6	HEX SCREW	M10x1.5x40
7	HEX SCREW	M8x1.25x20
8	HEX SCREW	M8x1.25x10
9	HEX NUT	M10x1.25
10	FLAT WASHER	M10



EXPLOSION DRAWING
SCALE 1:8

DRAWN	Mr. AKVANICH V.	DATE	MECHANICAL ENGINEERING
DESIGNER	Mr. AKVANICH V.		PRINCE OF SONGKLA UNIVERSITY
APPROVED			Tel (06-74) 212893, 287036, 287036 Fax (06-74) 212893
MATERIAL:	STD:	PRODUCT NAME	PROJECT NAME: APPLICATION OF SOLID DESICCANT DEHUMIDIFICATION SYSTEM FOR AIR CONDITIONING SYSTEM IN BUILDING
SCALE: 1:8	CODE: B01	SIZE: A4	UNITS: Millimeter
			SHEET: 8 OF 12

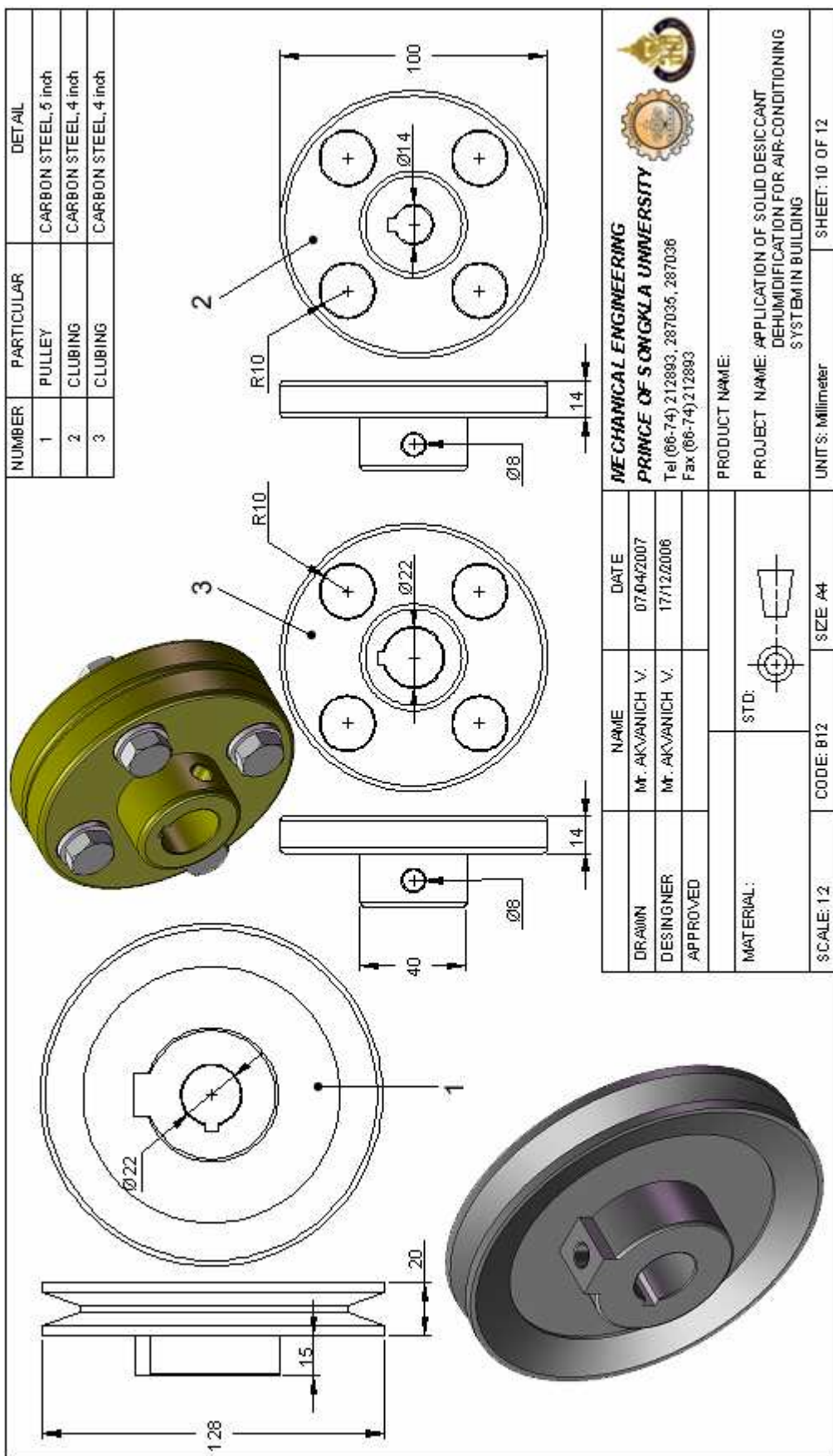
รูปที่ 8 ชุดรับแรงบิดของสายรัดและจุดกีบกรด

NUMBER	PARTICULAR	DET A1
1	MOTOR 3-PHASE, 1HP	
2	REDUCER SPEED REDUCER 1:60	

MOTOR
REDUCER ASSEMBLY

NAME	DATE	MECHANICAL ENGINEERING
DRAWIN	07/04/2007	PRINCE OF SONGKLA UNIVERSITY
DESINGER	Mr. AKVANICH V.	Tel (06-74)212893, 287035, 287036
APPROVED	Mr. AKVANICH V.	Fax (06-74)212893
PRODUCT NAME:		APPLICATION OF SOLID DESCANT DEHUMIDIFICATION FOR AIR CONDITIONING SYSTEM IN BUILDING
MATERIAL:	STD:	
SCALE: 1:5	CODE: B11	SIZE: A4
		UNIT: Millimeter
		SHEET: 9 OF 12

รูปที่ ก 9 รากบดเดือบคบของมอเตอร์และเกียร์ทด



รูปที่ 10 รากเดาของชิ้นงานก่อติดตามและหันแนวๆ

NUMBER	PARTICULAR	DETAIL	
		STEEL SHEET, AEROFLEX 2 inch	STEEL TUBE, 2 inch
1	HEATER		
2	TUBE		
3	STRUCTURE	L ANGLE, L35x35x3	

Technical drawing showing three views of a triangular duct system. The top view illustrates the duct's triangular shape, the central vertical tube (2), and the horizontal heater (1) at the apex. The front view provides dimensions: height of 610 mm, base width of 600 mm, and side wall thickness of 50 mm. The side view shows the depth of 500 mm and the tube's diameter of Ø60 mm. Callouts identify the parts: 1 for the heater, 2 for the tube, and 3 for the structure.



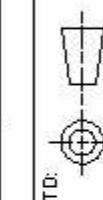
MECHANICAL ENGINEERING
PRINCE OF SONGKLA UNIVERSITY

Tel (66-74) 212893, 287035, 287036
Fax (66-74) 212893

PRODUCT NAME:

PROJECT NAME: APPLICATION OF SOLID DESCICCANT
DEHUMIDIFICATION FOR AIR CONDITIONING
SYSTEM IN BUILDING

NAME	DATE
DRAWN Mr. AKNANICH V.	07/04/2007
DESINGER Mr. AKNANICH V.	17/12/2006
APPROVED	

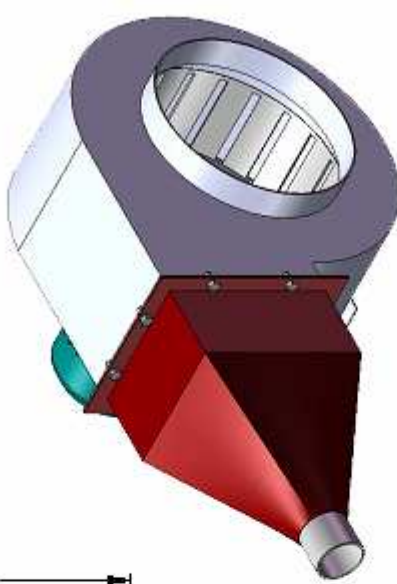
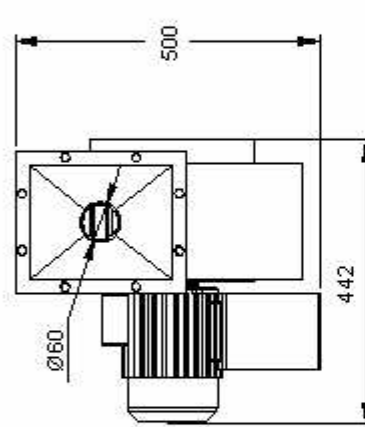
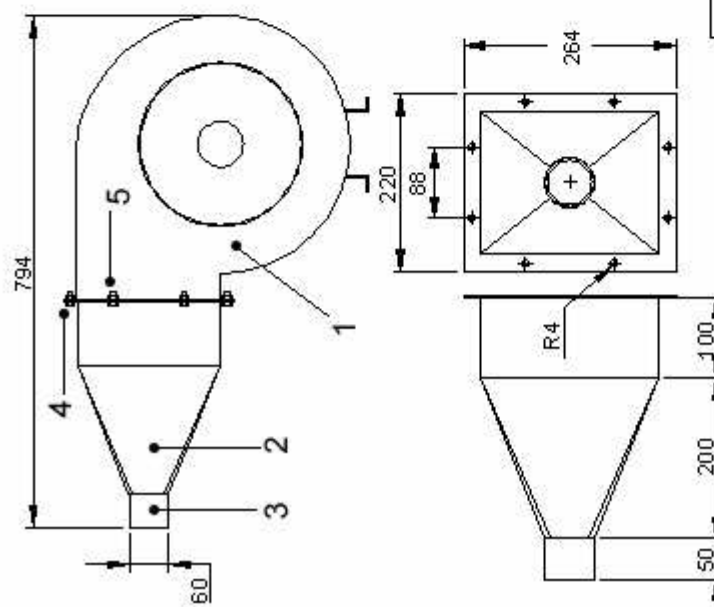
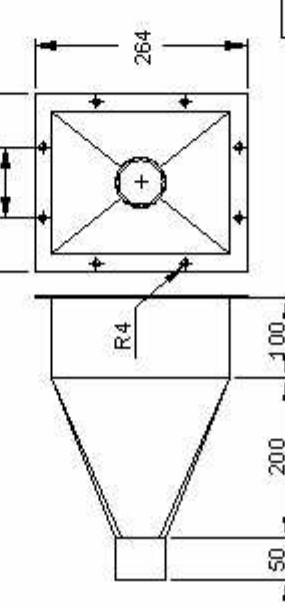


MATERIAL:	STD:

SCALE: 1:12 CODE: C01 SIZE: A4 UNIT: Millimeter SHEET: 11 OF 12

รูปที่ ๑๑ ร่างแบบอิเล็กทรอนิกส์ของโครงสร้างท่อ

NUMBER	PARTICULAR	DETAIL	
		1-PHASE, 1HP	
1	BLOWER	1-PHASE, 1HP	
2	HOPPER	STEEL SHEET, 1 mm	
3	TUBE	STEEL TUBE, 2 inch	
4	HEX SCREW	M8x1.25x16	
5	HEX NUT	M8x1.25	

HOPPER
SCALE: 1:8

DRAWN	Mr. AKVANICH V.	DATE	MECHANICAL ENGINEERING
DESIGNER	Mr. AKVANICH V.	07/04/2007	PRINCE OF SONGKLA UNIVERSITY
APPROVED		17/12/2006	Tel (66-74) 212893, 287036, 287038
			Fax (66-74) 212893
MATERIAL:	STD:	PROJECT NAME: APPLICATION OF SOLID DESCICCANT DEHUMIDIFICATION FOR AIR CONDITIONING SYSTEM IN BUILDING	PRODUCT NAME:
SCALE: 1:10	CODE: 001	SIZE: A4	UNITS: Millimeter
			SHEET: 12 OF 12

รูปที่ ก 12 ร่างแบบอิฐดินเผาพัดลมร่ออากาศ

ภาคผนวก ฯ

ข้อมูลผลการจำลองด้วยโปรแกรม EnergyPlus version 1.4

ตารางที่ ๑ ข้อมูลสภาวะอากาศภายในและภายนอกห้องปรับอากาศในช่วงเวลา 09.00 น. ถึง 21.00 น. กรณีระบบทำความเย็นพื้นที่

No.	Time [hour]	9:00	10:00	11:00	12:00	13:00	14:00	15:00	16:00	17:00	18:00	19:00	20:00	21:00
1	T_{ea} [$^{\circ}\text{C}$]	27.32	28.52	29.88	31.16	32.12	32.76	33.00	32.76	32.20	31.32	30.28	29.24	28.36
2	%RH _{ea} [%]	87.45	81.54	75.38	70.06	66.35	64.00	63.14	64.00	66.05	69.43	73.67	78.21	82.30
3	T_{ia} [$^{\circ}\text{C}$]	25.90	26.43	26.55	26.34	26.15	26.06	25.98	25.87	25.74	25.58	25.16	24.91	24.71
4	%RH _{ia} [%]	77.93	74.85	74.04	74.80	75.56	76.17	76.75	77.44	78.02	78.94	81.42	83.09	84.21

ตารางที่ ๒ ข้อมูลสภาวะอากาศภายในและภายนอกห้องปรับอากาศในช่วงเวลา 09.00 น. ถึง 21.00 น. กรณีระบบทำความเย็นร่วมกับระบบดูดความชื้น

No.	Time [hour]	9:00	10:00	11:00	12:00	13:00	14:00	15:00	16:00	17:00	18:00	19:00	20:00	21:00
1	T_{ea} [$^{\circ}\text{C}$]	27.32	28.52	29.88	31.16	32.12	32.76	33.00	32.76	32.20	31.32	30.28	29.24	28.36
2	%RH _{ea} [%]	87.45	81.54	75.38	70.06	66.35	64.00	63.14	64.00	66.05	69.43	73.67	78.21	82.30
3	T_{ia} [$^{\circ}\text{C}$]	25.91	26.41	26.59	26.41	26.15	26.11	26.02	25.92	25.80	25.58	25.15	24.93	24.73
4	%RH _{ia} [%]	49.78	50.07	51.35	53.75	55.96	57.25	58.40	58.92	59.04	58.99	58.85	57.74	56.87

ตารางที่ ๔ ชื่อและถ้าความต่ำของอากาศที่อุปกรณ์คงต้องดูดความชื้นในช่วงเวลา 09.00 น. ถึง 21.00 น. กรณีระบบทำความเย็นร่วมกับระบบดูดความชื้น

No.	Time [hour]	9:00	10:00	11:00	12:00	13:00	14:00	15:00	16:00	17:00	18:00	19:00	20:00	21:00
1	T_{id} [$^{\circ}\text{C}$]	27.32	28.52	29.88	31.16	32.12	32.76	33.00	32.76	32.20	31.32	30.28	29.24	28.36
2	%RH _{id} [%]	87.05	81.16	75.03	69.73	66.03	63.69	62.84	63.69	65.73	69.10	73.32	77.85	81.92
3	T_{od} [$^{\circ}\text{C}$]	56.15	56.37	56.62	56.87	57.06	57.19	57.23	57.19	57.07	56.90	56.70	56.50	56.34
4	%RH _{od} [%]	10.11	10.34	10.60	10.83	10.99	11.09	11.13	11.09	11.00	10.86	10.67	10.48	10.31

ตารางที่ ๕ ชื่อและถ้าความต่ำของอากาศที่อุปกรณ์คงต้องดูดความชื้นในช่วงเวลา 09.00 น. ถึง 21.00 น. กรณีระบบทำความเย็นร่วมกับระบบดูดความชื้น

No.	Time [hour]	9:00	10:00	11:00	12:00	13:00	14:00	15:00	16:00	17:00	18:00	19:00	20:00	21:00
1	T_{ih} [$^{\circ}\text{C}$]	56.15	56.37	56.62	56.87	57.06	57.19	57.23	57.19	57.07	56.90	56.70	56.50	56.34
2	%RH _{ih} [%]	10.11	10.34	10.60	10.83	10.99	11.09	11.13	11.09	11.00	10.86	10.67	10.48	10.31
3	T_{oh} [$^{\circ}\text{C}$]	33.20	33.63	33.83	33.76	33.61	33.61	33.56	33.48	33.34	33.14	32.76	32.55	32.36
4	%RH _{oh} [%]	33.09	33.41	34.26	35.54	36.70	37.27	37.60	37.54	37.34	36.94	36.76	36.19	35.71

ตารางที่ ข 5 ข้อมูลการประหัดพลังงานที่อัตราการระบายอากาศต่างๆ ที่อัตราลมจ่าย 0.64 kg/sec

Ventilation rate [kg/sec]	Energy consumption [kWh/year]		Energy saving [%]
	only air-conditioning system	add dehumidification system	
0.009	13,038	10,340	20.69
0.018	13,335	10,559	20.82
0.028	13,555	10,680	21.21
0.046	13,894	10,870	21.76
0.092	14,571	11,278	22.60
0.138	15,137	11,729	22.52
0.184	15,606	12,230	21.63
0.230	16,066	12,746	20.67
0.276	16,514	13,286	19.54
0.322	16,941	13,835	18.33
0.368	17,352	14,402	17.00
0.415	17,767	14,984	15.66
0.460	18,174	15,572	14.32
0.506	18,575	16,162	12.99
0.552	18,974	16,769	11.62

ตารางที่ ข 6 ข้อมูลการประหัดพลังงานที่อัตราลมจ่ายต่างๆ ที่อัตราการระบายอากาศ 0.092 kg/sec

Supply air [kg/sec]	Ventilation [kg/sec]	Air fraction [%]	Energy saving [%]
0.161	0.092	57.16	-143.20
0.320	0.092	28.76	-33.32
0.480	0.092	19.17	3.76
0.640	0.092	14.38	22.31
0.800	0.092	11.50	33.43
0.960	0.092	9.59	40.85
1.120	0.092	8.22	46.14
1.280	0.092	7.19	50.12
1.440	0.092	6.39	53.21
1.600	0.092	5.75	55.68
1.760	0.092	5.23	57.70
1.920	0.092	4.79	59.39
2.080	0.092	4.42	60.81

ภาคผนวก ค
ข้อมูลผลการทดลอง

ตารางที่ ค 1 ข้อมูลสภาพอากาศที่อุปกรณ์คงลักษณะความชื้น ที่เงื่อนไข $T_{ip}=24.5^{\circ}\text{C}$, $w_{ip}=19 \text{ g}_w/\text{kg}_{da}$,
 $\dot{m}_{ip}=1.0 \text{ kg/min}$, Rev=2.5 rpm

No.	Time [min]	17.5	30	50	70	90	110	130	150	170
1	$T_{ip} [^{\circ}\text{C}]$	24.50	24.52	24.52	24.50	24.49	24.50	24.49	24.49	24.48
2	$\%RH_{ip} [\%]$	98.22	97.25	96.72	97.41	97.87	96.14	96.55	97.06	97.27
3	$w_{ip} [\text{g}_w/\text{kg}_{da}]$	19.21	19.03	18.93	19.05	19.12	18.79	18.86	18.96	18.99
4	$h_{ip} [\text{kJ}/\text{kg}_{da}]$	73.53	73.10	72.85	73.12	73.30	72.46	72.62	72.88	72.93
5	$T_{op} [^{\circ}\text{C}]$	26.39	26.34	26.31	26.26	26.24	26.19	26.17	26.15	26.12
6	$\%RH_{op} [\%]$	71.87	73.07	74.12	75.78	76.83	75.94	76.85	77.71	78.14
7	$w_{op} [\text{g}_w/\text{kg}_{da}]$	15.64	15.86	16.06	16.38	16.59	16.35	16.52	16.70	16.76
8	$h_{op} [\text{kJ}/\text{kg}_{da}]$	66.41	66.91	67.39	68.17	68.68	68.02	68.43	68.85	68.99
9	$R_{adsorp} [\text{g}_w/\text{min}]$	3.57	3.17	2.87	2.66	2.53	2.44	2.33	2.26	2.22

ตัวอย่างการคำนวณ : ค่าอัตราการลดความชื้นในอากาศของสารดูดความชื้น (R_{adsorp})
 ที่เวลา 90 นาที : $R_{adsorp} = \dot{m}_{ip} \times (w_{ip} - w_{op})$
 $= 1.0 \times (19.12 - 16.59) = 2.53 \text{ g}_w/\text{min}$

ตารางที่ ค 2 ข้อมูลสภาพอากาศที่อุปกรณ์คงลักษณะความชื้น ที่เงื่อนไข $T_{ip}=27.5^{\circ}\text{C}$, $w_{ip}=19 \text{ g}_w/\text{kg}_{da}$,
 $\dot{m}_{ip}=1.0 \text{ kg/min}$, Rev=2.5 rpm

No.	Time [min]	17.5	30	50	70	90	110	130	150	170
1	$T_{ip} [^{\circ}\text{C}]$	27.49	27.51	27.50	27.51	27.52	27.50	27.50	27.51	27.50
2	$\%RH_{ip} [\%]$	82.26	81.54	81.83	81.74	81.30	81.94	81.85	81.13	81.66
3	$w_{ip} [\text{g}_w/\text{kg}_{da}]$	19.20	19.05	19.11	19.10	19.00	19.13	19.12	18.95	19.07
4	$h_{ip} [\text{kJ}/\text{kg}_{da}]$	76.61	76.25	76.40	76.38	76.14	76.44	76.42	76.00	76.29
5	$T_{op} [^{\circ}\text{C}]$	29.91	29.82	29.75	29.72	29.69	29.63	29.62	29.59	29.59
6	$\%RH_{op} [\%]$	54.35	56.27	58.28	59.46	60.03	61.35	61.93	61.86	62.71
7	$w_{op} [\text{g}_w/\text{kg}_{da}]$	14.49	14.93	15.42	15.71	15.84	16.14	16.29	16.24	16.46
8	$h_{op} [\text{kJ}/\text{kg}_{da}]$	67.11	68.16	69.32	70.04	70.34	71.05	71.40	71.25	71.82
9	$R_{adsorp} [\text{g}_w/\text{min}]$	4.71	4.11	3.69	3.39	3.16	2.99	2.83	2.71	2.60

ตารางที่ ค 3 ข้อมูลสภาพอากาศที่อุปกรณ์คงลักษณะความชื้น ที่เงื่อนไข $T_{ip}=32.5^{\circ}\text{C}$, $w_{ip}=19 \text{ g}_w/\text{kg}_{da}$,
 $\dot{m}_{ip}=1.0 \text{ kg/min}$, Rev=2.5 rpm

No.	Time [min]	17.5	30	50	70	90	110	130	150	170
1	$T_{ip} [^{\circ}\text{C}]$	32.50	32.52	32.49	32.48	32.50	32.49	32.51	32.50	32.49
2	$\%RH_{ip} [\%]$	61.49	61.01	61.49	61.80	61.21	61.53	61.06	61.22	61.31
3	$w_{ip} [\text{g}_w/\text{kg}_{da}]$	19.14	19.00	19.13	19.22	19.05	19.14	19.01	19.05	19.07
4	$h_{ip} [\text{kJ}/\text{kg}_{da}]$	81.68	81.35	81.65	81.87	81.47	81.67	81.36	81.45	81.50
5	$T_{op} [^{\circ}\text{C}]$	35.62	35.49	35.39	35.31	35.26	35.22	35.20	35.16	35.15
6	$\%RH_{op} [\%]$	36.51	38.53	40.76	42.27	42.62	43.61	43.94	44.58	45.07
7	$w_{op} [\text{g}_w/\text{kg}_{da}]$	13.40	14.06	14.81	15.29	15.39	15.72	15.82	16.01	16.18
8	$h_{op} [\text{kJ}/\text{kg}_{da}]$	70.24	71.78	73.60	74.76	74.95	75.75	75.98	76.45	76.87
9	$R_{adsorp} [\text{g}_w/\text{min}]$	5.73	4.94	4.32	3.92	3.67	3.42	3.19	3.03	2.89

ตารางที่ ค 4 ข้อมูลสภาพอากาศที่อุปกรณ์คงลักษณะความชื้น ที่เงื่อนไข $T_{ip}=27.5^{\circ}\text{C}$, $w_{ip}=10 \text{ g}_w/\text{kg}_{da}$,
 $\dot{m}_{ip}=1.0 \text{ kg/min}$, Rev=2.5 rpm

No.	Time [min]	17.5	30	50	70	90	110	130	150	170
1	$T_{ip} [^{\circ}\text{C}]$	27.49	27.51	27.49	27.51	27.51	27.50	27.51	27.51	27.51
2	$\%RH_{ip} [\%]$	46.61	46.42	47.00	46.90	46.62	47.02	46.45	46.62	46.27
3	$w_{ip} [\text{g}_w/\text{kg}_{da}]$	10.74	10.70	10.83	10.82	10.75	10.84	10.71	10.75	10.67
4	$h_{ip} [\text{kJ}/\text{kg}_{da}]$	55.04	54.97	55.28	55.27	55.11	55.30	54.99	55.09	54.89
5	$T_{op} [^{\circ}\text{C}]$	28.65	28.63	28.56	28.53	28.49	28.44	28.43	28.39	28.38
6	$\%RH_{op} [\%]$	32.79	33.69	35.37	36.06	36.36	37.28	37.03	37.57	37.55
7	$w_{op} [\text{g}_w/\text{kg}_{da}]$	8.05	8.26	8.64	8.80	8.85	9.05	8.98	9.10	9.08
8	$h_{op} [\text{kJ}/\text{kg}_{da}]$	49.38	49.90	50.80	51.16	51.27	51.72	51.53	51.79	51.74
9	$R_{adsorp} [\text{g}_w/\text{min}]$	2.69	2.44	2.18	2.02	1.90	1.78	1.72	1.65	1.58

ตารางที่ ค 5 ข้อมูลสภาพอากาศที่อุปกรณ์กล้องดูดความชื้น ที่เงื่อนไข $T_{ip}=27.5^{\circ}\text{C}$, $w_{ip}=15 \text{ g}_w/\text{kg}_{da}$,

$\dot{m}_{ip}=1.0 \text{ kg}/\text{min}$, Rev=2.5 rpm

No.	Time [min]	17.5	30	50	70	90	110	130	150	170
1	$T_{ip} [^{\circ}\text{C}]$	27.51	27.50	27.51	27.51	27.51	27.52	27.50	27.51	27.50
2	$\%RH_{ip} [\%]$	65.16	65.24	64.93	64.67	64.52	64.27	64.38	64.00	64.62
3	$w_{ip} [\text{g}_w/\text{kg}_{da}]$	15.13	15.14	15.07	15.01	14.98	14.93	14.94	14.86	14.99
4	$h_{ip} [\text{kJ}/\text{kg}_{da}]$	66.27	66.29	66.12	65.97	65.89	65.76	65.77	65.58	65.91
5	$T_{op} [^{\circ}\text{C}]$	29.34	29.30	29.22	29.17	29.15	29.10	29.08	29.07	29.07
6	$\%RH_{op} [\%]$	44.76	46.33	47.61	48.48	48.97	49.45	49.97	50.00	50.91
7	$w_{op} [\text{g}_w/\text{kg}_{da}]$	11.49	11.88	12.15	12.34	12.46	12.54	12.66	12.67	12.90
8	$h_{op} [\text{kJ}/\text{kg}_{da}]$	58.88	59.81	60.44	60.87	61.15	61.32	61.58	61.59	62.18
9	$R_{adsorp} [\text{g}_w/\text{min}]$	3.64	3.27	2.92	2.67	2.52	2.38	2.28	2.19	2.10

ตารางที่ ค 6 ข้อมูลสภาพอากาศที่อุปกรณ์กล้องดูดความชื้น ที่เงื่อนไข $T_{ip}=27.5^{\circ}\text{C}$, $w_{ip}=19 \text{ g}_w/\text{kg}_{da}$,

$\dot{m}_{ip}=0.3 \text{ kg}/\text{min}$, Rev=2.5 rpm

No.	Time [min]	17.5	30	50	70	90	110	130	150	170
1	$T_{ip} [^{\circ}\text{C}]$	27.52	27.53	27.52	27.48	27.51	27.52	27.52	27.53	27.49
2	$\%RH_{ip} [\%]$	81.62	81.54	81.85	82.07	81.90	81.70	81.55	81.45	81.72
3	$w_{ip} [\text{g}_w/\text{kg}_{da}]$	19.08	19.08	19.13	19.14	19.13	19.10	19.07	19.05	19.07
4	$h_{ip} [\text{kJ}/\text{kg}_{da}]$	76.35	76.35	76.48	76.47	76.46	76.38	76.31	76.28	76.28
5	$T_{op} [^{\circ}\text{C}]$	29.78	29.74	29.70	29.64	29.60	29.53	29.49	29.51	29.50
6	$\%RH_{op} [\%]$	56.66	58.28	60.21	61.54	62.45	63.16	63.73	64.03	64.48
7	$w_{op} [\text{g}_w/\text{kg}_{da}]$	15.00	15.41	15.89	16.20	16.40	16.53	16.64	16.74	16.85
8	$h_{op} [\text{kJ}/\text{kg}_{da}]$	68.28	69.28	70.48	71.19	71.67	71.94	72.16	72.45	72.73
9	$R_{adsorp} [\text{g}_w/\text{min}]$	1.22	1.10	0.97	0.88	0.82	0.77	0.73	0.69	0.66

ตารางที่ ค 7 ข้อมูลสภาพอากาศที่อุปกรณ์กล้องดูดความชื้น ที่เงื่อนไข $T_{ip}=27.5^{\circ}\text{C}$, $w_{ip}=19 \text{ g}_w/\text{kg}_{da}$,
 $\dot{m}_{ip}=1.7 \text{ kg}/\text{min}$, Rev=2.5 rpm

No.	Time [min]	17.5	30	50	70	90	110	130	150	170
1	$T_{ip} [^{\circ}\text{C}]$	27.50	27.51	27.50	27.48	27.50	27.50	27.50	27.49	27.50
2	$\%RH_{ip} [\%]$	81.59	81.15	81.55	81.83	81.34	81.63	81.87	81.92	81.82
3	$w_{ip} [\text{g}_w/\text{kg}_{da}]$	19.05	18.96	19.04	19.08	18.99	19.06	19.12	19.12	19.11
4	$h_{ip} [\text{kJ}/\text{kg}_{da}]$	76.23	76.02	76.23	76.30	76.10	76.27	76.41	76.42	76.41
5	$T_{op} [^{\circ}\text{C}]$	29.61	29.57	29.46	29.42	29.38	29.36	29.34	29.33	29.33
6	$\%RH_{op} [\%]$	58.56	60.15	62.49	63.86	64.47	65.44	66.26	66.78	67.06
7	$w_{op} [\text{g}_w/\text{kg}_{da}]$	15.37	15.75	16.28	16.60	16.73	16.97	17.17	17.30	17.37
8	$h_{op} [\text{kJ}/\text{kg}_{da}]$	69.06	69.99	71.22	72.00	72.27	72.87	73.37	73.69	73.86
9	$R_{adsorp} [\text{g}_w/\text{min}]$	6.25	5.44	4.70	4.21	3.85	3.56	3.31	3.10	2.96

ตารางที่ ค 8 ข้อมูลสภาพอากาศที่อุปกรณ์กล้องดูดความชื้น ที่เงื่อนไข $T_{ip}=27.5^{\circ}\text{C}$, $w_{ip}=19 \text{ g}_w/\text{kg}_{da}$,
 $\dot{m}_{ip}=1.0 \text{ kg}/\text{min}$, Rev=1.0 rpm

No.	Time [min]	17.5	30	50	70	90	110	130	150	170
1	$T_{ip} [^{\circ}\text{C}]$	27.52	27.50	27.50	27.51	27.52	27.51	27.52	27.52	27.52
2	$\%RH_{ip} [\%]$	81.56	81.91	81.86	81.82	81.56	81.69	81.59	81.30	81.49
3	$w_{ip} [\text{g}_w/\text{kg}_{da}]$	19.07	19.13	19.12	19.11	19.06	19.09	19.07	19.01	19.05
4	$h_{ip} [\text{kJ}/\text{kg}_{da}]$	76.33	76.44	76.42	76.41	76.30	76.37	76.32	76.17	76.26
5	$T_{op} [^{\circ}\text{C}]$	29.56	29.48	29.47	29.44	29.41	29.39	29.37	29.34	29.30
6	$\%RH_{op} [\%]$	59.02	60.95	62.24	63.12	63.72	64.44	64.86	65.13	65.73
7	$w_{op} [\text{g}_w/\text{kg}_{da}]$	15.45	15.89	16.22	16.43	16.56	16.73	16.82	16.86	16.98
8	$h_{op} [\text{kJ}/\text{kg}_{da}]$	69.20	70.25	71.08	71.60	71.88	72.29	72.51	72.57	72.84
9	$R_{adsorp} [\text{g}_w/\text{min}]$	3.62	3.24	2.90	2.68	2.51	2.36	2.25	2.15	2.07

ตารางที่ ค 9 ข้อมูลสภาพอากาศที่อุปกรณ์คงลักษณะความชื้น ที่เงื่อนไข $T_{ip}=27.5^{\circ}\text{C}$, $w_{ip}=19 \text{ g}_w/\text{kg}_{da}$,
 $\dot{m}_{ip}=1.0 \text{ kg/min}$, Rev=4.0 rpm

No.	Time [min]	17.5	30	50	70	90	110	130	150	170
1	$T_{ip} [^{\circ}\text{C}]$	27.48	27.50	27.51	27.52	27.50	27.50	27.51	27.51	27.51
2	$\%RH_{ip} [\%]$	82.22	81.94	81.42	81.19	81.66	81.92	81.66	81.39	81.55
3	$w_{ip} [\text{g}_w/\text{kg}_{da}]$	19.18	19.13	19.02	18.98	19.06	19.12	19.07	19.01	19.05
4	$h_{ip} [\text{kJ}/\text{kg}_{da}]$	76.57	76.44	76.18	76.09	76.28	76.43	76.32	76.16	76.26
5	$T_{op} [^{\circ}\text{C}]$	30.37	30.30	30.26	30.18	30.18	30.12	30.09	30.05	30.04
6	$\%RH_{op} [\%]$	48.73	51.14	52.97	54.57	55.95	57.21	57.83	58.35	58.91
7	$w_{op} [\text{g}_w/\text{kg}_{da}]$	13.32	13.93	14.41	14.79	15.17	15.46	15.60	15.71	15.86
8	$h_{op} [\text{kJ}/\text{kg}_{da}]$	64.60	66.10	67.26	68.16	69.12	69.81	70.14	70.37	70.75
9	$R_{adsorp} [\text{g}_w/\text{min}]$	5.87	5.20	4.61	4.19	3.90	3.66	3.47	3.30	3.19

ตารางที่ ค 10 ข้อมูลสภาพอากาศที่อุปกรณ์คงลักษณะความชื้น ที่เงื่อนไข $T_{ir}=45^{\circ}\text{C}$, $w_{ir}=19 \text{ g}_w/\text{kg}_{da}$,
 $\dot{m}_{ir}=1.8 \text{ kg/min}$, Rev=2.5 rpm

No.	Time [min]	35	50	70	90	110	130	150	170
1	$T_{ir} [^{\circ}\text{C}]$	27.49	27.49	27.52	27.51	27.49	27.47	27.50	27.51
2	$\%RH_{ir} [\%]$	81.77	81.75	80.79	81.49	81.60	81.98	81.84	81.21
3	$w_{ir} [\text{g}_w/\text{kg}_{da}]$	19.08	19.08	18.89	19.03	19.05	19.11	19.11	18.97
4	$h_{ir} [\text{kJ}/\text{kg}_{da}]$	76.32	76.32	75.85	76.21	76.23	76.39	76.39	76.06
5	$T_{or} [^{\circ}\text{C}]$	38.01	38.31	38.46	38.58	38.65	38.70	38.75	38.78
6	$\%RH_{or} [\%]$	59.16	58.01	57.08	56.95	56.73	56.69	56.46	56.11
7	$w_{or} [\text{g}_w/\text{kg}_{da}]$	25.19	25.12	24.90	25.01	25.01	25.05	25.02	24.86
8	$h_{or} [\text{kJ}/\text{kg}_{da}]$	102.99	103.11	102.72	103.10	103.18	103.35	103.32	102.93
9	$R_{desorp} [\text{g}_w/\text{min}]$	11.00	10.87	10.83	10.75	10.73	10.69	10.65	10.60

ตารางที่ ค 11 ข้อมูลสภาวะอากาศที่อุปกรณ์คงลักษณะความชื้น ที่เงื่อนไข $T_{ir}=55^{\circ}\text{C}$, $w_{ir}=19 \text{ g}_w/\text{kg}_{da}$,

$\dot{m}_{ir}=1.8 \text{ kg/min}$, Rev=2.5 rpm

No.	Time [min]	35	50	70	90	110	130	150	170
1	$T_{ir} [^{\circ}\text{C}]$	27.46	27.57	27.56	27.45	27.52	27.49	27.52	27.52
2	$\%RH_{ir} [\%]$	81.50	80.27	81.11	81.97	81.39	81.88	81.61	81.71
3	$w_{ir} [\text{g}_w/\text{kg}_{da}]$	18.98	18.81	19.00	19.08	19.02	19.11	19.08	19.10
4	$h_{ir} [\text{kJ}/\text{kg}_{da}]$	76.04	75.69	76.18	76.28	76.19	76.39	76.34	76.39
5	$T_{or} [^{\circ}\text{C}]$	41.92	42.33	42.67	42.82	42.97	43.07	43.16	43.23
6	$\%RH_{or} [\%]$	55.67	54.04	53.33	52.95	52.37	52.18	51.84	51.65
7	$w_{or} [\text{g}_w/\text{kg}_{da}]$	29.41	29.16	29.29	29.32	29.22	29.26	29.21	29.21
8	$h_{or} [\text{kJ}/\text{kg}_{da}]$	117.97	117.76	118.47	118.69	118.61	118.82	118.77	118.84
9	$R_{desorp} [\text{g}_w/\text{min}]$	18.77	18.63	18.53	18.42	18.36	18.28	18.24	18.20

ตัวอย่างการคำนวณ : ค่าอัตราการรายความชื้นออกจากสารดูดความชื้น (R_{desorp})

$$\text{ที่เวลา } 90 \text{ นาที} \quad : R_{desorp} = \dot{m}_{ir} \times (w_{ir} - w_{or})$$

$$= 1.8 \times (29.32 - 19.08) = 18.42 \text{ g}_w/\text{min}$$

ตารางที่ ค 12 ข้อมูลสภาวะอากาศที่อุปกรณ์คงลักษณะความชื้น ที่เงื่อนไข $T_{ir}=65^{\circ}\text{C}$, $w_{ir}=19 \text{ g}_w/\text{kg}_{da}$,

$\dot{m}_{ir}=1.8 \text{ kg/min}$, Rev=2.5 rpm

No.	Time [min]	35	50	70	90	110	130	150	170
1	$T_{ir} [^{\circ}\text{C}]$	27.52	27.50	27.49	27.53	27.50	27.53	27.49	27.50
2	$\%RH_{ir} [\%]$	80.88	81.17	81.86	81.13	81.84	81.50	81.89	81.74
3	$w_{ir} [\text{g}_w/\text{kg}_{da}]$	18.90	18.95	19.11	18.97	19.11	19.06	19.11	19.09
4	$h_{ir} [\text{kJ}/\text{kg}_{da}]$	75.87	76.01	76.38	76.08	76.40	76.30	76.39	76.35
5	$T_{or} [^{\circ}\text{C}]$	48.49	48.83	49.19	49.34	49.53	49.95	50.02	50.05
6	$\%RH_{or} [\%]$	44.56	43.77	43.10	42.53	42.24	41.23	41.10	40.99
7	$w_{or} [\text{g}_w/\text{kg}_{da}]$	33.18	33.16	33.25	33.05	33.13	33.01	33.04	32.99
8	$h_{or} [\text{kJ}/\text{kg}_{da}]$	134.72	135.02	135.65	135.30	135.70	135.85	135.98	135.90
9	$R_{desorp} [\text{g}_w/\text{min}]$	25.72	25.57	25.46	25.35	25.24	25.12	25.07	25.03

ตารางที่ ค 13 ข้อมูลสภาพอากาศที่อุปกรณ์คงลักษณะความชื้น ที่เงื่อนไข $T_{ir}=55^{\circ}\text{C}$, $w_{ir}=10 \text{ g}_w/\text{kg}_{da}$,

$\dot{m}_{ir}=1.8 \text{ kg/min}$, Rev=2.5 rpm

No.	Time [min]	35	50	70	90	110	130	150	170
1	$T_{ir} [^{\circ}\text{C}]$	27.51	27.50	27.50	27.51	27.51	27.51	27.52	27.50
2	$\%RH_{ir} [\%]$	46.58	46.65	46.69	46.60	46.56	46.61	46.57	46.65
3	$w_{ir} [\text{g}_w/\text{kg}_{da}]$	10.74	10.75	10.76	10.75	10.74	10.75	10.74	10.75
4	$h_{ir} [\text{kJ}/\text{kg}_{da}]$	55.08	55.10	55.11	55.10	55.08	55.10	55.08	55.10
5	$T_{or} [^{\circ}\text{C}]$	27.51	27.50	27.50	27.51	27.51	27.51	27.52	27.50
6	$\%RH_{or} [\%]$	46.58	46.65	46.69	46.60	46.56	46.61	46.57	46.65
7	$w_{or} [\text{g}_w/\text{kg}_{da}]$	25.49	25.36	25.23	25.16	25.10	25.10	25.08	25.05
8	$h_{or} [\text{kJ}/\text{kg}_{da}]$	105.33	105.68	105.62	105.83	105.81	105.90	105.86	105.79
9	$R_{desorp} [\text{g}_w/\text{min}]$	26.54	26.29	26.05	25.94	25.85	25.83	25.81	25.74

ตารางที่ ค 14 ข้อมูลสภาพอากาศที่อุปกรณ์คงลักษณะความชื้น ที่เงื่อนไข $T_{ir}=55^{\circ}\text{C}$, $w_{ir}=15 \text{ g}_w/\text{kg}_{da}$,

$\dot{m}_{ir}=1.8 \text{ kg/min}$, Rev=2.5 rpm

No.	Time [min]	35	50	70	90	110	130	150	170
1	$T_{ir} [^{\circ}\text{C}]$	27.49	27.51	27.51	27.51	27.51	27.51	27.51	27.50
2	$\%RH_{ir} [\%]$	64.99	64.53	64.45	65.04	64.57	64.81	64.37	64.81
3	$w_{ir} [\text{g}_w/\text{kg}_{da}]$	15.07	14.98	14.96	15.10	14.99	15.04	14.94	15.04
4	$h_{ir} [\text{kJ}/\text{kg}_{da}]$	66.10	65.88	65.84	66.19	65.91	66.05	65.80	66.03
5	$T_{or} [^{\circ}\text{C}]$	40.71	41.06	41.39	41.55	41.80	41.98	41.99	42.06
6	$\%RH_{or} [\%]$	55.69	54.23	53.11	52.82	51.86	51.43	51.16	51.12
7	$w_{or} [\text{g}_w/\text{kg}_{da}]$	27.51	27.29	27.18	27.26	27.13	27.15	27.03	27.10
8	$h_{or} [\text{kJ}/\text{kg}_{da}]$	111.79	111.60	111.66	112.05	111.96	112.22	111.92	112.18
9	$R_{desorp} [\text{g}_w/\text{min}]$	22.38	22.16	21.99	21.89	21.84	21.80	21.75	21.71

ตารางที่ ค 15 ข้อมูลสภาวะอากาศที่อุปกรณ์คงลักษณะความชื้น ที่เงื่อนไข $T_{ir}=55^{\circ}\text{C}$, $w_{ir}=19 \text{ g}_w/\text{kg}_{da}$,

$\dot{m}_{ir}=1.0 \text{ kg/min}$, Rev=2.5 rpm

No.	Time [min]	35	50	70	90	110	130	150	170
1	$T_{ir} [^{\circ}\text{C}]$	27.52	27.51	27.51	27.50	27.51	27.51	27.50	27.49
2	$\%RH_{ir} [\%]$	81.34	81.74	81.53	81.76	81.15	81.56	81.83	81.89
3	$w_{ir} [\text{g}_w/\text{kg}_{da}]$	19.01	19.10	19.05	19.09	18.96	19.05	19.11	19.11
4	$h_{ir} [\text{kJ}/\text{kg}_{da}]$	76.16	76.38	76.27	76.36	76.02	76.26	76.39	76.40
5	$T_{or} [^{\circ}\text{C}]$	43.29	43.58	43.80	43.91	44.16	44.23	44.32	44.35
6	$\%RH_{or} [\%]$	49.50	48.80	48.11	47.82	46.91	46.85	46.72	46.60
7	$w_{or} [\text{g}_w/\text{kg}_{da}]$	28.02	28.06	27.98	27.96	27.77	27.86	27.90	27.88
8	$h_{or} [\text{kJ}/\text{kg}_{da}]$	115.85	116.26	116.28	116.35	116.13	116.43	116.63	116.60
9	$R_{desorp} [\text{g}_w/\text{min}]$	9.02	8.96	8.93	8.87	8.82	8.81	8.80	8.76

ตารางที่ ค 16 ข้อมูลสภาวะอากาศที่อุปกรณ์คงลักษณะความชื้น ที่เงื่อนไข $T_{ir}=55^{\circ}\text{C}$, $w_{ir}=19 \text{ g}_w/\text{kg}_{da}$,

$\dot{m}_{ir}=2.5 \text{ kg/min}$, Rev=2.5 rpm

No.	Time [min]	35	50	70	90	110	130	150	170
1	$T_{ir} [^{\circ}\text{C}]$	27.51	27.50	27.51	27.51	27.51	27.51	27.52	27.50
2	$\%RH_{ir} [\%]$	81.18	81.58	81.33	81.56	81.22	81.68	81.50	81.61
3	$w_{ir} [\text{g}_w/\text{kg}_{da}]$	18.97	19.05	19.00	19.05	18.97	19.08	19.05	19.06
4	$h_{ir} [\text{kJ}/\text{kg}_{da}]$	76.05	76.26	76.14	76.26	76.06	76.34	76.26	76.28
5	$T_{or} [^{\circ}\text{C}]$	44.48	44.79	44.89	45.03	45.17	45.26	45.28	45.31
6	$\%RH_{or} [\%]$	44.20	43.56	43.19	42.88	42.44	42.38	42.24	42.19
7	$w_{or} [\text{g}_w/\text{kg}_{da}]$	26.56	26.61	26.51	26.52	26.42	26.51	26.46	26.45
8	$h_{or} [\text{kJ}/\text{kg}_{da}]$	113.34	113.78	113.64	113.81	113.71	114.02	113.92	113.94
9	$R_{desorp} [\text{g}_w/\text{min}]$	18.99	18.88	18.77	18.66	18.62	18.57	18.52	18.48

ตารางที่ ค 17 ข้อมูลสภาพอากาศที่อุปกรณ์คงลักษณะความชื้น ที่เงื่อนไข $T_{ir}=55^{\circ}\text{C}$, $w_{ir}=19 \text{ g}_w/\text{kg}_{da}$,

$\dot{m}_{ir}=1.8 \text{ kg/min}$, Rev=1.0 rpm

No.	Time [min]	35	50	70	90	110	130	150	170
1	$T_{ir} [^{\circ}\text{C}]$	27.52	27.50	27.50	27.50	27.49	27.51	27.52	27.51
2	$\%RH_{ir} [\%]$	81.69	81.78	81.86	81.67	81.85	81.70	81.24	81.42
3	$w_{ir} [\text{g}_w/\text{kg}_{da}]$	19.10	19.10	19.11	19.07	19.10	19.09	18.99	19.02
4	$h_{ir} [\text{kJ}/\text{kg}_{da}]$	76.40	76.38	76.41	76.31	76.38	76.36	76.12	76.17
5	$T_{or} [^{\circ}\text{C}]$	43.14	43.44	43.61	43.74	43.78	43.83	43.95	44.12
6	$\%RH_{or} [\%]$	48.71	47.86	47.38	46.95	46.84	46.66	46.18	45.79
7	$w_{or} [\text{g}_w/\text{kg}_{da}]$	27.33	27.29	27.25	27.18	27.17	27.14	27.02	27.03
8	$h_{or} [\text{kJ}/\text{kg}_{da}]$	113.91	114.12	114.22	114.15	114.18	114.15	113.97	114.16
9	$R_{desorp} [\text{g}_w/\text{min}]$	14.82	14.74	14.65	14.59	14.53	14.49	14.46	14.42

ตารางที่ ค 18 ข้อมูลสภาพอากาศที่อุปกรณ์คงลักษณะความชื้น ที่เงื่อนไข $T_{ir}=55^{\circ}\text{C}$, $w_{ir}=19 \text{ g}_w/\text{kg}_{da}$,

$\dot{m}_{ir}=1.8 \text{ kg/min}$, Rev=4.0 rpm

No.	Time [min]	35	50	70	90	110	130	150	170
1	$T_{ir} [^{\circ}\text{C}]$	27.50	27.49	27.50	27.49	27.50	27.50	27.51	27.50
2	$\%RH_{ir} [\%]$	81.59	81.87	81.65	81.83	81.71	81.43	81.27	81.39
3	$w_{ir} [\text{g}_w/\text{kg}_{da}]$	19.05	19.11	19.07	19.10	19.08	19.01	18.98	19.00
4	$h_{ir} [\text{kJ}/\text{kg}_{da}]$	76.26	76.39	76.30	76.37	76.31	76.15	76.09	76.12
5	$T_{or} [^{\circ}\text{C}]$	40.72	41.23	41.66	41.80	42.00	42.18	42.34	42.39
6	$\%RH_{or} [\%]$	63.93	62.12	60.50	59.99	59.26	58.54	57.92	57.73
7	$w_{or} [\text{g}_w/\text{kg}_{da}]$	31.82	31.75	31.62	31.59	31.54	31.44	31.38	31.36
8	$h_{or} [\text{kJ}/\text{kg}_{da}]$	122.90	123.27	123.39	123.47	123.53	123.47	123.49	123.50
9	$R_{desorp} [\text{g}_w/\text{min}]$	22.98	22.76	22.60	22.49	22.43	22.37	22.31	22.24

ตารางที่ ค 19 ข้อมูลสภาพอากาศที่อุปกรณ์คงลักษณะความชื้น ที่เงื่อนไข $T_{ip}=24.5^{\circ}\text{C}$, $w_{ip}=w_{ir}=19$
 $\text{g}_w/\text{kg}_{da}$, $T_{ir}=55^{\circ}\text{C}$, $\dot{m}_{ip}=1.0 \text{ kg/min}$, $\dot{m}_{ir}=1.8 \text{ kg/min}$, Rev=2.5 rpm

No.	Time [min]	35	50	70	90	110	130	150	170
1	T_{ip} [$^{\circ}\text{C}$]	24.49	24.55	24.62	24.52	24.60	24.67	24.56	24.49
2	%RH _{ip} [%]	97.95	97.48	96.99	97.66	97.12	96.71	97.38	97.86
3	w_{ip} [$\text{g}_w/\text{kg}_{da}$]	19.14	19.11	19.10	19.11	19.11	19.10	19.11	19.12
4	h_{ip} [kJ/kg_{da}]	73.33	73.33	73.38	73.30	73.37	73.43	73.34	73.30
5	T_{op} [$^{\circ}\text{C}$]	32.34	32.17	32.04	31.90	31.84	31.76	31.72	31.69
6	%RH _{op} [%]	52.00	52.88	53.42	53.98	54.22	54.54	54.73	54.95
7	w_{op} [$\text{g}_w/\text{kg}_{da}$]	16.02	16.08	16.12	16.16	16.18	16.20	16.23	16.26
8	h_{op} [kJ/kg_{da}]	73.54	73.52	73.49	73.44	73.43	73.40	73.43	73.50
9	T_{ir} [$^{\circ}\text{C}$]	54.95	55.08	55.14	55.05	55.09	55.10	54.89	54.82
10	%RH _{ir} [%]	19.12	18.98	18.92	19.01	18.96	18.95	19.16	19.23
11	w_{ir} [$\text{g}_w/\text{kg}_{da}$]	19.14	19.11	19.10	19.11	19.11	19.10	19.11	19.12
12	h_{ir} [kJ/kg_{da}]	105.11	105.18	105.21	105.15	105.18	105.17	104.97	104.93
13	T_{or} [$^{\circ}\text{C}$]	40.77	40.64	40.44	40.39	40.30	40.19	40.05	39.93
14	%RH _{or} [%]	52.44	52.91	53.51	53.71	53.99	54.36	54.91	55.29
15	w_{or} [$\text{g}_w/\text{kg}_{da}$]	25.93	25.98	25.99	26.04	26.04	26.06	26.13	26.15
16	h_{or} [kJ/kg_{da}]	107.79	107.78	107.61	107.67	107.59	107.52	107.54	107.48
17	R _{adsorp} [g_w/min]	3.12	3.03	2.98	2.95	2.93	2.90	2.88	2.86
18	R _{desorp} [g_w/min]	12.22	12.36	12.41	12.46	12.49	12.53	12.64	12.65
19	DCOP	0.139	0.135	0.132	0.131	0.130	0.129	0.129	0.128

ตัวอย่างการคำนวณ : สัมประสิทธิ์สมรรถนะของคงลักษณะความชื้น (DCOP)

$$\text{ที่เวลา } 90 \text{ นาที} \quad : \text{DCOP} = \frac{\dot{Q}_1}{\dot{Q}_{\text{regen}}} = \frac{\dot{m}_{ip} (w_{ip} - w_{op}) (2,500.4 + 1.86 T_{ip})}{\dot{m}_{ir} (h_{ir} - h_{ip})}$$

$$= \frac{0.017(0.01911 - 0.01616)(2,500.4 + 1.86(24.52))}{0.03(105.15 - 70.30)} = 0.131$$

ตารางที่ ค 20 ข้อมูลสภาวะอากาศที่อุปกรณ์คงลักษณะความชื้น ที่เงื่อนไข $T_{ip} = 27.5^{\circ}\text{C}$, $w_{ip} = w_{ir} = 19$

$\text{g}_w/\text{kg}_{da}$, $T_{ir} = 55^{\circ}\text{C}$, $\dot{m}_{ip} = 1.0 \text{ kg/min}$, $\dot{m}_{ir} = 1.8 \text{ kg/min}$, Rev=2.5 rpm

No.	Time [min]	35	50	70	90	110	130	150	170
1	T_{ip} [$^{\circ}\text{C}$]	27.51	27.48	27.50	27.49	27.52	27.49	27.52	27.52
2	%RH _{ip} [%]	81.96	82.17	82.00	82.05	81.86	82.02	81.86	81.84
3	w_{ip} [$\text{g}_w/\text{kg}_{da}$]	19.15	19.16	19.15	19.15	19.14	19.14	19.14	19.14
4	h_{ip} [kJ/kg_{da}]	76.51	76.51	76.49	76.49	76.49	76.47	76.50	76.50
5	T_{op} [$^{\circ}\text{C}$]	35.12	34.91	34.72	34.64	34.56	34.49	34.46	34.40
6	%RH _{op} [%]	44.03	44.85	45.44	45.73	46.00	46.26	46.37	46.61
7	w_{op} [$\text{g}_w/\text{kg}_{da}$]	15.78	15.89	15.93	15.96	15.98	16.01	16.03	16.05
8	h_{op} [kJ/kg_{da}]	75.80	75.86	75.78	75.78	75.75	75.76	75.77	75.76
9	T_{ir} [$^{\circ}\text{C}$]	55.07	55.01	55.10	55.04	55.11	55.01	55.07	55.11
10	%RH _{ir} [%]	19.21	19.09	18.99	19.05	18.97	19.07	19.02	18.98
11	w_{ir} [$\text{g}_w/\text{kg}_{da}$]	19.15	19.16	19.15	19.15	19.14	19.14	19.14	19.14
12	h_{ir} [kJ/kg_{da}]	105.26	105.24	105.29	105.23	105.28	105.18	105.23	105.27
13	T_{or} [$^{\circ}\text{C}$]	41.10	40.84	40.52	40.35	40.22	40.17	40.15	40.10
14	%RH _{or} [%]	54.31	55.25	56.23	56.83	57.23	57.46	57.61	57.81
15	w_{or} [$\text{g}_w/\text{kg}_{da}$]	27.39	27.49	27.51	27.55	27.55	27.59	27.63	27.66
16	h_{or} [kJ/kg_{da}]	111.90	111.88	111.59	111.53	111.40	111.43	111.52	111.53
17	R_{adsorp} [g_w/min]	3.37	3.28	3.21	3.18	3.15	3.13	3.11	3.08
18	R_{desorp} [g_w/min]	14.83	14.98	15.05	15.13	15.15	15.21	15.29	15.33
19	DCOP	0.166	0.162	0.158	0.157	0.155	0.154	0.153	0.152

ตารางที่ ค 21 ข้อมูลสภาวะอากาศที่อุปกรณ์คงลักษณะความชื้น ที่เงื่อนไข $T_{ip}=32.5^{\circ}\text{C}$, $w_{ip}=w_{ir}=19$

$\text{g}_w/\text{kg}_{da}$, $T_{ir}=55^{\circ}\text{C}$, $\dot{m}_{ip}=1.0 \text{ kg/min}$, $\dot{m}_{ir}=1.8 \text{ kg/min}$, $\text{Rev}=2.5 \text{ rpm}$

No.	Time [min]	35	50	70	90	110	130	150	170
1	T_{ip} [$^{\circ}\text{C}$]	32.56	32.52	32.53	32.50	32.53	32.55	32.51	32.53
2	$\%RH_{ip}$ [%]	61.23	61.45	61.33	61.49	61.34	61.25	61.42	61.34
3	w_{ip} [$\text{g}_w/\text{kg}_{da}$]	19.12	19.14	19.12	19.14	19.12	19.11	19.13	19.12
4	h_{ip} [kJ/kg_{da}]	81.72	81.72	81.68	81.69	81.68	81.67	81.69	81.67
5	T_{op} [$^{\circ}\text{C}$]	38.06	37.84	37.67	37.55	37.43	37.37	37.32	37.28
6	$\%RH_{op}$ [%]	42.66	43.48	44.02	44.42	44.76	44.92	45.11	45.21
7	w_{op} [$\text{g}_w/\text{kg}_{da}$]	18.02	18.15	18.21	18.26	18.28	18.28	18.31	18.32
8	h_{op} [kJ/kg_{da}]	84.62	84.71	84.69	84.69	84.62	84.56	84.58	84.57
9	T_{ir} [$^{\circ}\text{C}$]	55.08	55.01	55.07	55.00	55.08	55.13	55.10	55.12
10	$\%RH_{ir}$ [%]	18.99	19.08	19.00	19.08	19.00	18.94	18.99	18.95
11	w_{ir} [$\text{g}_w/\text{kg}_{da}$]	19.12	19.14	19.12	19.14	19.12	19.11	19.13	19.12
12	h_{ir} [kJ/kg_{da}]	105.21	105.18	105.19	105.16	105.21	105.23	105.25	105.24
13	T_{or} [$^{\circ}\text{C}$]	44.57	44.24	44.01	43.81	43.65	43.53	43.47	43.40
14	$\%RH_{or}$ [%]	41.32	42.21	42.76	43.31	43.68	43.98	44.22	44.41
15	w_{or} [$\text{g}_w/\text{kg}_{da}$]	24.88	24.99	25.02	25.08	25.09	25.11	25.17	25.18
16	h_{or} [kJ/kg_{da}]	109.11	109.05	108.86	108.81	108.68	108.61	108.68	108.64
17	R_{adsorp} [g_w/min]	1.10	1.00	0.91	0.88	0.85	0.83	0.82	0.80
18	R_{desorp} [g_w/min]	10.37	10.53	10.61	10.70	10.74	10.81	10.86	10.91
19	DCOP	0.067	0.060	0.055	0.053	0.051	0.050	0.050	0.048

ตารางที่ ค 22 ข้อมูลสภาวะอากาศที่อุปกรณ์คงลักษณะความชื้น ที่เงื่อนไข $T_{ip}=27.5^{\circ}\text{C}$, $w_{ip}=w_{ir}=10 \text{ g}_w/\text{kg}_{da}$, $T_{ir}=55^{\circ}\text{C}$, $\dot{m}_{ip}=1.0 \text{ kg/min}$, $\dot{m}_{ir}=1.8 \text{ kg/min}$, Rev=2.5 rpm

No.	Time [min]	35	50	70	90	110	130	150	170
1	T_{ip} [$^{\circ}\text{C}$]	27.55	27.60	27.56	27.61	27.55	27.50	27.56	27.60
2	%RH _{ip} [%]	46.44	46.24	46.48	46.23	46.58	46.83	46.51	46.17
3	w_{ip} [$\text{g}_w/\text{kg}_{da}$]	10.73	10.72	10.75	10.72	10.77	10.80	10.75	10.70
4	h_{ip} [kJ/kg_{da}]	55.10	55.11	55.16	55.13	55.19	55.21	55.16	55.07
5	T_{op} [$^{\circ}\text{C}$]	31.23	31.08	30.96	30.89	30.84	30.79	30.76	30.75
6	%RH _{op} [%]	24.69	25.15	25.61	25.72	26.07	26.28	26.27	26.15
7	w_{op} [$\text{g}_w/\text{kg}_{da}$]	7.02	7.09	7.17	7.17	7.25	7.29	7.27	7.23
8	h_{op} [kJ/kg_{da}]	49.38	49.40	49.49	49.42	49.56	49.62	49.55	49.43
9	T_{ir} [$^{\circ}\text{C}$]	55.01	55.12	54.96	55.08	55.00	54.87	54.94	55.09
10	%RH _{ir} [%]	10.84	10.77	10.88	10.79	10.88	10.97	10.89	10.77
11	w_{ir} [$\text{g}_w/\text{kg}_{da}$]	10.73	10.72	10.75	10.72	10.77	10.80	10.75	10.70
12	h_{ir} [kJ/kg_{da}]	83.31	83.38	83.31	83.35	83.38	83.33	83.29	83.31
13	T_{or} [$^{\circ}\text{C}$]	42.46	42.20	41.93	41.74	41.51	41.42	41.36	41.30
14	%RH _{or} [%]	39.04	39.73	40.44	40.90	41.54	41.86	41.99	42.07
15	w_{or} [$\text{g}_w/\text{kg}_{da}$]	20.94	21.02	21.10	21.12	21.20	21.27	21.26	21.23
16	h_{or} [kJ/kg_{da}]	96.72	96.64	96.59	96.43	96.40	96.48	96.40	96.26
17	R _{adsorp} [g_w/min]	3.72	3.63	3.58	3.55	3.52	3.51	3.48	3.47
18	R _{desorp} [g_w/min]	18.37	18.54	18.63	18.72	18.78	18.85	18.91	18.96
19	DCOP	0.187	0.182	0.180	0.178	0.177	0.177	0.176	0.174

ตารางที่ ค 23 ข้อมูลสภาวะอากาศที่อุปกรณ์คงลักษณะความชื้น ที่เงื่อนไข $T_{ip}=27.5^{\circ}\text{C}$, $w_{ip}=w_{ir}=15$

$\text{g}_w/\text{kg}_{da}$, $T_{ir}=55^{\circ}\text{C}$, $\dot{m}_{ip}=1.0 \text{ kg/min}$, $\dot{m}_{ir}=1.8 \text{ kg/min}$, Rev=2.5 rpm

No.	Time [min]	35	50	70	90	110	130	150	170
1	T_{ip} [$^{\circ}\text{C}$]	27.50	27.47	27.50	27.48	27.52	27.54	27.55	27.49
2	%RH _{ip} [%]	66.42	66.63	66.48	66.67	66.42	66.29	66.12	66.41
3	w_{ip} [$\text{g}_w/\text{kg}_{da}$]	15.43	15.45	15.44	15.46	15.44	15.43	15.40	15.41
4	h_{ip} [kJ/kg_{da}]	67.01	67.04	67.03	67.09	67.07	67.06	66.99	66.96
5	T_{op} [$^{\circ}\text{C}$]	33.41	33.28	33.15	33.00	32.95	32.88	32.82	32.81
6	%RH _{op} [%]	36.73	37.24	37.61	38.16	38.29	38.48	38.63	38.73
7	w_{op} [$\text{g}_w/\text{kg}_{da}$]	11.90	11.97	12.01	12.08	12.09	12.10	12.11	12.13
8	h_{op} [kJ/kg_{da}]	64.09	64.15	64.11	64.16	64.13	64.07	64.02	64.09
9	T_{ir} [$^{\circ}\text{C}$]	55.13	55.06	55.12	55.10	55.14	55.16	55.18	55.10
10	%RH _{ir} [%]	15.37	15.44	15.39	15.43	15.38	15.35	15.30	15.38
11	w_{ir} [$\text{g}_w/\text{kg}_{da}$]	15.43	15.45	15.44	15.46	15.44	15.43	15.40	15.41
12	h_{ir} [kJ/kg_{da}]	95.64	95.63	95.66	95.71	95.69	95.68	95.62	95.57
13	T_{or} [$^{\circ}\text{C}$]	41.73	41.49	41.21	41.05	40.91	40.80	40.74	40.65
14	%RH _{or} [%]	47.43	48.26	49.04	49.60	49.97	50.30	50.45	50.72
15	w_{or} [$\text{g}_w/\text{kg}_{da}$]	24.62	24.74	24.77	24.85	24.85	24.87	24.86	24.89
16	h_{or} [kJ/kg_{da}]	105.44	105.48	105.27	105.30	105.16	105.10	105.00	104.99
17	R_{adsorp} [g_w/min]	3.53	3.47	3.43	3.38	3.35	3.33	3.29	3.28
18	R_{desorp} [g_w/min]	16.55	16.73	16.80	16.89	16.94	16.99	17.03	17.06
19	DCOP	0.175	0.172	0.170	0.167	0.166	0.165	0.163	0.162

ตารางที่ ค 24 ข้อมูลสภาวะอากาศที่อุปกรณ์คงลักษณะความชื้น ที่เงื่อนไข $T_{ip}=27.5^{\circ}\text{C}$, $w_{ip}=w_{ir}=19$

$\text{g}_w/\text{kg}_{da}$, $T_{ir}=45^{\circ}\text{C}$, $\dot{m}_{ip}=1.0 \text{ kg/min}$, $\dot{m}_{ir}=1.8 \text{ kg/min}$, Rev=2.5 rpm

No.	Time [min]	35	50	70	90	110	130	150	170
1	T_{ip} [$^{\circ}\text{C}$]	27.52	27.52	27.51	27.55	27.54	27.52	27.50	27.48
2	%RH _{ip} [%]	81.93	81.90	81.96	81.72	81.78	81.90	82.04	82.18
3	w_{ip} [$\text{g}_w/\text{kg}_{da}$]	19.15	19.15	19.15	19.13	19.14	19.15	19.16	19.16
4	h_{ip} [kJ/kg_{da}]	76.53	76.52	76.52	76.51	76.52	76.52	76.51	76.52
5	T_{op} [$^{\circ}\text{C}$]	30.65	30.45	30.30	30.16	30.12	30.00	29.97	29.96
6	%RH _{op} [%]	58.68	59.63	60.39	60.86	61.14	61.70	61.84	62.04
7	w_{op} [$\text{g}_w/\text{kg}_{da}$]	16.37	16.45	16.52	16.51	16.55	16.59	16.60	16.64
8	h_{op} [kJ/kg_{da}]	72.68	72.69	72.70	72.55	72.60	72.57	72.57	72.66
9	T_{ir} [$^{\circ}\text{C}$]	44.98	45.02	45.02	45.03	45.02	45.01	45.01	45.00
10	%RH _{ir} [%]	31.42	31.34	31.35	31.30	31.33	31.35	31.37	31.40
11	w_{ir} [$\text{g}_w/\text{kg}_{da}$]	19.15	19.15	19.15	19.13	19.14	19.15	19.16	19.16
12	h_{ir} [kJ/kg_{da}]	94.74	94.78	94.79	94.74	94.75	94.77	94.78	94.79
13	T_{or} [$^{\circ}\text{C}$]	37.39	37.25	37.11	36.97	36.90	36.69	36.62	36.57
14	%RH _{or} [%]	59.04	59.62	60.18	60.61	60.90	61.66	61.92	62.14
15	w_{or} [$\text{g}_w/\text{kg}_{da}$]	24.27	24.33	24.37	24.37	24.39	24.41	24.43	24.45
16	h_{or} [kJ/kg_{da}]	99.97	99.97	99.93	99.78	99.75	99.58	99.57	99.56
17	R_{adsorp} [g_w/min]	2.78	2.70	2.64	2.62	2.59	2.56	2.56	2.52
18	R_{desorp} [g_w/min]	9.22	9.33	9.40	9.43	9.45	9.47	9.49	9.51
19	DCOP	0.217	0.210	0.205	0.204	0.201	0.199	0.198	0.196

ตารางที่ ค 25 ข้อมูลสภาวะอากาศที่อุปกรณ์คงลักษณะความชื้น ที่เงื่อนไข $T_{ip}=27.5^{\circ}\text{C}$, $w_{ip}=w_{ir}=19$

$\text{g}_w/\text{kg}_{da}$, $T_{ir}=65^{\circ}\text{C}$, $\dot{m}_{ip}=1.0 \text{ kg/min}$, $\dot{m}_{ir}=1.8 \text{ kg/min}$, Rev=2.5 rpm

No.	Time [min]	35	50	70	90	110	130	150	170
1	T_{ip} [$^{\circ}\text{C}$]	27.49	27.52	27.50	27.51	27.52	27.50	27.51	27.53
2	%RH _{ip} [%]	82.14	81.91	82.10	81.96	81.87	81.99	81.88	81.78
3	w_{ip} [$\text{g}_w/\text{kg}_{da}$]	19.17	19.16	19.17	19.15	19.13	19.15	19.13	19.13
4	h_{ip} [kJ/kg_{da}]	76.56	76.54	76.55	76.50	76.48	76.49	76.46	76.48
5	T_{op} [$^{\circ}\text{C}$]	39.27	39.05	38.93	38.82	38.80	38.76	38.69	38.67
6	%RH _{op} [%]	39.26	39.78	40.15	40.39	40.47	40.61	40.82	40.89
7	w_{op} [$\text{g}_w/\text{kg}_{da}$]	17.69	17.72	17.77	17.77	17.78	17.81	17.83	17.85
8	h_{op} [kJ/kg_{da}]	85.04	84.87	84.88	84.76	84.78	84.81	84.79	84.81
9	T_{ir} [$^{\circ}\text{C}$]	64.93	65.08	65.04	65.14	65.20	65.10	65.19	65.21
10	%RH _{ir} [%]	12.06	11.97	12.00	11.93	11.90	11.95	11.90	11.89
11	w_{ir} [$\text{g}_w/\text{kg}_{da}$]	19.17	19.16	19.17	19.15	19.13	19.15	19.13	19.13
12	h_{ir} [kJ/kg_{da}]	115.63	115.74	115.73	115.77	115.80	115.74	115.78	115.80
13	T_{or} [$^{\circ}\text{C}$]	44.77	43.99	43.60	43.01	42.92	42.55	42.18	42.20
14	%RH _{or} [%]	48.03	50.15	51.34	53.00	53.35	54.51	55.64	55.68
15	w_{or} [$\text{g}_w/\text{kg}_{da}$]	29.43	29.52	29.62	29.66	29.72	29.77	29.82	29.87
16	h_{or} [kJ/kg_{da}]	121.04	120.46	120.29	119.79	119.83	119.58	119.30	119.45
17	R_{adsorp} [g_w/min]	1.48	1.44	1.40	1.38	1.35	1.33	1.30	1.28
18	R_{desorp} [g_w/min]	18.45	18.65	18.81	18.93	19.05	19.13	19.24	19.33
19	DCOP	0.054	0.052	0.051	0.050	0.049	0.048	0.047	0.046

ตารางที่ ค 26 ข้อมูลสภาวะอากาศที่อุปกรณ์คงลักษณะความชื้น ที่เงื่อนไข $T_{ip}=27.5^{\circ}\text{C}$, $w_{ip}=w_{ir}=19$

$\text{g}_w/\text{kg}_{da}$, $T_{ir}=55^{\circ}\text{C}$, $\dot{m}_{ip}=0.3 \text{ kg/min}$, $\dot{m}_{ir}=1.8 \text{ kg/min}$, Rev=2.5 rpm

No.	Time [min]	35	50	70	90	110	130	150	170
1	T_{ip} [$^{\circ}\text{C}$]	27.52	27.51	27.52	27.50	27.51	27.51	27.50	27.51
2	%RH _{ip} [%]	81.95	81.99	81.93	82.03	81.94	81.90	81.99	81.90
3	w_{ip} [$\text{g}_w/\text{kg}_{da}$]	19.16	19.16	19.15	19.16	19.15	19.14	19.14	19.13
4	h_{ip} [kJ/kg_{da}]	76.54	76.53	76.53	76.52	76.51	76.50	76.49	76.47
5	T_{op} [$^{\circ}\text{C}$]	36.81	36.71	36.52	36.47	36.44	36.41	36.37	36.32
6	%RH _{op} [%]	45.55	45.95	46.46	46.70	46.83	46.90	47.04	47.19
7	w_{op} [$\text{g}_w/\text{kg}_{da}$]	17.98	18.03	18.05	18.09	18.11	18.11	18.13	18.13
8	h_{op} [kJ/kg_{da}]	83.20	83.24	83.10	83.15	83.15	83.12	83.13	83.10
9	T_{ir} [$^{\circ}\text{C}$]	55.00	54.99	55.05	55.03	55.06	55.07	55.01	55.01
10	%RH _{ir} [%]	19.09	19.11	19.05	19.07	19.03	19.02	19.08	19.06
11	w_{ir} [$\text{g}_w/\text{kg}_{da}$]	19.16	19.16	19.15	19.16	19.15	19.14	19.14	19.13
12	h_{ir} [kJ/kg_{da}]	105.22	105.20	105.25	105.25	105.26	105.24	105.19	105.17
13	T_{or} [$^{\circ}\text{C}$]	45.05	44.65	44.34	44.13	44.04	43.96	43.96	43.92
14	%RH _{or} [%]	42.31	43.34	44.12	44.66	44.90	45.13	45.26	45.40
15	w_{or} [$\text{g}_w/\text{kg}_{da}$]	26.17	26.27	26.32	26.35	26.37	26.40	26.47	26.50
16	h_{or} [kJ/kg_{da}]	112.93	112.78	112.57	112.42	112.39	112.37	112.55	112.59
17	R_{adsorp} [g_w/min]	0.35	0.34	0.33	0.32	0.31	0.31	0.31	0.30
18	R_{desorp} [g_w/min]	12.62	12.80	12.90	12.95	13.00	13.06	13.18	13.26
19	DCOP	0.018	0.017	0.016	0.016	0.015	0.015	0.015	0.015

ตารางที่ ค 27 ข้อมูลสภาวะอากาศที่อุปกรณ์คงลักษณะความชื้น ที่เงื่อนไข $T_{ip}=27.5^{\circ}\text{C}$, $w_{ip}=w_{ir}=19$

$\text{g}_w/\text{kg}_{da}$, $T_{ir}=55^{\circ}\text{C}$, $\dot{m}_{ip}=1.7 \text{ kg/min}$, $\dot{m}_{ir}=1.8 \text{ kg/min}$, Rev=2.5 rpm

No.	Time [min]	35	50	70	90	110	130	150	170
1	T_{ip} [$^{\circ}\text{C}$]	27.52	27.51	27.51	27.50	27.51	27.51	27.52	27.50
2	%RH _{ip} [%]	81.85	81.91	81.95	81.98	81.92	81.89	81.87	82.01
3	w_{ip} [$\text{g}_w/\text{kg}_{da}$]	19.14	19.14	19.14	19.14	19.14	19.14	19.14	19.15
4	h_{ip} [kJ/kg_{da}]	76.49	76.49	76.49	76.49	76.49	76.49	76.48	76.50
5	T_{op} [$^{\circ}\text{C}$]	32.53	32.39	32.27	32.17	32.15	32.05	32.00	31.97
6	%RH _{op} [%]	52.23	52.78	53.37	53.85	53.93	54.29	54.47	54.68
7	w_{op} [$\text{g}_w/\text{kg}_{da}$]	16.20	16.25	16.32	16.38	16.39	16.40	16.41	16.45
8	h_{op} [kJ/kg_{da}]	74.21	74.19	74.23	74.29	74.29	74.23	74.18	74.25
9	T_{ir} [$^{\circ}\text{C}$]	55.11	55.09	55.05	54.91	55.00	55.04	55.09	55.08
10	%RH _{ir} [%]	18.98	18.99	19.04	19.17	19.08	19.05	19.00	19.02
11	w_{ir} [$\text{g}_w/\text{kg}_{da}$]	19.14	19.14	19.14	19.14	19.14	19.14	19.14	19.15
12	h_{ir} [kJ/kg_{da}]	105.27	105.26	105.23	105.08	105.17	105.20	105.25	105.27
13	T_{or} [$^{\circ}\text{C}$]	41.70	41.44	41.16	40.91	40.90	40.75	40.69	40.65
14	%RH _{or} [%]	46.87	47.71	48.45	49.22	49.27	49.74	49.94	50.13
15	w_{or} [$\text{g}_w/\text{kg}_{da}$]	24.28	24.38	24.40	24.46	24.48	24.51	24.53	24.57
16	h_{or} [kJ/kg_{da}]	104.51	104.53	104.26	104.16	104.19	104.10	104.11	104.18
17	R_{adsorp} [g_w/min]	4.98	4.91	4.80	4.70	4.68	4.65	4.64	4.59
18	R_{desorp} [g_w/min]	9.25	9.44	9.46	9.57	9.61	9.66	9.72	9.77
19	DCOP	0.245	0.242	0.237	0.233	0.231	0.230	0.228	0.226

ตารางที่ ค 28 ข้อมูลสภาวะอากาศที่อุปกรณ์คงลักษณะความชื้น ที่เงื่อนไข $T_{ip}=27.5^{\circ}\text{C}$, $w_{ip}=w_{ir}=19$

$\text{g}_w/\text{kg}_{da}$, $T_{ir}=55^{\circ}\text{C}$, $\dot{m}_{ip}=1.0 \text{ kg/min}$, $\dot{m}_{ir}=1.0 \text{ kg/min}$, Rev=2.5 rpm

No.	Time [min]	35	50	70	90	110	130	150	170
1	T_{ip} [$^{\circ}\text{C}$]	27.51	27.51	27.49	27.49	27.52	27.51	27.50	27.51
2	%RH _{ip} [%]	81.98	81.93	82.05	82.08	81.80	81.85	81.95	81.89
3	w_{ip} [$\text{g}_w/\text{kg}_{da}$]	19.16	19.15	19.15	19.16	19.12	19.12	19.14	19.13
4	h_{ip} [kJ/kg_{da}]	76.53	76.52	76.50	76.51	76.45	76.45	76.48	76.46
5	T_{op} [$^{\circ}\text{C}$]	33.19	32.91	32.79	32.67	32.60	32.49	32.45	32.37
6	%RH _{op} [%]	50.09	51.15	51.71	52.21	52.36	52.83	53.05	53.38
7	w_{op} [$\text{g}_w/\text{kg}_{da}$]	16.13	16.22	16.29	16.34	16.32	16.36	16.39	16.42
8	h_{op} [kJ/kg_{da}]	74.70	74.64	74.69	74.70	74.57	74.57	74.61	74.59
9	T_{ir} [$^{\circ}\text{C}$]	55.09	55.09	55.05	55.04	55.06	55.05	55.04	55.04
10	%RH _{ir} [%]	19.01	19.00	19.04	19.06	19.01	19.02	19.04	19.03
11	w_{ir} [$\text{g}_w/\text{kg}_{da}$]	19.16	19.15	19.15	19.16	19.12	19.12	19.14	19.13
12	h_{ir} [kJ/kg_{da}]	105.30	105.29	105.25	105.26	105.17	105.19	105.21	105.18
13	T_{or} [$^{\circ}\text{C}$]	39.25	39.00	38.87	38.86	38.77	38.65	38.62	38.56
14	%RH _{or} [%]	56.55	57.47	57.94	58.05	58.32	58.75	58.97	59.18
15	w_{or} [$\text{g}_w/\text{kg}_{da}$]	25.77	25.85	25.88	25.92	25.91	25.93	25.99	26.00
16	h_{or} [kJ/kg_{da}]	105.79	105.73	105.66	105.76	105.63	105.57	105.67	105.63
17	R_{adsorp} [g_w/min]	3.03	2.93	2.87	2.82	2.80	2.76	2.75	2.71
18	R_{desorp} [g_w/min]	6.62	6.70	6.73	6.76	6.79	6.81	6.85	6.87
19	DCOP	0.269	0.260	0.254	0.250	0.249	0.245	0.244	0.241

ตารางที่ ค 29 ข้อมูลสภาวะอากาศที่อุปกรณ์คงลักษณะความชื้น ที่เงื่อนไข $T_{ip}=27.5^{\circ}\text{C}$, $w_{ip}=w_{ir}=19$

$\text{g}_w/\text{kg}_{da}$, $T_{ir}=55^{\circ}\text{C}$, $\dot{m}_{ip}=1.0 \text{ kg/min}$, $\dot{m}_{ir}=2.5 \text{ kg/min}$, $\text{Rev}=2.5 \text{ rpm}$

No.	Time [min]	35	50	70	90	110	130	150	170
1	T_{ip} [$^{\circ}\text{C}$]	27.51	27.52	27.50	27.51	27.52	27.50	27.50	27.50
2	$\%RH_{ip}$ [%]	81.91	81.86	82.05	81.94	81.84	81.96	82.01	81.96
3	w_{ip} [$\text{g}_w/\text{kg}_{da}$]	19.14	19.13	19.16	19.14	19.13	19.14	19.15	19.14
4	h_{ip} [kJ/kg_{da}]	76.48	76.48	76.52	76.49	76.46	76.49	76.50	76.49
5	T_{op} [$^{\circ}\text{C}$]	38.40	38.33	38.31	38.26	38.22	38.18	38.14	38.07
6	$\%RH_{op}$ [%]	42.11	42.40	42.59	42.76	42.86	43.05	43.23	43.38
7	w_{op} [$\text{g}_w/\text{kg}_{da}$]	18.11	18.18	18.24	18.26	18.27	18.31	18.34	18.34
8	h_{op} [kJ/kg_{da}]	85.21	85.31	85.45	85.44	85.42	85.49	85.52	85.46
9	T_{ir} [$^{\circ}\text{C}$]	54.99	55.03	54.93	54.95	55.05	54.98	54.94	55.05
10	$\%RH_{ir}$ [%]	19.09	19.05	19.16	19.13	19.02	19.10	19.14	19.04
11	w_{ir} [$\text{g}_w/\text{kg}_{da}$]	19.14	19.13	19.16	19.14	19.13	19.14	19.15	19.14
12	h_{ir} [kJ/kg_{da}]	105.15	105.18	105.14	105.12	105.18	105.15	105.13	105.23
13	T_{or} [$^{\circ}\text{C}$]	44.52	44.19	43.94	43.76	43.65	43.62	43.48	43.31
14	$\%RH_{or}$ [%]	41.48	42.34	43.00	43.46	43.71	43.88	44.30	44.71
15	w_{or} [$\text{g}_w/\text{kg}_{da}$]	24.92	25.01	25.07	25.10	25.10	25.16	25.22	25.24
16	h_{or} [kJ/kg_{da}]	109.16	109.03	108.92	108.82	108.71	108.83	108.83	108.71
17	R_{adsorp} [g_w/min]	1.02	0.96	0.91	0.88	0.86	0.83	0.81	0.80
18	R_{desorp} [g_w/min]	14.47	14.68	14.79	14.91	14.95	15.05	15.19	15.25
19	DCOP	0.036	0.034	0.033	0.031	0.030	0.030	0.029	0.028

ตารางที่ ค 30 ข้อมูลสภาวะอากาศที่อุปกรณ์คงลักษณะความชื้น ที่เงื่อนไข $T_{ip}=27.5^{\circ}\text{C}$, $w_{ip}=w_{ir}=19$

$\text{g}_w/\text{kg}_{da}$, $T_{ir}=55^{\circ}\text{C}$, $\dot{m}_{ip}=1.0 \text{ kg/min}$, $\dot{m}_{ir}=1.8 \text{ kg/min}$, $\text{Rev}=1.0 \text{ rpm}$

No.	Time [min]	35	50	70	90	110	130	150	170
1	T_{ip} [$^{\circ}\text{C}$]	27.54	27.56	27.62	27.53	27.50	27.54	27.57	27.53
2	%RH _{ip} [%]	81.84	81.74	81.41	81.88	81.99	81.81	81.64	81.90
3	w_{ip} [$\text{g}_w/\text{kg}_{da}$]	19.16	19.15	19.14	19.15	19.15	19.15	19.14	19.15
4	h_{ip} [kJ/kg_{da}]	76.56	76.56	76.61	76.53	76.51	76.55	76.54	76.54
5	T_{op} [$^{\circ}\text{C}$]	35.53	35.23	34.97	34.77	34.62	34.53	34.48	34.48
6	%RH _{op} [%]	44.12	45.02	45.89	46.48	46.91	47.19	47.48	47.59
7	w_{op} [$\text{g}_w/\text{kg}_{da}$]	16.18	16.24	16.33	16.35	16.37	16.38	16.43	16.48
8	h_{op} [kJ/kg_{da}]	77.26	77.01	77.06	76.92	76.79	76.74	76.82	76.94
9	T_{ir} [$^{\circ}\text{C}$]	54.93	55.08	55.15	55.08	55.05	55.09	55.11	55.08
10	%RH _{ir} [%]	19.16	19.01	18.94	19.20	19.05	19.01	18.97	19.02
11	w_{ir} [$\text{g}_w/\text{kg}_{da}$]	19.16	19.15	19.14	19.15	19.15	19.15	19.14	19.15
12	h_{ir} [kJ/kg_{da}]	105.14	105.28	105.33	105.27	105.25	105.29	105.28	105.29
13	T_{or} [$^{\circ}\text{C}$]	38.55	38.34	38.07	37.99	37.87	37.76	37.73	37.68
14	%RH _{or} [%]	61.36	62.28	63.24	63.62	64.13	64.52	64.66	64.95
15	w_{or} [$\text{g}_w/\text{kg}_{da}$]	26.99	27.08	27.11	27.16	27.19	27.19	27.21	27.25
16	h_{or} [kJ/kg_{da}]	108.17	108.18	107.97	108.01	107.97	107.86	107.88	107.92
17	R_{adsorp} [g_w/min]	2.98	2.91	2.82	2.80	2.79	2.77	2.70	2.68
18	R_{desorp} [g_w/min]	14.09	14.27	14.34	14.41	14.47	14.48	14.53	14.58
19	DCOP	0.148	0.144	0.139	0.138	0.137	0.137	0.133	0.132

ตารางที่ ค 31 ข้อมูลสภาวะอากาศที่อุปกรณ์คงลักษณะความชื้น ที่เงื่อนไข $T_{ip}=27.5^{\circ}\text{C}$, $w_{ip}=w_{ir}=19$

$\text{g}_w/\text{kg}_{da}$, $T_{ir}=55^{\circ}\text{C}$, $\dot{m}_{ip}=1.0 \text{ kg/min}$, $\dot{m}_{ir}=1.8 \text{ kg/min}$, Rev=4.0 rpm

No.	Time [min]	35	50	70	90	110	130	150	170
1	T_{ip} [$^{\circ}\text{C}$]	27.52	27.55	27.49	27.56	27.53	27.51	27.54	27.52
2	%RH _{ip} [%]	81.90	81.75	82.05	81.67	81.83	81.96	81.78	81.91
3	w_{ip} [$\text{g}_w/\text{kg}_{da}$]	19.15	19.15	19.15	19.13	19.14	19.15	19.15	19.15
4	h_{ip} [kJ/kg_{da}]	76.53	76.55	76.51	76.52	76.52	76.52	76.54	76.52
5	T_{op} [$^{\circ}\text{C}$]	35.62	35.53	35.53	35.51	35.50	35.46	35.40	35.34
6	%RH _{op} [%]	44.51	44.93	45.15	45.20	45.28	45.44	45.64	45.85
7	w_{op} [$\text{g}_w/\text{kg}_{da}$]	16.41	16.49	16.57	16.57	16.59	16.61	16.63	16.65
8	h_{op} [kJ/kg_{da}]	77.94	78.06	78.26	78.25	78.28	78.30	78.29	78.27
9	T_{ir} [$^{\circ}\text{C}$]	55.04	55.07	54.99	55.08	55.01	54.99	55.06	55.01
10	%RH _{ir} [%]	19.05	19.02	19.10	19.00	19.08	19.10	19.03	19.08
11	w_{ir} [$\text{g}_w/\text{kg}_{da}$]	19.15	19.15	19.15	19.13	19.14	19.15	19.15	19.15
12	h_{ir} [kJ/kg_{da}]	105.24	105.26	105.19	105.23	105.18	105.19	105.25	105.20
13	T_{or} [$^{\circ}\text{C}$]	40.97	40.67	40.44	40.26	40.16	39.99	39.96	39.96
14	%RH _{or} [%]	53.23	54.24	54.98	55.58	55.99	56.64	56.71	56.81
15	w_{or} [$\text{g}_w/\text{kg}_{da}$]	26.62	26.71	26.74	26.79	26.84	26.90	26.90	26.94
16	h_{or} [kJ/kg_{da}]	109.77	109.69	109.53	109.46	109.49	109.46	109.43	109.53
17	R_{adsorp} [g_w/min]	2.74	2.66	2.58	2.56	2.55	2.54	2.51	2.50
18	R_{desorp} [g_w/min]	13.44	13.61	13.65	13.77	13.85	13.94	13.95	14.02
19	DCOP	0.135	0.131	0.128	0.126	0.126	0.126	0.124	0.123

ตารางที่ ค 32 ข้อมูลสภาพอากาศภายในและภายนอกห้องทดลองในช่วงเวลา 09.00 น. ถึง 21.00 น.

No.	Time [hour]	9:00	10:00	11:00	12:00	13:00	14:00	15:00	16:00	17:00	18:00	19:00	20:00	21:00
1	T _{ea} [°C]	30.00	30.50	31.40	32.50	32.70	33.30	32.70	32.30	31.20	30.10	28.80	27.90	27.30
2	%RH _{ea} [%]	84.27	74.07	69.26	64.31	59.64	57.54	63.55	68.30	69.91	77.64	83.87	84.37	87.51
3	W _{ea} [g _w /kg _{da}]	22.88	20.62	20.29	20.04	18.76	18.72	20.03	21.08	20.25	21.15	21.19	20.20	20.23
4	h _{ea} [kJ/kg _{da}]	88.64	83.40	83.49	84.00	80.93	81.45	84.18	86.45	83.17	84.31	83.07	79.60	79.05
5	T _{ia} [°C]	28.60	29.20	29.70	30.20	30.60	31.00	31.10	31.20	31.20	30.90	30.70	30.30	30.10
6	%RH _{ia} [%]	94.47	93.46	92.58	90.72	87.17	85.32	84.46	84.08	84.41	85.01	86.44	85.49	85.64
7	W _{ia} [g _w /kg _{da}]	23.69	24.29	24.78	25.00	24.56	24.60	24.48	24.51	24.61	24.36	24.49	23.64	23.41
8	h _{ia} [kJ/kg _{da}]	89.22	91.38	93.17	94.25	93.55	94.07	93.88	94.07	94.32	93.36	93.48	90.90	90.08

ตารางที่ ค 33 ข้อมูลสภาพอากาศภายในและภายนอกห้องทดลองในช่วงเวลา 09.00 น. ถึง 21.00 น.

No.	Time [hour]	9:00	10:00	11:00	12:00	13:00	14:00	15:00	16:00	17:00	18:00	19:00	20:00	21:00
1	T _{ea} [°C]	30.00	30.80	32.20	32.50	33.30	32.00	32.20	30.70	29.50	28.30	28.10	27.40	27.50
2	%RH _{ea} [%]	72.64	69.20	60.84	67.67	55.86	67.32	65.20	72.04	75.89	84.13	89.69	90.20	90.96
3	W _{ea} [g _w /kg _{da}]	19.62	19.57	18.60	21.12	18.16	20.41	19.98	20.28	19.93	20.63	21.78	21.00	21.31
4	h _{ea} [kJ/kg _{da}]	80.32	81.02	80.00	86.77	80.01	84.41	83.52	82.72	80.58	81.12	83.84	81.12	82.01
5	T _{ia} [°C]	29.30	30.10	30.80	31.00	31.50	31.60	31.80	31.70	31.30	31.00	30.80	30.50	30.40
6	%RH _{ia} [%]	86.94	67.31	65.81	65.62	63.39	64.14	65.11	65.91	66.31	67.31	68.57	69.25	70.84
7	W _{ia} [g _w /kg _{da}]	22.67	18.25	18.58	18.74	18.63	18.96	19.49	19.62	19.29	19.24	19.39	19.24	19.58
8	h _{ia} [kJ/kg _{da}]	87.35	76.91	78.49	79.12	79.34	80.30	81.85	82.08	80.81	80.39	80.55	79.87	80.62

ตารางที่ 34 ข้อมูลสภาวะอากาศภายนอกและภัยนกพร้อมปรับร่วมกับช่วงเวลา 09.00 น. ถึง 21.00 น.

No.	Time [hour]	9:00	10:00	11:00	12:00	13:00	14:00	15:00	16:00	17:00	18:00	19:00	20:00	21:00
1	T_{oa} [$^{\circ}\text{C}$]	30.00	29.80	31.10	31.20	31.60	31.60	30.90	30.00	28.80	28.40	27.40	27.20	26.70
2	%RH _{oa} [%]	69.49	71.55	67.90	66.66	62.76	65.10	71.56	71.99	80.38	83.65	91.05	92.40	94.96
3	W _{oa} [$\text{g}_w/\text{kg}_{\text{da}}$]	18.75	19.09	19.53	19.28	18.54	19.26	20.38	19.44	20.28	20.63	21.21	21.27	21.23
4	h _{oa} [kJ/kg _{da}]	78.08	78.75	81.23	80.69	79.23	81.06	83.19	79.86	80.75	81.23	81.64	81.60	80.96
5	T _{ia} [$^{\circ}\text{C}$]	28.20	25.90	25.70	26.00	26.10	26.20	26.10	25.60	25.30	24.90	24.40	24.10	23.80
6	%RH _{ia} [%]	94.65	67.21	63.31	62.27	62.98	61.77	60.10	56.84	58.63	57.94	57.39	57.57	58.38
7	W _{ia} [$\text{g}_w/\text{kg}_{\text{da}}$]	23.17	14.17	13.17	13.19	13.42	13.24	12.80	11.73	11.89	11.46	11.01	10.85	10.80
8	h _{ia} [kJ/kg _{da}]	87.48	62.17	59.41	59.76	60.46	60.09	58.87	55.63	55.73	54.23	52.58	51.84	51.42
9	T _{sa} [$^{\circ}\text{C}$]	26.10	15.70	15.30	15.50	15.60	15.70	15.30	14.60	14.60	14.10	13.40	13.00	12.90
10	%RH _{sa} [%]	84.97	83.60	77.80	77.82	77.84	74.44	71.67	66.46	70.17	67.51	64.07	65.62	64.79
11	W _{sa} [$\text{g}_w/\text{kg}_{\text{da}}$]	18.25	9.33	8.45	8.57	8.62	8.30	7.78	6.89	7.27	6.77	6.13	6.12	6.00
12	h _{sa} [kJ/kg _{da}]	72.75	39.39	36.76	37.25	37.50	36.77	35.05	32.08	33.07	31.28	28.96	28.52	28.12
13	T _{ra} [$^{\circ}\text{C}$]	28.20	25.90	25.70	26.00	26.10	26.20	26.10	25.60	25.30	24.90	24.40	24.10	23.80
14	%RH _{ra} [%]	94.65	67.21	63.31	62.27	62.98	61.77	60.10	56.84	58.63	57.94	57.39	57.57	58.38
15	W _{ra} [$\text{g}_w/\text{kg}_{\text{da}}$]	23.17	14.17	13.17	13.19	13.42	13.24	12.80	11.73	11.89	11.46	11.01	10.85	10.80
16	h _{ra} [kJ/kg _{da}]	87.48	62.17	59.41	59.76	60.46	60.09	58.87	55.63	55.73	54.23	52.58	51.84	51.42

ตารางที่ ๓๕ ข้อมูลถาวรของอากาศภายในห้องทดลองร่วมกับระบบปรับอากาศและความชื้นในช่วงเวลา 09.00 น. ถึง 21.00 น.

No.	Time [hour]	9:00	10:00	11:00	12:00	13:00	14:00	15:00	16:00	17:00	18:00	19:00	20:00	21:00
1	T_{oa} [$^{\circ}\text{C}$]	29.80	31.20	31.70	31.60	32.10	32.40	32.70	31.30	30.50	27.20	26.40	25.90	25.50
2	%RH _{oa} [%]	59.27	68.50	60.38	61.43	55.17	53.27	58.72	64.70	72.83	84.78	93.29	95.16	95.62
3	W _{oa} [$\text{g}_w/\text{kg}_{\text{da}}$]	15.73	19.83	17.93	18.14	16.72	16.42	18.46	18.80	20.27	19.46	20.46	20.26	19.87
4	h _{oa} [kJ/kg _{da}]	70.18	82.09	77.76	78.20	75.10	74.62	80.16	79.58	82.49	76.99	78.70	77.66	76.24
5	T _{ia} [$^{\circ}\text{C}$]	27.50	25.20	25.40	25.60	25.70	26.00	26.20	26.10	25.70	25.20	24.60	24.30	23.90
6	%RH _{ia} [%]	92.23	54.73	52.52	51.33	52.05	50.23	52.79	53.94	52.22	51.28	51.84	52.42	52.36
7	W _{ia} [$\text{g}_w/\text{kg}_{\text{da}}$]	21.62	11.02	10.69	10.57	10.79	10.60	11.28	11.46	10.82	10.31	10.05	9.98	9.73
8	h _{ia} [kJ/kg _{da}]	82.80	53.41	52.79	52.69	53.34	53.16	55.10	55.46	53.43	51.61	50.33	49.85	48.80
9	T _{sa} [$^{\circ}\text{C}$]	24.30	15.30	15.20	15.20	15.40	15.40	15.80	15.70	15.40	14.40	14.00	13.60	13.30
10	%RH _{sa} [%]	94.93	72.48	70.31	70.26	70.26	66.88	70.72	74.58	70.49	71.32	69.83	69.01	69.53
11	W _{sa} [$\text{g}_w/\text{kg}_{\text{da}}$]	18.32	7.87	7.58	7.57	7.67	7.30	7.93	8.31	7.70	7.30	6.96	6.70	6.62
12	h _{sa} [kJ/kg _{da}]	71.05	35.28	34.45	34.44	34.89	33.95	35.94	36.81	34.96	32.93	31.56	30.59	30.08
13	T _{ra} [$^{\circ}\text{C}$]	27.50	25.20	25.40	25.60	25.70	26.00	26.20	26.10	25.70	25.20	24.60	24.30	23.90
14	%RH _{ra} [%]	92.23	54.73	52.52	51.33	52.05	50.23	52.79	53.94	52.22	51.28	51.84	52.42	52.36
15	W _{ra} [$\text{g}_w/\text{kg}_{\text{da}}$]	21.62	11.02	10.69	10.57	10.79	10.60	11.28	11.46	10.82	10.31	10.05	9.98	9.73
16	h _{ra} [kJ/kg _{da}]	82.80	53.41	52.79	52.69	53.34	53.16	55.10	55.46	53.43	51.61	50.33	49.85	48.80

ภาคผนวก ง

การคำนวณผลประหยัดพลังงานจากการใช้ระบบลดความชื้นร่วมกับระบบปรับอากาศ

จากผลการจำลองระบบลดความชื้นร่วมกับระบบทำความเย็นด้วยโปรแกรม EnergyPlus version 1.4 ที่ระบบทำความเย็นขนาด 36,000 Btu/hr อัตราการไหลดมจ่าย 0.64 kg/sec และอัตราการระบายอากาศ 0.09 kg/sec ช่วงเวลา 09.00 น. ถึง 21.00 น. ของวันที่ 4 เมษายน 2552

๑ ข้อมูลทั่วไป

ก่อนคิดตั้งระบบลดความชื้น :

อุณหภูมิลดเย็น	22.99°C
ความชื้นสัมพัทธ์ลดจ่าย	62.13%
ความร้อนจำเพาะของลมจ่าย	50.95 kJ/kg _{da}
อุณหภูมิกลับ	28.48°C
ความชื้นสัมพัทธ์กลับ	67.76%
ความร้อนจำเพาะของลมกลับ	71.27 kJ/kg _{da}
ภาระการทำความเย็น	13.00 kW _{thermal}
ค่าพลังงาน	1 kW _{electrical} = 3 kW _{thermal}
ค่าไฟฟ้า	3.9 บาท/kWh

$$\begin{aligned}
 \text{จากข้อมูล ภาระการทำความเย็น คิดเป็นการใช้พลังงานไฟฟ้า} &= 13.00 \times 0.33 \\
 &= 4.33 \text{ kW} \\
 \text{พลังงานไฟฟ้าที่ใช้ (เวลาทำงาน 12 ชั่วโมงต่อวัน 300 วันต่อปี)} &= 4.33 \times 12 \times 300 \\
 &= 15,588 \text{ kWh ต่อปี} \\
 \text{คิดเป็นเงิน} &= 15,588 \times 3.9 \\
 &= 60,793 \text{ บาทต่อปี}
 \end{aligned}$$

หลังคิดตั้งระบบลดความชื้น :

อุณหภูมิลดเย็น	22.99°C
ความชื้นสัมพัทธ์ลดจ่าย	58.59%
ความร้อนจำเพาะของลมจ่าย	49.37 kJ/kg _{da}
อุณหภูมิกลับ	29.27°C
ความชื้นสัมพัทธ์กลับ	38.86%
ความร้อนจำเพาะของลมกลับ	54.77 kJ/kg _{da}
ภาระการทำความเย็น	3.46 kW

จากข้อมูล ภาระการทำความเย็น คิดเป็นการใช้พลังงานไฟฟ้า	$= 3.46 \times 0.33$
พลังงานไฟฟ้าที่ใช้ (เวลาทำงาน 12 ชั่วโมงต่อวัน 300 วันต่อปี)	$= 1.14 \text{ kW}$
คิดเป็นเงิน	$= 1.14 \times 12 \times 300$
	$= 4,104 \text{ kWh ต่อปี}$
	$= 4,104 \times 3.9$
	$= 16,006 \text{ บาทต่อปี}$
จากข้อมูล มอเตอร์ของกล้องถือดูดความชื้น ขนาด 0.5 แรงม้า	
พลังงานไฟฟ้าที่ใช้ (เวลาทำงาน 12 ชั่วโมงต่อวัน 300 วันต่อปี)	$= 0.5 \times 0.7457 \times 12 \times 300$
คิดเป็นเงิน	$= 1,342.26 \text{ kWh ต่อปี}$
	$= 1,342.26 \times 3.9$
	$= 5,235 \text{ บาทต่อปี}$
จากข้อมูล พัดลมเป่าอากาศ ขนาด 0.5 แรงม้า	
พลังงานไฟฟ้าที่ใช้ (เวลาทำงาน 12 ชั่วโมงต่อวัน 300 วันต่อปี)	$= 0.5 \times 0.7457 \times 12 \times 300$
คิดเป็นเงิน	$= 1,342.26 \text{ kWh ต่อปี}$
	$= 1,342.26 \times 3.9$
	$= 5,235 \text{ บาทต่อปี}$
จากข้อมูล อีดเตอร์ไฟฟ้า ขนาด 3,000 W (ทำงาน 50%)	
พลังงานไฟฟ้าที่ใช้ (เวลาทำงาน 12 ชั่วโมงต่อวัน 300 วันต่อปี)	$= 3 \times 0.5 \times 12 \times 300$
คิดเป็นเงิน	$= 5,400 \text{ kWh ต่อปี}$
	$= 5,400 \times 3.9$
	$= 21,060 \text{ บาทต่อปี}$
รวมพลังงานไฟฟ้าที่ใช้	$= 4,104 + 1,342.26 + 1,342.26 + 5,400$
	$= 12,188.52 \text{ kWh ต่อปี}$
รวมคิดเป็นเงิน	$= 16,006 + 5,235 + 5,235 + 21,060$
	$= 47,536 \text{ บาทต่อปี}$

ง 2 ผลประหยัด

พลังงานไฟฟ้าที่ลดลง	= 15,588-12,188.52
	= 3,399.48 kWh ต่อปี
คิดเป็นเงินประหยัดได้	= 60,793-47,536
	= 13,257 บาทต่อปี

ง 3 การลงทุนและผลตอบแทน

ง 3.1 คำนวณหาปริมาณซิลิกาเจล

สภาพอากาศที่ทางเข้ากงล้อดูดความชื้น 31.4 °C ความชื้นสัมพัทธ์ 59.8% อัตราส่วนความชื้น 17.3 g_w/kg_{da} และสภาพอากาศที่ทางออกกงล้อดูดความชื้น 54.4°C ความชื้นสัมพัทธ์ 10.3% อัตราส่วนความชื้น 9.9 g_w/kg_{da} โดยมีอัตราการระบายอากาศ 0.09 kg/sec

$$\begin{aligned} \text{คำนวณหาค่าอัตราการนำความชื้นออกจากอากาศ} &= 0.09 \times (17.3 - 9.9) \\ &= 0.666 \text{ g}_w/\text{sec} \end{aligned}$$

จากความสัมพันธ์ระหว่างสมดุลการดูดซับน้ำกับเวลาของซิลิกาเจล โดยการคำนวณให้อัตราการดูดความชื้นมีค่าประมาณ 35 g_w/kg_{silicagel} ต่อชั่วโมง

$$\begin{aligned} \text{คำนวณหาปริมาณซิลิกาเจล} &= 0.666 \times 60 \times 60 \times 35^{-1} \\ &= 68 \text{ kg}_{\text{silicagel}} \end{aligned}$$

ง 3.2 ค่าใช้จ่ายในการดำเนินการลงทุน

ค่าอุปกรณ์ระบบห่อ และฉนวน	3,000	บาท
ค่ามอเตอร์ขนาด 1.5 แรงม้า และระบบขับเคลื่อนกงล้อ	5,500	บาท
ค่าพัดลมเป่าอากาศขนาด 1 แรงม้า	6,700	บาท
ค่าสารดูดความชื้น 68 kg (ซิลิกาเจลขนาด 2-3 mm)	6,800	บาท
ค่าโครงสร้างกงล้อดูดความชื้น	7,200	บาท
ค่าอีตเตอร์ไฟฟ้า และอุปกรณ์ควบคุม	8,000	บาท
ค่าอินเวอร์เตอร์ขนาด 2.2 kW	12,000	บาท
ค่าใช้จ่ายในการสร้างและติดตั้งอุปกรณ์	15,000	บาท
รวมค่าใช้จ่ายในการดำเนินการลงทุน	64,200	บาท

๓.๓ ระยะการคืนทุนเบื้องต้น

ผลประโยชน์	13,257	บาทต่อปี
รวมค่าใช้จ่ายในการดำเนินการลงทุน	64,200	บาท
ระยะการคืนทุนเบื้องต้น	4.84	ปี

๓.๔ อัตราตอบแทนภายใน

จากข้อมูลเบื้องต้น ค่าใช้จ่ายในการดำเนินการลงทุน 64,200 บาท ผลประโยชน์ต่อปี 13,257 บาท โดยให้อาจการใช้งานของระบบลดความชื้น 10 ปี จะหาค่าอัตราตอบแทนภายในได้ดังนี้

$$13,257 \times (P/A, i\%, 10) = 64,200$$

$$\text{ที่ค่า } i\% = 15\%$$

$$\begin{aligned} \text{มูลค่าเทียบเท่าปัจจุบัน, PW} &= (13,257 \times 5.0188) - 64,200 \\ &= 2,334.2316 \text{ บาท} \end{aligned}$$

$$\text{ที่ค่า } i\% = 16\%$$

$$\begin{aligned} \text{มูลค่าเทียบเท่าปัจจุบัน, PW} &= (13,257 \times 4.83323) - 64,200 \\ &= -125.86989 \text{ บาท} \end{aligned}$$

จากการลองผิดลองถูกพบว่า ถ้าต้องการ $PW = 0$ ค่า $i\%$ ต้องมีค่าอยู่ระหว่าง 15% กับ 16% เมื่อต้องการหาค่า $i\%$ ที่ทำให้ค่า $PW = 0$ สามารถหาได้โดยการเปรียบเทียบสัดส่วนดังนี้

$$\frac{16\% - 15\%}{-125.86989 - 2,334.2316} = \frac{i\% - 15\%}{0 - 2,334.2316}$$

$$i\% = 15\% + \left[\frac{- (2,334.2316)}{- 125.86989 - 2,334.2316} \right] (16\% - 15\%)$$

$$i\% = 15.95\%$$

ประวัติผู้เขียน

ชื่อ สกุล	นายวิสิทธิ์ เอกวนิช	
รหัสประจำตัวนักศึกษา	4910120039	
วุฒิการศึกษา		
วุฒิ	ชื่อสถาบัน	ปีที่สำเร็จการศึกษา
วิศวกรรมศาสตรบัณฑิต (เครื่องกล)	มหาวิทยาลัยสงขลานครินทร์	2549

ทุนการศึกษา (ที่ได้รับในระหว่างการศึกษา)

1. ทุนศิษย์เก่ากูญ สถาบันที่ให้ คณะวิศวกรรมศาสตร์ มหาวิทยาลัยสงขลานครินทร์

การตีพิมพ์เผยแพร่ผลงาน

Akvanich, V., Taweeekun, J., Kooptarnond, K., Ngamsritragul, P., 2007, “A Study on Solid Desiccant Performance for a Ventilation System in Building,” The 21th Mechanical Engineering Network Conference, October 17-19, 2007, Chonburi, Thailand.